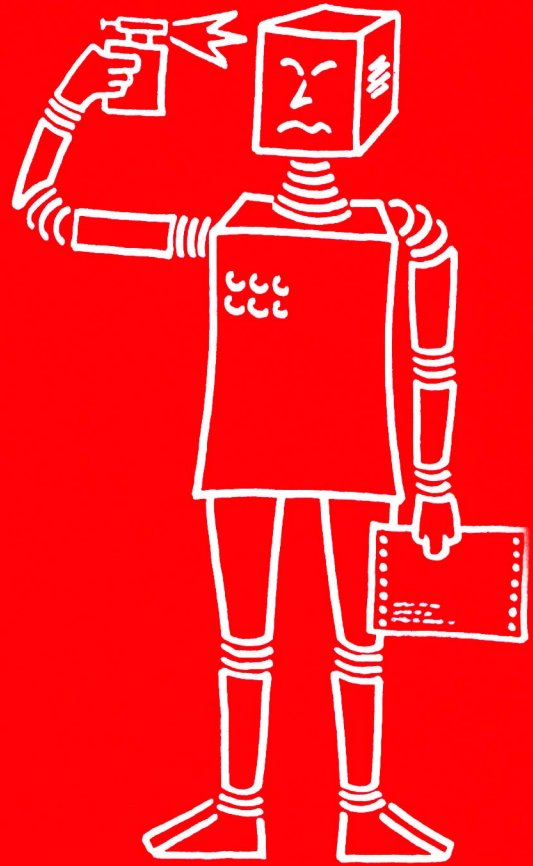


SEKI-PROJEKT SEKI MEMO

Institut für Informatik III
Universität Bonn
Bertha-von-Suttner-Platz 6
D 5300 Bonn 1, W. Germany

Institut für Informatik I
Universität Karlsruhe
Postfach 6380
D-7500 Karlsruhe 1, W. Germany



MEMO SEKI-BN-81-04

PROGRAMMSYNTHESE AUS BEISPIELSFOLGEN

von

Christoph Beierle

P R O G R A M M S Y N T H E S E

A U S

B E I S P I E L S F O L G E N

Christoph Beierle

Institut für Informatik III
Universität Bonn
Bertha-von-Suttner-Platz 6
D-5300 Bonn 1

Dezember 1980

Inhaltsverzeichnis

	<u>Seite</u>		<u>Seite</u>
Abstract	1	4. In PA verwandte Strategien und Methoden	100
1. Einleitung	2	4.1 Überblick über den PSA PA	100
2. Grundlagen und Definitionen	7	4.1.1 Der Suchraum von PA	100
2.1 Programme und Programmberechnungen	7	4.1.2 Vorgehensweise von PA	100
2.2 Programmsynthesprobleme	17	4.2 LB-Situationen	101
2.3 Programmsynthesealgorithmen	25	4.2.1 Definition von LB-Situationen	102
2.4 Zielsetzungen	31	4.2.2 Berechnung von LB-Situationen	114
3. In PA verwandte Problemdarstellungsarten	32	4.2.3 LB-Situationen als Maß für Instruktionshypothesen	120
3.1 Standarddarstellungen	32	4.3 Hypothesenreduktion	128
3.1.1 Standarddarstellung eines PSP	32	4.3.1 LABEL-Hypothesenreduktion	129
3.1.2 Standarddarstellung einer Realisierung	43	4.3.2 Instruktionshypothesenreduktion	136
3.1.3 Relationen zwischen Standard- darstellungen	50	4.4 Heuristiken für die Sortierung von Instruktionshypothesen	139
3.2 Stufengraphdarstellungen	51	4.4.1 Vorschlagshypothese	140
3.2.1 Stufengraphdarstellung für eine Instruktionsmatrix	51	4.4.2 Hypothesenraumreduktion	141
3.2.2 Stufengraphdarstellung einer Realisierung	65	4.4.3 Ordnungskriterien	142
3.2.3 Realisierbarkeitssatz für PSP	69	4.4.4 Instruktionshypothesenraum	143
3.2.4 Stufengraphdarstellung eines PSP	75	4.5 Programmkonstruktion aus IH-Situationen	148
3.2.5 Reduzierte Stufengraphdarstellungen	77	4.5.1 LABEL-Hypothesenbildung	148
3.2.5.1 Instruktionshypothesengraph	77	4.5.2 Programmtransitionenbildung	155
3.2.5.2 Realisierungsgraph	81	4.5.3 Nachweis der Realisierungseigenschaften	160
3.3 Ebenen der Hypothesenbildung	82	5. Der Programmsynthesealgorithmus PA	167
3.3.1 IH-Situationen	83	5.1 Definition von PA	168
3.3.2 Markierungen für IH-Situationen	94	5.2 Nachweis der Eigenschaften von PA	174
3.3.3 Beziehungen zu Standarddarstellungen und Realisierungsgraphen	95	5.3 Beispiel einer PA-Berechnung	193
		5.4 Hinweise für eine Implementierung von PA	204

	<u>Seite</u>
6. Komplexitätsberechnungen	206
6.1 Komplexität von Algorithmen und Problemstellungen	207
6.1.1 Suchraumgröße von PA	207
6.1.2 Größenkriterien für Programmsyntheseprobleme	212
6.1.3 Komplexität eines Algorithmus	213
6.1.4 Komplexität einer Problemstellung	215
6.2 Teilprobleme der Programmsynthese	216
6.2.1 Komplexität der Instruktionshypothesengraphberechnung	216
6.2.2 Das Realisierungsproblem	218
6.2.3 Komplexitätsvergleich von Realisierungs- und Programmsyntheseproblem	219
6.3 Komplexitätsklassen	222
6.3.1 Die Klassen P-TIME und NP-TIME	222
6.3.2 NP-Vollständigkeit	226
6.3.3 Polynomiale Transformierbarkeit	228
6.4 Komplexität von Realisierungs- und Programmsyntheseproblem	230
6.4.1 NP-Vollständigkeit des Realisierungsproblems	232
6.4.2 NP-Vollständigkeit der Programmsynthese aus Beispielsfolgen	239
6.5 NP-Vollständigkeit eingeschränkter Realisierungs- und Programmsyntheseprobleme	240
6.5.1 Einschränkung (-, -, 3, 1, -, -)	242
6.5.2 Einschränkung (-, -, -, 4, 3, 4)	242
6.5.3 Einschränkung (-, 1, -, 5, 3, 4)	259
6.5.4 Einschränkung (b, -, -, -, -)	265
6.5.4.1 Programmsynthese aus Speicherbelegungsfolgen	265
6.5.4.2 Programmsynthese aus Instruktionsfolgen	266
6.5.5 Einschränkung (b, 1, -, 5, 1, 2)	266

	<u>Seite</u>
6.6 Komplexität der Synthese von Turingmaschinen	275
6.6.1 Synthese von Turingmaschinen aus Beispielsfolgen	275
6.6.2 Nachweis der NP-Vollständigkeit	275
Literaturverzeichnis	280
Index zu den Seitenzahlen der Definitionen, Sätze, Beispiele und Abbildungen	282

Abstract

Automatic program synthesis from example computations is investigated. Four kinds of instruction and store description sequences are distinguished; for each the problem of program synthesis is shown to be NP-complete. NP-completeness is shown also for various restricted subclasses of the general problem as well as for the synthesis of Turing machines and Mealy automata from traces of their behavior. A decision procedure for solvability of program synthesis problems is presented. A universal program synthesis algorithm applicable to different kinds of example computations and yielding minimal programs is designed and verified. Due to its representation methods and extensive pruning techniques it solves a large class of program synthesis problems efficiently.

Kapitel 1 EINLEITUNG

Verschiedene Ansätze zur automatischen Programmsynthese wurden bisher untersucht, z.B. [Gill 1966], [Anarel 1971], [Waldinger 1969], [Manna,Waldinger 1971], [Lee et al. 1974], [Green, Barstow 1975], [Barstow 1977], [Biermann 1972], [Biermann, Krishnaswamy 1976]. [Biermann 1976] gibt einen Überblick über die unterschiedlichen Vorgehensweisen.

Die in der vorliegenden Arbeit angenommene Ausgangssituation der Programmsynthese aus Beispielfolgen ist nur mit dem Ansatz von Biermann [Biermann, Krishnaswamy 1976] vergleichbar. Dort wird aus einer Menge $\{C_1, \dots, C_n\}$ von aus Instruktionen bestehenden Berechnungsfolgen eines Programms P ein bzgl. der Anzahl der Zuweisungsstatements minimales Programm P' konstruiert, sodaß die C_i auch von P' erzeugt werden können. In den Eingabefolgen C_i müssen neben den Zuweisungen zusätzlich alle erfolgreich ausgeführten Tests mit angegeben sein.

In dieser Arbeit werden nicht nur Instruktionsfolgen, sondern auch Speicherbelegungsfolgen als Eingabe für einen Synthesearchivmus zugelassen. Darüberhinaus wird zwischen Folgen unterschieden, die entweder auch Testinstruktionen oder aber lediglich Zuweisungsinstruktionen berücksichtigen, sodaß sich insgesamt vier verschiedene Arten von Beispielfolgen - je zwei für Instruktions- und Speicherbelegungsfolgen - ergeben. Dementsprechend werden verschiedene Realisierungsbegriffe zur Präzisierung der an das zu synthetisierende Programm zu stellenden Anforderungen eingeführt.

Während der Ansatz von Biermann von vorneherein nur durch ein Programm erzeugte Eingabefolge zuläßt (entsprechendes gilt auch für die Synthese von Turingmaschinen in [Hwa, Wrightson 1973]), besteht in der vorliegenden Arbeit ein Programmsyntheseproblem (PSP) aus einer Menge von beliebigen Beispielsfolgen. Für jedes PSP Q ist entscheidbar, ob überhaupt ein Programm existiert, das die Beispielsfolgen von Q erzeugen kann. Ist das der Fall, so liefert der in Kap. 3 - 5 entwickelte Programmsynthesealgorithmus (PSA) PA ein Programm P , das eine minimale Realisierung von Q darstellt; andernfalls liefert PA die leere Menge.

Mit Hilfe der Methoden der Programmverifikation (z.B. [Manna 1974]) werden Korrektheit, Vollständigkeit und Lösungsminimalkheit von PA nachgewiesen. Da bei der Definition von PA keine spezifischen Annahmen über die den PSP zugrunde liegenden Speicherbelegungen oder die Zuweisungs- und Testinstruktionen gemacht werden, ist PA für beliebige Berechnungsmodelle anwendbar.

Komplexitätsberechnungen wurden in den bisherigen Arbeiten zur Programmsynthese aus Beispielsfolgen ([Biermann 1972], [Hwa, Wrightson 1973], [Raulefs 1973], [Biermann, Baum, Petry 1975], [Biermann, Krishnaswamy 1976]) nicht vorgenommen, und zwar weder für die dort entwickelten Algorithmen noch für die Problemstellung selbst.

In dieser Arbeit wird gezeigt, daß das allgemeine Problem der Programmsynthese aus Beispielsfolgen NP-vollständig

([Cook 1971], [Garey, Johnson 1979]) ist. Sogar bei einer Reihe von vereinfachenden Einschränkungen etwa bzgl. der Menge der Zuweisungen und Tests, der Speicherbelegungen und der Länge und Anzahl der Beispielsfolgen bleibt die NP-Vollständigkeit der Programmsynthese erhalten. Diese Ergebnisse werden für die verschiedenen Arten von PSP aus Instruktions- und aus Speicherbelegungsfolgen nachgewiesen und anschließend auf die Synthese von Turingmaschinen (und damit auch von Mealy-Automaten) aus Beispielsfolgen übertragen. So ist z.B. das Ja/Nein-Entscheidungsproblem, ob es zu einem $k \in \mathbb{N}$ und einer einzelnen Folge C von Ein/Ausgabepaaren über einem festen Alphabet mit nur 5 verschiedenen Zeichen einen Mealy-Automaten mit k Zuständen gibt, der das durch C gegebene Ein/Ausgabe-Verhalten besitzt, NP-vollständig (vgl. Abschnitt 6.6).

Die NP-Vollständigkeit einer Problemstellung impliziert unter der Annahme $P-TIME \neq NP-TIME$, daß der Zeitaufwand eines jeden Algorithmus für diese Problemstellung im Grenzverhalten für immer größer werdende Eingaben schneller als polynomial anwächst [Garey, Johnson 1979]. Für die Programmsynthese aus Beispielsfolgen folgt daher, daß es keinen PSA geben kann (vorausgesetzt $P-TIME \neq NP-TIME$), der bzgl. der Menge aller PSP mit polynomialer Zeitkomplexität arbeitet. Ziel eines PSA muß es daher sein, eine möglichst große Anzahl von PSP effizient zu lösen.

In dieser Arbeit können keine experimentellen Angaben über den benötigten Rechenzeitaufwand von PA gemacht werden, da

eine Implementierung von PA noch nicht vorliegt. Die in PA integrierten Methoden und Heuristiken der statischen und dynamischen Suchraumreduktion und der Bildung, Sortierung, Auswahl und Überprüfung von Hypothesen stellen jedoch sicher, daß zumindest für eine Großzahl von PSP PA effizient arbeitet, was anhand von verschiedenen Beispielen belegt wird.

Von den Ergebnissen dieser Arbeit ausgehend stellt sich die Aufgabe, durch Implementierung von PA statistische Angaben über das Rechenzeitverhalten von PA zu gewinnen. Im Hinblick auf die Komplexitätsbetrachtungen bietet sich an, neben den in dieser Arbeit schon aufgeführten Einschränkungen des allgemeinen Problems der Programmsynthese aus Beispielsfolgen weitere Einschränkungen zu finden, für die man gerade noch die Zugehörigkeit zu P-TIME zeigen kann, um so die Grenze zwischen P-TIME und NP-TIME (bzw. NP-Vollständigkeit) bzgl. dieser Problemstellung genauer zu bestimmen.

Es folgt ein kurzer Überblick über den Aufbau dieser Arbeit: In Kapitel 2 werden die grundlegenden Begriffe eingeführt und präzisiert.

In Kapitel 3 werden für PSP Repräsentationen entwickelt, die die Klasse der in Frage kommenden Programme von vorneherein stark einschränken und in geeigneter Weise in PA eingesetzt werden können. Mit dem sog. Realisierbarkeitssatz wird ein effizientes Verfahren zur Entscheidung der 'Lösbarkeit' eines PSP geliefert.

Kapitel 4 beschreibt die in PA verwandten Strategien und Methoden. Die Eigenschaften der hier entworfenen Verfahren zur Suchraumreduktion, Hypothesenmanipulation usw. werden nachgewiesen.

In Kapitel 5 wird der PSA PA definiert. Die von ihm geforderten Eigenschaften werden verifiziert und anhand eines Beispiels erläutert, gefolgt von einigen Hinweisen für eine Implementierung von PA.

In Kapitel 6 sind die Komplexitätsuntersuchungen zur Programmsynthese aus Beispielsfolgen sowie die Sätze zum Nachweis der NP-Vollständigkeit verschiedener Einschränkungen davon enthalten.

Im Anschluß an das Literaturverzeichnis folgt ein Index zu den Seitenzahlen der einzeln nummerierten Definitionen, Sätze, Beispiele und Abbildungen dieser Arbeit.

Kapitel 2 GRUNDLAGEN UND DEFINITIONEN

Es werden das Berechnungsmodell, das den Überlegungen dieser Arbeit zugrunde liegt, sowie die Problemstellungen, die untersucht werden, präzisiert. Da die entwickelten Algorithmen und Verfahren keine spezifischen Annahmen über den Aufbau des vorgegebenen Berechnungsmodells machen, sind die in 2.1 vorhandenen Definitionen ausreichend. Nach Formalisierung der Begriffe "Programmsyntheseproblem" (PSP) und "Programmsynthesealgorithmus" (PSA) in 2.2 und 2.3 werden die Zielsetzungen für den in dieser Arbeit entworfenen PSA PA angegeben (2.4).

2.1 Programme und Programmberechnungen

Definition 2.1

Σ sei ein endliches nicht-leeres Alphabet, $STORES \subseteq \Sigma^*$.

1. STORES ist die Menge der Speicherzustände oder Speicherbelegungen.
2. Eine Abbildung $A : STORES \rightarrow STORES$ heißt Zuweisungsinstruktion.
3. Eine Abbildung $T : STORES \rightarrow \{true, false\}$ heißt Testinstruktion.

4. ASSIGNMENTS = $\{A_1, \dots, A_p\}$ ist eine endliche, nichtleere Menge von Zuweisungsinstruktionen.
5. TESTS = $\{T_1, \dots, T_q\}$ ist eine endliche, nichtleere Menge von Testinstruktionen.
6. INSTRUCTIONS = ASSIGNMENTS \cup TESTS ist die Menge der Instruktionen, wobei START, STOP, dummy \notin INSTRUCTIONS.
7. Für eine Menge $IM \subseteq INSTRUCTIONS \cup \{START, STOP\}$ ist:

$$IM_0^1 = IM \setminus \{START, STOP\}$$

$$IM_1^1 = IM \cup \{START, STOP\}$$

Beispiel 2.1

Für fast alle Beispiele dieser Arbeit gelten die folgenden Vereinbarungen:

1. Die Menge der Speicherzustände ist gegeben durch die Menge aller geordneten 5-Tupel über den nicht-negativen ganzen Zahlen: $STORES = (\mathbb{N} \cup \{0\})^5$.

2. ASSIGNMENTS besteht aus insgesamt 30 Zuweisungsinstruktionen. Für $i, j \in \{1, \dots, 5\}$ sind dies:

(2.1) $A1(i)$ inkrementiert die i -te Komponente der gegebenen Speicherbelegung um 1:

$$A1(i) = \lambda s. s = (s_1, \dots, s_i, \dots, s_5) \rightarrow (s_1, \dots, \dots, s_i+1, \dots, s_5)$$

(2.2) $S1(i)$ dekrementiert die i -te Komponente um 1:

$$S1(i) = \lambda s. s = (s_1, \dots, s_i, \dots, s_5) \rightarrow (s_1, \dots, \dots, s_i-1, \dots, s_5)$$

(2.3) $CL(i)$ setzt die i -te Komponente auf 0:

$$CL(i) = \lambda s. s = (s_1, \dots, s_i, \dots, s_5) \rightarrow (s_1, \dots, \dots, 0, \dots, s_5)$$

(2.4) $A(i,j)$ weist der i -ten Komponente den Wert der

Addition aus i -ter und j -ter Komponente zu:

$$A(i,j) = \lambda s. s = (s_1, \dots, s_i + s_j, \dots, s_5) \longrightarrow (s_1, \dots, s_i + s_j, \dots, s_5)$$

5. TESTS erhält 5 verschiedene Testinstruktionen.

ZR(i) liefert true, wenn die i -te Komponente 0 ist, false sonst.

$$ZR(i) = \lambda s. s = (s_1, \dots, s_i, \dots, s_5) \longrightarrow (s_i = 0 \longrightarrow \text{true}, s_i \neq 0 \longrightarrow \text{false})$$

Definition 2.2:

Sei $K = (I, I)$ mit $I \in \mathbb{N}$.

1. K heißt Zuweisungsknoten $\langle \Rightarrow \rangle I \in \text{ASSIGNMENTS}$.
2. K heißt Testknoten $\langle \Rightarrow \rangle I \in \text{TESTS}$.
3. K heißt Startknoten $\langle \Rightarrow \rangle I = 1 \wedge I = \text{START}$.
4. K heißt Stopknoten $\langle \Rightarrow \rangle I = 1 \wedge I = \text{STOP}$.
5. K heißt Instruktionsknoten $\langle \Rightarrow \rangle I \in \text{INSTRUCTIONS}$.
6. In allen Fällen heißt I Label von K (Schreibweise: LABEL(K) = I). K wird auch als I -Knoten bezeichnet (INSTR(K) = I) oder allgemeiner als Programmknoten.
7. PNODES ist die Menge aller Programmknoten.

Definition 2.3

(K_1, m, K_2) heißt Programmtransition $\langle \Rightarrow \rangle$

- (i) K_1 ist Instruktions- oder Startknoten
- (ii) K_2 ist Instruktions- oder Stopknoten

(iii) $m \in \{\text{true}, \text{false}, \text{nil}\} \wedge (m = \text{nil} \langle \Rightarrow \rangle \text{INSTR}(K_1) \notin \text{TESTS})$

TFN = $\{\text{true}, \text{false}, \text{nil}\}$ ist die Menge der Transitionsmarkierungen.

Mit den Definitionen 2.1 - 2.3 wird ein Flußprogramm definiert, wie es z.B. durch einen gerichteten, markierten Graphen angegeben werden kann, wobei die Knoten dieses Graphen mit START, STOP oder $I \in \text{INSTRUCTIONS}$ markiert sind und die Kanten entsprechend mit true, false oder nil. Die hier gewählte, äquivalente Darstellungsart für Programme läßt sich leicht in ein Flußprogramm im üblichen Sinne transformieren.

Definition 2.4

P sei eine endliche Menge von Programmtransitionen.

1. P heißt (Fluß-) Programm $\langle \Rightarrow \rangle$

(i) P enthält genau einen START- und einen STOP-Knoten.

(ii) Für jeden Knoten K von P gibt es in P einen Weg vom START- zum STOP-Knoten, der durch K geht.

(iii) $\bigvee (K, m, K'), (K, m', K'') \in P. m = m' \Rightarrow K' = K''$

2. PROGRAMS bezeichnet die Menge aller Programme.

3. M sei eine Menge von Tripeln.

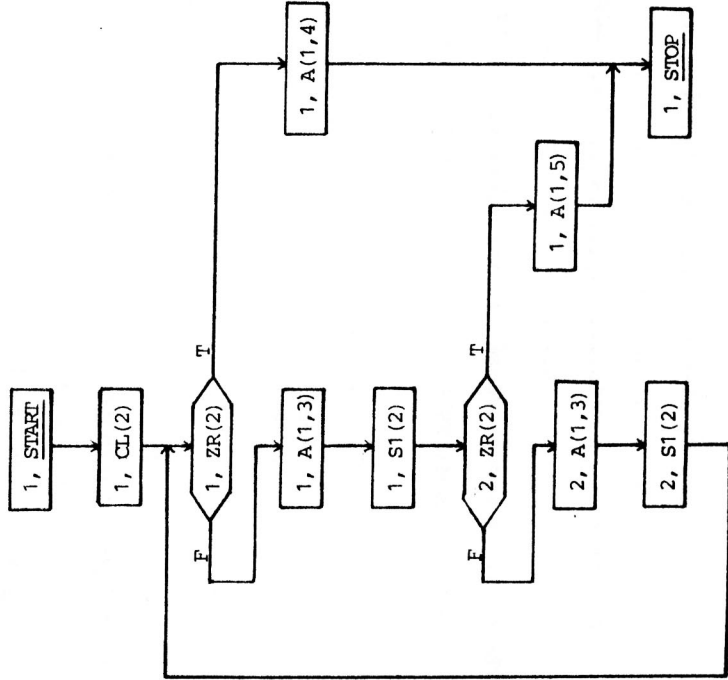
$$\text{NODES}(M) = \{K \mid \exists K', m. (K, m, K') \in M \vee (K', m, K) \in M\}$$

Beispiel 2.2

Das hier angegebene Programm P wird in späteren Beispielen benutzt.

$P := \{ ((1, \underline{START}), \underline{nil}, (1, \underline{CL}(1))), ((1, \underline{CL}(1)), \underline{nil}, (1, \underline{ZR}(2))),$
 $((1, \underline{ZR}(2)), \underline{true}, (1, A(1,4))), ((1, \underline{ZR}(2)), \underline{false}, (1, A(1,3))),$
 $((1, A(1,3)), \underline{nil}, (1, S1(2))), ((1, S1(2)), \underline{nil}, (2, \underline{ZR}(2))),$
 $((2, \underline{ZR}(2)), \underline{true}, (1, A(1,5))), ((2, \underline{ZR}(2)), \underline{false}, (2, A(1,3))),$
 $((2, A(1,3)), \underline{nil}, (2, S1(2))), ((2, S1(2)), \underline{nil}, (1, \underline{ZR}(2))),$
 $((1, A(1,4)), \underline{nil}, (1, \underline{STOP})), ((1, A(1,5)), \underline{nil}, (1, \underline{STOP})) \}$

In üblicher Flußprogrammnotation ist P gegeben durch:



Die verlangte Eigenschaft für Programme impliziert, daß die Programmtransitionen eines Programms P im folgenden Sinne eindeutig sind:

Sei $(K, m, K') \in P$.

- (i) Ist K Start- oder Zuweisungsknoten, so ist nach Def. 2.3 $m = \underline{nil}$. Nach Def. 2.4 folgt, daß es nur ein K' geben kann, sodaß $(K, m, K') \in P$.
- (ii) Ist K Testknoten, so ist nach Def. 2.3 $m = \underline{true}$ oder $m = \underline{false}$. Ist $m = \underline{true}$, so ist nach Def. 2.4 K' eindeutig bestimmt; ebenso ist dies im Fall $m = \underline{false}$.

Aus dieser Eigenschaft folgt, daß die in Def. 2.5 eingeführte Übergangsfunktion ϕ rechtseindeutig ist. ϕ bildet zusammen mit der Berechnungsfunktion Γ , die die jeweilige Instruktion auf die gegebene Speicherbelegung anwendet, das eingangs erwähnte Berechnungsmodell.

Definition 2.6 legt fest, wie ein Programm ausgeführt wird.

Definition 2.5:

$BM = (\Gamma, \phi)$ heißt Berechnungsmodell, wobei gilt:

- 1. $\Gamma : INSTRUCTIONS \times STORES \rightarrow TFN \times STORES$
 heißt Berechnungsfunktion und ist definiert durch:
 $\Gamma = \lambda I. \lambda s. I \in ASSIGNMENTS \rightarrow (\underline{nil}, I(s))$
 $I \in TESTS \rightarrow (I(s), s)$

2. $\phi : PROGRAMS \times PNODES \times TFN \rightarrow PNODES$

heißt Übergangsfunktion und ist definiert durch:

$\phi = \lambda P. \lambda K. \lambda m. (K, m, K') \in P \rightarrow K'$

Definition 2.6

Sei $P \in \text{PROGRAMS}$, $s \in \text{STORES}$

$$c_i(P, s) = ((I_0, I_0), (t_1, s_1), (I_1, I_1), \dots, (t_n, s_n), (I_n, I_n))$$

heißt vollständige, terminierende Berechnungsfolge von

$$P \text{ bei } s \quad \langle \Rightarrow \rangle$$

$$(i) (I_0, I_0) = (1, \text{START})$$

$$(ii) (t_1, s_1) = (\underline{\text{nil}}, s)$$

$$(iii) \forall i \in \{2, \dots, n\}. (t_i, s_i) = \Gamma(I_{i-1}, s_{i-1})$$

$$(iv) \forall i \in \{1, \dots, n\}. (I_i, I_i) = \Phi(P, (I_{i-1}, I_{i-1}), t_i)$$

$$(v) (I_n, I_n) = (1, \text{STOP})$$

Wenn im folgenden von Berechnungsfolge gesprochen wird, so ist damit immer eine vollständige, terminierende Berechnungsfolge gemeint. Eine Berechnungsfolge stellt ein ausführliches Protokoll einer Programmausführung dar: neben den berechneten Zwischenwerten (s_i) werden alle jeweils ausgeführten Zuweisungen und Tests (I_i) angegeben sowie die Ergebnisse der ausgeführten Tests (t_i). Darüberhinaus wird durch die I_i protokolliert, welchem Programmknoten (von eventuell mehreren I_i -Knoten) die ausgeführte I_i -Instruktion entspricht. Die folgende Definition ist sinnvoll, wenn nur ein Teil dieser Informationen über die Programmausführung von P bei s vorliegen.

Definition 2.7

Sei $c(P, s)$ Berechnungsfolge von P bei Eingabe s mit den Bezeichnungen von Def. 2.6.

1. stmts(P, s) = (I_0, \dots, I_n) heißt Statementfolge von P bei s .

2. assign(P, s) = $\text{proj}_{\downarrow A}$ (stmts(P, s)) heißt Zuweisungsfolge von P bei s , wobei $A = \text{ASSIGNMENTS} \cup \{\text{START}, \text{STOP}\}$

3. ss-stores(P, s) = (s_1, \dots, s_n) heißt statement-getreue Speicherbelegungsfolge von P bei s .

4. as-stores(P, s) = $\langle s_i \mid i = 1, 2, \dots, n \rangle$ heißt zugeweisunggetreue Speicherbelegungsfolge von P bei s .

5. val(P, s) = s_n heißt Ausgabewert von P bei s .

Die Statementfolge von P bei s ist also eine mit START beginnende und STOP endende Folge, die alle bei der Berechnung von $P(s)$ ausgeführten Zuweisungen und Tests in der entsprechenden Reihenfolge wiedergibt. Die zugehörige Zuweisungsfolge erhält man aus der Statementfolge, wenn man aus letzterer genau alle Testinstruktionen entfernt. Die statementgetreue Speicherbelegungsfolge erhält man, indem man die Folge der Speicherbelegungen betrachtet, die sich nach Ausführung einer Zuweisung oder eines Tests ergeben. Aufgrund der Definition des Berechnungsmodell BM ergibt sich, daß eine Testinstruktion eine Speicherbelegung nicht unmittelbar verändern kann. Streicht man in der statementgetreuen Speicherbelegungsfolge alle die Speicherbelegungen, die sich unmittelbar nach Aus-

führung einer Testinstruktion ergeben haben, so erhält man die zugehörige zuweisungsgetreue Speicherbelegungsfolge. Der Ausgabewert von P bei s ist die Speicherbelegung, die bei Erreichen des STOP-Knoten erzeugt worden ist.

Mithilfe der in Def. 2.7 eingeführten Begriffe werden auf der Menge der Programme verschiedene Äquivalenzrelationen definiert. Diese Relationen bilden die Grundlage für die Kriterien, die die Korrektheit eines Programmsynthesealgorithmus bestimmen. Da ein Programmsynthesealgorithmus normalerweise nur eine endliche Menge von Beispielsrechnungen als Eingabe erhält, werden die Relationen nicht nur bezüglich aller möglichen Eingabewerte, sondern allgemeiner bzgl. beliebiger Teilmengen der Eingabewerte definiert.

Definition 2.8

Seien $P_1, P_2 \in \text{PROGRAMS}$, $S \in \text{STORES}$.

(1) P_1 und P_2 heißen statement-äquivalent bzgl. S \Leftrightarrow

$$\forall s \in S. \text{stmts}(P_1, s) = \text{stmts}(P_2, s).$$

(2) P_1 und P_2 heißen zuweisungs-äquivalent bzgl. S \Leftrightarrow

$$\forall s \in S. \text{assign}(P_1, s) = \text{assign}(P_2, s).$$

(3) P_1 und P_2 heißen statement-speicher-äquivalent bzgl. S

$$\Leftrightarrow \forall s \in S. \underline{\text{ss-stores}}(P_1, s) = \underline{\text{ss-stores}}(P_2, s).$$

(4) P_1 und P_2 heißen zuweisungs-speicher-äquivalent bzgl. S

$$\Leftrightarrow \forall s \in S. \underline{\text{as-stores}}(P_1, s) = \underline{\text{as-stores}}(P_2, s).$$

(5) P_1 und P_2 heißen ausgabe-äquivalent bzgl. S

$$\Leftrightarrow \forall s \in S. \text{val}(P_1, s) = \text{val}(P_2, s).$$

Der folgende Satz gibt die bestehenden Relationen zwischen diesen Äquivalenzbegriffen an.

Satz 2.1

Sei S wie in Def. 2.8 gegeben.

(1) Jede der fünf in Def. 2.8 eingeführten Relationen ist eine Äquivalenzrelation auf der Menge PROGRAMS.

(2) Sind (i) - (v) die Aussagen:

(i) P_1 und P_2 sind statement-äquivalent bzgl. S

(ii) P_1 und P_2 sind zuweisungs-äquivalent bzgl. S

(iii) P_1 und P_2 sind statement-speicher-äquivalent bzgl. S

(iv) P_1 und P_2 sind zuweisungs-speicher-äquivalent bzgl. S

(v) P_1 und P_2 sind ausgabe-äquivalent bzgl. S

so gelten die folgenden Implikationen:

$$(2.1) \quad (i) \Rightarrow (ii) \wedge (iii) \wedge (iv) \wedge (v)$$

$$(2.2) \quad (ii) \Rightarrow (iv) \wedge (v)$$

$$(2.3) \quad (iii) \Rightarrow (iv) \wedge (v)$$

$$(2.4) \quad (iv) \Rightarrow (v).$$

Beweis: folgt unmittelbar aus Def. 2.6 - 2.8.

2.2 Programmsyntheseprobleme

Eingaben zu den in 2.3 definierten Programmsynthesealgorithmen sind Beispielsberechnungen. Während Beispielsberechnungen z.B. von einem Programm P erzeugt werden können, werden sie in Def. 2.9 zunächst allgemeiner unabhängig von der Menge der Programme definiert.

Definition 2.9

- (1) S heißt Speicherbelegungsfolge $\Leftrightarrow S \in \text{STORES}^+$.
- (2) (s, IS) heißt (vollständige) Statementbeispielsfolge $\Leftrightarrow s \in \text{STORES} \wedge IS \in \text{START INSTRUCTIONS}^*$ STOP .
- (3) (s, AS) heißt (vollständige) Zuweisungsbeispielsfolge $\Leftrightarrow s \in \text{STORES} \wedge AS \in \text{START ASSIGNMENTS}^*$ STOP .

In Def. 2.10 wird die Eigenschaft von Programmen formalisiert, die man vom Ausgabeprogramm eines Synthesealgorithmus immer verlangen muß, daß nämlich das synthetisierte Programm das Verhalten besitzt, wie es durch die eingegebenen Beispiele repräsentiert wird. Die eingegebenen Beispielsberechnungen müssen also auch Berechnungen des erzeugten Programms sein. Da hier vier verschiedene Arten von Eingaben betrachtet werden, nämlich Statementbeispielsfolgen, Zuweisungsbeispielsfolgen, Speicherbelegungsfolgen, die als statement-speichergetreu interpretiert werden, und Speicherbelegungsfolgen, die als zuweisungs-speicher-getreu interpretiert werden, werden dementsprechend auch vier verschiedene Realisierungsbegriffe für Eingabefolgen unterschieden.

Definition 2.10

B_{IS} sei Menge von Statementbeispielsfolgen,
 B_{AS} Menge von Zuweisungsbeispielsfolgen und
 B_S Menge von Speicherbelegungsfolgen, $P \in \text{PROGRAMS}$.

- (1) P realisiert B_{IS} statement-getreu $\Leftrightarrow \forall (s, IS) \in B_{IS}. IS = \text{stmts}(P, s)$.
- (2) P realisiert B_{AS} zuweisungs-getreu $\Leftrightarrow \forall (s, AS) \in B_{AS}. AS = \text{assign}(P, s)$.
- (3) P realisiert B_S statement-speicher-getreu $\Leftrightarrow \forall (s_1, \dots, s_n) \in B_S. (s_1, \dots, s_n) = \text{ss-stores}(P, s_1)$.
- (4) P realisiert B_S zuweisungs-speicher-getreu $\Leftrightarrow \forall (s_1, \dots, s_n) \in B_S. (s_1, \dots, s_n) = \text{as-stores}(P, s_1)$.

Entsprechend heißt B_{IS} (bzw. B_{AS}, B_S, B_S) statement-getreu (bzw. zuweisungs-getreu, statement-speicher-getreu, zuweisungs-speicher-getreu) realisierbar genau dann, wenn es ein $P \in \text{PROGRAMS}$ gibt, das die Bedingung unter (1) (bzw. (2), (3), (4)) erfüllt.

Ein weiteres Kriterium für die Leistungsfähigkeit eines Programmsynthesealgorithmus ist die Komplexität der erzielten Lösungen. Als Komplexitätsmaß für Programme dienen i.f.f. zwei verschiedene Längenmaße.

Definition 2.11

Sei $P \in \text{PROGRAMS}$.

$$(1) L_S(P) = \{ \{K \mid K \in \text{NODES}(P) \wedge \text{INSTR}(K) \in \text{INSTRUCTIONS} \} \}$$

ist die Anzahl der Instruktionsknoten von P.

$$(2) L_A(P) = \{ \{K \mid K \in \text{NODES}(P) \wedge \text{INSTR}(K) \in \text{ASSIGNMENTS} \} \}$$

ist die Anzahl der Zuweisungsknoten von P.

Es ist zu beachten, daß bei beiden Längenmaßen START- und STOP-Knoten nicht mitgezählt werden, da START, STOP \notin INSTRUCTIONS.

Damit ergibt sich folgende Definition:

Definition 2.12

Sei B_{IS}, B_{AS}, B_S und P wie in Def. 2.10,

$$A_{IS} = \{s \mid \exists IS. (s, IS) \in B_{IS}\},$$

$$A_{AS} = \{s \mid \exists AS. (s, AS) \in B_{AS}\},$$

$$A_S = \{s \mid \exists s_2, \dots, s_n. (s, s_2, \dots, s_n) \in B_S\}.$$

(1) P ist statement-minimal bzgl. B_{IS} \Leftrightarrow

P realisiert B_{IS} statement-getreu $\wedge (\forall P' \in \text{PROGRAMS}$.

P und P' statement-äquivalent bzgl. $A_{IS} \Rightarrow L_S(P) \preceq L_S(P')$.

(2) P ist zuweisungs-minimal bzgl. B_{AS} \Leftrightarrow

P realisiert B_{AS} zuweisungs-getreu $\wedge (\forall P' \in \text{PROGRAMS}$.

P und P' zuweisungs-äquivalent bzgl. $A_{AS} \Rightarrow L_A(P) \preceq L_A(P')$.

(3) P ist statement-minimal bzgl. B_S \Leftrightarrow

P realisiert B_S statement-speicher-getreu $\wedge (\forall P' \in \text{PROGRAMS}$.

P und P' statement-speicher-äquivalent bzgl.

$$A_S \Rightarrow L_S(P) \preceq L_S(P').$$

(4) P ist zuweisungs-minimal bzgl. B_S \Leftrightarrow

P realisiert B_S zuweisungs-speicher-getreu $\wedge (\forall P' \in \text{PROGRAMS}$.

P und P' zuweisungs-speicher-äquivalent bzgl.

$$A_S \Rightarrow L_A(P) \preceq L_A(P').$$

Für einen Programmsynthesealgorithmus sind gemäß Def. 2.12 vier verschiedene Problemstellungen zu unterscheiden:

1. Gegeben ist eine Menge M von Statementbeispielsfolgen.
Gesucht ist ein Programm P mit minimaler Anzahl von Instruktionsknoten, sodaß die durch M dargestellten Berechnungen auch Berechnungen von P sind. Dieser Fall wird durch die sogenannte Problemspezifizierungsmarke s gekennzeichnet.
2. Gegeben ist eine Menge M von Zuweisungsbeispielsfolgen.
Gesucht ist ein Programm P mit minimaler Anzahl von Zuweisungsknoten, sodaß sich die durch M gegebenen Sequenzen von Zuweisungen auch bei den entsprechenden Berechnungen von P ergeben. Dieser Fall wird durch die Problemspezifizierungsmarke a gekennzeichnet.
3. Gegeben ist eine Menge M von Speicherbelegungsfolgen.
Gesucht ist ein Programm P mit minimaler Anzahl von Instruktionsknoten, sodaß alle Elemente von M statement-getreue Speicherbelegungsfolgen von P sind. Dieser Fall wird durch ss gekennzeichnet.

4. Gegeben ist eine Menge M von Speicherbelegungsfolgen. Gesucht ist ein Programm P mit minimaler Anzahl von Zuweisungsknoten, sodaß alle Elemente von M zuweisungsgetreue Speicherbelegungsfolgen von P sind. Fall 4 wird durch as gekennzeichnet.

Die vier angegebenen Fälle werden in der folgenden Definition formalisiert:

Definition 2.13

- (1) (b, M) heißt Programmsyntheseproblem (PSP) $\langle \Rightarrow \rangle$
 $b = \underline{s} \wedge M$ ist Menge von Statementbelegungsfolgen
 oder:
 $b = \underline{a} \wedge M$ ist Menge von Zuweisungsbelegungsfolgen
 oder:
 $b = \underline{ss} \wedge M$ ist Menge von Speicherbelegungsfolgen
 oder:
 $b = \underline{as} \wedge M$ ist Menge von Speicherbelegungsfolgen.
 $PSP_{I,S}$ sei die Menge aller PSP.
- (2) Ein $PSP(b, M)$ heißt PSP aus Instruktionsfolgen $\langle \Rightarrow \rangle$
 $b = \underline{s} \vee b = \underline{a}$.
 PSP_I sei die Menge aller PSP aus Instruktionsfolgen.
- (3) Ein $PSP(b, M)$ heißt PSP aus Speicherbelegungsfolgen $\langle \Rightarrow \rangle$
 $b = \underline{ss} \vee b = \underline{as}$.
 PSP_S sei die Menge aller PSP aus Speicherbelegungsfolgen.
- (4) (b, M) sei ein PSP. b heißt Problemspezifizierungsmarke,
 M heißt Beispielmengende des PSP.

(5) Ein $PSP(b, M)$ heißt endliches PSP genau dann, wenn $|M| < \infty$. Ist X eine Menge von PSP, so bezeichnet X_{fin} die Teilmenge aller endlichen PSP von X.

Um auch bei den in Def. 2.8, 2.10 und 2.12 eingeführten Äquivalenz-, Realisierungs- und Minimalitätsbegriffen Gebrauch von der Problemspezifizierungsmarkierung $b \in \{\underline{s}, \underline{a}, \underline{ss}, \underline{as}\}$ machen zu können, wird folgendes vereinbart:

In den Def. 2.8 und 2.10 sowie im folgenden entspreche das Präfix

- "statement" dem Präfix "s"
- "zuweisungs" dem Präfix "a"
- "statement-speicher" dem Präfix "ss"
- "zuweisungs-speicher" dem Präfix "as".

Darüberhinaus sei für $b \in \{\underline{s}, \underline{a}, \underline{ss}, \underline{as}\}$ $L_b(P)$ mit $P \in PROGRAMS$ definiert durch:

$$L_{\underline{s}}(P) := L_{\underline{ss}}(P) := \text{def } L_S(P)$$

$$L_{\underline{a}}(P) := L_{\underline{as}}(P) := \text{def } L_A(P)$$

Diese Vereinbarungen ermöglichen eine einheitliche Sprechweise bzgl. der gesamten Menge der Programmsyntheseprobleme und haben Gültigkeit für alle folgenden Kapitel.

Definition 2.14

Sei $Q \in \text{PSP}_{I,S}$, $Q = (b, M)$, $P \in \text{PROGRAMS}$, $n \in \mathbb{N}$.

- (1) P realisiert Q $\Leftrightarrow P$ realisiert M b-getreu.
- (2) P n-realisiert Q $\Leftrightarrow P$ realisiert $Q \wedge L_b(P) = n$.
- (3) P ist minimal bzgl. Q $\Leftrightarrow P$ realisiert $Q \wedge (\forall P' \in \text{PROGRAMS}. P' \text{ realisiert } Q \Rightarrow L_b(P) \leq L_b(P'))$.
- (4) Q ist realisierbar $\Leftrightarrow \exists P \in \text{PROGRAMS}. P$ realisiert Q .
- (5) Q ist n-realisierbar $\Leftrightarrow \exists P \in \text{PROGRAMS}. P$ n-realisiert Q .
- (6) Q ist minimal n-realisierbar $\Leftrightarrow Q$ ist n-realisierbar $\wedge \neg(Q$ ist $(n-1)$ -realisierbar).

Beispiel 2.3

Mit den Vereinbarungen von Beispiel 2.1 werden vier PSP Q_1, Q_2, Q_3, Q_4 angegeben, die auch in den weiteren Beispielen dieser Arbeit benutzt werden.

1. $Q_1 = (\underline{a}, \{M_1, M_2, M_3, M_4\})$, wobei:

$M_1 = ((3, 1, 3, 4, 4), (\underline{\text{START}}, \text{CL}(1), \text{ZR}(2), \text{A}(1, 3), \text{S1}(2), \text{ZR}(2), \text{A}(1, 5), \underline{\text{STOP}}))$

$M_2 = ((0, 2, 4, 3, 4), (\underline{\text{START}}, \text{CL}(1), \text{ZR}(2), \text{A}(1, 3), \text{S1}(2), \text{ZR}(2), \text{A}(1, 3), \text{S1}(2), \text{A}(1, 4), \underline{\text{STOP}}))$

$M_3 = ((2, 0, 2, 3, 0), (\underline{\text{START}}, \text{CL}(1), \text{ZR}(2), \text{A}(1, 4), \underline{\text{STOP}}))$

$M_4 = ((1, 1, 2, 0, 1), (\underline{\text{START}}, \text{CL}(1), \text{ZR}(2), \text{A}(1, 3), \text{S1}(2), \text{ZR}(2), \text{A}(1, 5), \underline{\text{STOP}}))$

2. $Q_2 = (\underline{a}, \{M_1, M_2, M_3, M_4\})$, wobei:

$M_1 = ((0, 1, 4, 2, 3), (\underline{\text{START}}, \text{CL}(1), \text{A}(1, 3), \text{S1}(2), \text{A}(1, 5), \underline{\text{STOP}}))$
 $M_2 = ((2, 2, 5, 2, 2), (\underline{\text{START}}, \text{CL}(1), \text{A}(1, 3), \text{S1}(2), \text{A}(1, 3), \text{S1}(2), \text{A}(1, 3), \text{S1}(2), \text{A}(1, 4), \underline{\text{STOP}}))$

$M_3 = ((3, 0, 4, 3, 1), (\underline{\text{START}}, \text{CL}(1), \text{A}(1, 4), \underline{\text{STOP}}))$

$M_4 = ((3, 2, 2, 5, 4), (\underline{\text{START}}, \text{CL}(1), \text{A}(1, 3), \text{S1}(2), \text{A}(1, 3), \text{S1}(2), \text{A}(1, 3), \text{S1}(2), \text{A}(1, 4), \underline{\text{STOP}}))$

3. $Q_3 = (\underline{ss}, \{M_1, M_2, M_3, M_4\})$ mit:

$M_1 = ((1, 2, 4, 1, 1), (0, 2, 4, 1, 1), (0, 2, 4, 1, 1), (4, 2, 4, 1, 1), (4, 1, 4, 1, 1), (4, 1, 4, 1, 1), (8, 1, 4, 1, 1), (8, 0, 4, 1, 1), (8, 0, 4, 1, 1), (9, 0, 4, 1, 1))$

$M_2 = ((0, 1, 3, 1, 3), (0, 1, 3, 1, 3), (0, 1, 3, 1, 3), (3, 1, 3, 1, 3), (3, 0, 3, 1, 3), (3, 0, 3, 1, 3), (6, 0, 3, 1, 3))$

$M_3 = ((1, 1, 0, 2, 1), (0, 1, 0, 2, 1), (0, 1, 0, 2, 1), (0, 1, 0, 2, 1), (0, 1, 0, 2, 1), (0, 0, 0, 2, 1), (0, 0, 0, 2, 1), (1, 0, 0, 2, 1))$

$M_4 = ((3, 2, 1, 2, 3), (0, 2, 1, 2, 3), (0, 2, 1, 2, 3), (1, 2, 1, 2, 3), (1, 1, 1, 2, 3), (1, 1, 1, 2, 3), (2, 1, 1, 2, 3), (2, 0, 1, 2, 3), (2, 0, 1, 2, 3), (4, 0, 1, 2, 3))$

4. $Q_4 = (\underline{as}, \{M_1, M_2, M_3, M_4, M_5\})$ mit:

$M_1 = ((1, 2, 4, 1, 1), (0, 2, 4, 1, 1), (4, 2, 4, 1, 1), (4, 1, 4, 1, 1), (8, 1, 4, 1, 1), (8, 0, 4, 1, 1), (9, 0, 4, 1, 1))$

$M_2 = ((0, 1, 3, 1, 2), (0, 1, 3, 1, 2), (3, 1, 3, 1, 2), (3, 0, 3, 1, 2), (3, 0, 3, 1, 2), (5, 0, 3, 1, 2))$

- $M_3 = ((2,0,3,2,4), (0,0,3,2,4), (2,0,3,2,4))$
 $M_4 = ((0,3,1,2,3), (0,3,1,2,3), (1,3,1,2,3), (1,2,1,2,3), (2,2,1,2,3), (2,1,1,2,3), (3,1,1,2,3), (3,0,1,2,3), (6,0,1,2,3))$
 $M_5 = ((2,2,1,4,3), (0,2,1,4,3), (1,2,1,4,3), (1,1,1,4,3), (2,1,1,4,3), (2,0,1,4,3), (6,0,1,4,3))$

2.3 Programmsynthesealgorithmen

Aufgabe eines Programmsynthesealgorithmus (PSA) ist es, aus einer vorgegebenen endlichen Menge von Beispielen ein Programm zu konstruieren, das alle diese Beispiele erzeugen kann, wobei die vier angegebenen Arten von Beispielen zu unterscheiden sind.

Definition 2.15

(1) Ein Programmsynthesealgorithmus (PSA) ist eine Abbildung PA

$$PA : \text{PSP}_{I,S}^{\text{fin}} \longrightarrow \text{PROGRAMS}.$$

(2) Ein PSA aus Instruktionsfolgen ist eine Abbildung

$$PA : \text{PSP}_I^{\text{fin}} \longrightarrow \text{PROGRAMS}.$$

(3) Ein PSA aus Speicherbelegungsfolgen ist eine Abbildung

$$PA : \text{PSP}_S^{\text{fin}} \longrightarrow \text{PROGRAMS}.$$

Ob ein PSA PA 'richtig' arbeitet und wie seine Lösungen charakterisiert sind, kann von verschiedenen Gesichtspunkten aus beurteilt werden. Da die als Eingabe vorliegenden PSP unabhängig von der Menge der Programme definiert wurden, wird hiervon ausgehend in Def. 2.16 festgelegt, wann ein PSA fehlerfrei bzw. minimale Beispielsrealisierungen erzeugt.

Definition 2.16

Sei PA ein PSA, $B \subseteq \text{PSP}_{I,S}^{\text{fin}}$.

(1) PA erzeugt aus B fehlerfreie Beispielsrealisierungen \Leftrightarrow

$$(\forall Q \in B. (PA(Q) \text{ realisiert } Q \Leftrightarrow Q \text{ ist realisierbar}) \wedge (PA(Q) = \emptyset \Leftrightarrow \neg (Q \text{ ist realisierbar})))$$

(2) PA erzeugt aus B minimale Beispielsrealisierungen \Leftrightarrow

$$(\forall Q \in B. Q \text{ ist realisierbar} \Rightarrow PA(Q) \text{ ist minimal bzgl. } Q)$$

Betrachtet man nur die realisierbaren PSP, so kann man sagen, daß jedes (realisierbare) PSP von einem Programm P erzeugt wird. Nimmt man z.B. eine Menge CP von Berechnungsfolgen von P und bildet daraus die entsprechenden zuweisungsgetreuen Speicherbelegungsfolgen M, so erhält man ein von P erzeugtes PSP (as,M). I.a. besitzt ein Programm P eine unendliche Menge verschiedener Berechnungsfolgen; da STORES und damit auch die Menge der möglichen Eingabewerte für P jedoch abzählbar und P nach Def. 2.4 deterministisch ist, kann P höchstens ab-

zählbar viele unterschiedliche Berechnungsfolgen haben, je-
doch mehr als abzählbar viele PSP erzeugen.

Insbesondere werden dies endliche und i.a. auch unendliche
PSP sein. Alle durch ein Programm P erzeugten endlichen und
unendlichen PSP sind natürlich realisierbar, ein PSA kann
sinnvollerweise aber nur endliche PSP bearbeiten.

Ein PSA wird als korrekt (bzgl. der Menge aller Programme)
bezeichnet, wenn er aus jedem endlichen, von einem beliebigen
Programm P erzeugten PSP Q ein Programm P' konstruiert, das
Q realisiert.

Weiterhin ergibt sich die Frage, ob ein PSA PA zu jedem Pro-
gramm P aus einem von P erzeugten endlichen PSP Q ein Pro-
gramm P' synthetisieren kann, sodaß alle b-getreuen Berech-
nungsfolgen von P auch b-getreue Berechnungsfolgen von P'
sind. Wenn für jede Aufzählung E der Berechnungsfolgen von
P ein endliches Präfix von E genügt, sodaß PA aus dem diesem
Präfix entsprechenden PSP ein Programm P' mit der gewünschten
Eigenschaft konstruiert, so ist PA vollständig bzgl. der Menge
aller Programme. (In diesem Fall kann man davon sprechen, daß
PA jedes Programm P aus einer endlichen Menge von Beispielen
synthetisieren kann). Ist das so erhaltene Programm P' dar-
überhinaus das 'kleinste' in der Klasse aller Programme P",
die die von P' geforderte Eigenschaft erfüllen, so ist PA
lösungsminimal.

Die drei folgenden Definitionen präzisieren diese Überle-
gungen.

Definition 2.17

Sei $P \in \text{PROGRAMS}$.

(1) $\text{COMP}(P) = \{c(P,s) \mid \exists s \in \text{STORES}. c(P,s) \text{ ist vollständige,}$
terminale Berechnungsfolge}
ist die Menge der Berechnungsfolgen von P.

(2) $\text{DEF}(P) = \{s \mid s \in \text{STORES} \wedge c(P,s) \in \text{COMP}(P)\}$ ist der
Definitionsbereich von P (das ist gerade der Bereich, über
dem P terminiert).

Jede Teilmenge der Berechnungsfolgen eines Programms P kann
vier verschiedene Programmsynthese probleme erzeugen.

Definition 2.18

Für eine Menge M bezeichne $\text{POT}(M)$ die Potenzmenge von M.

(1) GPSP ist eine Abbildung

$$\text{GPSP} : \{\underline{s}, \underline{a}, \underline{ss}, \underline{as}\} \times \text{POT}(\text{COMP}(P)) \longrightarrow \text{PSP}_{I,S}$$

und ist definiert durch:

$$\text{GPSP} = \lambda b. \lambda \text{CP}. b = \underline{s} \longrightarrow (s, \{\text{stmts}(P,s) \mid c(P,s) \in \text{CP}\})$$

$$b = \underline{a} \longrightarrow (\underline{a}, \{\text{assign}(P,s) \mid c(P,s) \in \text{CP}\})$$

$$b = \underline{ss} \longrightarrow (\underline{ss}, \{\underline{ss}\text{-stores}(P,s) \mid c(P,s) \in \text{CP}\})$$

$$b = \underline{as} \longrightarrow (\underline{as}, \{\underline{as}\text{-stores}(P,s) \mid c(P,s) \in \text{CP}\})$$

(2) Sei $P \in \text{PROGRAMS}$, $\text{CP} \in \text{COMP}(P)$, $b \in \{\underline{s}, \underline{a}, \underline{ss}, \underline{as}\}$.

GPSP(b,CP) ist das von CP b-getreue erzeugte Programm-
syntheseproblem.

Beispiel 2.4

Die im vorigen Beispiel angegebenen PSP Q_1, Q_2, Q_3, Q_4 werden vom Programm P (Beispiel 2.2) erzeugt.

Hiermit sind die Voraussetzungen dafür gegeben, Korrektheit, Vollständigkeit und Lösungsminimalität von PSA zu formalisieren.

Definition 2.19

PA sei ein PSA. Für eine abzählbare Menge X bezeichne $ENUMERATE(X)$ die Menge aller Aufzählungen von X.

- (1) PA ist korrekt (bzgl. PROGRAMS) \Leftrightarrow
 $\forall P \in PROGRAMS. \forall CP \subseteq COMP(P). \forall b \in \{\underline{s}, \underline{a}, \underline{ss}, \underline{as}\}$
 $(|CP| < \infty \Rightarrow PA(GPSP(b, CP)) \text{ realisiert } GPSP(b, CP))$

- (2) PA ist vollständig (bzgl. PROGRAMS) \Leftrightarrow
 $\forall P \in PROGRAMS. \forall (C_1, C_2, \dots) \in ENUMERATE(COMP(P)).$
 $\forall b \in \{\underline{s}, \underline{a}, \underline{ss}, \underline{as}\}. \exists k \in \mathbb{N}.$
 $(PA(GPSP(b, \{C_1, \dots, C_k\})) \text{ realisiert } GPSP(b, COMP(P)))$

- (3) PA ist Lösungsminimal (bzgl. PROGRAMS) \Leftrightarrow
 $\forall P, P' \in PROGRAMS. \forall (C_1, C_2, \dots) \in ENUMERATE(COMP(P)).$
 $\forall b \in \{\underline{s}, \underline{a}, \underline{ss}, \underline{as}\}. \forall k \in \mathbb{N}.$
 $(PA(GPSP(b, \{C_1, \dots, C_k\})) \text{ realisiert } GPSP(b, COMP(P))$
 $\wedge P' \text{ realisiert } GPSP(b, COMP(P))$
 $\Rightarrow L_b(PA(GPSP(b, \{C_1, \dots, C_k\}))) \not\subseteq L_b(P'))$

Betrachtet man nur eine der vier Arten von PSP, so ist für $b \in \{\underline{s}, \underline{a}, \underline{ss}, \underline{as}\}$ b-korrekt wie "korrekt" zu definieren, wobei die Quantifizierung über b entfällt und für b der entsprechende Wert eingesetzt wird (analog für b-vollständig und b-lösungsminimal).

Bei der Untersuchung von Vollständigkeit und Lösungsminimalität von PSA und bei dem Vergleich von Programmen miteinander erweist sich die folgende Definition als nützlich.

Definition 2.20:

Seien $P, P' \in PROGRAMS, b \in \{\underline{s}, \underline{a}, \underline{ss}, \underline{as}\}.$

- (1) P' ist b-getreue Extension von P \Leftrightarrow
 $P' \text{ realisiert } GPSP(b, COMP(P)).$
 (2) P' und P sind total b-äquivalent \Leftrightarrow
 $P' \text{ ist b-getreue Extension von P}$
 $\wedge P \text{ ist b-getreue Extension von P'}$.

Mit den in Def. 2.8 eingeführten Äquivalenzbegriffen ergeben sich folgende Beziehungen:

- (i) P' ist b-getreue Extension von P \Leftrightarrow
 $P' \text{ und P sind b-äquivalent bzgl. } DEF(P).$
 (ii) P' und P sind total b-äquivalent \Leftrightarrow
 $P' \text{ und P sind b-äquivalent bzgl. } DEF(P) \wedge DEF(P) = DEF(P').$

P' ist also b-getreue Extension von P genau dann, wenn jede terminierende Berechnungsfolge von P auch terminierende Berechnungsfolge von P' ist.

2.4 Zielsetzungen

Es soll ein PSA PA entwickelt werden, der

- den erforderlichen Suchraum von vorneherein möglichst stark einschränkt
- diesen eingeschränkten Suchraum nicht "ziellos" durchsucht, sondern die durch M gegebenen Informationen konstruktiv benutzt.
- durch fortgesetzte Hypothesenbildung sich immer mehr dem Zielprogramm annähert
- sinnvolle Heuristiken für die Reihenfolge der Auswahl der Hypothesen benützt.
- falsche Hypothesen möglichst frühzeitig als solche erkennt
- alle vier Arten von PSP in uniformer Weise bearbeitet und für den durch formalen Korrektheitsbeweis gezeigt wird, daß er
- aus der Menge aller endlichen PSP fehlerfreie und minimale Beispielsrealisierungen erzeugt
- bzgl. der Menge aller Programme korrekt, vollständig und lösungsminimal ist.

Neben Abschätzungen der Größe des Suchraumes von PA in Abhängigkeit vom Eingabe-PSP Q und dessen Parametern sollen für $PSP_{I,S}^{fin}$ und verschiedene Unterklassen davon Komplexitätsberechnungen vorgenommen werden.

Kap. 3. IN PA VERWANDTE PROBLEMDARSTELLUNGSARTEN

3.1. Standarddarstellungen

Standarddarstellungen werden für PSP (3.1.1) und deren Realisierungen (3.1.2) definiert. In 3.1.3 werden die bestehenden Beziehungen zwischen beiden aufgezeigt.

3.1.1 Standarddarstellung eines PSP

Q = (b,M) sei ein PSP. In Abhängigkeit von b stehen mit M zunächst völlig verschiedenartige Informationen zur Verfügung, aus denen ein Programm synthetisiert werden soll. Betrachtet man Q als ein von einem Programm P erzeugtes PSP, so geben die Folgen aus M Informationen über die Berechnungsfolgen von P bei gewissen Eingabewerten. Nach Definition von Q sind diese Eingabewerte, aus denen die Elemente von M gewonnen wurden, gegeben.

Bei PSP aus Instruktionsfolgen sind keine weiteren Angaben zu den jeweiligen Zwischen- und Endspeicherbelegungen gemacht; bei PSP aus Speicherbelegungsfolgen sind gerade diese vorhanden, aber keinerlei Angaben darüber, welche Instruktionen ausgeführt werden. In beiden Fällen fehlen die Transitionsmarkierungen aus {true,false,nil}, die in der vollständigen Berechnungsfolgen erscheinen müßten. Ist $b \in \{a,as\}$, so können zwischen zwei in M hintereinander folgenden Instruktionen bzw. Speicherbelegungen in der

zugehörigen vollständigen Berechnungsfolge keine, eine oder beliebig viele Testinstruktionen stehen. In allen Fällen fehlen im Vergleich zu den vollständigen Berechnungsfolgen mit den I_i die Angaben über die LABEL der durchlaufenen Programmknotten.

Wären alle diese Informationen gegeben, d.h. bestünde M aus einer Menge von Berechnungsfolgen von P, so wäre es eine triviale Aufgabe, ein Programm P' anzugeben, das alle diese Berechnungsfolgen ebenfalls erzeugen kann, indem man als Programmknotten von P' gerade die (I_i, I_i) nimmt, die in M enthalten sind, und die Transitionen zwischen den Knoten gemäß den in M gegebenen wählt. Allerdings ist dann P' nicht notwendig minimale Beispielsrealisierung von M.

Die erste Phase des PSA besteht daher darin, Q in ein sog. standardisiertes PSP zu überführen, in dem bereits mehr von Q ableitbare Informationen über die entsprechenden vollständigen Berechnungsfolgen enthalten sind. Die zu Q gehörige Standarddarstellung ist ein 4-Tupel (b, S, MI, MT) , wobei S die Folgen der berechneten Zwischenwerte, MI die Menge der jeweils möglicherweise ausgeführten Instruktionen und MT die zugehörigen Transitionen wieder gibt. Im Falle der Transitionen macht man sich dabei folgende Überlegungen zunutze:

Ist $b \in \{s, \underline{ss}\}$, so kann zwischen zwei Instruktionen bzw. zwei Speicherbelegungen nur genau ein Übergang t von einem Instruktionsknoten zum anderen erfolgt sein, wobei

$t \in \{\underline{true}, \underline{false}, \underline{nil}\}$. Ist $b = \underline{s}$, so ist t eindeutig festgelegt und in MT wird an der entsprechenden Stelle t gespeichert. Für $b = \underline{ss}$ ist t abhängig von der zuvor ausgeführten Instruktion, für die es i.a. mehrere Alternativen gibt. In MT werden in diesem Fall Paare (I, t) aus möglichst Instruktion I und entsprechendem Übergang t abgelegt.

Ist $b \in \{a, \underline{as}\}$, so kann der oben beschriebene Fall von kei-ner, einer oder mehreren Testinstruktionen vorliegen. Da für solche b zunächst nur eine Minimierung der Zuweisungsknoten gefordert wurde, genügt vorerst die Annahme, daß jede Testinstruktion genau einmal angewendet wurde, bevor eine neue Zuweisungsinstruktion ausgeführt wurde. Eine solche Folge von unterschiedlichen Tests läßt sich (bis auf deren Reihenfolge) eindeutig charakterisieren z.B. durch die Angabe der Tests, die true liefern. Dies wird in MT an der entsprechenden Stelle gespeichert.

Die folgende Definition erlaubt es, in allen Fällen von b-Transitionen zu sprechen.

Definition 3.1

- (1) Für $b \in \{\underline{s}, \underline{a}, \underline{ss}, \underline{as}\}$ heißt $TRANS_b$ Menge der b-Transitionen $\langle \Rightarrow \rangle$
 - (i) $b = \underline{s} \Rightarrow TRANS_b = \{\underline{true}, \underline{false}, \underline{nil}\} = TPN$
 - (ii) $b \in \{a, \underline{as}\} \Rightarrow TRANS_b = POT(TESTS)$
 - (iii) $b = \underline{ss} \Rightarrow TRANS_b = POT(INSTRUCTIONS \times TPN)$

2) Für $b \in \{s, a, ss, as\}$ heißt $TRANS'_b$ Menge der b'-Transitionen \Leftrightarrow

- (i) $b \in \{s, ss\} \Rightarrow TRANS'_b = TFN$
- (ii) $b \in \{a, as\} \Rightarrow TRANS'_b = POT(TESTS)$

Bei dem in Kapitel 2 eingeführten Berechnungsmodell wurden die Mengen der Zuweisungsoperationen bzw. die der Testoperationen nicht näher spezifiziert. Die Berechnungsfunktion Γ besteht i.w. aus einer Anwendung der jeweils vorliegenden Instruktion auf die gegebene Speicherbelegung. In Def. 3.2 werden zwei Projektionen von Γ und drei sich daraus ergebende Umkehrfunktionen definiert, mit deren Hilfe das eingangs erwähnte standardisierte PSP angegeben werden kann.

Definition 3.2.

Γ sei die Berechnungsfunktion des in Def. 2.5 beschriebenen Berechnungsmodells.

- (1) $\gamma: INSTRUCTIONS \times STORES \rightarrow TFN$
 $\gamma = proj_{\uparrow TFN}(\Gamma)$
- (2) $\delta: INSTRUCTIONS \times STORES \rightarrow STORES$
 $\delta = proj_{\uparrow STORES}(\Gamma)$
- (3) $\bar{\gamma}: STORES \times \{true, false\} \rightarrow POT(TESTS)$
 $\bar{\gamma} = \lambda s. \lambda t. \{I | I \in TESTS \wedge \gamma(I, s) = t\}$

- (4) $\bar{\delta}_A: STORES^2 \rightarrow POT(ASSIGNMENTS)$
 $\bar{\delta}_A = \lambda s. \lambda s'. \{I | I \in ASSIGNMENTS \wedge \delta(I, s) = s'\}$
- (5) $\bar{\delta}_I: STORES^2 \rightarrow POT(INSTRUCTIONS)$
 $\bar{\delta}_I = \lambda s. \lambda s'. \{I | I \in INSTRUCTIONS \wedge \delta(I, s) = s'\}$

Definition 3.3.

$Q = (b, M)$ sei ein PSP. Für M gelte in Abhängigkeit von b :

$M = (M_i)_{1 \leq i \leq m}$ mit:
 $b \in \{s, a\} \Rightarrow \forall i \in \{1, \dots, m\}. M_i = (st_i, (M_{i,0}, \dots, M_{i,n_i}))$
 $b \in \{ss, as\} \Rightarrow \forall i \in \{1, \dots, m\}. M_i = (M_{i,1}, \dots, M_{i,n_i})$

(1) $\dim(Q) = (m, (n_1, \dots, n_m))$ heißt Dimension von Q.

(2) (b, S, MI, MT) heißt standardisiertes PSP von Q \Leftrightarrow

- (i) $S = (s_{i,j})_{\substack{1 \leq i \leq m \\ 1 \leq j \leq n_i}}$ mit:
 $b \in \{s, a\} \Rightarrow \forall i \in \{1, \dots, m\}. (s_{i,1} = st_i) \wedge \forall j \in \{2, \dots, n_i\}. s_{i,j} = \delta(M_{i,j}, s_{i,j-1})$
 $b \in \{ss, as\} \Rightarrow S = M$
- (ii) $MI = (MI_{i,j})_{\substack{1 \leq i \leq m \\ 0 \leq j \leq n_i}}$ mit:
 S heißt Speicherbelegungsmatrix von Q.
 $\forall i \in \{1, \dots, m\}. MI_{i,0} = \{START\} \wedge \forall j \in \{1, \dots, n_i-1\}.$

$$MI_{i,j} = \begin{cases} \{M_{i,j}\} & \langle \Rightarrow \rangle b \in \{s, a\} \\ \bar{0}_I (s_{i,j}, s_{i,j+1}) & \langle \Rightarrow \rangle b = \underline{ss} \\ \bar{0}_A (s_{i,j}, s_{i,j+1}) & \langle \Rightarrow \rangle b = \underline{as} \end{cases}$$

$$\wedge MI_{i,n_i} = \{\underline{STOP}\}$$

MI heißt Matrix der Instruktionen von Q.

(iii) $MT = (MT_{i,j})_{\substack{1 \leq i \leq m \\ 0 \leq j < n_i}}$ mit:

$$\forall i \in \{1, \dots, m\}. \forall j \in \{0, \dots, n_i - 1\}.$$

$$MT_{i,j} = \begin{cases} \underline{nil} & \langle \Rightarrow \rangle b = \underline{s} \wedge j = 0 \\ \gamma(M_{i,j}, s_{i,j}) & \langle \Rightarrow \rangle b = \underline{s} \wedge j \neq 0 \\ \{(\underline{START}, \underline{nil})\} & \langle \Rightarrow \rangle b = \underline{ss} \wedge j = 0 \\ \{(I, \gamma(I, s_{i,j})) \mid I \in MI_{i,j}\} & \langle \Rightarrow \rangle b = \underline{ss} \wedge j \neq 0 \\ \bar{\gamma}(s_{i,j+1}, \underline{true}) & \langle \Rightarrow \rangle b \in \{a, \underline{as}\} \end{cases}$$

MT heißt Matrix der Transitionen von Q.

Notation: Für $I \in MI_{i,j}$ sei:

$$MT_{i,j}^I = \begin{cases} MT_{i,j} & \langle \Rightarrow \rangle b \in \{s, a, \underline{as}\} \\ m & \langle \Rightarrow \rangle b = \underline{ss} \wedge (I, m) \in MT_{i,j} \end{cases}$$

(Bemerkung: Für alle $I \in MI_{i,j}$ ist $MT_{i,j}^I$ eindeutig bestimmt!)

(3) Für ein PSP Q bezeichnet Q_{ST} das standardisierte PSP von Q.

Beispiel 3.1

Für die Beispiels-PSP Q_1, Q_2, Q_3, Q_4 werden die Standarddarstellungen angegeben:

1. Für $Q_1 : (s, S, MI, MT)$ mit:

$$\begin{bmatrix} 3 & 0 & 0 & 3 & 3 & 7 & 3 & 0 & 0 & 0 & 8 & 8 & 11 \\ 1 & 1 & 1 & 1 & 0 & 0 & 0 & 0 & 0 & 0 & 0 & 0 & 0 \\ 3 & 3 & 3 & 3 & 3 & 3 & 3 & 3 & 3 & 3 & 4 & 4 & 4 \\ 4 & 4 & 4 & 4 & 4 & 4 & 4 & 4 & 4 & 4 & 4 & 4 & 4 \\ 4 & 4 & 4 & 4 & 4 & 4 & 4 & 4 & 4 & 4 & 4 & 4 & 4 \\ 0 & 0 & 0 & 4 & 4 & 4 & 4 & 4 & 4 & 4 & 8 & 8 & 11 \\ 2 & 2 & 2 & 1 & 1 & 1 & 1 & 1 & 1 & 1 & 0 & 0 & 0 \\ 4 & 4 & 4 & 4 & 4 & 4 & 4 & 4 & 4 & 4 & 4 & 4 & 4 \\ 3 & 3 & 3 & 3 & 3 & 3 & 3 & 3 & 3 & 3 & 3 & 3 & 3 \\ 4 & 4 & 4 & 4 & 4 & 4 & 4 & 4 & 4 & 4 & 4 & 4 & 4 \end{bmatrix} = S$$

$$MI = \begin{bmatrix} \{\underline{START}\} & \{\underline{CL}(1)\} & \{\underline{ZR}(2)\} & \{A(1,3)\} & \{S1(2)\} & \{\underline{ZR}(2)\} & \{A(1,5)\} & \{\underline{STOP}\} \\ \{\underline{START}\} & \{\underline{CL}(1)\} & \{\underline{ZR}(2)\} & \{A(1,3)\} & \{S1(2)\} & \{\underline{ZR}(2)\} & \{A(1,3)\} & \{S1(2)\} & \{A(1,4)\} & \{\underline{STOP}\} \\ \{\underline{START}\} & \{\underline{CL}(1)\} & \{\underline{ZR}(2)\} & \{A(1,4)\} & \{\underline{STOP}\} & & & & & \\ \{\underline{START}\} & \{\underline{CL}(1)\} & \{\underline{ZR}(2)\} & \{A(1,3)\} & \{S1(2)\} & \{\underline{ZR}(2)\} & \{A(1,5)\} & \{\underline{STOP}\} \end{bmatrix}$$

$$\begin{bmatrix} \underline{nil} & \underline{nil} & \underline{false} & \underline{nil} & \underline{nil} & \underline{true} & \underline{nil} & \underline{nil} & \underline{true} & \underline{nil} \\ \underline{nil} & \underline{nil} & \underline{false} & \underline{nil} & \underline{nil} & \underline{false} & \underline{nil} & \underline{nil} & \underline{true} & \underline{nil} \\ \underline{nil} & \underline{nil} & \underline{true} & \underline{nil} & \underline{nil} & \underline{false} & \underline{nil} & \underline{nil} & \underline{true} & \underline{nil} \\ \underline{nil} & \underline{nil} & \underline{false} & \underline{nil} & \underline{nil} & \underline{true} & \underline{nil} & \underline{nil} & \underline{true} & \underline{nil} \end{bmatrix} = MT$$

2. Für $Q_2 : (a, S, MI, MT)$ mit:

$$S = \begin{bmatrix} 0 & 0 & 4 & 4 & 7 \\ 1 & 1 & 1 & 0 & 0 \\ 4 & 4 & 4 & 4 & 4 \\ 2 & 2 & 2 & 2 & 2 \\ 3 & 3 & 3 & 3 & 3 \\ 2 & 0 & 5 & 5 & 10 & 12 \\ 2 & 2 & 2 & 1 & 1 & 0 \\ 5 & 5 & 5 & 5 & 5 & 5 \\ 2 & 2 & 2 & 2 & 2 & 2 \\ 2 & 2 & 2 & 2 & 2 & 2 \\ 3 & 0 & 3 & & & \\ 0 & 0 & 0 & & & \\ 4 & 4 & 4 & & & \\ 3 & 3 & 3 & & & \\ 1 & 1 & 1 & & & \\ 3 & 0 & 2 & 2 & 4 & 9 \\ 2 & 2 & 2 & 1 & 1 & 0 \\ 2 & 2 & 2 & 2 & 2 & 2 \\ 5 & 5 & 5 & 5 & 5 & 5 \\ 4 & 4 & 4 & 4 & 4 & 4 \end{bmatrix}$$

$$MI = \begin{bmatrix} \{\text{START}\} \{\text{CL}(1)\} \{\text{A}(1,3)\} \{\text{S1}(2)\} \{\text{A}(1,5)\} \{\text{STOP}\} \\ \{\text{START}\} \{\text{CL}(1)\} \{\text{A}(1,3)\} \{\text{S1}(2)\} \{\text{A}(1,3)\} \{\text{S1}(2)\} \{\text{A}(1,4)\} \{\text{STOP}\} \\ \{\text{START}\} \{\text{CL}(1)\} \{\text{A}(1,4)\} \{\text{STOP}\} \\ \{\text{START}\} \{\text{CL}(1)\} \{\text{A}(1,3)\} \{\text{S1}(2)\} \{\text{A}(1,3)\} \{\text{S1}(2)\} \{\text{A}(1,4)\} \{\text{STOP}\} \end{bmatrix}$$

$$MT = \begin{bmatrix} \{\text{ZR}(1)\} \{\text{ZR}(1)\} \emptyset \{\text{ZR}(2)\} \{\text{ZR}(2)\} \\ \emptyset \{\text{ZR}(1)\} \emptyset \emptyset \{\text{ZR}(2)\} \{\text{ZR}(2)\} \\ \{\text{ZR}(2)\} \{\text{ZR}(1), \text{ZR}(2)\} \{\text{ZR}(2)\} \\ \emptyset \{\text{ZR}(1)\} \emptyset \emptyset \{\text{ZR}(2)\} \{\text{ZR}(2)\} \end{bmatrix}$$

3. Für $Q_3 : (ss, S, MI, MT)$ mit:

Abkürzend stehe $(A(i,1), \text{nil})$ für $(A(1,1), \text{nil}), \dots, (A(1,5), \text{nil})$; entsprechendes gelte für $(ZR(i), \text{false})$. Weiterhin sei:

$A1: = \{(CL(1), \text{nil}), (A(i,1), \text{nil}), (ZR(1), \text{true}), (ZR(2), \text{false}), \dots, (ZR(5), \text{false})\}$

$A2: = \{(CL(2), \text{nil}), (A(i,2), \text{nil}), (ZR(1), \text{false}), (ZR(2), \text{true}), (ZR(3), \text{false}), (ZR(4), \text{false}), (ZR(5), \text{false})\}$

$A3: = \{(CL(1), \text{nil}), (CL(3), \text{nil}), (A(i,1), \text{nil}), (A(i,3), \text{nil}), (ZR(1), \text{true}), (ZR(3), \text{true}), (ZR(4), \text{false}), (ZR(5), \text{false})\}$

MT ist gemäß diesen Vereinbarungen in Abb. 3.1 wieder gegeben.

MI ergibt sich aus den ersten Elementen der Paare in MT (z.B. ist $MI_{2,3} = \{A(1,3), A(1,5)\}$), wobei jede Zeile in MI noch zusätzlich als letztes Element $\{\text{STOP}\}$ besitzt.

S gibt die vorgegebenen Speicherbelegungsfolgen wieder (Beispiel 2.3-3).

4. Für $Q_4 : (as, S, MI, MT)$ mit:

S gibt die vorgegebenen Speicherbelegungsfolgen wieder
(Beispiel 2.3-4).

$$\begin{aligned}
 MI &= \begin{bmatrix} \{\text{START}\} \{S1(1), \{A(1,3)\} \{S1(2)\} \{A(1,3)\} \{S1(2), \{A(1,1), \{STOP\} \\ CL(1)\} \\ A(1,4) \\ A(1,5)\} \\ \{\text{START}\} \{CL(1), \{A(1,3)\} \{S1(2), \{A(1,5)\} \{STOP\} \\ A(1,1)\} \\ \{\text{START}\} \{CL(1)\} \{A(1,4)\} \{STOP\} \\ \{\text{START}\} \{CL(1), \{A(1,1), \{S1(2)\} \{A(1,1), \{A(1,1), \{S1(2), \{A(1,1), \{STOP\} \\ A(1,1) \\ A(1,3)\} \\ \{\text{START}\} \{CL(1)\} \{A(1,1), \{S1(2), \{A(1,4), \{STOP\} \\ A(1,1) \\ A(1,2) \\ A(1,3)\} \} \end{bmatrix} \\
 MT &= \begin{bmatrix} \emptyset \{ZR(1)\} \emptyset \emptyset \emptyset \{ZR(2)\} \{ZR(2)\} \\ \{ZR(1)\} \{ZR(1)\} \emptyset \{ZR(2)\} \{ZR(2)\} \\ \{ZR(2)\} \{ZR(1), ZR(2)\} \{ZR(2)\} \\ \{ZR(1)\} \{ZR(1)\} \emptyset \emptyset \emptyset \{ZR(2)\} \{ZR(2)\} \\ \emptyset \{ZR(1)\} \emptyset \emptyset \emptyset \{ZR(2)\} \{ZR(2)\} \end{bmatrix}
 \end{aligned}$$

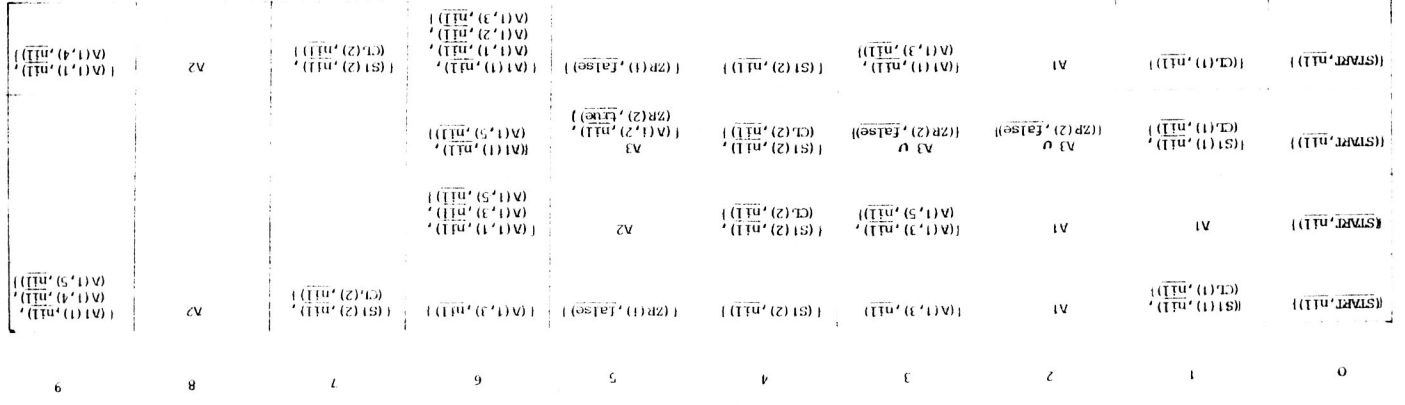


Abb. 3.1 Matrix MT zu Beispiel 3.1-3

Mit der Konstruktion der Standarddarstellung von Q aus einem gegebenen PSP Q liegt bereits eine größere Menge an verwertbarer Information über das zu konstruierende Programm vor; außerdem stehen diese Informationen nun in relativ uniformer Weise für alle vier Fälle $bc\{s, a, ss, as\}$ zur Verfügung. Wie die Standarddarstellung von Q in Relation zu einem Q realisierenden Programm P steht, wird in 3.3.3 gezeigt.

3.1.2 Standarddarstellung einer Realisierung

Analog zur Standarddarstellung eines PSP Q ist die Standarddarstellung eines Programms P, das Q realisiert, ein 4-Tupel, das als Elemente 4 Matrizen enthält: Die Matrix der ausgeführten Instruktionen (PI), die Matrix der Markierungen dieser Instruktionen (PL) und die Matrizen der erzeugten Speicherbelegungen (PS) und der durchlaufenen Transitionsmarkierungen (PT). Auch hier sind diese Informationen in Abhängigkeit von der Problemspezifizierungsmarke b so angegeben, daß sich eine uniforme Darstellungsweise ergibt.

Definition 3.4.

$Q = (b, M)$ sei realisierbares PSP, $\dim(Q) = (m, (n_1, \dots, n_m))$, $M = \{M_1, \dots, M_m\}, \{st_1, \dots, st_m\}$ die M entsprechenden Anfangsspeicherbelegungen.

P sei ein Programm, das Q realisiert.

(1) Für $i \in \{1, \dots, m\}$ ist die Standardbezeichnung der Berechnungsfolgen von P bei Realisierung von Q wie folgt:

(1.1) falls $bc\{s, ss\}$:

$$c(P, st_i) = ((l_{i,0}, I_{i,0}), (t_{i,0}, s_{i,1}), (l_{i,1}, I_{i,1}), \dots, (t_{i, n_i - 1}, s_{i, n_i}), (l_{i, n_i}, I_{i, n_i}))$$

(1.2) falls $bc\{a, as\}$:

$$c(P, st_i) = ((l_{i,0}, I_{i,0}), (t_{i,0}, s_{i,1}), TS_{i,0}((l_{i,1}, I_{i,1}), (t_{i,1}, s_{i,2}), TS_{i,1}, \dots, TS_{i, n_i - 1}((l_{i, n_i}, I_{i, n_i})))$$

wobei für $j \in \{1, \dots, n_i - 1\}$:

$$I_{i,j} \in \text{ASSIGNMENTS}$$

und für $j \in \{0, \dots, n_i - 1\}$:

$$TS_{i,j} = ((l_{i,j}, I_{i,j}^1), (t_{i,j}, s_{i,j}^1), \dots, (l_{i,j}, I_{i,j}^k), (t_{i,j}, s_{i,j}^k))$$

sodaß gilt: $k(i,j) \geq 0 \wedge$

$$\bigvee_{k \in \{1, \dots, k(i,j)\}} I_{i,j}^k \in \text{TESTS}$$

(2) Mit den unter (1) angegebenen Bezeichnungen

ist $RPQ(P,Q) = (PL,PI,PS,PT)$ definiert durch:

$$(i) \quad PL = (PL_{i,j})_{\substack{1 \leq i \leq m \\ 0 \leq j \leq n_i}} := (l_{i,j})_{\substack{1 \leq i \leq m \\ 0 \leq j \leq n_i}}$$

$$(ii) \quad PI = (PI_{i,j})_{\substack{1 \leq i \leq m \\ 0 \leq j \leq n_i}} := (I_{i,j})_{\substack{1 \leq i \leq m \\ 0 \leq j \leq n_i}}$$

$$(iii) \quad PS = (PS_{i,j})_{\substack{1 \leq i \leq m \\ 1 \leq j \leq n_i}} := (s_{i,j})_{\substack{1 \leq i \leq m \\ 1 \leq j \leq n_i}}$$

$$(iv) \quad PT = (PT_{i,j})_{\substack{1 \leq i \leq m \\ 0 \leq j < n_i}} := \begin{cases} (t_{i,j})_{\substack{1 \leq i \leq m \\ 0 \leq j < n_i}} & \langle \Rightarrow \text{be}\{\underline{s}, \underline{ss}\} \\ (\bar{\gamma}(s_{i,j+1}, \text{true}))_{\substack{1 \leq i \leq m \\ 0 \leq j < n_i}} & \langle \Rightarrow \text{be}\{\underline{a}, \underline{as}\} \end{cases}$$

(3) $RPQ(P,Q)$ heißt Standarddarstellung der Realisierung von Q durch P.

Beispiel 3.2

Programm P (Beispiel 2.2) realisiert PSP Q_1, Q_2, Q_3 und Q_4 .

Für Q_2 und Q_3 werden die Standarddarstellungen ihrer Realisierung durch P angegeben.

1. Für $Q_2 : (PL,PI,PS,PT)$ mit:

$$PL = \begin{bmatrix} 1 & 1 & 1 & 1 & 1 & 1 & 1 & 1 & 1 \\ 1 & 1 & 1 & 1 & 1 & 1 & 2 & 2 & 1 & 1 \\ 1 & 1 & 1 & 1 & 1 & 1 & 1 & 1 & 1 & 1 \\ 1 & 1 & 1 & 1 & 1 & 1 & 2 & 2 & 1 & 1 \end{bmatrix}$$

$$PI = \begin{bmatrix} \underline{START} & \underline{CL}(1) & A(1,3) & S1(2) & A(1,5) & \underline{STOP} \\ \underline{START} & \underline{CL}(1) & A(1,3) & S1(2) & A(1,3) & S1(2) & A(1,4) & \underline{STOP} \\ \underline{START} & \underline{CL}(1) & A(1,4) & \underline{STOP} \\ \underline{START} & \underline{CL}(1) & A(1,3) & S1(2) & A(1,3) & S1(2) & A(1,4) & \underline{STOP} \end{bmatrix}$$

PS ist identisch mit S, PT identisch mit MT aus Beispiel 3.1-2.

2. Für $Q_3 : (PL, PI, PS, PT)$ mit:

$$PL = \begin{bmatrix} 1 & 1 & 1 & 1 & 1 & 2 & 2 & 2 & 1 & 1 & 1 \\ 1 & 1 & 1 & 1 & 1 & 2 & 1 & 1 & & & \\ 1 & 1 & 1 & 1 & 1 & 2 & 1 & 1 & & & \\ 1 & 1 & 1 & 1 & 1 & 2 & 2 & 2 & 1 & 1 & 1 \end{bmatrix}$$

$$PI = \begin{bmatrix} \underline{START} & CL(1) & ZR(2) & A(1,3) & S1(2) & ZR(2) & A(1,3) & S1(2) & ZR(2) & A(1,4) & \underline{STOP} \\ \underline{START} & CL(1) & ZR(2) & A(1,3) & S1(2) & ZR(2) & A(1,5) & \underline{STOP} & & & \\ \underline{START} & CL(1) & ZR(2) & A(1,3) & S1(2) & ZR(2) & A(1,5) & \underline{STOP} & & & \\ \underline{START} & CL(1) & ZR(2) & A(1,3) & S1(2) & ZR(2) & A(1,3) & S1(2) & ZR(2) & A(1,4) & \underline{STOP} \end{bmatrix}$$

PS ist identisch mit S aus Beispiel 3.1-3.

$$PT = \begin{bmatrix} \underline{nil} & \underline{nil} & \underline{false} & \underline{nil} & \underline{nil} & \underline{false} & \underline{nil} & \underline{nil} & \underline{true} & \underline{nil} \\ \underline{nil} & \underline{nil} & \underline{false} & \underline{nil} & \underline{nil} & \underline{true} & \underline{nil} & \underline{nil} & \underline{true} & \underline{nil} \\ \underline{nil} & \underline{nil} & \underline{false} & \underline{nil} & \underline{nil} & \underline{true} & \underline{nil} & \underline{nil} & \underline{true} & \underline{nil} \\ \underline{nil} & \underline{nil} & \underline{false} & \underline{nil} & \underline{nil} & \underline{false} & \underline{nil} & \underline{nil} & \underline{true} & \underline{nil} \end{bmatrix}$$

Betrachtet man die Markierungsmatrix PL und die Instruktionsmatrix PI einer solchen Standarddarstellung, so sind i.a. viele Elemente der Matrizen gleich. Ein Paar $(PL_{i,j}, PI_{i,j})$ entspricht genau einem Programmknoten des Programms P. Die Paare $(PL_{i,0}, PI_{i,0})$ entsprechen z.B. alle dem START-Knoten von P, sind also für alle in Frage kommenden i identisch. In Abhängigkeit von den Transitionen, die durch PT dargestellt sind, können nun hinreichende Bedingungen dafür aufgestellt werden, welche der Paare $(PL_{i,j}, PI_{i,j})$ notwendigerweise denselben Programmknoten aus P bezeichnen; dies geschieht in den beiden folgenden Sätzen.

Satz 3.1

Sei $P \in \text{PROGRAMS}$; $st_x, st_y \in \text{STORES}$; $c(P, st_x)$ und $c(P, st_y)$ seien die Berechnungsfolgen von P mit den Standardzeichnungen aus Def. 3.4 (1.1) (Fall $bc\{s, ss\}$).

Behauptung: $\forall n \in \{1, \dots, \min(n_x, n_y)\}$.
 $((\forall j \in \{0, \dots, n-1\}). t_{x,j} = t_{y,j})$
 $\Rightarrow (\forall j \in \{0, \dots, n\}. l_{x,j} = l_{y,j} \wedge I_{x,j} = I_{y,j})$

Beweis:

Sei $n \in \{1, \dots, \min(n_x, n_y)\}$ und es gelte:

$$\forall j \in \{0, \dots, n-1\}. t_{x,j} = t_{y,j}.$$

Induktion über j:

$$j=0 : (l_{x,0}, I_{x,0}) = (l_{y,0}, I_{y,0}) = (I, \underline{START})$$

$$j+1 : \text{Es gilt: } ((l_{x,j}, I_{x,j}), t_{x,j}, (l_{x,j+1}, I_{x,j+1})) \in P$$

$$\text{und } ((l_{y,j}, I_{y,j}), t_{y,j}, (l_{y,j+1}, I_{y,j+1})) \in P$$

Da $(l_{x,j}, I_{x,j}) = (l_{y,j}, I_{y,j})$ nach Induktionsannahme und $t_{x,j} = t_{y,j}$ nach Voraussetzung, folgt wegen der Eindeutigkeit von P:

$$(l_{x,j+1}, I_{x,j+1}) = (l_{y,j+1}, I_{y,j+1}).$$

Satz 3.2

Sei $P \in \text{PROGRAMS}$; $st_x, st_y \in \text{STORES}$; $c(P, st_x)$ und $c(P, st_y)$ seien die Berechnungsfolgen von P mit den Standardzeichnungen aus Def. 3.4 (1.2) (Fall $bc(\underline{a}, \underline{as})$).

Behauptung:

- (1) $\forall n \in \{1, \dots, \min(n_x, n_y)\}.$
 $\forall j \in \{0, \dots, n-1\}.$
 $[l_{x,j} = l_{y,j} \wedge I_{x,j} = I_{y,j} \wedge \overline{y}(s_{y,j+1}, \underline{true}) = \overline{y}(s_{y,j+1}, \underline{true})$
 $\Rightarrow (k(x,j) = k(y,j))$
 $\wedge \forall k \in \{1, \dots, k(x,j)\}.$
 $(l_{x,j}^k = l_{y,j}^k \wedge I_{x,j}^k = I_{y,j}^k \wedge t_{x,j}^k = t_{y,j}^k)]$
- (2) $\forall n \in \{1, \dots, \min(n_x, n_y)\}.$
 $[(\forall j \in \{0, \dots, n-1\}). \overline{y}(s_{x,j+1}) = \overline{y}(s_{y,j+1})]$
 $\Rightarrow (\forall j \in \{0, \dots, n\}). l_{x,j} = l_{y,j} \wedge I_{x,j} = I_{y,j}]$

Beweis:

- (1) Analog zum Beweis von Satz 3.1 durch Induktion über k , wobei beim Induktionsschritt jeweils zusätzlich $t_{x,j}^{k+1} = t_{y,j}^{k+1}$ aus $\overline{y}(s_{x,j+1}) = \overline{y}(s_{y,j+1})$ gefolgert wird.
- (2) Ebenfalls analog zu Satz 3.1, wobei (1) jeweils den Induktionsschritt ermöglicht.

Die in diesen beiden Sätzen gezeigten Eigenschaften bilden die Grundlage der in Abschnitt 3.2 definierten Stufengraphdarstellungen.

3.1.3 Relationen zwischen Standarddarstellungen

Zwischen der Standarddarstellung eines PSPQ und der einer Realisierung von Q durch ein Programm P besteht die durch den folgenden Satz ausgedrückte Beziehung.

Satz 3.3

Q sei PSP, $\dim(Q) = (m, (n_1, \dots, n_m))$, $Q_{st} = (b, s, MI, MT)$.

Behauptung: $\forall P \in \text{PROGRAMS}$. P realisiert $Q \Rightarrow$

sei $RPQ(P, Q) = (PL, PI, PS, PT)$;

dann gilt:

- (1) $\forall i \in \{1, \dots, m\}. \forall j \in \{1, \dots, n_i\}.$
 $PI_{i,j} \in MI_{i,j}$
- (2) $\forall i \in \{1, \dots, m\}. \forall j \in \{0, \dots, n_i-1\}.$
 $bc(\underline{s}, \underline{a}, \underline{as}) \Rightarrow PT_{i,j} = MT_{i,j}$
 $\wedge b = \underline{ss} \Rightarrow (PI_{i,j}, PT_{i,j}) \in MT_{i,j}$
- (3) $PS = S$

Beweis:

folgt direkt aus Satz 2.1 und Def. 3.3 und 3.4 .

3.2. Stufengraphdarstellungen

Die in Form von Matrizen vorliegende Information in Standarddarstellungen wird in Stufengraphdarstellungen überführt, die in geeigneter Weise die in den Sätzen 3.1 und 3.2 gezeigte Eigenschaft zum Ausdruck bringen, unter der Elemente der Matrizen identisch sind.

3.2.1 Stufengraphdarstellung für eine Instruktionsmatrix

Gegeben sei die Standarddarstellung eines PSPQ mit der Speicherbelegungsmatrix S. In einem Programm, das Q realisiert, entspricht jeder Speicherbelegungsübergang von $s_{i,j}$ nach $s_{i,j+1}$ genau einem Programmknoten. Entsprechen in jedem Q realisierenden Programm P die Übergänge $(s_{i,j}, s_{i,j+1})$ und $(s_{i',j'}, s_{i',j'+1})$ jeweils demselben Programmknoten, so wäre es wünschenswert, diese Tatsache bereits bei der Programmsynthese auszunützen zu können und bei der Konstruktion des Zielprogramms zu berücksichtigen.

Um dies zu ermöglichen, werden die den beiden Übergängen zugeordneten Elemente der Instruktionsmatrix $MI_{i,j}$ und $MI_{i',j'}$ "zusammengefaßt". Für diese Zusammenfassung sind zunächst 3 Punkte von Bedeutung: zum einen sollen in $MI_{i,j}$ und $MI_{i',j'}$ nur noch beiden Mengen gemeinsame Elemente berücksichtigt werden, zum anderen sollen bei der Programmsynthese immer nur jeweils identische Elemente daraus als mögliche Instruktionen ausgewählt werden und drittens

sollen auch nur jeweils gleiche Markierungen (LABEL) dafür berücksichtigt werden.

Da alle Berechnungsfolgen mit Durchlaufen des START-Knotens beginnen, können entsprechend alle $MI_{i,0}$ auf diese Weise zusammengefaßt werden. In Abhängigkeit von den vorliegenden Transitionen MT und mit Hilfe der Sätze 3.1 und 3.2 können die $MI_{i,1}$ in Äquivalenzklassen (bei $b = ss$ ist eine Modifizierung notwendig, s.u.) aufgeteilt werden, wobei diejenigen zusammengefaßt werden, die in jedem Q realisierenden Programm P einem jeweils identischen Programmknoten entsprechen müssen. Eine Fortsetzung dieses Verfahrens zeigt, daß dies immer nur für Elemente von MI zutrifft, die in der gleichen Spalte liegen. Für den Fall $b \in \{s, a, r, s\}$ bilden diese Zusammenfassungen bzgl. der entsprechenden Zeilenindizes fortlaufende Verfeinerungen der trivialen einelementigen Zerlegung; in diesem Fall kann die Matrix MI in einfacher Weise in einen Baum überführt werden, der gerade die gewünschte Information über die "Zusammenfassungen" von Elementen von MI enthält.

Für den Fall $b = ss$ ergibt sich jedoch eine etwas andere Situation. Zwar gilt auch hier, daß Zusammenfassungen von Elementen von MI nur möglich sind, wenn sie gleichen Spaltenindex haben (d.h. auf der gleichen Stufe liegen); sind jedoch z.B. die den Indizes (i_1, j) , (i_2, j) und (i_3, j) entsprechenden Elemente zusammengefaßt, so gibt es im allgemeinen mehrere Instruktionen, mit denen der Programmknoten markiert sein kann, der den drei Übergängen entspricht.

Trifft dies z.B. für eine Testinstruktion T zu, die für zwei der beteiligten Speicherbelegungen (Indizes i_1 und i_2) true, für die dritte (i_3) aber false liefert, so müssen, falls T an dieser Stelle ausgewählt wird, aufgrund der Eindeutigkeitseigenschaft für Programme auch die den Indizes ($i_1, j+1$) und ($i_2, j+1$) entsprechenden Übergänge demselben Programmknoten in P zugeordnet werden, während dies für ($i_3, j+1$) nicht notwendigerweise gilt. Auf der Stufe $j+1$ müßten also $MI_{i_1, j+1}$ und $MI_{i_2, j+1}$ zusammengefaßt werden; würde dagegen an Stelle von T z.B. eine Testinstruktion T' ausgewählt, die für alle drei Speicherbelegungen true liefert, so müßte dies für alle drei MI-Elemente auf der Stufe $j+1$ geschehen.

Allgemein gesprochen gibt es also für die verschiedenen Spalten mehrere Zerlegungen der Zeilenindizes, und zwar in Abhängigkeit von den jeweils zuvor ausgewählten Instruktionen.

Dies skizziert den Aufbau eines (nicht reduzierten) Stufengraphs für MI. Ein Stufengraph ist ein markierter gerichteter Graph, dessen Knoten Paare aus Spaltenindex und Menge von Zeilenindizes sind, die gerade den "zusammengefaßten" Elementen von MI entsprechen. Die Knoten sind markiert mit der Menge der Instruktionen, die alle die betreffenden Speicherbelegungsübergänge erklären, nach den obigen Überlegungen also mit der Durchschnittsmenge der beteiligten $MI_{i,j}$. Eine Kantenmarkierungsfunktion gibt an, unter welchen angenommenen Instruktionen

auf der Stufe j der so markierte Übergang zu der Zerlegung auf der Stufe $j+1$ führt. Letzteres ist für $b \in \{s, a, as\}$ trivial, da nur im Fall $b=ss$ die Auswahl der Instruktionen Einfluß auf die Zerlegungen hat.

Führt in dem oben angegebenen Beispiel die Auswahl von T' dazu, daß es keine Instruktionen gibt, die alle drei folgenden Speicherbelegungsübergänge auf der Stufe $j+1$ erzeugen kann, so führt diese Auswahl von T' zwangsläufig zum Widerspruch: es gibt kein Programm P, das Q realisiert und die drei vorliegenden Übergänge auf der Stufe j durch die Instruktion T' erzeugt.

Um derartige Widersprüche bei der späteren dynamischen Programmsynthese von vorneherein zu vermeiden, entfernt man systematisch alle dermaßen als nicht realisierbar erkannten Instruktionen T' und erhält so die reduzierte Stufengraphdarstellung von MI. Auch dies ist für den Fall $b \in \{s, a, as\}$ sehr viel einfacher als für $b=ss$; in der folgenden Definition werden deshalb die beiden Fälle getrennt behandelt, um das Vorgehen zu verdeutlichen, obwohl beide durch das allgemeinere Verfahren ($b = ss$) abgedeckt werden.

Definition 3.5

Q sei $PSP, Q_{ST} = (b, S, MI, MT), \dim(Q) = (m, (n_1, \dots, n_m))$,
 $n = \max\{n_1, \dots, n_m\}$.
 (1) (i) Für $j \in \{0, \dots, n\}$ sei $IND_j = \{i \mid i \in \{1, \dots, m\}, j \leq n_i\}$.

(ii) N sei die Menge

$$\{[j, \text{IND}] \mid j \in \{0, \dots, n\}, \text{IND} \in \text{IND}_{j,i}\}$$

deren Elemente Knoten heißen.

(iii) Für $k \in N, K = [j, \text{IND}]$ heißt

$$\text{LEVEL}(K) = j \quad \text{Stufe des Knoten } K,$$

$$\text{INDEX}(K) = \text{IND} \quad \text{Indexmenge des Knoten } K.$$

(iv) D sei die Abbildung

$$D : N \longrightarrow \text{POT}(\text{INSTRUCTIONS}_{\downarrow}^1)$$

$$D = \lambda K. \bigcap_{i \in \text{INDEX}(K)} \text{MI}_{i, \text{LEVEL}(K)}$$

Damit gilt:

(2) (V, E, f, g) heißt nicht reduzierte Stufengraphdarstellung

von MI

\Leftrightarrow

(2.1) falls $bc\{\underline{s}, \underline{a}, \underline{as}\}$:

Für $j \in \{0, \dots, n\}$ sei

(a) $\text{INDZ}_{\text{MT}}(j)$ die durch \sim_j induzierte Zerlegung

von IND_j , wobei:

$$i_1 \sim_j i_2 \Leftrightarrow \forall k \in \{0, \dots, j-1\}. \text{MT}_{i_1, k} = \text{MT}_{i_2, k}$$

(b) $V_j = \{[j, \text{IK}] \mid \text{IK} \in \text{INDZ}_{\text{MT}}(j)\}$

Dann gilt:

$$(i) V = V_0 \cup \dots \cup V_n$$

$$(ii) E = \{(K, K') \mid \text{LEVEL}(K') = \text{LEVEL}(K) + 1,$$

$$\text{INDEX}(K') \in \text{INDEX}(K)\}$$

$$(iii) f : V \longrightarrow \text{POT}(\text{INSTRUCTIONS}_{\downarrow}^1)$$

$$f = \lambda K. D(K)$$

$$(iv) g : E \longrightarrow \text{POT}(\text{INSTRUCTIONS}_{\downarrow}^1)$$

$$g = \lambda (K, K'). f(K)$$

(2.2) falls $b = \underline{ss}$:

$$(a) V_0 = \{[0, \{1, \dots, m\}]\}$$

Für $K \in N, I \in D(K), I \neq \text{STOP}$ sei:

(b) $\text{INDZ}_{\text{MT}}(K, I)$ die durch $\sim_{K, I}$ induzierte Zer-

legung von $\text{INDEX}(K)$, wobei:

$$i_1 \sim_{K, I} i_2 \Leftrightarrow \text{MT}_{i_1}^I = \text{MT}_{i_2}^I, \text{LEVEL}(K) = \text{MT}_{i_1}^I, \text{LEVEL}(K)$$

Für $j \in \{1, \dots, n\}$ sei:

$$(c) V_j = \{[j, \text{IK}] \mid \exists K \in V_{j-1}, I \in D(K), I \neq \text{STOP}, \text{IK} \in \text{INDZ}_{\text{MT}}(K, I)\}$$

Dann gilt:

$$(i) V = V_0 \cup \dots \cup V_n$$

$$(ii) E = \{(K, K') \mid \text{LEVEL}(K') = \text{LEVEL}(K) + 1, \exists I \in D(K), I \neq \text{STOP}$$

$$\text{INDEX}(K') \in \text{INDZ}_{\text{MT}}(K, I)\}$$

$$(iii) f : V \longrightarrow \text{POT}(\text{INSTRUCTIONS}_{\downarrow}^1)$$

$$f = \lambda K. D(K)$$

$$(iv) g : E \longrightarrow \text{POT}(\text{INSTRUCTIONS}_{\downarrow}^1)$$

$$g = \lambda (K, K'). \{I \mid I \in f(K), I \neq \text{STOP}.$$

$$\text{INDEX}(K') \in \text{INDZ}_{\text{MT}}(K, I)\}$$

(3) (V, E, f, g) sei nicht-reduzierte Stufengraphdarstellung

von MI.

(V', E', f', g') heißt (reduzierte) Stufengraphdarstellung

von MI

\Leftrightarrow

(3.1) falls $bc\{\underline{s}, \underline{a}, \underline{as}\}$:

$$(V', E', f', g') = \begin{cases} (V, E, f, g) & \Leftrightarrow \forall K \in V. f(K) \neq \emptyset \\ (\emptyset, \emptyset, \emptyset, \emptyset) & \Leftrightarrow \exists K \in V. f(K) \neq \emptyset \end{cases}$$

(3.2) falls $b = \underline{ss}$:

Für $j \in \{0, \dots, n\}$ sei:

(a) $F_j : V \rightarrow \text{POT}(\text{INSTRUCTIONS}_1^{-1})$

(j=0) $F_0 = \lambda K. \emptyset$

(j>0) $F_j = \lambda K. \bigcup_{K'} g(K, K') \cup F_{j-1}(K)$
 $(K, K') \in E, f(K') \setminus F_{j-1}(K') = \emptyset$

Weiterhin sei:

(b) $V'' = \{K | K \in V, f(K) \setminus F_n(K) \neq \emptyset\}$

Dann gilt:

(i) $V' = \{K | K \in V'', \exists \text{Weg in } E \cap (V'' \times V'') \text{ von } [0, 1, \dots, m] \text{ nach } K\}$

(ii) $E' = (E \cap (V' \times V')) \setminus \{(K, K') | (K, K') \in E \wedge g(K, K') \notin F_n(K)\}$

(iii) $f' : V' \rightarrow \text{POT}(\text{INSTRUCTIONS}_1^{-1})$

$f' = \lambda K. f(K) \setminus F_n(K)$

(iv) $g' : E' \rightarrow \text{POT}(\text{INSTRUCTIONS}_1^{-1})$

$g' = \lambda (K, K'). g(K, K')$

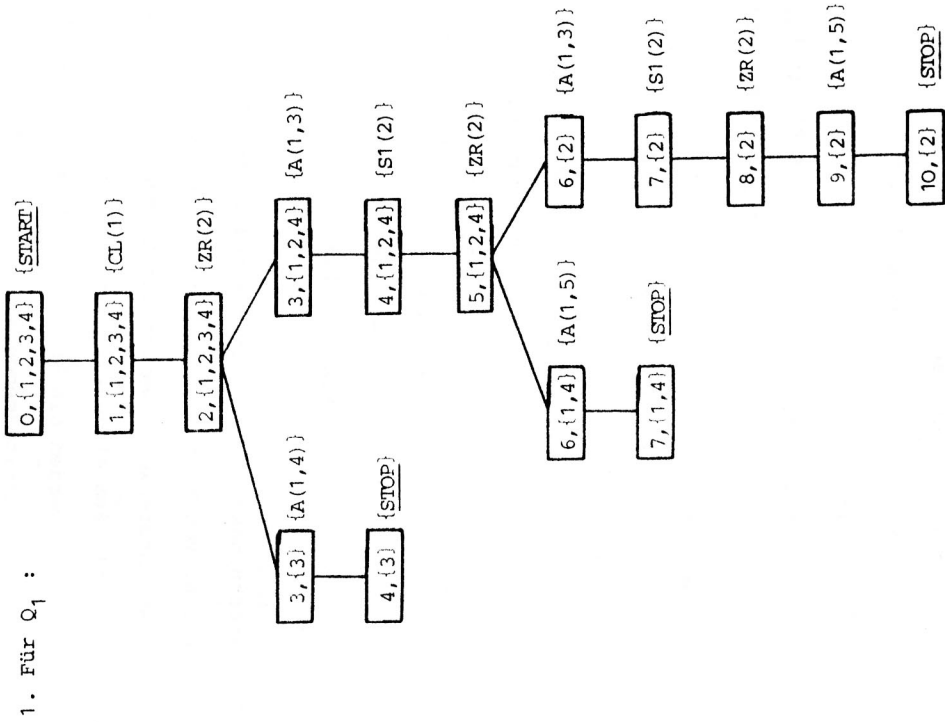
Ein Berechnungsverfahren für die reduzierte Stufengraphdarstellung von MI bietet sich aufgrund dieser Definition direkt an. Stufenweise werden die Elemente von V gebildet, beginnend mit dem eindeutig bestimmten Knoten der Stufe 0. Für Stufe j+1 werden die Knoten der Stufe j "expandiert", indem die Instruktionsmenge f(K) eines Knoten K in Äquivalenzklassen zerlegt wird, wobei zwei Instruktionen äquivalent (bzgl. der oben erwähnten Realisierbarkeit) sind, wenn sie auf INDEX(K) dieselbe Zerlegung definieren. Die Elemente der Instruktionsmengenzerlegung bilden die

Kantenmarkierungen $g(K, K')$, und die Indexklassen bestimmen die Knoten der Stufe j+1.

Wird ein Knoten mit leerer Instruktionsmenge erzeugt, so wird er nicht in V aufgenommen, sondern die dadurch als nicht realisierbar erkannten Instruktionen - also gerade die Kantenmarkierungen $g(K, K')$, die zu diesem Knoten hinführen - werden aus den Markierungen der Knoten der vorhergehenden Stufe eliminiert. Wird dadurch die Markierung eines Knoten leer, so setzt sich dieser Eliminierungsprozess eventuell über mehrere Stufen fort. Knoten, die nur noch über Kanten mit bereits eliminierten Instruktionen erreichbar sind, werden ebenfalls aus V entfernt. Gibt es in V keine zu expandierenden Knoten mehr, so bricht das Verfahren ab.

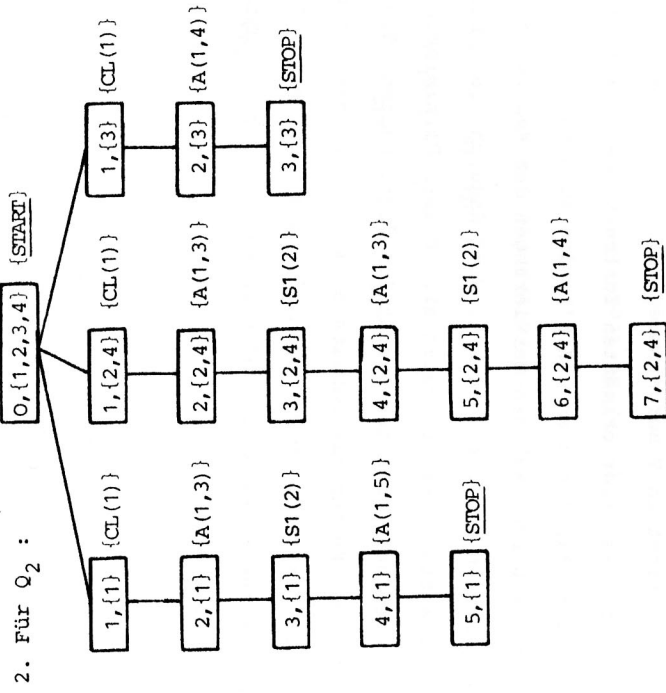
Beispiel 3.3 :

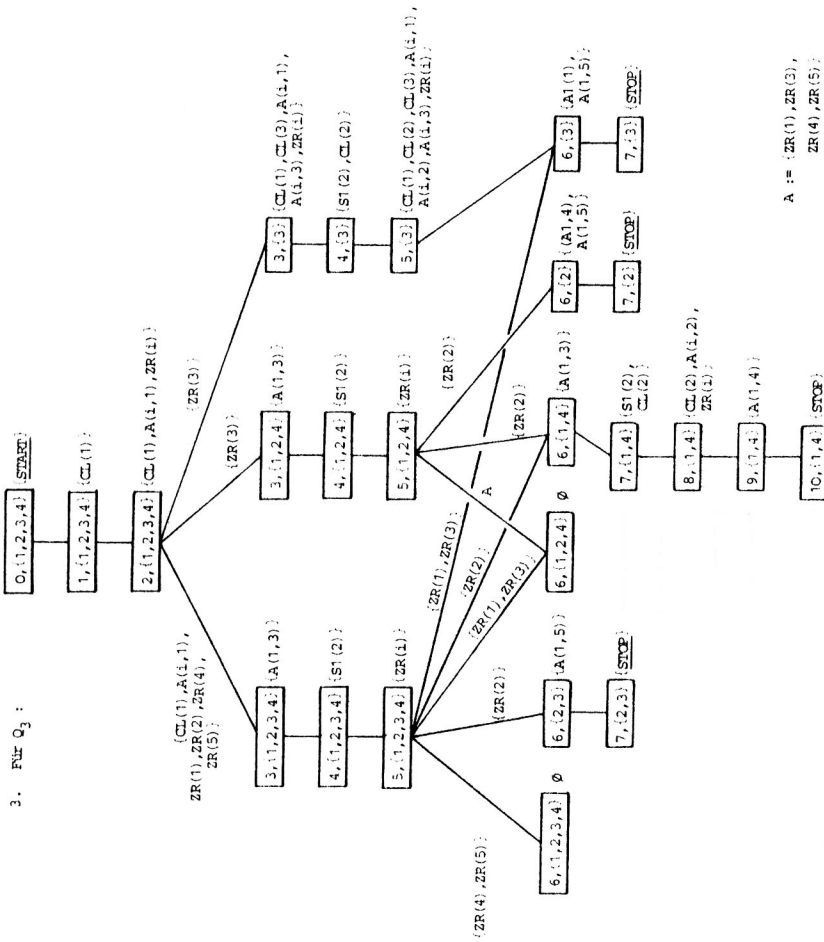
Für Q_1, Q_2, Q_3 und Q_4 werden die Stufengraphdarstellungen der zugehörigen MI (Beispiel 3.1) angegeben.



Die Markierung $f(K)$ eines Knoten K ist durch die jeweils nebenstehende Menge gegeben; die Kantenmarkierung $g(K, K')$ ist nicht explizit mit angegeben, da sie sich direkt aus $f(K)$ ergibt. Es gibt keinen Knoten, der mit der leeren Menge markiert ist; die reduzierte ist also gleich der nicht reduzierten Darstellung.

Diese Punkte treffen auch für Q_2 und Q_4 (s.u.) zu.





Bei dieser nicht reduzierten Darstellung von MI steht $A(i, 1)$ abkürzend für $A(1, 1), A(2, 1), \dots, A(5, 1)$; entsprechend $A(i, 2), ZR(i)$ usw. Bei den Kanten (K, K') , für die keine Markierung angegeben ist, gilt $g(K, K') = f(K)$.

Die Knoten $[6, \{1, 2, 3, 4\}]$ und $[6, \{1, 2, 4\}]$ sind mit der leeren Menge markiert. Es gibt also keine Instruktion, die z.B. die drei Speicherbelegungsübergänge, die $[6, \{1, 2, 4\}]$ entsprechen, erzeugt. Nun führt aber etwa die Annahme von $ZR(1)$ bei Knoten $[5, \{1, 2, 3, 4\}]$ zwangsläufig zu $[6, \{1, 2, 4\}]$, da $ZR(1)$ in der entsprechenden Kantenmarkierung enthalten ist. Daher wird $ZR(1)$ (und $ZR(3)$) aus der Markierung von $[5, \{1, 2, 3, 4\}]$ entfernt. Dies geschieht mit Hilfe der in Def. 3.5, Abschnitt 3.2, benutzten Funktion F_i . Mit den dort verwandten Bezeichnungen gilt:

$$n = 10$$

$$F_{10}([5, \{1, 2, 3, 4\}]) = \{ZR(1), ZR(3), ZR(4), ZR(5)\}$$

$$F_{10}([5, \{1, 2, 4\}]) = \{ZR(1), ZR(3), ZR(4), ZR(5)\}$$

$$F_{10}(K) = \emptyset \quad \text{sonst.}$$

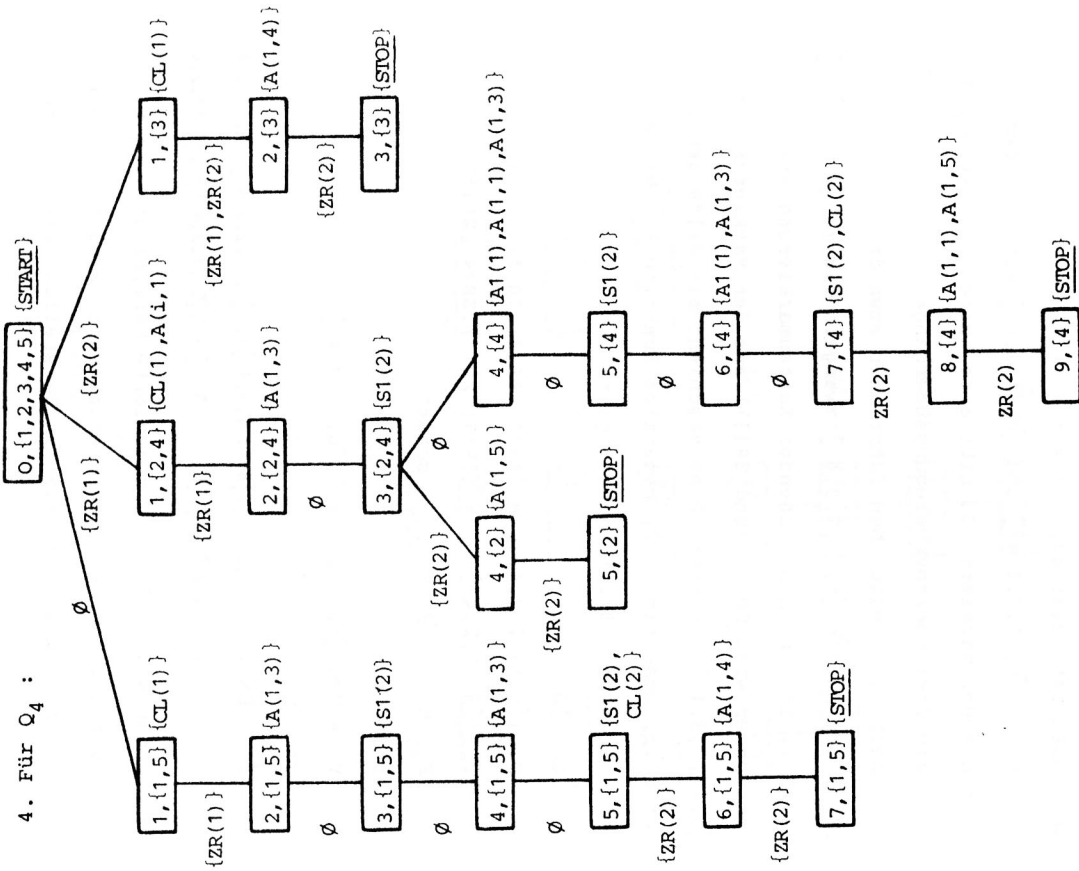
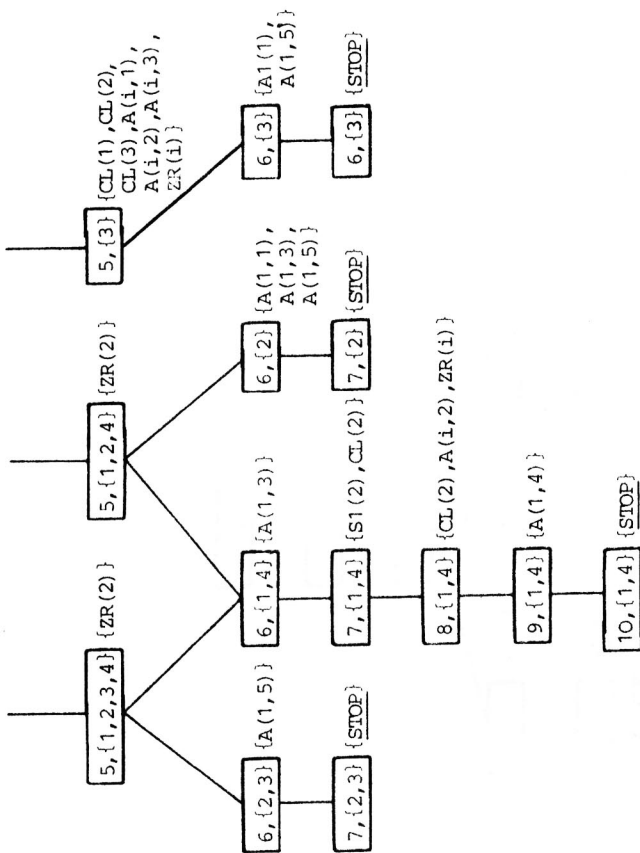
Weiterhin gilt:

$$V'' = V \setminus \{[6, \{1, 2, 3, 4\}], [6, \{1, 2, 4\}]\}$$

$$V' = V''$$

$$E' = E \setminus (\{[5, \{1, 2, 3, 4\}], [6, \{1, 2, 3, 4\}]\}, \{[5, \{1, 2, 3, 4\}], [6, \{1, 2, 4\}]\}, \{[5, \{1, 2, 3, 4\}], [6, \{1, 2, 4\}]\})$$

Da bei den Stufen 0-4 die reduzierte Darstellung von MI identisch ist mit der nicht-reduzierten, werden i.f. nur die Stufen 5-10 der reduzierten Darstellung wiedergegeben.



Bemerkung: Die bei Q_4 links von den Kanten stehenden Markierungen werden erst später in Def. 3.7 eingeführt.

3.2.1.2. Stufengraphdarstellung einer Realisierung

Die in 3.2.1 gemachten Überlegungen gelten auch für die Stufengraphdarstellung der Realisierung eines PSP Q durch ein Programm P. Zusätzlich sind hier eine Knotenmarkierungsfunktion u_p und eine Kantenmarkierungsfunktion c_p vorhanden, die die durch PL über die LABEL der jeweils durchlaufenen Programmknoten bzw. durch PT über die erzeugten b'-Transitionen gegebenen Informationen wiedergeben.

Definition 3.6

Q sei PSP, $\dim(Q) = (m, (n_1, \dots, n_m))$, $n = \max\{n_1, \dots, n_m\}$
 Q = (b, M). P sei Programm, das Q realisiert,
 $RPQ(P, Q) = (PL, PI, PS, PT)$.

(1) Für $j \in \{0, \dots, n\}$ sei:

(a) $IND_j = \{i \mid i \in \{1, \dots, m\}, j \leq n_i\}$

(b) $INDZ_{PT}(j)$ die durch \sim_j induzierte Zerlegung von

IND_j , wobei:

$$i_1 \sim_j i_2 \Leftrightarrow k \in \{0, \dots, j-1\}. \quad PT_{i_1, k} = PT_{i_2, k}$$

(c) $V_j = \{[j, IK] \mid IK \in INDZ_{PT}(j)\}$

Damit gilt:

(2) $RPQ \rightarrow SG(P, Q) = (V_p, E_p, a_p, c_p, u_p)$ heißt Stufengraphdarstellung der Realisierung von Q durch P \Leftrightarrow

(i) $V_p = V_0 \cup \dots \cup V_n$

(ii) $E_p = \{(K, K') \mid LEVEL(K') = LEVEL(K) + 1, INDEX(K') \leq INDEX(K)\}$

(iii) $a_p : V_p \rightarrow INSTRUCTIONS_1$

$$a_p = \lambda K. i \in INDEX(K) \rightarrow PI_{i, LEVEL(K)}$$

(iv) $c_p : E_p \rightarrow TRANS'_b$

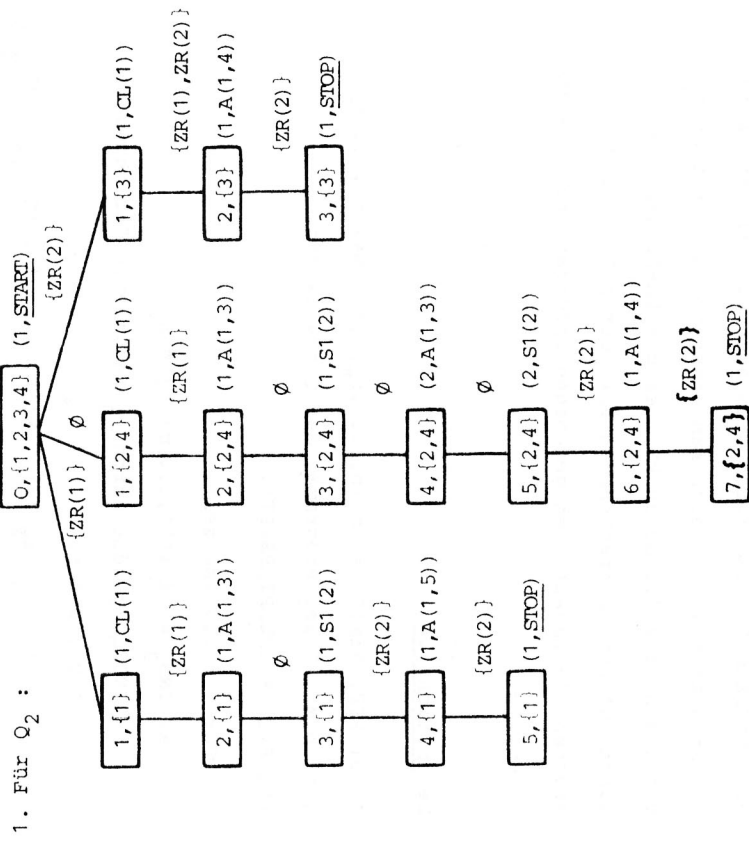
$$c_p = \lambda (K, K'). i \in INDEX(K') \rightarrow PT_{i, LEVEL(K)}$$

(v) $u_p : V_p \rightarrow \mathbf{N}$

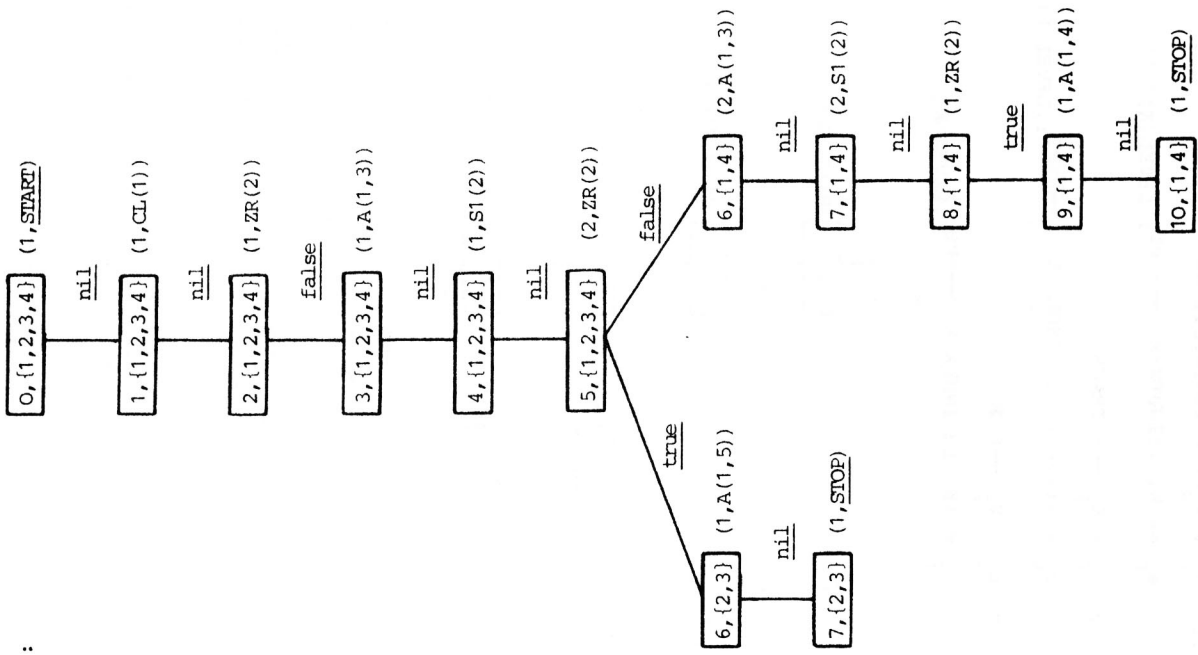
$$u_p = \lambda K. i \in INDEX(K) \rightarrow PL_{i, LEVEL(K)}$$

Beispiel 3.4

Für Q_2 und Q_3 werden die Stufengraphendarstellungen ihrer Realisierungen durch das Beispielprogramm P angegeben. Das rechts von einem Knoten K stehende Tupel gibt dessen Markierungen $(v_p(K), a_p(K))$ wieder; eine Kante (K, K') ist mit $c_p(K, K')$ gekennzeichnet.



2. Für Q_3 :



3.2.3 Realisierbarkeitssatz für PSP

Die in Satz 3.3 ausgedrückte Beziehung zwischen den Standarddarstellungen überträgt sich auch auf die Stufengraphdarstellungen. Satz 3.4 sagt aus, daß die Stufengraphdarstellung eines PSP Q gewissermaßen die "Vereinigung" aller derartiger Darstellungen von Realisierungen von Q ist.

Satz 3.4

Q sei PSP, $Q_{ST} = (b, s, MI, MT), \dim(Q) = (m, (n_1, \dots, n_m))$.

(V, E, f, g) sei nicht-reduzierte Stufengraphdarstellung von MI.

P sei ein Programm, das Q realisiert; $RPQ(P, Q) = (PL, PI, PS, PT)$,

$RPQ - SG(P, Q) = (V_p, E_p, a_p, c_p, u_p)$.

Behauptung:

(1) $RPQ-SG(P, Q)$ ist eindeutig bestimmt.

(2) (V_p, E_p) ist ein Baum mit der Wurzel $[0, \{1, \dots, m\}]$.

(3) falls $b \in \{\underline{s}, \underline{a}, \underline{as}\}$, gilt:

(3.1) $V_p \subseteq V$

(3.2) $E_p \subseteq E$

(3.3) $K \in V_p \cdot a_p(K) \in f(K)$

(4) falls $b = \underline{ss}$, gilt:

(4.1) $V_p \subseteq V$

(4.2) $E_p \subseteq E$

(4.3) $\forall K \in V_p \cdot a_p(K) \in f(K)$

(4.4) $\forall (K, K') \in E_p \cdot a_p(K) \in g(K, K')$

(4.5) $\forall (K, K') \in E \cdot (K \in V_p \wedge a_p(K) \in g(K, K') \Rightarrow K' \in V_p \wedge a_p(K, K') \in E_p)$

Bemerkung: (4.1)-(4.6) gelten natürlich auch, falls $b \in \{\underline{s}, \underline{a}, \underline{as}\}$.

Beweis:

(1) Zu zeigen ist die Eindeutigkeit der Abbildungen

a_p, c_p und u_p . Eindeutigkeit von c_p folgt direkt aus der Definition von $INDZ_{PT}(j)$, V_p und E_p . Eindeutigkeit von a_p und u_p folgt aus den Sätzen 3.1 und 3.2.

(2) $INDZ_{PT}(0)$ liefert die einelementige Zerlegung $\{1, \dots, m\}$, sodaß $[0, \{1, \dots, m\}]$ einziger Knoten der Stufe 0 in V_p ist. Kanten gibt es nur zwischen Knoten benachbarter Stufen. Damit folgt, daß für $j \in \{1, \dots, n\}$ $INDZ_{PT}(j)$ eine Verfeinerung der durch $INDZ_{PT}(j-1)$ auf IND_j definierten Zerlegung ist.

(3) Für $b \in \{\underline{s}, \underline{a}, \underline{as}\}$ ist nach Satz 3.3 $PT = MT$, also auch

$INDZ_{PT}(j) = INDZ_{MT}(j)$ und damit

$V_p = V$ und $E_p = E$.

Sei $K \in V$, $K = [j, IK]$.

$\forall i \in IND \cdot a_p(K) = PI_{i,j}$ [nach (1)]

$\forall i \in IND \cdot PI_{i,j} \in MI_{i,j}$ [nach Satz 3.3]

$\Rightarrow a_p(K) \in \bigcap_{i \in IK} MI_{i,j} = f(K)$

(4) Für $j \geq 0$ sei $A[j]$ die Aussage:

- $A[j]$: (a) $\forall K \in V_p. LEVEL(K) = j \Rightarrow \exists K' \in V_p \wedge a_p(K) \in f(K)$
 \wedge (b) $\forall K \in V_p. LEVEL(K) = j \Rightarrow$
 $\forall (K', K) \in E_p. (K', K) \in E \wedge a_p(K') \in g(K, K')$
 \wedge (c) $\forall K \in V_p. LEVEL(K) = j \Rightarrow$
 $\forall (K', K) \in E. (K', K) \in E \wedge a_p(K') \in g(K, K)$
 $\wedge \exists K' \in V_p \wedge a_p(K') \in E_p$

Für alle j wird $A[j]$ durch Induktion bewiesen.

Induktionsanfang:

$A[0]$: Sowohl in V als auch in V_p ist $K_0 = [0, \{1, \dots, m\}]$

einzigster Knoten der Stufe 0 und es gilt:

$$a_p(K_0) = \text{START} \in \{\text{START}\} = f(K_0)$$

$A[j]$: Für $j > 0$ sei $A[j]$ bereits bewiesen.

$A[j+1]$:

zu (a): Sei $K \in V_p, K = [j+1, IK]$. Da (V_p, E_p)

nach (1) ein Baum ist, gibt es einen ein-

deutig bestimmten Knoten $K' \in V_p$ mit $(K', K) \in E_p$.

Es gilt $LEVEL(K') = j$; sei $IND = INDEX(K')$.

Dann gilt:

- (i) $a_p(K') \neq \text{STOP}$ [nach Def. 3.6]
 (ii) $K' \in V \wedge a_p(K') \in f(K')$ [Ind.-Annahme]
 (iii) $IND \in INDZ_{PT}(j)$ [nach Def. 3.6]
 $IK \in INDZ_{PT}(j+1)$
 $IK \subseteq IND$
 (iv) $\forall i \in IND. a_p(K') = PI_{i,j}$ [nach (1)]
 (v) $\forall i \in IND. PI_{i,j} \in MI_{i,j}$ [Satz 3.3]
 $\wedge (PI_{i,j}, PT_{i,j}) \in MT_{i,j}$

- (vi) $\forall i \in IND. MI_{i,j} = PT_{i,j}$ [Def. 3.3]
 (vii) $INDZ_{PT}(j+1)$ induziert auf IND
 genau dieselbe Zerlegung wie
 $INDZ_{MT}(K', a_p(K'))$
 (viii) $IK \in INDZ_{MT}(K', a_p(K'))$
 $\Rightarrow K = [j+1, IK] \in V$
 $\wedge (K', K) \in E$
 $\wedge a_p(K') \in g(K', K)$ [nach (1)]
 (ix) $\forall i \in IK. a_p(K) = PI_{i,j+1}$ [Satz 3.3]
 $\forall i \in IK. PI_{i,j+1} \in MI_{i,j+1}$
 $\Rightarrow a_p(K) \in \bigcap_{i \in IK} MI_{i,j+1} = f(K)$

zu (b): Da es für jeden Knoten in V_p nur einen Vorgängerknoten in V_p geben kann, wurde Teil (b) der Aussage bereits in (viii) gezeigt.

zu (c): Sei $K \in V, K = [j+1, IK], (K', K) \in E,$
 $K' = [j, IND], K' \in E_p, a_p(K') \in g(K', K).$
 Zu zeigen ist, daß $K \in V_p$ und $(K', K) \in E_p$.

- (x) $a_p(K') \neq \text{STOP}$ [Def. 3.5]
 (xi) $IK \in INDZ_{MT}(K', a_p(K'))$ [Def. 3.5 u. 3.6]
 $IND \in INDZ_{PT}(j)$
 $IK \subseteq IND$
 (xii) $\forall i \in IND. MI_{i,j} = PT_{i,j}$ [analog (iv)-(vi)]
 (xiii) $INDZ_{MT}(K', a_p(K'))$ induziert auf IND genau dieselbe Zerlegung wie $INDZ_{PT}(j+1)$
 $\Rightarrow K = [j+1, IK] \in V_p$
 $\wedge (K', K) \in E_p$

Aus der erfolgreichen Ausführung des Induktionsschrittes folgt die Gültigkeit von $A[j]$ für alle $j \geq 0$ und damit auch die Aussagen (4.1)-(4.5), was den Beweis von Satz 3.4 abschließt.

Beispiel 3.5

Ein Vergleich der Realisierungsdarstellungen von Q_2 und Q_3 aus Beispiel 3.4 mit den Stufengraphdarstellungen der entsprechenden MI in Beispiel 3.3 zeigt, daß die Bedingungen des Satzes 3.4 erfüllt sind.

In der reduzierten Stufengraphdarstellung von MI sind nur noch solche Instruktionen I in den Markierungsmengen der Knoten enthalten, für die es ein Programm P gibt, das Q realisiert und das gerade durch I die entsprechenden Speicherbelegungsübergänge erzeugt. Dies führt zu dem Realisierbarkeitskriterium für PSP, das im folgenden Satz bewiesen wird.

Satz 3.5

Q sei $PSP, Q_{ST} = (b, S, MI, MT)$.

(V', E', f', g') sei (reduzierte) Stufengraphdarstellung von MI.

Behauptung:

$V' = \emptyset \Leftrightarrow Q$ ist nicht realisierbar.

Beweis:

Es wird hier zunächst nur die Richtung " \Rightarrow " bewiesen; der Beweis der Gegenrichtung erfolgt durch Synthese eines Programms P, das Q realisiert, falls $V' \neq \emptyset$.

(V, E, f, g) sei die nicht-reduzierte Stufengraphdarstellung von MI.

Widerspruchannahme: $V' = \emptyset \wedge P \in PROGRAMS$.

P realisiert Q ; $P_{RQ-SG}(P, Q) = (V_p, E_p, a_p, c_p, u_p)$

(1) falls $b \in \{s, a, as\}$:

[nach Def. 3.5] $V' = \emptyset \Rightarrow \exists K \in V. f(K) = \emptyset$

[nach Satz 3.4] $\forall K \in V. a_p(K) \in f(K)$

$\Rightarrow \forall K \in V. f(K) \neq \emptyset$ Widerspruch!

(2) falls $b = ss$:

Seien m, n, F_n und V'' wie in Def. 3.5 (3.2) ; $K_0 = [0, \{1, \dots, m\}]$

(i) $\forall K \in V. f(K) \setminus F_n(K) = \emptyset \Leftrightarrow f(K) = F_n(K)$ [nach Def. 3.5]

(ii) $\forall K \in V_p. K \in V \wedge a_p(K) \in f(K)$ [Satz 3.4]

(iii) $\forall K \in V_p. [(i) \text{ und } (ii)]$

$f(K) \setminus F_n(K) = \emptyset \Rightarrow a_p(K) \in F_n(K)$

(iv) $\forall K \in V_p.$

$a_p(K) \in F_n(K)$

$\Rightarrow \exists K' \in V. (K, K') \in E \wedge a_p(K) \in f(K, K') \wedge F_n(K') = f(K')$ [Def. 3.5]

$\Rightarrow \exists K' \in V_p. (K, K') \in E_p \wedge a_p(K') \in F_n(K')$ [Satz 3.4 u. (iii)]

$\Rightarrow \exists (K_0, K_1), (K_1, K_2), \dots, (K_n, K_{n+1}) \in E_p$

$\Rightarrow \exists K \in V_p. LEVEL(K) > n$ im Widerspruch zur Def. von V_p

nach n-maliger Wiederholung der beiden letzten Ableitungen

- (v) $\forall K \in V_p \cdot a_p(K) \notin F_n(K)$ [nach (iv)]
- (vi) $V' = \emptyset \Rightarrow K_0 \notin V'$ [Def. 3.5]
- (vii) $K_0 \in V_p \Rightarrow a_p(K_0) \notin F_n(K)$ [nach (v)]
- $\Rightarrow f(K_0) \setminus F_n(K_0) \neq \emptyset$ [(iii)]

Widerspruch!

3.2.4 Stufengraphdarstellung eines PSP

Übernimmt man auch die durch MT gegebene Information eines standardisierten PSP Q mit in dessen Stufengraphdarstellung von MI, so werden die Matrizen S, MI und MT für die Programmsynthese nicht mehr benötigt. Die zwischen Knoten benachbarter Stufen vorliegenden Transitionen werden durch eine zusätzliche Kantenmarkierungsfunktion wiedergegeben.

Satz 3.6.

Q sei $PSP, Q_{ST} = (b, S, MI, MT)$.
 (V, E, f, g) sei Stufengraphdarstellung von MI, $j \in \mathbb{N}$.

Behauptung:

Für jede Kante $(K, K') \in E$ mit $LEVEL(K) = j$ gilt:

$$\forall i_1, i_2 \in INDEX(K').$$

$$(b \in \{ \underline{s}, \underline{a}, \underline{as} \} \Rightarrow MT_{i_1, j} = MT_{i_2, j})$$

$$(b = \underline{ss} \Rightarrow MT_{i_1, j} \cap (g(K, K') \times TFN) = MT_{i_2, j} \cap (g(K, K') \times TFN))$$

Beweis: analog Satz 3.4.

Der obige Satz garantiert die Eindeutigkeit der i.f. definierten Stufengraphdarstellung eines PSP Q.

Definition 3.7.

Q sei $PSP, Q_{ST} = (b, S, MI, MT)$.

(V, E, f, g) sei Stufengraphdarstellung von MI.

$Q_{SG} = (b, V, E, f, g, t)$ heißt Stufengraphdarstellung von Q \Leftrightarrow

$t : E \rightarrow TRANS_b$ ist eine Kantenmarkierungsfunktion, die definiert ist durch:

sei $(K, K') \in E, j = LEVEL(K), i \in INDEX(K')$:

$$t(K, K') = \begin{cases} MT_{i, j} & \Leftrightarrow b \in \{ \underline{s}, \underline{a}, \underline{as} \} \\ MT_{i, j} \cap (g(K, K') \times TFN) & \Leftrightarrow b = \underline{ss} \end{cases}$$

Notation: Analog zur Definition von MT (Def. 3.3) sei für

$$I \in g(K, K'):$$

$$t^I(K, K') = \begin{cases} t(K, K') & \Leftrightarrow b \in \{ \underline{s}, \underline{a}, \underline{as} \} \\ m & \Leftrightarrow b = \underline{ss} \cap (I, m) \in t(K, K') \end{cases}$$

Beispiel 3.6

Die in Beispiel 3.3-4 links von einer Kante (K, K') stehende Menge gibt den Wert $t(K, K')$ wieder, wobei t die für die Stufengraphdarstellung von Q_4 notwendige Kantenmarkierungsfunktion ist.

3.2.5 Reduzierte Stufengraphdarstellungen

3.2.5.1 Instruktionshypothesengraph

Die Stufengraphdarstellung Q_{SG} einer PSPQ kann i.a. noch weiter reduziert werden. Jeder Beispielsfolge i entsprechen in Q_{SG} Wege vom Knoten der Stufe 0 bis zu einem Endknoten. Sind nun für zwei Folgen i und i' alle diese Wege jeweils identisch, so genügt es, nur eine dieser beiden Folgen bei der weiteren Programmsynthese zu berücksichtigen.

Definition 3.8

Q sei $PSP, dim(Q) = (m, (n_1, \dots, n_m))$,
 $Q_{SG} = (b, V, E, f, g, t)$, $V \neq \emptyset$.

(1) Zwei Indizes $i_1, i_2 \in \{1, \dots, m\}$ heißen redundant bzgl. Q_{SG}

$$\Leftrightarrow \forall K \in V. (i_1 \in INDEX(K) \Leftrightarrow i_2 \in INDEX(K))$$

(2) Sei $\{C_1, \dots, C_m\}$ die durch die Äquivalenzrelation "redundant bzgl. Q_{SG} " induzierte Zerlegung von $\{1, \dots, m\}$, und es gelte $\min(C_1) < \dots < \min(C_m)$. Damit sind die Abbildungen r und R durch das Folgende eindeutig definiert:

$$(i) r : \{1, \dots, m\} \rightarrow \{1, \dots, m'\}$$

$$r = \lambda i. i \in C_i \rightarrow i'$$

$$(ii) R : V \rightarrow \{(0, \dots, \max(n_1, \dots, n_m))\}, POT\{1, \dots, m'\}$$

$$R = \lambda K. [LEVEL(K), \{r(i) \mid i \in INDEX(K)\}]$$

(3) $G = (b, V', E', f', g', t')$ heißt (reduzierter und minimaler)

Instruktionshypothesengraph (IH-Graph) von Q $\Leftarrow \Rightarrow$

G ergibt sich aus Q_{SG} , indem man jeden Knoten $K \in V$ durch den Knoten $R(K)$ ersetzt, d.h.:

$$(i) V' = \{R(K) \mid K \in V\}$$

$$(ii) E' = \{(R(K_1), R(K_2)) \mid (K_1, K_2) \in E\}$$

$$(iii) f' = \lambda K. K = R(K') \rightarrow f(K')$$

$$(iv) g' = \lambda (K_1, K_2). (K_1, K_2) = (R(K'_1), R(K'_2)) \rightarrow g(K'_1, K'_2)$$

$$(v) t' = \lambda (K_1, K_2). (K_1, K_2) = (R(K'_1), R(K'_2)) \rightarrow t(K'_1, K'_2)$$

(4) Der durch obige Definitionen für $V \neq \emptyset$ eindeutig bestimmte Instruktionshypothesengraph eines PSPQ wird bezeichnet durch IH-GRAPH(Q). Gilt $V = \emptyset$, so ist IH-GRAPH(Q) = ϵ .

Wenn nicht ausdrücklich auf das Gegenteil hingewiesen wird, gelte für die folgenden Betrachtungen die Vereinbarung, daß bei der Annahme eines PSPQ immer ein endliches PSP gemeint ist, für das IH-GRAPH(Q) $\neq \epsilon$ gilt, das somit nach Satz 3.5 realisierbar ist.

Beispiel 3.7

1. Aus Beispiel 3.3 geht hervor, daß bei Q_1 die Indizes 1 und 4, bei Q_2 2 und 4, bei Q_3 1 und 4 und bei Q_4 1 und 5 redundant sind.

2. IH-Graph G_3 von Q_3 : Knotenmarkierung $f(K)$ steht rechts von K ; Kantenmarkierung $g(K, K')$ wird durch die links, $t(K, K')$ durch die rechts von (K, K') stehende Menge wiedergegeben. Dabei werden folgende Abkürzungen benutzt:

$$A = \{CL(1), A(i, 1), ZR(i)\}$$

$$B = \{(CL(1), \underline{nil}), (A(i, 1), \underline{nil}), (ZR(1), \underline{true}), (ZR(2), \underline{false}), (ZR(4), \underline{false}), (ZR(5), \underline{false})\}$$

$$C = \{CL(1), CL(3), A(i, 1), A(i, 3), ZR(i)\}$$

$D := \{ (CL(1), \underline{nil}), (CL(3), \underline{nil}), (A(i, 1), \underline{nil}), (A(i, 3), \underline{nil}), (ZR(1), \underline{true}), (ZR(2), \underline{false}), (ZR(3), \underline{true}), (ZR(4), \underline{false}), (ZR(5), \underline{false}) \}$
 $E := (D \setminus \{ (ZR(2), \underline{false}) \}) \cup \{ (CL(2), \underline{nil}), (A(i, 2), \underline{nil}), (ZR(2), \underline{true}) \}$

Gemäß diesen Vereinbarungen ist G_3 in Abb. 3.2 angegeben.
 $G_4 = IH\text{-GRAPH}(Q_4)$ ergibt sich direkt aus der Graphendarstellung in Beispiel 3.3-4, indem in allen Knoten der redundantante Index 5 entfernt wird.

Definition 3.9

Sei $Q \in PSP$, $G = IH\text{-GRAPH}(Q)$, $G = (b, V, E, f, g, t)$, $IHM \subseteq INSTRUCTIONS$.

- (1) V ist linear geordnet durch die Relation \prec_G
- (2) $ROOT(G)$ heißt Wurzel von G und bezeichnet den eindeutig bestimmten Knoten $K \in V$ mit $LEVEL(K) = 0$.
- (3) Sei $K \in V$, $I \in f(K)$, $I \neq STOP$, $i \in INDEX(K)$.

$NF_G(K, I, i)$ heißt Nachfolger von K in G bzgl. Hypothese I und Index i und bezeichnet den eindeutig bestimmten Knoten $K' \in V$ mit:

$$(K, K') \in E, I \in g(K, K'), i \in INDEX(K')$$

(4) Sei $K, K' \in V$.

K ist erreichbar in G durch einen IHM-Weg von K' \Leftrightarrow

$\exists i \in INDEX(K), r \geq 1, K_1, \dots, K_r \in V$ mit:

- (i) $K_1 = K' \wedge K_r = K$
- (ii) $\forall j \in \{1, \dots, r-1\}. \exists I \in IHM, K_{j+1} = NF_G(K_j, I, i)$

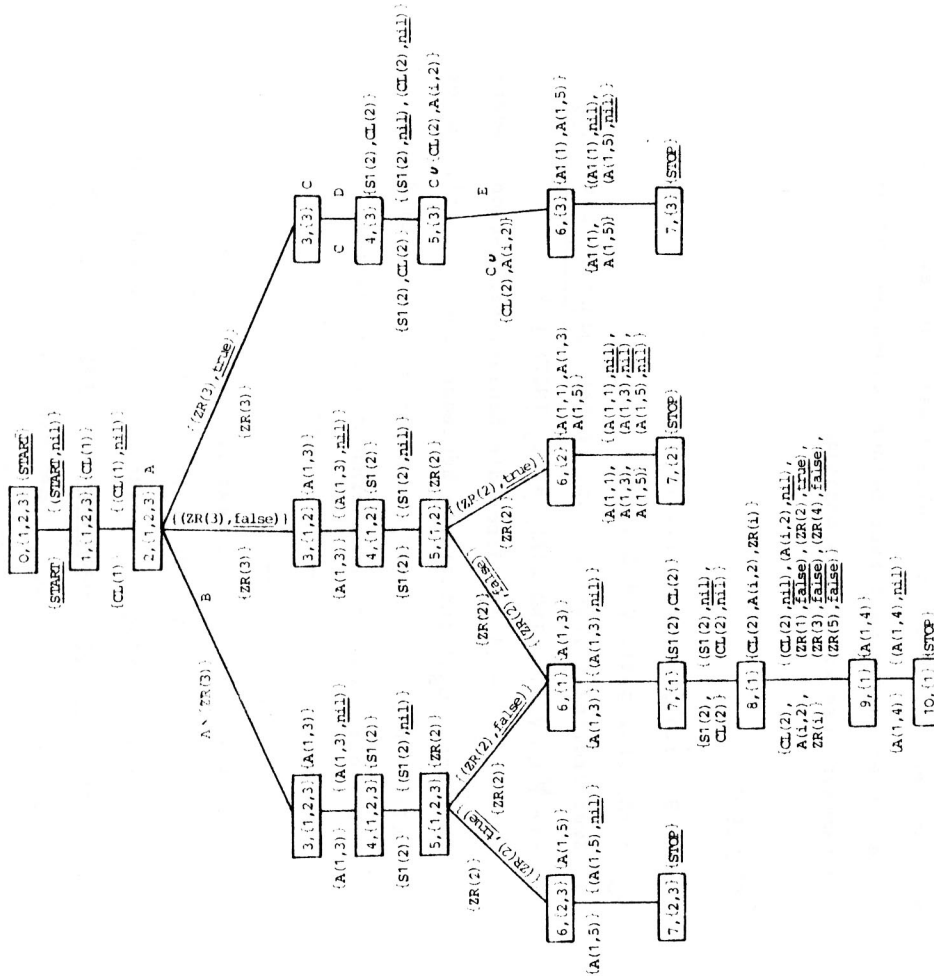


Abbildung 3.2: $G_3 = IH\text{-GRAPH}(Q_3)$

Beispiel 3.8

Für $G = \text{IH-GRAPH}(Q_3)$ gilt z.B.

$$\begin{aligned} & [0, \{1, 2, 3\}] \text{ ist Wurzel von } G. \\ \text{NF}_G & ([2, \{1, 2, 3\}], \text{ZR}(1), 1) \\ = \text{NF}_G & ([2, \{1, 2, 3\}], \text{ZR}(1), 3) = [3, \{1, 2, 3\}] \\ \text{NF}_G & ([2, \{1, 2, 3\}], \text{ZR}(3), 1) = [3, \{1, 2\}] \\ \text{NF}_G & ([2, \{1, 2, 3\}], \text{ZR}(3), 3) = [3, \{3\}] \\ \text{NF}_G & ([5, \{1, 2\}], \text{ZR}(1), 1) \text{ ist nicht definiert, da } \text{ZR}(1) \notin f([5, \{1, 2\}]) \\ \text{NF}_G & ([5, \{1, 2\}], \text{ZR}(2), 3) \text{ ist nicht definiert, da } 3 \notin \text{INDEX}([5, \{1, 2\}]) \end{aligned}$$

Sei $\text{IM} = \{\text{CL}(1), \text{ZR}(2), \text{A}(1, 3), \text{S1}(2)\}$.

$[7, \{1\}]$ und $[7, \{2, 3\}]$ sind durch einen IM -Weg von $[0, \{1, 2, 3\}]$ erreichbar, nicht jedoch $[7, \{2\}]$ oder $[7, \{3\}]$, da beim Knoten $[2, \{1, 2, 3\}]$ nur Instruktion $\text{ZR}(3)$ die dafür notwendigen Nachfolger auswählen kann.

3.2.5.2 Realisierungsgraph

Um auch für die Realisierung eines $\text{PSP } Q$ durch ein Programm P eine dem IH-GRAPH von Q analoge Darstellung zur Verfügung zu haben, werden in der Stufengraphdarstellung $\text{PRQ-SG}(P, Q)$ die Indexmengen der Knoten entsprechend dem IH-GRAPH reduziert.

Definition 3.10

Q sei $\text{PSP}; P \in \text{PROGRAMS}$ realisiere Q , $\text{RPQ-SG}(P, Q) = (V_p, E_p, a_p, c_p, u_p)$, $G = \text{IH-GRAPH}(Q)$. Da Q realisierbar ist, ist nach Satz 3.5 $G \neq \epsilon$; sei R die für diesen Fall in Def. 3.8 benutzte Funktion.

$\text{R-GRAPH}(P, Q) = (V_p, E_p, a_p, c_p, u_p)$ heißt Realisierungsgraph (R-Graph) von P und Q (mit gemäß G reduzierten Indexmengen)

$\langle \implies \rangle$

- (i) $V_p = \{R(K) \mid K \in V_p\}$
- (ii) $E_p = \{(R(K_1), R(K_2)) \mid (K_1, K_2) \in E_p\}$
- (iii) $a_p = \lambda K. K = R(K') \implies a_p(K')$
- (iv) $c_p = \lambda (K_1, K_2). (K_1, K_2) = (R(K'_1), R(K'_2)) \implies c_p(K'_1, K'_2)$
- (v) $u_p = \lambda (K_1, K_2). (K_1, K_2) = (R(K'_1), R(K'_2)) \implies u_p(K'_1, K'_2)$

Beispiel 3.9

Entfernt man in den Graphendarstellungen aus Beispiel 3.4 in allen Knoten den Index 4, so erhält man die Realisierungsgraphen von P und Q_2 bzw. Q_3 . Bei Q_3 ist zu beachten, daß Index 3, der hier zwar immer zusammen mit 2 vorkommt, nicht eliminiert werden kann, da in $\text{IH-GRAPH}(Q_3)$ z.B. in den Knoten $[5, \{1, 2\}]$ und $[5, \{3\}]$ 2 und 3 getrennt voneinander auftreten.

3.3 Ebenen der Hypothesenbildung

Die durch $G = \text{IH-GRAPH}(Q)$ gegebene Darstellung eines $\text{PSP } Q$ ermöglicht es, die Programmsynthese in zwei Ebenen aufzuspalten. Die eine Ebene (3.3.1) betrifft die Auswahl der möglichen Instruktionen; auf diese wird i.f. oft durch die Abkürzung IH (für Instruktionshypothesen oder I-Hypothesen) Bezug genommen. Die zweite Ebene (3.3.2) bezieht sich auf die Auswahl der LABEL , die zusammen mit den gewählten Instruktionen die Programmknotten des Zielprogramms bilden. In 3.3.3 werden die Beziehungen zu den bisher eingeführten Darstellungen aufgezeigt.

3.3.1 IH-Situationen

Um die Hypothesenbildung nicht unabhängig voneinander, sondern möglichst effizient miteinander gekoppelt vornehmen zu können, werden die Instruktionshypothesen nicht für alle Knoten von G gleichzeitig getroffen, sondern schrittweise bei der Wurzel von G beginnend bis hin zu den Endknoten von G. Die bis zu einem bestimmten Zeitpunkt angenommenen I-Hypothesen und die verbleibenden Möglichkeiten für die noch zu treffenden Entscheidungen werden in einer sog. IH-Situation festgehalten.

Eine IH-Situation IS ist ein Paar aus (A,R) und stellt eine Aufteilung von G in zwei Teilgraphen dar. Für die Knoten des Anfangsgraphen A ist durch die Auswahlfunktion a jeweils eine I-Hypothese aufgestellt worden; für die Knoten des Restgraphen R gibt f_R die möglichen I-Hypothesen an, aus denen noch jeweils eine ausgewählt werden muß.

Hierbei wird berücksichtigt, daß möglicherweise nicht mehr alle Instruktionen als mögliche Hypothesen zur Verfügung stehen, sondern nur noch eine Teilmenge IHM von INSTRUCTIONS. Bei der Definition von R ist in diesem Zusammenhang wichtig, daß nur noch die restlichen Knoten aus G aufgenommen werden, die für die durch A aufgestellten I-Hypothesen und die Einschränkung auf IHM noch relevant sind. Die Auswahl dieser Knoten verläuft ganz analog zu dem für die Erstellung der reduzierten Stufengraphdarstellung von MI benutzten Verfahren (Def. 3.5).

Die Folge der Knoten in R, die direkte Nachfolger der Endknoten von A sind, bilden die Front von IS, für deren Knoten die nächsten I-Hypothesen jeweils aufzustellen sind.

Def. 3.11

Q sei realisierbares PSP, $G = \text{IH-GRAPH}(Q)$,
 $G = (b, V, E, f, g, t)$, $\text{IHM} \subseteq \text{INSTRUCTIONS}$.

(1) $A = (V_A, E_A, a, c)$ ist ein aus G mit IH-Menge IHM ableitbarer

IH-Anfangsgraph $\langle \Rightarrow \rangle$

(i) $V_A \subseteq V$

$E_A = E \cap (V_A \times V_A)$

$a : V_A \rightarrow \text{IHM}_1$

$c : E_A \rightarrow \text{TRANS}'_b$

a heißt IH-Auswahlfunktion.

(ii) (V_A, E_A) ist ein Baum mit: $\text{ROOT}(V_A, E_A) = \text{ROOT}(G)$.

(iii) $\forall K \in V_A. a(K) \in f(K)$

(iv) $\forall (K, K') \in E_A, i \in \text{INDEX}(K'). \text{NF}_G(K, a(K), i) = K'$.

(v) $c = \lambda (K, K'). t^{a(K)}(K, K')$

(2) $\text{FRONT}_G(A) = (K_1, \dots, K_r)$ heißt IH-Front von A $\langle \Rightarrow \rangle$

(i) $\{K_1, \dots, K_r\} = \{K \mid K \in V \setminus V_A, \exists K' \in V_A, i \in \text{INDEX}(K')\}$.

$K = \text{NF}_G(K', a(K'), i)$

(ii) $K_1 <_G \dots <_G K_r$

(3) Sei A wie in (1), (K_1, \dots, K_r) wie in (2).

$\text{FRONT}_G(A) = ((K'_1, K_1), \dots, (K'_r, K_r))$ heißt Liste der Front-

kanten von A $\langle \Rightarrow \rangle$

$\forall i \in \{1, \dots, r\}. (K'_i, K_i) \in E$

Bemerkung: i.f. wird der Index G meist weggelassen.

(4) Sei A wie in (1).

$(V_R, E_R, f_R, g_R, t_R)$ heißt gemäß IHM reduzierter IH-Restgraph von A \Leftrightarrow

sei:

(a) $V' = \{K \mid K \in V, \exists K' \in \text{FRONT}(A), K \text{ ist in } G \text{ durch einen}$

IHM¹-Weg erreichbar von $K'\}$

(b) $n = \max\{\text{LEVEL}(K) \mid K \in V'\} - \min\{\text{LEVEL}(K) \mid K \in V'\}$

Analog Def. 3.5 sei für $j \in \{0, \dots, n\}$:

(c) $F_j : V' \rightarrow \text{POT}(\text{INSTRUCTIONS}_1^-)$

(j = 0) $F_0 = \lambda K. f(K) \setminus \text{IHM}_1^-$

(j > 0) $F_j = \lambda K. F_{j-1}(K) \cup \bigcup_{K'} g(K, K')$

$(K, K') \in E \cap (V' \times V'), f(K') \setminus F_{j-1}(K') = \emptyset$

(d) $V'' = \{K \mid K \in V', f(K) \setminus F_n(K) \neq \emptyset\}$

Dann gilt:

(i) $V_R = \{K \mid K \in V'', \exists K' \in \text{FRONT}(A), \exists \text{Weg in } E \cap (V'' \times V'')$
von K' nach $K\}$

(ii) $E_R = E \cap (V'' \times V'') \setminus \{(K, K') \mid (K, K') \in E \wedge g(K, K') \subseteq F_n(K)\}$

(iii) $f_R : V_R \rightarrow \text{POT}(\text{IHM}_1^-)$

$f_R = \lambda K. f(K) \setminus F_n(K)$

(iv) $g_R : E_R \rightarrow \text{POT}(\text{IHM}_1^-)$

$g_R = \lambda(K, K'). g(K, K') \cap f_R(K)$

(v) $t_R : E_R \rightarrow \text{TRANS}_b$

$t_R = \lambda(K, K'). b \in \{\underline{s}, \underline{a}, \underline{as}\} \rightarrow t(K, K')$

$b = \underline{ss} \rightarrow t(K, K') \cap (g_R(K, K') \times \text{TFN})$

(5) Sei A, R wie in (4), $\text{FRONT}_G(A) = (K_1, \dots, K_r)$.

$\text{IS} = (A, R)$ heißt aus G mit IH-Menge IHM ableitbare IH-Situation.

$\text{FIH}_G(\text{IS}) = M$ ist die Menge der möglichen Instruktionshypothesen an der IH-Front von A \Leftrightarrow

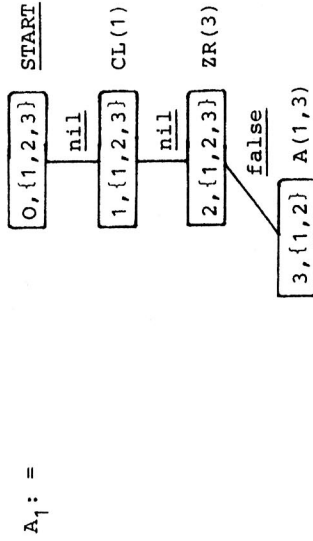
$$M = \begin{cases} f_R(K_1) \times \dots \times f_R(K_r) & \Leftrightarrow \forall i \in \{1, \dots, r\}, K_i \in V_R \\ \emptyset & \Leftrightarrow \exists i \in \{1, \dots, r\}, K_i \notin V_R \end{cases}$$

$\text{INSTR}(\text{IS}) = \{a(K) \mid K \in V_A\} \setminus \{\text{START}, \text{STOP}\}$ heißt Instruktions-

menge des IH-Anfangsgraphen von IS

Beispiel 3.10

1. Sei $\text{IM} = \{\text{CL}(1), \text{ZR}(3), A(1,3), S1(2)\}$.



A_1 ist aus G_3 (Beispiel 3.7-2) mit IM ableitbarer IH-Anfangsgraph.

$\text{FRONT}_G(A_1) = ([4, \{1, 2\}], [3, \{3\}])$

$\text{FRONT}_G(A_1) = (([3, \{1, 2\}], [4, \{1, 2\}]), ([2, \{1, 2, 3\}], [3, \{3\}]))$

Insbesondere gehört $[3, \{1, 2, 3\}]$ nicht zu $\text{FRONT}_G(A_1)$; es kann sogar keinen IH-Anfangsgraphen geben, zu dem sowohl $[3, \{1, 2, 3\}]$ als auch $[3, \{1, 2\}]$ oder $[3, \{3\}]$ gehören, da die Auswahl einer Instruktion $a([2, \{1, 2, 3\}])$ aus der Menge $f([2, \{1, 2, 3\}])$ dies ausschließt.

Mit den Bezeichnungen von Def. 3.11, Abschnitt 4, wird nun der zugehörige Restgraph bestimmt. Danach gilt:

$$V' = \{[4, \{1, 2\}], [5, \{1, 2\}], [3, \{3\}], [4, \{3\}], [5, \{3\}], [6, \{3\}]\}$$

ist die Menge der durch einen IM-Weg von einem Frontknoten

aus erreichbaren Knoten; z.B. ist $[6, \{2\}]$ nicht erreichbar, da $f([5, \{1, 2\}]) \cap IM = \emptyset$; und $[7, \{3\}]$ ist nicht erreichbar, da $f([6, \{3\}]) \cap IM = \emptyset$. Sei: $C = \{CL(1), CL(3), A(i, 1), A(i, 3), ZR(i)\}$, $A = C \setminus IM$. Damit gilt bei $n = 3$:

K	$F_0(K)$	$F_1(K)$	$F_2(K)$	$F_3(K)$	$f(K) \setminus F_3(K)$
$[4, \{1, 2\}]$	\emptyset	$\{S1(2)\}$	$\{S1(2)\}$	$\{S1(2)\}$	\emptyset
$[5, \{1, 2\}]$	$\{ZR(2)\}$	$\{ZR(2)\}$	$\{ZR(2)\}$	$\{ZR(2)\}$	\emptyset
$[3, \{3\}]$	A	A	A	C	\emptyset
$[4, \{3\}]$	$\{CL(2)\}$	$\{CL(2)\}$	$\{S1(2), CL(2)\}$	$\{S1(2), CL(2)\}$	\emptyset
$[5, \{3\}]$	$A \cup \{CL(2), A(i, 2)\}$	$C \cup \{CL(2), A(i, 2)\}$	$C \cup \{CL(2), A(i, 2)\}$	$C \cup \{CL(2), A(i, 2)\}$	\emptyset
$[6, \{3\}]$	$\{A1(1), A(1, 5)\}$	$\{A1(1), A(1, 5)\}$	$\{A1(1), A(1, 5)\}$	$\{A1(1), A(1, 5)\}$	\emptyset

Der zu A_1 gehörige Restgraph ist also leer, und damit gilt auch $FIH_G(IS_1) = \emptyset$.



ist ein mit INSTRUCTIONS aus G_3 ableitbarer Anfangsgraph, für den gilt: $FRONT(A_2) = ([2, \{1, 2, 3\}])$

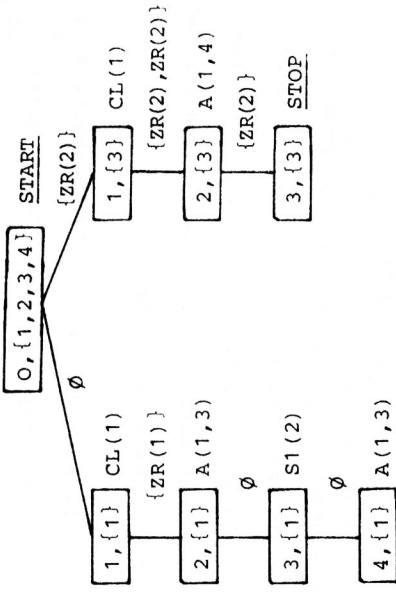
$$FRONTE(A_2) = ([1, \{1, 2, 3\}], [2, \{1, 2, 3\}])$$

Der zugehörige Restgraph R_2 enthält alle übrigen Knoten aus G mit denselben Markierungen. Für $IS_2 = (A_2, R_2)$ gilt:

$$FIH(IS_2) = f([2, \{1, 2, 3\}]) = \{CL(1), A(i, 1), ZR(i)\}$$

$$INSTR(IS_2) = \{CL(1)\}$$

3. $A_6 :=$



$IS_6 = (A_6, R_6)$ ist aus G_4 (Beispiel 3.7-3) mit INSTRUCTIONS ableitbare IH-Situation, wobei R_6 alle übrigen Knoten aus G_4 enthält.

$$\text{Es gilt: } FRONT_{G_4}(A_6) = ([5, \{1\}], [1, \{2, 4\}])$$

$$FRONTE_{G_4}(A_6) = ([4, \{1, 1\}], [5, \{1\}], [0, \{1, 2, 3, 4\}], [1, \{2, 4\}])$$

$$FIH_{G_4}(IS_6) = \{S1(2), CL(2)\} \times \{CL(1), A(i, 2)\}$$

$$INSTR(IS_6) = \{S1(2), CL(1), A(1, 3), A(1, 4)\}$$

Die Definition einer IH-Situation könnte vereinfacht werden, wenn man den Fall $b = \underline{ss}$ nicht berücksichtigen würde. Sie bestünde dann i.w. in der Angabe einer Zerlegung von V in V_A und V_R , c und t_R wären die Einschränkungen von t auf V_A und V_R , g wäre schon in G nicht mehr notwendig und könnte mit g_R auch in R entfallen, und zur Bildung von f_R würde der Mengendurchschnitt von f mit IHM^1 genommen.

Eine naheliegende Nachfolgerrelation zwischen IH-Situationen IS und IS' ist die, daß IS' aus IS entsteht, wenn man alle in IS angenommenen I-Hypothesen nach IS' übernimmt und eventuell weitere hinzufügt. Drei derartige Nachfolgerrelationen sowie

zwei Kriterien für kleinste (initiale) und größte (terminale) IH-Situationen unter diesen Ordnungen werden in der folgenden Situation eingeführt und einige ihrer Eigenschaften in dem daran anschließenden Satz gezeigt.

Definition 3.12

Sei $Q \in PSP$. Für $i \in \{1, 2\}$ sei $IHM_i \in INSTRUCTIONS$, IS_i aus $G=IH-GRAPH(Q)$ mit IHM_i ableitbare IH-Situation, $IS_i = (A_i, R_i)$, $A_i = (V_A^i, E_A^i, a_i, c_i)$, $R_i = (V_R^i, E_R^i, f_i, g_i, t_i)$. Sei $INSTR(A_1) \in IHM_2$.

(1) IS_2 ist Nachfolger von $IS_1 \iff$

- (i) $IHM_1 \cong IHM_2$
- (ii) $V_A^1 \subseteq V_A^2$
- (iii) $a_1 = a_2 / V_A^1$

(2) IS_2 ist größter erzwingener Nachfolger von IS_1 gemäß $IHM_2 \iff$

- (i) IS_2 ist Nachfolger von IS_1
- (ii) $\forall K \in V_A^2 \setminus V_A^1 \cdot f_1(K) \cap IHM_2^1 = \{a_2(K)\}$
- (iii) $\forall K \in FRONT(A_2) \cdot |f_2(K)| \neq 1$

(3) Sei $FRONT(A_1) = (K_1, \dots, K_r)$, $H = (h_1, \dots, h_r)$ mögliche

Instruktionshypothese an der IH-Front von A_1 .

IS_2 ist direkter Nachfolger von IS_1 gemäß Hypothese H \iff

- (i) $IHM_1 = IHM_2$
- (ii) IS_2 ist Nachfolger von IS_1
- (iii) $V_A^2 = V_A^1 \cup \{K_1, \dots, K_r\}$
- (vi) $\forall_{j \in \{1, \dots, r\}} \cdot a_2(K_j) = h_j$

(4) IS_1 heißt initiale IH-Situation von G \iff

- (i) $IHM_1 = INSTRUCTIONS$
- (ii) $V_A^1 = \{ROOT(G)\}$

(5) IS_1 heißt terminale IH-Situation von G \iff

$$FRONT_G(A_1) = \epsilon$$

Satz 3.7 Es seien die Bezeichnungen aus Def. 3.12 gegeben.

Behauptung:

(1) IS, IS' sind initiale IH-Situationen von $G \implies IS = IS'$

Notation: Die damit eindeutig bestimmte initiale IH-Situation von G wird i.f. bezeichnet durch

$$IH-INIT(G).$$

(2) IS_2, IS_2' sind größte erzwingene Nachfolger von IS_1 gemäß

$$IHM_2 \implies IS_2 = IS_2'$$

Notation: $GSUC(IS_1, IHM_2)$ bezeichnet den eindeutig bestimmten größten erzwingenen Nachfolger von IS_1 gemäß IHM_2 .

(3) IS_2, IS_2' sind direkte Nachfolger von IS_1 gemäß Hypothese H

$$\implies IS_2 = IS_2'$$

Notation: $DSUC(IS_1, H)$ bezeichnet den eindeutig bestimmten direkten Nachfolger von IS_1 gemäß Hypothese H.

Eigenschaften von IH-INIT, GSUC und DSUC:

(4) IS ist aus G ableitbare IH-Situation $\implies IS$ Nachfolger von $IH-INIT(G)$

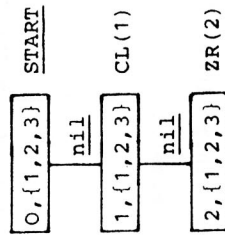
- (5) IS_1 nicht-terminale IH-Situation $\wedge IS_2$ terminaler Nachfolger von IS_1
- $\Rightarrow \exists H \in \text{FIH}(IS_1) \cdot IS_2$ Nachfolger von $DSUC(IS_1, H)$
- (6) IS_2 terminaler Nachfolger von $IS_1 \wedge \text{INSTR}(IS_2) \subseteq \text{IHM}$
- $\Rightarrow IS_2$ terminaler Nachfolger von $GSUC(IS_1, \text{IHM})$
- (7) IS_1 besitzt keinen terminalen Nachfolger $\Leftrightarrow IS_1$ ist nicht-terminal $\wedge \text{FIH}(IS_1) = \emptyset$.
- (8) $\forall H \in \text{FIH}(IS_1) (\exists IS_2 \cdot IS_2$ ist terminaler Nachfolger von $DSUC(IS_1, H))$

Beweis:

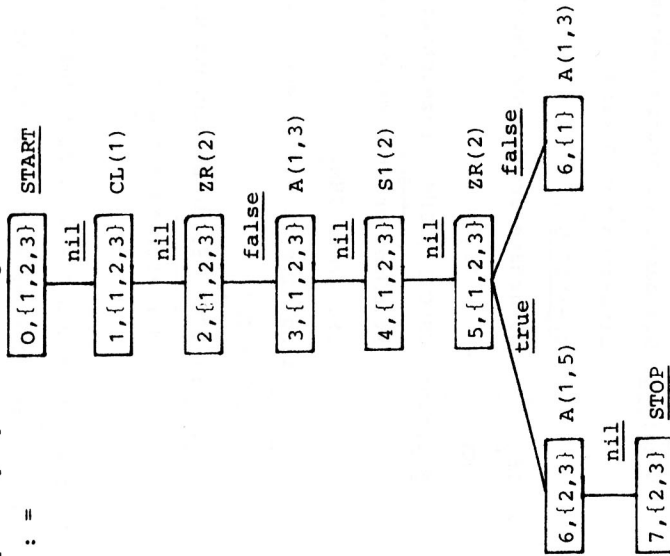
Aussagen (1) - (6) ergeben sich direkt aus den entsprechenden Definitionen, (7) und (8) werden analog zu dem Vorgehen in den Sätzen 3.4 und 3.5 bewiesen.

Beispiel 3.11

1. $IS_3 = (A_3, R_3) = DSUC(IS_2, (ZR(2)))$, wobei IS_2 die im vorigen Beispiel 3.10-2 gegebene IH-Situation ist und A_3 skizziert wird durch:



2. $IS_4 = (A_4, R_4) = GSUC(IS_3, \text{INSTRUCTIONS})$ mit:
 $A_4 :=$



3.3.2 Markierungen für IH-Situationen

Auf der zweiten Ebene der Hypothesenbildung (auf die i.f. meist durch die Bezeichner u oder U hingewiesen wird) werden die LABEL der Programmknotten des Zielprogramms erstellt. Die wesentliche Eigenschaft einer Hypothese u über die möglichen LABEL ist die, daß analog zur Eindeutigkeitseigenschaft von Programmen die durch u und einen IH-Anfangsgraphen A definierte Tripelmenge $U\text{-GRAPH}(A,u)$ nur eindeutige Transitionen enthält.

Definition 3.13

Q sei $PSP, IS = (A,R)$ aus $IH\text{-GRAPH}(Q)$ ableitbare IH-Situation, $A = (V_A, E_A, a, c)$. u sei eine Abbildung $u : V_A \rightarrow N$;
 $IM \subseteq INSTRUCTIONS, I \in INSTRUCTIONS$.

(1) $U\text{-GRAPH}(A,u) = \{((u(K), a(K)), c(K, K'), (u(K'), a(K')))) \mid (K, K') \in E_A\}$

(2) u heißt eindeutige Markierung für A \Leftrightarrow

(2.1) $\forall (X, c, Y), (X, c; Y') \in U\text{-GRAPH}(A, u) \cdot (c=c' \Rightarrow Y = Y')$

(2.2) $\forall K \in V_A \cdot a(K) \in \{START, STOP\} \Rightarrow u(K) = 1$

(3) Die Menge der U-Knoten von A und u ist definiert durch:

(3.1) $U\text{-NODES}(A, u, I) = \{(u(K), a(K)) \mid K \in V_A, a(K) = I\}$

(3.2) $U\text{-NODES}(A, u, IM) = \{(u(K), a(K)) \mid K \in V_A, a(K) \in IM\}$

(3.3) $U\text{-NODES}(A, u) = U\text{-NODES}(A, u, INSTRUCTIONS)$

(4) Die Anzahl der U-Knoten von A und u ist analog definiert durch:

(4.1) $UL(A, u, I) = |U\text{-NODES}(A, u, I)|$

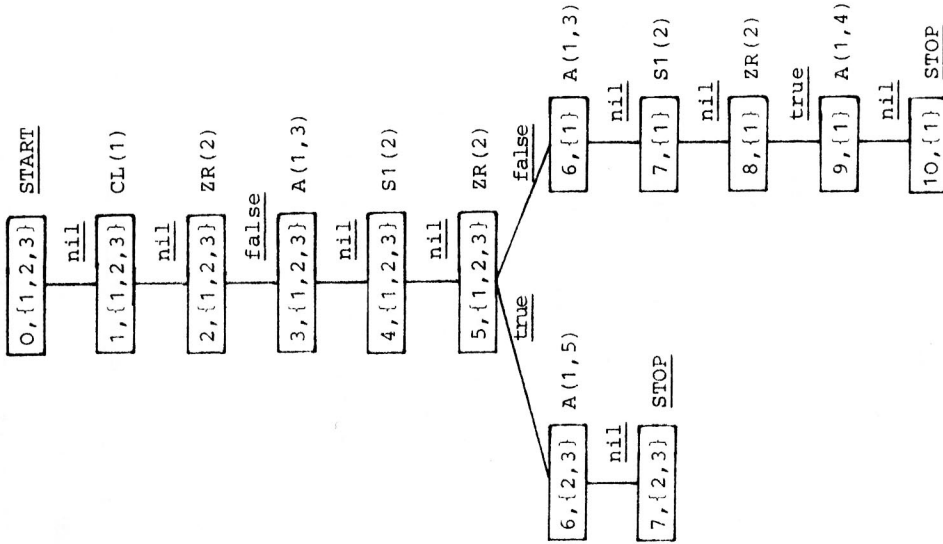
(4.2) $UL(A, u, IM) = |U\text{-NODES}(A, u, IM)|$

(4.3) $UL(A, u) = |U\text{-NODES}(A, u)|$

3. $IS_5 = (A_5, R_5) = GSUC(IS_3, IM)$ mit:

$IM := \{A(1,3), CL(1), S1(2), A(1,5), ZR(2)\}$

$A_5 :=$



R_5 ist leer, IS_5 ist terminale IH-Situation.

4. Für IS_6 (Beispiel 3.10-3) gilt:

$IS_6 = GSUC(IH\text{-INIT}(G_4), INSTRUCTIONS)$

(5) $UM = (UG, u)$ heißt eindeutiges Markierungs paar von A \Leftrightarrow

u ist eindeutige Markierung für $A \wedge UG = U\text{-GRAPH}(A, u)$

oder: $u = \lambda K. 1 \wedge UG = \emptyset$

(6) $U\text{-DUMMY} = (\emptyset, \lambda K. 1)$ heißt triviales Markierungs paar.

Beispiel 3.12

Mit den Bezeichnungen des vorigen Beispiels 3.11 gilt:

1. $u = \lambda K. 1$ ist eindeutige Markierung für A_4 .

$U\text{-GRAPH}(A_4, u) = \{((1, \underline{START}), \underline{nil}, (1, \underline{CL}(1))), ((\underline{CL}(1)), \underline{nil}, (1, \underline{ZR}(2))),$
 $((1, \underline{ZR}(2)), \underline{false}, (1, A(1, 3))), ((1, A(1, 3)), \underline{nil}, (1, S1(2))),$
 $((1, S1(2)), \underline{nil}, (1, \underline{ZR}(2))), ((1, \underline{ZR}(2)), \underline{true}, (1, A(1, 5))),$
 $((1, A(1, 5)), \underline{nil}, (1, \underline{STOP}))\}$

$UL(A_4, u) = 5$

2. $u = \lambda K. 1$ ist keine eindeutige Markierung für A_5 , da wegen der Kanten $([5, \{1, 2, 3\}], [6, \{1, 2\}])$ und $([8, \{1\}], [9, \{1\}])$

in A_5 gilt:

$((1, \underline{ZR}(2)), \underline{true}, (1, A(1, 5))) \in U\text{-GRAPH}(A_5, u)$
 $((1, \underline{ZR}(2)), \underline{true}, (1, A(1, 4))) \in U\text{-GRAPH}(A_5, u)$

Es gilt: $UL(A_5, u) = 6$

3.3.3 Beziehungen zu Standarddarstellungen und Realisierungsgraphen

Durch die Bildung des IH-Graphen G von $Q = (b, M)$ wurde es möglich, die Menge der IH-Situationen zu definieren. In der Standarddarstellung Q_{ST} sind alle durch M gegebenen Folgen eindeutig identifizierbar. Es wird gezeigt, daß dies auch für alle aus G ableitbaren terminalen IH-Situationen gilt.

Definition 3.14

Q sei $PSP, \dim(Q) = (m, (n_1, \dots, n_m))$. $IS = (A, R)$ sei aus

$G = IH\text{-GRAPH}(Q)$ ableitbare terminale IH-Situation,

$A = (V_A, E_A, a, c)$. r sei die in Definition 3.8 benützte Ab-

dildung $r : \{1, \dots, m\} \rightarrow \text{INDEX}(\text{ROOT}(G))$.

Sei $i \in \{1, \dots, m\}$.

$\text{PATH}(A, i) = (K_0, \dots, K_{n_i})$ heißt i-Pfad in A \Leftrightarrow

(i) $K_0 = \text{ROOT}(G)$

(ii) $\forall j \in \{1, \dots, n_i\}. K_j \in V_A \wedge r(i) \in \text{INDEX}(K_j) \wedge (K_{j-1}, K_j) \in E_A$

(iii) $\forall K \in V_A. (K, K) \notin E_A$

Beispiel 3.13

In A_5 aus Beispiel 3.11 gilt:

$\text{PATH}(A_5, 2) = ([0, \{1, 2, 3\}], [1, \{1, 2, 3\}], [2, \{1, 2, 3\}], [3, \{1, 2, 3\}],$
 $[4, \{1, 2, 3\}], [5, \{1, 2, 3\}], [6, \{2, 3\}], [7, \{2, 3\}])$

Da Indizes 1 und 4 redundant sind (Beispiel 3.7-1), gilt außerdem z.B. $\text{PATH}(A_5, 4) = \text{PATH}(A_5, 1)$.

Der i-Pfad in einer terminalen IH-Situation $IS = (A, R)$ ist eindeutig bestimmt. Der folgende Satz drückt aus, daß er unter den durch A aufgestellten I-Hypothesen (für jede terminale IH-Situation) gerade die i-te Beispielfolge des $PSP Q$ 'erklärt' und darüberhinaus die zugehörigen b'-Transitionen der Standarddarstellung von Q entsprechend korrekt wiedergibt.

Satz 3.8

Q sei $PSP, dim(Q) = (m, (n_1, \dots, n_m))$. IS = (A, R) sei aus G = IH-GRAPH(Q) ableitbare terminale IH-Situation, A = (V_A, E_A, a, c) . $Q_{ST} = (b, S, MI, MT)$ sei das standardisierte PSP von Q mit den Bezeichnungen von Definition 3.3. Sei $i \in \{1, \dots, m\}$, $PATH(A, i) = (K_{i,0}, \dots, K_{i,n_i})$.

Behauptung:

- (1) $n_i' = n_i$
- (2) $(a(K_{i,0}) = \underline{START}) \wedge (a(K_{i,n_i}) = \underline{STOP})$
 $(\forall j \in \{0, \dots, n_i\}). a(K_{i,j}) \in MI_{i,j}$

(3) Für $j \in \{1, \dots, n_i\}$ sei:

- (j = 1) $s_{i,1} = st_i$
- (j > 1) $s_{i,j} = \delta(a(K_{i,j-1}), s_{i,j-1})$

dann gilt:

- (4) $\forall j \in \{1, \dots, n_i\}. s_{i,j} = s_{i,j}$
 $\forall j \in \{0, \dots, n_i-1\}. (K_{i,j}, K_{i,j+1}) \in E_A \wedge$
 $c(K_{i,j}, K_{i,j+1}) = MT_{i,j}^{a(K_{i,j})}$
- (5) $b \in \{\underline{s}, \underline{ss}\} \Rightarrow c(K_{i,0}, K_{i,1}) = \underline{nil} \wedge$
 $\forall j \in \{1, \dots, n_i-1\}. c(K_{i,j}, K_{i,j+1}) = \gamma(a(K_{i,j}), s_{i,j})$
- (6) $b \in \{\underline{a}, \underline{as}\} \Rightarrow \forall j \in \{0, \dots, n_i-1\}. c(K_{i,j}, K_{i,j+1}) = \bar{\gamma}(s_{i,j+1}, \underline{true})$

Beweis: folgt mit Hilfe der Definitionen 3.3 (standardisiertes

PSP), 3.8 (IH-GRAPH), 3.11 (IH-Situation) und 3.14 (PATH).

Für die Stufengraphdarstellung eines PSP Q war gezeigt worden, daß sie alle derartigen Darstellungen von Realisierungen von Q 'umfaßt' (Satz 3.4). Hier wird nun diese Beziehung zwischen Instruktionshypothesen- und Realisierungsgraph präzisiert. Jede Realisierung von Q definiert auf eindeutige Weise eine aus G ableitbare terminale IH-Situation IS = (A, R) und darüber hinaus eine eindeutige Markierung für A.

Satz 3.9

Q = (b, M) sei PSP; P ∈ PROGRAMS realisiere Q,
 G = IH-GRAPH(Q), R-GRAPH(P, Q) = (V, E, a, c, u), A = (V, E, a, c).

Behauptung:

- (1) (A, (∅, ..., ∅)) ist aus G ableitbare terminale IH-Situation
- (2) u ist eindeutige Markierung für A
- (3) $UL(A, u) = L_P(P)$

Beweis:

- (1) folgt aus Satz 3.4 und Def. 3.8 und 3.10
- (2) folgt mit Hilfe der Eindeutigkeit von P und den Sätzen 3.1 und 3.2
- (3) Definition von L_P (Abschnitt 2.2) und Def. 3.4 und 3.13.

Beispiel 3.14

Das Beispielprogramm P (Beispiel 2.2) realisiert Q_3 (Beispiel 2.3-3). Entfernt man in der Graphendarstellung in Beispiel 3.4.-2 in allen Knoten den redundanten Index 4, so erhält man den Realisierungsgraphen von P und Q_3 . Dieser definiert ge-

rade die terminale IH-Situation $IS_5 = (A_5, R_5)$ aus Beispiel 3.11-3. Für einen Knoten K gebe $u(K)$ gerade das LABEL wieder, das im R-Graphen angegeben ist; dann gilt:

- (i) u ist eindeutige Markierung für A_5
- (ii) $U\text{-GRAPH}(A_5, u) = P$

Als "Umkehrung" zu Satz 3.9 wird später gezeigt werden, daß für jedes terminale $IS' = (A', R')$ mit eindeutiger Markierung u' ein Programm P' existiert, das Q realisiert, sowohl die durch A' aufgestellten I-Hypothesen als auch die durch u' gegebenen Hypothesen bzgl. der LABEL der Programmknoten benutzt und für das $L_b(P') = UL(A', u')$ gilt.

Damit ist die Programmsynthese auf folgende Problemstellung reduziert worden: suche eine terminale IH-Situation $IS = (A, R)$ mit zugehöriger eindeutiger Markierung u , sodaß $UL(A, u)$ minimal ist.

Kapitel 4 IN PA VERWANDTE STRATEGIEN UND METHODEN

4.1 Überblick über den PSA PA

4.1.1 Der Suchraum von PA

Der Suchraum von PA wird durch den Instruktionshypothesengraph G eines PSPQ bestimmt. Bezeichne $SR(L)$ alle Paare (IS, u) , wobei $IS = (A, R)$ eine aus G ableitbare terminale IH-Situation, u eine eindeutige Markierung für A und $UL(A, u) = L$ ist. Die am Ende des vorigen Kapitels formulierte Problemstellung läßt sich damit ausdrücken durch: finde ein $L_z \in \mathbb{N}$, sodaß $SR(1), SR(2), \dots, SR(L_z - 1)$ leer sind, und ein Paar (IS, u) aus $SR(L_z)$.

4.1.2 Vorgehensweise von PA

Zu einem gegebenen PSPQ wird der entsprechende IH-Graph G gebildet und nach dem in Satz 3.5 angegebenen Kriterium die Realisierbarkeit von Q überprüft. Ist $G = \epsilon$, so ist Q nicht realisierbar und der Algorithmus bricht an dieser Stelle ab.

Sei also $G \neq \epsilon$. Zunächst wird eine untere Grenze L_{MIN} bestimmt, für die $SR(L_{MIN} - 1) = \emptyset$ gilt. Offensichtlich folgt aus $SR(L) = \emptyset$ auch $SR(L - 1) = \emptyset$; ist L_{MIN} bestimmt, so sind $SR(1), SR(2), \dots, SR(L_{MIN} - 1)$ für die Programmsynthese folglich nicht mehr relevant, da diese Suchräume alle leer sind. Der Suchraumindex L wird mit L_{MIN} initialisiert.

Ausgehend von der initialen IH-Situation IS_1 von G werden immer weitere Instruktionshypothesen aufgestellt, wobei die Front der sich ergebenden Nachfolgersituationen IS_2, IS_3, \dots immer weiter hin zu den Endknoten von G (i.f. bezeichnet als "nach rechts") verschoben wird. Für jede der $IS_i = (A_i, R_i)$ wird dabei überprüft, ob es überhaupt einen terminalen Nachfolger $IS'_i = (A'_i, R'_i)$ geben kann, sodaß für irgendein $u \in (IS'_i, u)$ in $SR(L)$ ist. Sobald feststeht, daß dies nicht der Fall ist, wird an der aktuellen Front eine andere I-Hypothese aufgestellt und das Verfahren fortgesetzt. Gibt es an einer Front keine alternative I-Hypothese mehr, so erfolgt eine Zurücksetzung der aktuellen Front zur vorherigen (die Front wird "nach links" verschoben). Ist dies nicht mehr möglich, da bereits die am weitesten links stehende Front erreicht ist, so ist bei aktuellem Suchraumindex L $SR(L)$ leer und L wird um 1 inkrementiert. Der Algorithmus bricht ab, sobald die aktuelle Front die Endknoten von G erreicht hat und eine Markierung u gefunden worden ist, sodaß $UL(A, u) = L$ ist. Für den Fall $bc\{a, as\}$ müssen allerdings die Transitionen, die aus Mengen von Tests bestehen, noch umgesetzt werden in Programmtransitionen; für $bc\{s, ss\}$ erübrigt sich dieser Schritt. Das erhaltene Programm P realisiert Q und ist diesbezüglich minimal.

4.2 LB-Situationen

In 4.2.1 werden LB-Situationen definiert, in 4.2.2 ein Satz angegeben, der ein Verfahren zu ihrer Berechnung liefert, und in 4.2.3 wird gezeigt, inwiefern LB-Situationen ein monotones Maß für IH-Situationen sind.

4.2.1 Definition von LB-Situationen

Ein entscheidender Punkt der in 4.1.2 beschriebenen Vorgehensweise ist der, ob es für eine IH-Situation $IS = (A, R)$ einen terminalen Nachfolger $IS' = (A', R')$ und dafür eine LABEL-Hypothese u gibt, sodaß $UL(A', u) = L$.

Ist IS selbst schon terminal, so hängt dieses Problem nur von den möglichen LABEL-Markierungen u für A ab. Die Zahl der zu überprüfenden LABEL-Hypothesen kann erheblich reduziert werden, wenn für Knoten K und K' aus A von vorneherein festgestellt werden kann, ob sie gleiche LABEL haben können oder nicht. Daraus ließe sich auch eine Mindestanzahl der benötigten Knoten errechnen.

Ist IS nicht terminal, so hängt die Frage nach möglicher gleicher LABEL-Markierung von K und K' wesentlich von den bereits aufgestellten und den noch anzunehmenden I-Hypothesen ab. Ausserdem ergibt sich die folgende Schwierigkeit: während bei $bc\{s, a, as\}$ die Vereinigung der Knotenmengen V_A und V_R von A und R immer die Knotenmenge V_G von G ergibt, ist dies bei $b = ss$ i.a. nicht der Fall (vgl. G_3 in Beispiel 3.7 und IS_4 in Beispiel 3.11).

Eine Lösung dieses Problems ergibt sich durch die Bildung des sog. IH-Baumes T von IS .

Für $bc\{a, s, as\}$ ist T nichts anderes als die Zusammenfassung von A und R zu einem einzigen Graphen gemäß den durch $FRONTE(A)$ gegebenen Kanten, ist also von der Knotenstruktur her mit G

identisch. Im Unterschied zu G sind die nicht gewählten, links von der Front von IS liegenden I-Hypothesen in T entfernt, und rechts von der Front sind nur noch die I-Hypothesenmengen vorhanden, wie sie durch R vorgegeben sind.

Für $b = \underline{ss}$ wird R überführt in R', das als eine Folge von Bäumen (T_1, \dots, T_r) angesehen werden kann, die jeweils den von $(K_1, \dots, K_r) = \text{FRONT}(A)$ erreichbaren Knoten in R entsprechen. Für die Frontknoten K_1, \dots, K_r sind $\text{INDEX}(K_i)$ und $\text{INDEX}(K_j)$ für $i \neq j$ paarweise disjunkt und damit auch die von K_i bzw. K_j erreichbaren Knotenmengen.

Für jeden der nicht mit $\{\text{STOP}\}$ markierten Knoten K aus R bilden die Indexmengen der direkten Nachfolger K' von K, die mit jeweils gleicher Kantenmarkierung $g(K, K')$ erreichbar sind, eine Zerlegung von $\text{INDEX}(K)$. Seien Z_1, \dots, Z_s die verschiedenen Zerlegungen von $\text{INDEX}(K)$, dann sind die Nachfolger von K in der transformierten Form R' von R definiert durch diejenige Zerlegung Z von $\text{INDEX}(K)$, die Verfeinerung aller Z_i ist und darüberhinaus die grösste Zerlegung, die diese Bedingung erfüllt, wobei sich dieser Prozeß von der Stufe mit kleinstem Index bis hin zur höchsten Stufe fortsetzt. Für einen Knoten K = $[j, \{i_1, \dots, i_t\}]$ aus R' gilt also in der Terminologie von 3.2.1.: unter allen mit A beginnenden I-Hypothesen werden die Elemente $MI_{i_1, j}, \dots, MI_{i_t, j}$ zusammengefaßt, d.h. in allen Q realisierenden Programmen P, die die durch A bereits vorgegebenen I-Hypothesen benutzen, werden (wie den Indizes $(i_1, j), \dots, (i_t, j)$) entsprechenden Speicherbelegungsübergänge durch einen einzigen Programmknoten erzeugt. Der IH-Baum von IS ent-

steht nun dadurch, daß man die Bäume T_1, \dots, T_r , deren Wurzeln ja gerade die Frontknoten sind, an die Endknoten von A 'anhängt' und die Markierungsfunktionen entsprechend G vereinheitlicht.

Definition 4.1

Q = (b, M) sei realisierbares PSP, IS = (A, R) sei aus IH-GRAPH(C) mit $\text{IHM} \subseteq \text{INSTRUCTIONS}$ ableitbare IH-Situation, $A = (V_A, E_A, a, c)$ $R = (V_R, E_R, f_R, g_R, t_R)$.

(1) (V_R, E_R, f_R, t_R) heißt transformierter (vereinfachter) Restgraph von IS \Leftrightarrow

(i) $b \in \{\underline{a}, \underline{s}, \underline{as}\} \Rightarrow (V_R, E_R, f_R, t_R) = (V_R, E_R, f_R, t_R)$

(ii) $b = \underline{ss} \Rightarrow$

sei: (a) $\text{minl} = \min\{\text{LEVEL}(K) \mid K \in V_R\}$

(b) $\text{maxl} = \max\{\text{LEVEL}(K) \mid K \in V_R\}$

(c) für $l \in \{\text{minl}, \text{minl}+1, \dots, \text{maxl}\}$ sei:

(c1) $V_l = \{K \mid K \in V_R, \text{LEVEL}(K) = l\}$

(c2) $\text{IND}_l = \bigcup_{K \in V_l} \text{INDEX}(K)$

(c3) $\{\text{IND}_1^1, \dots, \text{IND}_l^1\}$ die durch Ξ_l :

$i \Xi_l j \Leftrightarrow (\forall K \in V_l, i \in \text{INDEX}(K) \Leftrightarrow j \in \text{INDEX}(K))$

induzierte Zerlegung von IND_l

(c4) $V_l^i = \{[1, \text{IND}_l^1] \mid i \in \{1, \dots, r_l\}\}$

dann gilt:

(ii.1) $V_R^i = V_{\text{minl}}^i \cup \dots \cup V_{\text{maxl}}^i$

(ii.2) $E_R^i = \{(K, K') \mid K, K' \in V_R, \text{LEVEL}(K') = \text{LEVEL}(K) + 1,$

$\text{INDEX}(K') \cap \text{INDEX}(K) \neq \emptyset\}$

(ii.3) $f'_R : V'_R \rightarrow \text{POT}(\text{IHM})$

$f'_R = \lambda K. \bigcup_{K' \in V'_R} f'_R(K')$
 $\text{LEVEL}(K)$

$\text{INDEX}(K) \cap \text{INDEX}(K') \neq \emptyset$

(ii.4) $t'_R : E'_R \rightarrow \text{TRANS}_b$

$t'_R = \lambda (K, K'). \bigcup_{(K_1, K_2) \in E_R} t_R(K_1, K_2)$
 $\text{INDEX}(K') \cap \text{INDEX}(K_2) \neq \emptyset$

(2) Sei (V'_R, E'_R, f'_R, t'_R) der vereinfachte Restgraph von IS.

$T = (V_T, E_T, f_T, t_T)$ heißt IH-Baum von IS \Leftrightarrow

(i) $V_T = V_A \cup V'_R$

(ii) $E_T = E_A \cup \text{FRONTE}(A) \cup E'_R$

(iii) $f_T : V_T \rightarrow \text{POT}(\text{IHM})$

$f_T = \lambda K. K \in V_A \rightarrow \{a(K)\}$

$K \in V'_R \rightarrow f'_R(K)$

(iv) $t_T : E_T \rightarrow \text{TRANS}_b$

$t_T = \lambda (K, K'). K \in V_A \rightarrow (b=ss \rightarrow \{(a(K), c(K, K'))\},$

$b \in \{s, a, as\} \rightarrow c(K, K'))$

$K \in V'_R \rightarrow t'_R(K, K')$

(3) Für eine IH-Situation IS bezeichnet IH-TREE (IS) den

durch (1) und (2) eindeutig bestimmten IH-Baum von IS.

(4) Sei $T = \text{IH-TREE}(\text{IS}), K \in V_T, i \in \text{INDEX}(K)$.

$NF_T(K, i)$ heißt Nachfolger von K in T bezgl. Index i und

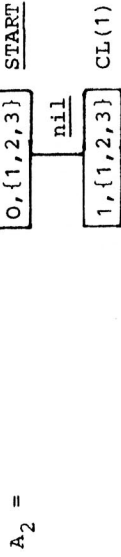
bezeichnet den eindeutig (falls K' überhaupt existiert)

bestimmten Knoten $K' \in V_T$ mit:

$(K, K') \in E_T \wedge i \in \text{INDEX}(K')$

Beispiel 4.1

1. Sei $\text{IS}_2 = (A_2, R_2)$ die in Beispiel 3.10-2 angegebene IH-Situation mit:



Mit den Bezeichnungen von Def. 4.1 gilt dann:

$\text{minl} = 2$

$\text{maxl} = 10$

für $l = 2$: $\text{IND}_l = \{1, 2, 3\}$

$V'_l = \{\emptyset, \{1, 2, 3\}\}$

für $l = 3, 4, 5$: $\text{IND}_l = \{1, 2, 3\}$

$V'_l = \{\emptyset, \{1, 2, 3\}\}$

für $l = 6, 7$: $\text{IND}_l = \{1, 2, 3\}$

$V'_l = \{\emptyset, \{1\}, \{1, 2\}, \{1, 3\}\}$

für $l = 8, 9, 10$: $\text{IND}_l = \{1\}$

$V'_l = \{\emptyset, \{1\}\}$

Im anschließend wiedergegebenen IH-TREE (IS₂) gelten folgende Vereinbarungen:

$A := \{\text{CL}(1), A(i, 1) \text{ZR}(i)\}$

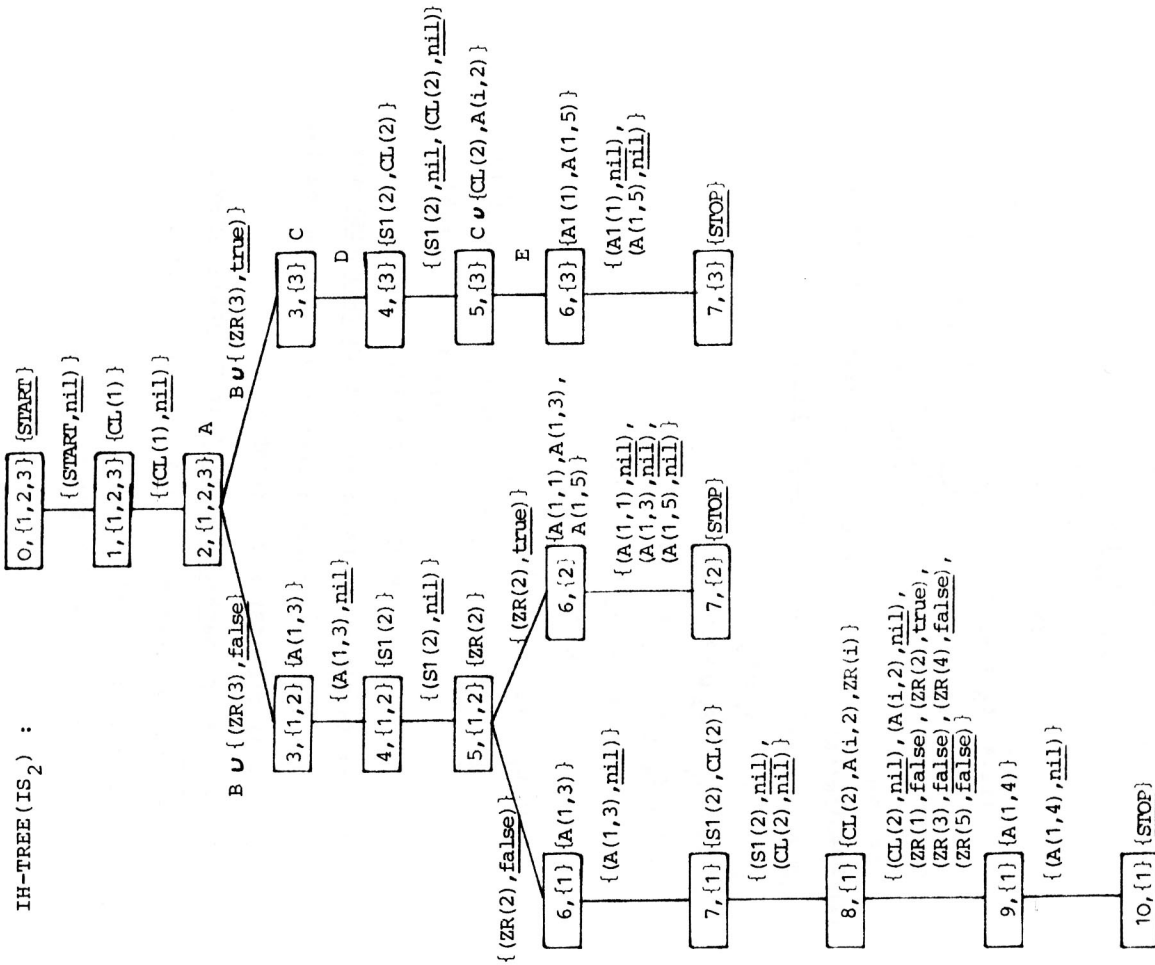
$B := \{\text{CL}(1), \underline{\text{nil}}, (A(i, 1), \underline{\text{nil}}), (\text{ZR}(1), \underline{\text{true}}), (\text{ZR}(2), \underline{\text{false}}), (\text{ZR}(4), \underline{\text{false}}), (\text{ZR}(5), \underline{\text{false}})\}$

$C := \{\text{CL}(1), \text{CL}(3), A(i, 1), A(i, 3), \text{ZR}(i)\}$

$D := \{\text{CL}(1), \underline{\text{nil}}, (\text{CL}(3), \underline{\text{nil}}), (A(i, 1), \underline{\text{nil}}), (A(i, 3), \underline{\text{nil}}), (\text{ZR}(1), \underline{\text{true}}), (\text{ZR}(2), \underline{\text{false}}), (\text{ZR}(3), \underline{\text{true}}), (\text{ZR}(4), \underline{\text{false}}), (\text{ZR}(5), \underline{\text{false}})\}$

$E := (D \setminus \{(\text{ZR}(2), \underline{\text{false}})\}) \cup \{(\text{CL}(2), \underline{\text{nil}}), (A(i, 2), \underline{\text{nil}}), (\text{ZR}(2), \underline{\text{true}})\}$

IH-TREE (IS₂) :



2. Für die in Beispiel 3.10-3 angegebene IH-Situation IS₆

gilt: IH-TREE (IS₆) ist gleich dem IH-Graphen von Q₄ (Beispiel 3.3-4).

In einem IH-Baum T heißen zwei Knoten K, K' unterscheidbar, wenn es kein Q realisierendes Programm P gibt, das die K und K' entsprechenden Speicherbelegungsübergänge durch denselben Programmknoten erzeugt. Das ist sicherlich dann der Fall, wenn es keine gemeinsame I-Hypothese für K und K' gibt, aber auch dann, wenn alle gemeinsamen I-Hypothesen bei gleicher LABEL-Hypothese zum Widerspruch führen; dies wird in der folgenden Definition präzisiert.

Definition 4.2

Q sei PSP, IS = (A, R) aus IH-GRAPH(Q) ableitbare IH-Situation, T = IH-TREE (IS), T = (V, E, f, t), V' = V \ {K | K ∈ V, f(K) ∈ {START, STOP}}.

(1) Sei K₁, K₂ ∈ V', n ≥ 1.

(i) $K_1 \neq_0 K_2 \iff f(K_1) \cap f(K_2) = \emptyset$

$K_1 \neq_n K_2 \iff \forall I \in f(K_1) \cap f(K_2)$

$\exists i_1 \in \text{INDEX}(K_1), i_2 \in \text{INDEX}(K_2)$

$(t^I(K_1, \text{NF}_T(K_1, i_1))) = t^I(K_2, \text{NF}_T(K_2, i_2))$

$\wedge (\text{NF}_T(K_1, i_1) \neq_{n-1} \text{NF}_T(K_1, i_1))$

(ii) $K_1 \neq K_2 \iff \exists n \geq 0. K_1 \neq_n K_2$

(iii) $K_1 \neq_n K_2 \iff K_1 \neq K_2 \wedge f(K_1) \cap f(K_2) \neq \emptyset$

Gilt $K_1 \neq_n K_2$, so heißen K_1 und K_2 n-unterscheidbar

Gilt $K_1 \neq K_2$, so heißen K_1 und K_2 unterscheidbar.

$\text{NF}_T([2, \{1, 2, 3\}], 2) = [3, \{1, 2\}]$

$\text{NF}_T([2, \{1, 2, 3\}], 3) = [3, \{5\}]$

(2) Falls notwendig, werden die in (1) eingeführten Relationen $\#$, $\#_n$ usw. zusätzlich mit dem Index T versehen, wodurch der Bezug zum entsprechenden IH-Baum eindeutig gemacht wird.

Beispiel 4.2

In IH-TREE(IS₂) (Beispiel 4.1-1) gelten:

- [9, {1}] $\#_0$ [6, {2}]
- ∇ ([8, {1}] $\#_0$ [5, {1,2}])
- [8, {1}] $\#_1$ [5, {1,2}]
- ∇ ([7, {1}] $\#_0$ [4, {1,2}])
- ∇ ([7, {1}] $\#_1$ [4, {1,2}])
- [7, {1}] $\#_2$ [4, {1,2}]
- ∇ ([6, {1}] $\#_2$ [3, {1,2}])
- [6, {1}] $\#_3$ [3, {1,2}]

Der folgende Satz liefert die Grundlage für die Berechnung der in einem IH-Baum T geltenden Unterscheidbarkeitsrelationen.

Satz 4.1

Mit den Bezeichnungen von Def. 4.2 gelten, wobei

$\dim[0] = (m, (n_1, \dots, n_m))$ sei:

- (1) $\forall K, K' \in V'$.
- [K $\#$ K' $\Rightarrow \exists n < \max(n_1, \dots, n_m) - 1$. K $\#_n$ K']
- (2) $\forall n \in \mathbb{N}$. $\forall K, K' \in V'$.
- [K $\#_n$ K' $\Rightarrow \forall n' > n$. K $\#_{n'}$ K']

(3) $\forall n \in \mathbb{N}$.

$$[(\forall K, K' \in V'. K \#_n K' \Leftrightarrow K \#_{n+1} K') \Leftrightarrow (\forall K, K' \in V'. K \# K' \Leftrightarrow K \#_n K')]$$

Beweis:

Es ist zu beachten, daß $\max(n_1, \dots, n_m) = \max\{\text{LEVEL}(K) \mid K \in V\}$ ist. Die Aussagen (1)-(3) werden leicht durch vollständige Induktion bewiesen.

Nach Aussage (1) des Satzes 4.1 sind unterscheidbare Knoten zumindest (n-2)-unterscheidbar, wenn n die maximale Länge der zugrunde liegenden Beispielfolgen in Q ist. Nach (2) und (3) kann $\#$ durch Bestimmung von $\#_0, \#_1, \#_2$ usw. berechnet werden, bis sich zum ersten Mal $\#_n$ äquivalent $\#_{n+1}$ ergibt. Dieses Verfahren bricht somit nach (1) immer ab; in der Praxis aber oft viel früher als erst bei der hier angegebenen oberen Grenze: In Beispiel 4.2 gilt z.B. $\#_3$ äquivalent $\#$, während $\max(n_1, \dots, n_4) = 10$ ist.

Bevor alle für die Programmsynthese relevanten Informationen über die in einem IH-Baum T geltenden Unterscheidbarkeitsrelationen in einer LB-Situation zusammengefaßt werden können, sind noch die in Def. 4.3 eingeführten Hilfsdefinitionen notwendig. Die Motivation für ihre Bezeichnungen läßt sich aus dem folgenden ableiten. Sind in T zwei Knoten K und K' unterscheidbar, so können K und K' nicht demselben Programmknoten entsprechen; andererseits wird aber jedem Knoten von T ein Programmknoten zugeordnet. Sind also z.B. n Knoten von T paarweise verschieden, so hat jedes Q realisierende Programm P,

das die in T aufgestellten I-Hypothesen benutzt, mindestens n Programmknoten. Formal werden diese Überlegungen in den Sätzen des Abschnitts 4.3 bewiesen.

Definition 4.3

Sei Q, IS, T, V', ≠ wie in Def. 4.2,

I ∈ INSTRUCTIONS; M, M₁, M₂ ∈ INSTRUCTIONS und es gelte max(∅) = 0.

$$(1) \text{LB}_T(I) = \max\{r \mid \exists K_1, \dots, K_r \in V_T(I). \forall s \in \{1, \dots, r-1\}. \\ (\forall t \in \{s+1, \dots, r\}. K_s \neq K_t) \mid$$

heißt Mindestanzahl der I-Knoten von Q bzgl. IS

<=>

$$V_T(I) = \{K \mid K \in V'. f(K) = \{I\}\}$$

$$(2) \text{LB}_T(M) = \max\{r \mid \exists K_1, \dots, K_r \in V_T(M). \forall s \in \{1, \dots, r-1\}.$$

$$(\forall t \in \{s+1, \dots, r\}. K_s \neq K_t)$$

heißt Mindestanzahl der I-aus-M-Knoten von Q bzgl. IS

<=>

$$V_T(M) = \{K \mid K \in V'. f(K) \cap M \neq \emptyset\}$$

$$(3) \text{LB}_T(M_1, M_2) = \max\{r \mid \exists K_1, \dots, K_r \in V_T(M_1, M_2). \forall s \in \{1, \dots, r-1\}$$

$$(\forall t \in \{s+1, \dots, r\}. K_s \neq K_t)$$

heißt Mindestanzahl der von allen I-aus-M₂ verschiedenen

I-aus-M₁-Knoten von Q bzgl. IS

<=>

$$V_T(M_1, M_2) = \{K \mid K \in V'. f(K) \cap M_1 \neq \emptyset \wedge f(K) \cap M_2 = \emptyset\}$$

Beispiel 4.3

Sei T = IH-TREE(IS₂) (Beispiel 4.1-1).

I	V _T (I)	LB _T (I)
S1(2)	{[4, {1, 2}]}	1
CL(1)	{[1, {1, 2, 3}]}	1
A(1, 3)	{[3, {1, 2}], [6, {1}]}	2 (da [3, {1, 2}] ≠ ₃ [6, {1}])
A(1, 4)	{[9, {1}]}	1
ZR(2)	{[5, {1, 2}]}	1
sonstiges I	∅	0

$$\text{LB}_T(\text{INSTRUCTIONS}) = 9$$

da die folgenden Knoten paarweise unterscheidbar sind:

$$[1, \{1, 2, 3\}], [2, \{1, 2, 3\}], [3, \{1, 2\}], [4, \{1, 2\}], [5, \{1, 2\}], [6, \{1\}], [7, \{1\}], [9, \{1\}], [6, \{2\}]$$

$$\text{Sei IM} = \{S1(2), CL(1), A(1, 3), A(1, 4), ZR(2)\}.$$

$$V_T(\text{INSTRUCTIONS}, \text{IM}) = \{[6, \{3\}]\}$$

$$\text{LB}_T(\text{INSTRUCTIONS}, \text{IM}) = 1$$

Eine LB-Situation von IS ist ein 6-Tupel, das i.w. verschiedene untere Grenzen für die Instruktions- und LABEL-Hypothesen von IS angibt. Mit den Bezeichnungen der folgenden Definition gilt: Jedes aus einem terminalen Nachfolger IS' von IS hervorgehende Programm P, das Q realisiert, erfüllt die folgenden Bedingungen:

1. P hat mindestens die Länge Lmin.
2. Für den Restgraph R werden in P noch mindestens Lbr Programmknoten benötigt, die für den Anfangsgraph A

nicht benötigt werden und mit Instruktionen nicht aus IM markiert sind.

- 4. Alle K' aus $d(K)$ haben von K verschiedene LABEL.
- 5. P enthält für jedes I aus IM mindestens einen I -Knoten.
- 6. Es gibt in P mindestens l verschiedene Programmknotten mit Instruktionsmarkierung aus IM .

7. Falls die Länge $L_b(P)$ kleiner oder gleich L ist, so sind alle in P auftretenden Instruktionen in $IH-SET(LBS, L)$ enthalten.

Alle diese Aussagen werden ebenfalls in Abschnitt 4.3 bewiesen.

Definition 4.4

\emptyset sei $PSP, G = IH-GRAPH(Q), IS = (A, R)$ sei eine aus G ableitbare IH -Situation, $A = (V_A, E_A, a, c)$.

(1) LB-SIT(G, IS) = LBS heißt LB-Situation von IS \Leftrightarrow

(i) IS hat keine terminale Nachfolgesituation \Rightarrow

$LBS = \epsilon$

(ii) IS hat eine terminale Nachfolgesituation \Rightarrow

sei $T = IH-TREE(IS), T = (V_T, E_T, f_T, t_T)$,

dann gilt:

$LBS = (L_{min}, L_{br}, L_b, d, IM, l)$ mit:

(ii.1) $L_{min} = LB_T(INSTRUCTIONS)$

(ii.2) $L_{br} = LB_T(INSTRUCTIONS, IM)$

(ii.3) $L_b : INSTRUCTIONS \rightarrow \mathbb{N}$

$L_b = \lambda I. LB_T(I)$

(ii.4) $d : V_A \rightarrow POT(V_A)$

$d = \lambda K. \{K' \mid K' \in V_A, K \neq_T K'\}$

(ii.5) $IM = \{I \mid I \in INSTRUCTIONS, \exists K \in V_T. f_T(K) = \{I\}\}$

(ii.6) $l = \sum_{I \in IM} L_b(I)$

(2) Sei LBS wie in (1).(ii), $L \in \mathbb{N}$.

$IH-SET(LBS, L) = IHM$ heißt relevante IH -Menge bzgl.

LBS und L \Leftrightarrow

$$IHM = \begin{cases} IM & \Leftrightarrow l \geq L \\ INSTRUCTIONS & \Leftrightarrow l < L \end{cases}$$

Beispiel 4.4

Mit den Werten des vorigen Beispiels ergibt sich:

$LBS = LB-SIT(G_3, IS_2) = (9, 1, L_b, d, \{S1(2), CL(1), A(1, 3), A(1, 4)\}, ZR(2), 6)$

wobei gilt:

(i) Da der Anfangsgraph von IS_2 nur die Knoten $[0, \{1, 2, 3\}]$ und $[1, \{1, 2, 3\}]$ enthält, gilt in diesem speziellen Fall

$d = \lambda K. \emptyset$

(ii) für $I \in \{S1(2), CL(1), A(1, 4), ZR(2)\} : L_b(I) = 1$

$I = A(1, 3) : L_b(I) = 2$

sonstiges $I : L_b(I) = 0$

Für diese LB -Situation und $L = 9$ ergibt sich:

$IH-SET(LBS, L) = INSTRUCTIONS$

4.2.2 Berechnung von LB -Situationen

Zur Berechnung einer LB -Situation können die benötigten Werte $LB_T(INSTRUCTIONS)$ und $LB_T(INSTRUCTIONS, IM)$ auf einfachere Summenformeln zurückgeführt werden. Hierzu werden die in T auftretenden Instruktionen derartig in Klassen zerlegt, daß sich daraus auch eine Zerlegung der Knotenmenge von T ergibt, was zu den Gleichungen des folgenden Satzes führt.

Satz 4.2

Sei T, V' wie in Def. 4.2; $IM \in INSTRUCTIONS$.

Weiterhin sei:

(a) $HM = \bigcup_{K \in V'} f(K)$

(b) R^t die transitive Hülle der auf HM wie folgt definierten

Relation R :

$$(I_1, I_2) \in R \iff \exists K \in V'. I_1 \in f(K) \wedge I_2 \in f(K)$$

(c) $\{M_1, \dots, M_I\}$ die durch die Äquivalenzrelation R^t auf der

Menge HM induzierte Zerlegung.

$\{M_1, \dots, M_I\}$ heißt Instruktionszerlegung (I-Zerlegung) von T.

Behauptung:

(1) $\{V_T(M_1), \dots, V_T(M_I)\}$ ist Zerlegung von V' .

(2) Für alle Teilmengen $\{i_1, \dots, i_s\}$ von $\{1, \dots, I\}$ gilt:

$$(2.1) \text{LB}_T(M_{i_1}) + \dots + \text{LB}_T(M_{i_s}) = \text{LB}_T(M_{i_1} \cup \dots \cup M_{i_s})$$

$$(2.2) \text{LB}_T(M_{i_1}, IM) + \dots + \text{LB}_T(M_{i_s}, IM) = \text{LB}_T(M_{i_1} \cup \dots \cup M_{i_s}, IM)$$

$$(3) \text{LB}_T(INSTRUCTIONS) = \sum_{i=1}^I \text{LB}_T(M_i)$$

$$(4) \text{LB}_T(INSTRUCTIONS, IM) = \sum_{i=1}^I \text{LB}_T(M_i, IM)$$

$$(5) \forall i \in \{1, \dots, I\}.$$

$$(5.1) V_T(M_i, IM) \subseteq V_T(M_i)$$

$$(5.2) \text{LB}_T(M_i, IM) \leq \text{LB}_T(M_i)$$

$$(6) \forall i \in \{1, \dots, I\}. M_i \cap IM = \emptyset \implies$$

$$(6.1) V_T(M_i, IM) = V_T(M_i)$$

$$(6.2) \text{LB}_T(M_i, IM) = \text{LB}_T(M_i)$$

Beweis: Die Aussagen (1)-(6) ergeben sich insbesondere mit

Hilfe der Def. 4.2 und 4.3.

Beispiel 4.5

1. Für das vorige Beispiel ergibt sich mit den Bezeichnungen von Satz 4.2:

$$HM = \{A1(1), S1(2), CL(1), CL(3), A(i,1), A(i,2), A(i,3), A(1,4), A(1,5), ZR(i)\}$$

I-Zerlegung $\{M_1, M_2\}$:

$$M_1 = HM \setminus \{A(1,4)\}$$

$$M_2 = \{A(1,4)\}$$

$$\text{LB}_T(M_1) = 8$$

$$\text{LB}_T(M_2) = 1$$

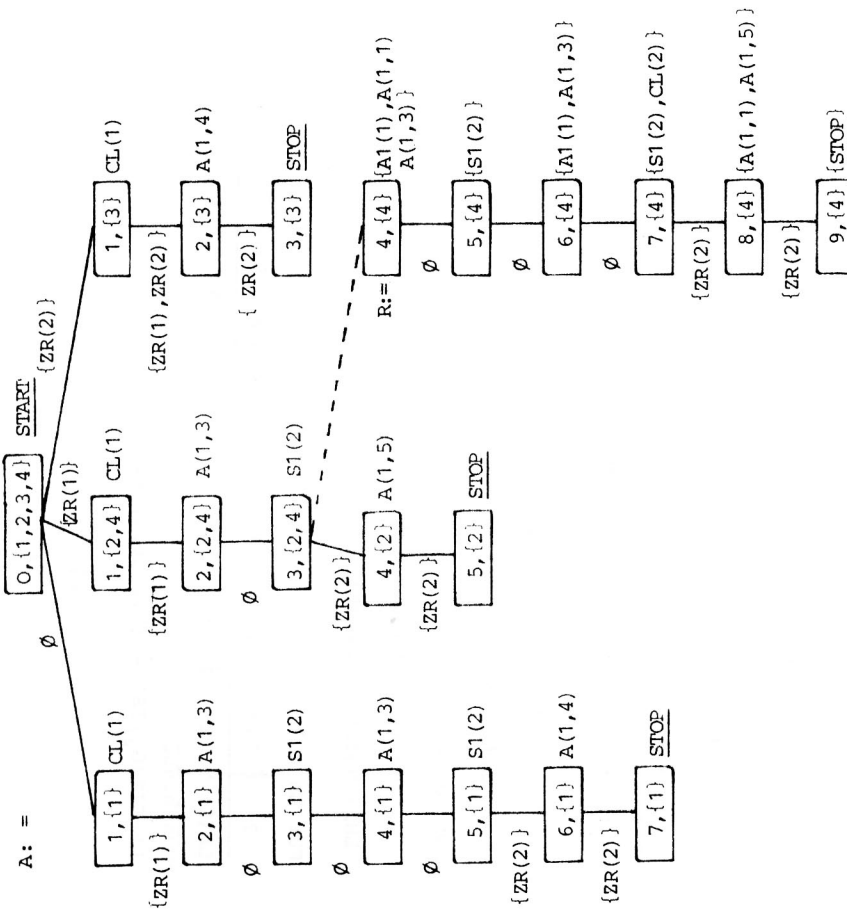
$$V_T(M_1, IM) = \{[6, \{3\}]\}, \text{LB}_T(M_1, IM) = 1$$

$$V_T(M_2, IM) = \emptyset \quad \text{LB}_T(M_2, IM) = 0$$

2. Als weiteres Beispiel sei die aus $G_4 = IH\text{-GRAPH}(Q_4)$

(Beispiel 3.3-4) ableitbare IH-Situation $IS = (A, R)$

wie folgt gegeben:



Der IH-Baum T von IS ergibt sich durch Substitution der Knotenmarkierungen a(K) durch {a(K)} und durch eine zusätzliche, mit \emptyset markierte Kante von [3, {2, 4}] nach [4, {4}].

Zur Bestimmung von LB-SIT(G_4 , IS) = (Lmin, Lbr, Lb, d, IM, l) werden zunächst die in T geltenden Unterscheidbarkeitsrelationen angegeben.

	F	{R ⁺ , R, F ⁺ , R ⁻ }	g(F)	f(K)	V ₂ ^(M₁) , V ₂ ^(M₂)	V ₁ ^(M₃) , V ₁ ^(M₄)
Knoten aus A	[1, {1}]	\emptyset	\emptyset	CL(1)	*	
	[2, {1}]	[4, {4}]	\emptyset	A(1,3)		*
	[3, {1}]	[5, {4}]	\emptyset	S1(2)		*
	[4, {1}]	[2, {2, 4}], [6, {4}]	[2, {2, 4}]	A(1,3)		*
	[5, {1}]	[3, {2, 4}], [7, {4}]	[3, {2, 4}]	S1(2)		*
	[6, {1}]	\emptyset	\emptyset	A(1,4)		*
Knoten aus F	[1, {2, 4}]	\emptyset	\emptyset	CL(1)	*	
	[2, {2, 4}]	[4, {1}]	[4, {1}]	A(1,3)		*
	[3, {2, 4}]	[5, {1}]	[5, {1}]	S1(2)		*
	[4, {2}]	\emptyset	\emptyset	A(1,5)		*
	[5, {2}]	\emptyset	\emptyset	CL(1)	*	
	[6, {2}]	[2, {1}]	[2, {1}]	A1(1), A(1,1), A(1,3)		*
	[5, {4}]	[3, {1}]	S1(2)		*	
	[4, {4}]	[4, {1}]	A1(1), A(1,3)		*	
	[7, {4}]	[7, {4}]	S1(2), CL(2)		*	
	[8, {4}]	[5, {1}]	A(1,1), A(1,5)		*	
	[9, {4}]	\emptyset			*	

Mit den Bezeichnungen des Satzes 4.2 gilt:

$$HM = \{A(1,1), S(1,2), CL(1), CL(2), A(1,1), A(1,3), A(1,4), A(1,5)\}$$

Instruktionszerlegung von T ist $\{M_1, \dots, M_4\}$ mit:

$$M_1 = \{CL(1)\}$$

$$M_2 = \{A(1,1), A(1,1), A(1,3), A(1,5)\}$$

$$M_3 = \{S(1,2), CL(2)\}$$

$$M_4 = \{A(1,4)\}$$

Die Zerlegung $\{V_T(M_1), V_T(M_2), V_T(M_3), V_T(M_4)\}$ der Knotenmenge

ist in der obigen Tabelle angegeben.

Wegen: $[4, \{1\}] \# [2, \{2,4\}]$

$$[4, \{1\}] \# [8, \{4\}]$$

$$[2, \{2,4\}] \# [8, \{4\}]$$

und: $[3, \{1\}] \# [5, \{1\}]$

gilt:

$$LB_T(INSTRUCTIONS) = \sum_{i=1}^4 LB_T(M_i) = 1 + 3 + 2 + 1 = 7 = Lmin$$

Für IM der LB-Situation gilt:

$$IM = \{S(1,2), CL(1), A(1,3), A(1,4), A(1,5)\}$$

und somit:

$$V_T(INSTRUCTIONS, IM) = \emptyset$$

$$LB_T(INSTRUCTIONS, IM) = 0 = Lbr$$

Für Lb gilt:

I	S(1,2)	CL(1)	A(1,3)	A(1,4)	A(1,5)	sonst.
Lb(I)	2	1	2	1	1	0

$$LB-SIT(G_4, IS) = (7, 0, Lb, d, IM, 7)$$

4.2.3 LB-Situationen als Maß für Instruktionshypothesen

In Def. 4.4 wurden LB-Situationen als Zusammenfassung von verschiedenen unteren Grenzen für die Instruktions- und LABEL-Hypothesen einer IH-Situation IS eingeführt. Als nächstes

ist nun die Frage zu stellen, wie sich die LB-Situationen von IS und IS' zueinander verhalten, wenn IS' terminaler Nachfolger von IS ist. Hierbei ergibt sich jedoch wieder eine

Schwierigkeit für den Fall $b = \underline{ss}$. Wenn T und T' die zu IS und IS' zugehörigen IH-Bäume sind, so sind die Knotenmengen

von T und T' für $b \in \{s, a, as\}$ jeweils identisch, während dies für $b = \underline{ss}$ i.a. nicht der Fall ist. Allerdings läßt sich auch

für $b = \underline{ss}$ für jeden Knoten K aus T ein Knoten $F(K)$ aus T' finden, der K entspricht. Die dabei benützte Abbildung F wird

als Korrespondenzabbildung zwischen T und T' bezeichnet und wird durch den nachfolgenden Satz eindeutig festgelegt. Für

$b \in \{s, a, as\}$ ist F die Identitätsabbildung.

Die für das weitere Vorgehen wichtigste Aussage des Satzes 4.3 ist unter (6) gegeben: sind in T zwei Knoten K und K' unterscheidbar, so sind auch die entsprechenden Knoten $F(K)$ und $F(K')$ in T' unterscheidbar.

Die für das weitere Vorgehen wichtigste Aussage des Satzes 4.3 ist unter (6) gegeben: sind in T zwei Knoten K und K' unterscheidbar, so sind auch die entsprechenden Knoten $F(K)$ und $F(K')$ in T' unterscheidbar.

Die für das weitere Vorgehen wichtigste Aussage des Satzes 4.3 ist unter (6) gegeben: sind in T zwei Knoten K und K' unterscheidbar, so sind auch die entsprechenden Knoten $F(K)$ und $F(K')$ in T' unterscheidbar.

Satz 4.3

Sei $Q = (b, M)$ ein PSP; IS, IS' aus IH-GRAPH(Q) ableitbare IH-Situationen. IS' sei terminaler Nachfolger von IS;

$$IS = (A, R) = ((V_A, E_A, a, c), (V_R, E_R, f, g, R, t_R)),$$

$$IS' = (A', R') = ((V'_A, E'_A, a', c'), (\emptyset, \emptyset, \emptyset, \emptyset)).$$

Sei $T = IH-TREE(IS) = (V_T, E_T, f_T, t_T)$,
 $T' = IH-TREE(IS') = (V'_T, E'_T, f'_T, t'_T)$.

Behauptung:

- (1) $\forall K \in V_T [\exists K' \in V'_T. LEVEL(K) = LEVEL(K') \wedge INDEX(K) \subseteq INDEX(K')]$
- (2) $\forall K \in V_T [\forall K', K''. LEVEL(K) = LEVEL(K') \wedge INDEX(K) \subseteq INDEX(K') \wedge LEVEL(K) = LEVEL(K'') \wedge INDEX(K) \subseteq INDEX(K'') \Rightarrow K' = K'']$

(3) Die Abbildung $F : V_T \rightarrow V'_T$ ist wohldefiniert und eindeutig festgelegt durch:

$$F = \lambda K. K' \in V'_T \wedge LEVEL(K) = LEVEL(K') \wedge INDEX(K) \subseteq INDEX(K') \rightarrow K'$$

Notation: F heißt Korrespondenzabbildung zwischen T und T' und wird bezeichnet durch $CF(T, T')$.

Eigenschaften von F :

- (4) $\forall K \in V_T. f'_T(F(K)) \in f_T(K)$
- (5) $\forall K \in V_T. f_T(K) \notin \{STOP\}$.
- (6) $\forall K_X, K_Y \in V_T. K_X \dagger_T K_Y \Rightarrow F(K_X) \dagger_{T'} F(K_Y)$

$$F(NF_T(K, i)) = NF_{T'}(F(K), i)$$

$$t'_T(K, NF_T(K, i)) = t'_T(F(K), NF_{T'}(F(K), i))$$

Beweis:

(1) + (2): Für $b \in \{s, a, as\}$ gilt $V_T = V'_T$, woraus (1) und (2) direkt folgen; sei also $b = ss$.

(i) Da $V_A \subseteq V_T, V_A \subseteq V'_A$ und $V'_A \subseteq V'_T$, gilt auch $V_A \subseteq V'_T$, woraus für $K \in V_A$ Aussage (1) direkt folgt. Da für $K \in V_A$ und $K' \in V'_T \setminus V_A$ $LEVEL(K) \neq LEVEL(K')$ oder $INDEX(K) \not\subseteq INDEX(K')$ gilt, gilt für $K \in V_A$ auch Aussage (2).

(ii) Sei $K \in V_T \setminus V_A, l = LEVEL(K)$.

Sei IND_l und $\{IND_1^1, \dots, IND_l^1\}$ wie in Def. 4.1

Sei weiterhin:

$$IND_l^1 = \bigcup_{\substack{K \in V_T \setminus V_A \\ l = LEVEL(K)}} INDEX(K)$$

$$IZ_l^1 = \{INDEX(K) \mid K \in V_T \setminus V_A, l = LEVEL(K)\}$$

Damit gilt:

$IND_l^1 = IND_l^1$ und $\{IND_1^1, \dots, IND_l^1\}$ ist eine Verfeinerung von IZ_l^1 . Somit gibt es für K

also genau ein $IK \in IZ_l^1$, sodaß $INDEX(K) \subseteq IK$, woraus Aussagen (1) und (2) für $K \in V_T \setminus V_A$ folgen.

(3) : folgt direkt aus (1) und (2)

(4) + (5) : Folgerungen aus den Spezifikationen von T, T' und F .

(6) : Sei $K_X, K_Y \in V_T$.

Für $n \geq 0$ sei $A[n]$ die Aussage:

$$A[n] : K_X \dagger_{T, n} K_Y \Rightarrow F(K_X) \dagger_{T', n} F(K_Y)$$

Für alle $n \geq 0$ wird $A[n]$ durch Induktion bewiesen, woraus (6) folgt.

- $n = 0$: (i) $K_X \dagger_{T, 0} K_Y \Rightarrow f_{T, 0}(K_X) \cap f_{T, 0}(K_Y) = \emptyset$
- (ii) $f_{T, 0}(F(K_X)) \subseteq f_{T, 0}(K_X) \wedge f_{T, 0}(F(K_Y)) \subseteq f_{T, 0}(K_Y)$
 $\Rightarrow f_{T, 0}(F(K_X)) \cap f_{T, 0}(F(K_Y)) = \emptyset$
 $\Rightarrow F(K_X) \dagger_{T', 0} F(K_Y)$

$n > 0$: Für $n > 0$ sei $A[n]$ bereits bewiesen.

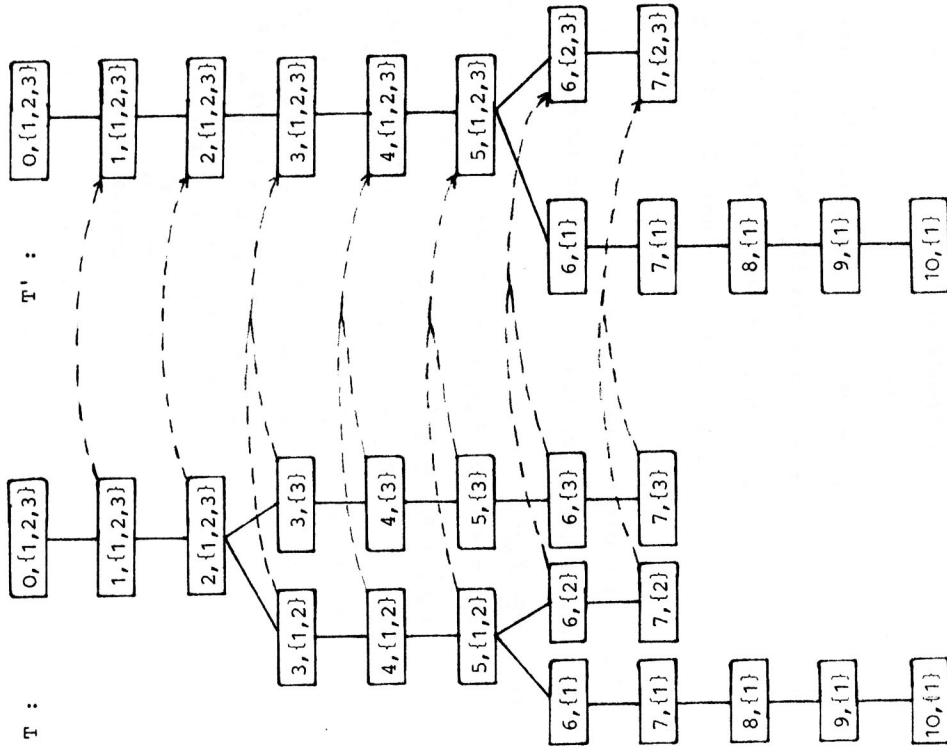
$n + 1$: Falls $f_{T, 0}(F(K_X)) \cap f_{T, 0}(F(K_Y)) = \emptyset$, gilt $F(K_X) \dagger_{T', 0} F(K_Y)$ und damit natürlich auch $F(K_X) \dagger_{T, n+1} F(K_Y)$.

Sei also $f_T^I(F(K_X)) \cap f_T^I(F(K_Y)) \neq \emptyset$. Da IS' terminal ist, gibt es also ein $I \in INSTRUCTIONS$, sodaß $\{I\} = f_T^I(F(K_X)) = f_T^I(F(K_Y))$. Wegen (4) gilt dann auch $I \in f_T(K_X) \wedge I \in f_T(K_Y)$. Da $K_X \stackrel{\#}{=} T_{n+1} K_Y$ nach Voraussetzung, gilt folgendes:

- (i) $\exists i_x \in INDEX(K_X), i_y \in INDEX(K_Y)$.
 $t^I(K_X, NF_T(K_X, i_x)) = t^I(K_Y, NF_T(K_Y, i_y))$
- $\wedge NF_T(K_X, i_x) \stackrel{\#}{=} T_{n+1} NF_T(K_Y, i_y)$
- (ii) $F(NF_T(K_X, i_x)) \stackrel{\#}{=} T_{n+1} F(NF_T(K_Y, i_y))$ [Ind.-annahme]
- (iii) $NF_T(F(K_X), i_x) \stackrel{\#}{=} T_{n+1} NF_T(F(K_Y), i_y)$ [wegen (5)]
- (iv) $t_T^I(F(K_X), NF_T(F(K_X), i_x)) = t_T^I(F(K_Y), NF_T(K_Y, i_y))$ [(5)]
 $\Rightarrow F(K_X) \stackrel{\#}{=} T_{n+1} F(K_Y)$

Beispiel 4.6

Zur Illustration des Satzes dienen die aus G_3 ableitbaren IH-Situationen IS_2 (Beispiel 3.10-2) und IS_5 (Beispiel 3.11-3). $T = IH-TREE(IS_2)$ ist in Beispiel 4.1-1 angegeben; $T' = IH-TREE(IS_5)$ ergibt sich aus der Graphenstellung für A_5 (Beispiel 3.11-3), indem man eine Knotenmarkierung $a(K)$ durch die Menge $\{a(K)\}$ und eine Kantenmarkierung $c(K, K')$ durch die Menge $\{a(K), c(K, K')\}$ ersetzt. Der Übersichtlichkeit halber werden hier beide IH-Bäume noch einmal skizziert:



Die gebrochenen Linien deuten die Abbildung

$F = CF(T, T')$ an.

Mit Hilfe der Korrespondenzabbildung F können nun die im folgenden Satz aufgeführten Relationen zwischen den LB-Situationen von IS und von einem terminalen Nachfolger IS' bewiesen werden. Diese Relationen erlauben es, die in der LB-Situation von IS gegebene Menge von unteren Grenzen als Maß für die "Aufwendigkeit" der durch IS gewählten Instruktionshypothesen zu bezeichnen. Inwiefern es sich dabei um die Aufwendigkeit der Hypothesen handelt, wurde bereits in der Erläuterung zur Def. 4.4 gesagt. Aufgrund des folgenden Satzes gilt nun (mit den jeweils notwendigen Modifikationen): jede untere Grenze für IS ist auch eine untere Grenze für jeden terminalen Nachfolger von IS .

Satz 4.4

Q sei PSP; IS, IS' aus $G = IH-GRAPH(Q)$ ableitbare IH-Situationen; IS' sei terminaler Nachfolger von $IS = (A, R)$, wobei $A = (V_A, E_A, a, c)$.
 $LB = LB-SIT(G, IS) = (Lmin, Lbr, Lb, d, IM, l)$
 $LB' = LB-SIT(G, IS') = (Lmin', Lbr', Lb', d', IM', l')$.

Behauptung:

- (1) $Lmin \subseteq Lmin'$
- (2) $\forall I \in INSTRUCTIONS. Lb(I) \subseteq Lb'(I)$
- (3) $Lbr \subseteq \sum_{I \in IM'} Lb'(I) \setminus IM$
- (4) $\forall K \in V_A. d(K) \subseteq d'(K) \cap V_A$
- (5) $IM \subseteq IM'$
- (6) $l \subseteq l'$

- (7) $Lbr' = O$
- (8) $\forall I \in INSTRUCTIONS. I \in IM' \Leftrightarrow Lb'(I) \neq O$
- (9) $Lmin' = l'$

Beweis:

Sei $T = IH-TREE(IS) = (V_T, E_T, f_T, t_T)$,
 $T' = IH-TREE(IS') = (V_{T'}, E_{T'}, f_{T'}, t_{T'})$, $F = CF(T, T')$

- (1) $Lmin = LB_T(INSTRUCTIONS)$ [Def. 4.4]
 $\Rightarrow \exists K_1, \dots, K_{Lmin} \in V_T$
 $\forall s \in \{1, \dots, Lmin-1\} (\forall t \in \{s+1, \dots, Lmin\}. K_s \neq K_t)$
 $\Rightarrow \forall s \in \{1, \dots, Lmin-1\} (\forall t \in \{s+1, \dots, Lmin\}. F(K_s) \neq F(K_t))$ [Satz 4.3 (6)]

(2) analog zu (1)

(3) $Lbr = LB_T(INSTRUCTIONS, IM)$

- $\Rightarrow \exists K_1, \dots, K_{Lbr} \cdot$
 $(\forall i \in \{1, \dots, Lbr\}. f_T(K_i) \subseteq INSTRUCTIONS$
 $f_T(K_i) \cap IM = \emptyset$
 $\wedge \forall s \in \{1, \dots, Lbr-1\} (\forall t \in \{s+1, \dots, Lbr\}. K_s \neq K_t))$
 $\Rightarrow \forall i \in \{1, \dots, Lbr\} (f_T'(F(K_i)) \subseteq f_T(K_i)$ [Satz 4.3 (4)]
 $\wedge f_T'(F(K_i)) \subseteq IM'$ [Def. 4.4]
 $\wedge f_T'(F(K_i)) \cap IM = \emptyset$
 $\wedge f_T'(F(K_i)) \subseteq IM' \setminus IM$
 $\wedge |f_T'(F(K_i))| = 1)$ [IS' terminal]
 $\wedge \forall s \in \{1, \dots, Lbr-1\} (\forall t \in \{s+1, \dots, Lbr\}. F(K_s) \neq F(K_t))$
 $\Rightarrow Lbr \subseteq \sum_{I \in IM' \setminus IM} Lb'(I)$ [Satz 4.3 (6)]

- (4) folgt direkt aus $V_A \in V_T$ und Satz 4.3 (6)
- (5) gilt wegen Def. 3.12 (1)
- (6) Folgerung aus (2) und (5)
- (7) - (9) folgen direkt aus Def. 4.4, da IS' terminal.

Beispiel 4.7

Für IS_2 und IS_5 aus den vorigen Beispielen gilt:

$LB = LB-SIT(C_3, IS_2) = (9, 1, Lb, d, IM, 6)$ [Beispiel 4.4]

$LB' = LB-SIT(C_3, IS_5) = (9, 0, Lb', d', IM', 9)$

I	Lb(I)	Lb'(I)
S1(2)	1	2
CL(1)	1	1
A(1,3)	2	2
A(1,4)	1	1
A(1,5)	0	1
ZR(2)	1	2
sonst. I	0	0

$IM = \{S1(2), CL(1), A(1,3), A(1,4), ZR(2)\}$

$IM' = IM \cup \{A(1,5)\}$

Für $L = 9$ gilt:

$IH-SET(LB, L) = INSTRUCTIONS$

$IH-SET(LB', L) = IM'$

d und d' sind nur für Knoten des entsprechenden Anfangsgraphen bestimmt; es ergibt sich:

K	d(K)	d'(K)
$[1, \{1, 2, 3\}]$	\emptyset	\emptyset
$[2, \{1, 2, 3\}]$	-	$\{[5, \{1, 2, 3\}]\}$
$[3, \{1, 2, 3\}]$	-	$\{[6, \{1\}]\}$
$[4, \{1, 2, 3\}]$	-	$\{[7, \{1\}]\}$
$[5, \{1, 2, 3\}]$	-	$\{[2, \{1, 2, 3\}], [8, \{1\}]\}$
$[6, \{1\}]$	-	$\{[3, \{1, 2, 3\}]\}$
$[6, \{2, 3\}]$	-	\emptyset
$[7, \{1\}]$	-	$\{[4, \{1, 2, 3\}]\}$
$[8, \{1\}]$	-	$\{[5, \{1, 2, 3\}]\}$
$[9, \{1\}]$	-	\emptyset

4.3 Hypothesenreduktion

Das in Abschnitt 4.2 eingeführte Konzept der Unterscheidbarkeitsrelationen und LB-Situationen kann dazu benutzt werden, die Anzahl der zu überprüfenden Instruktions- und LABEL-Hypothesen zu reduzieren. In 4.3.1 werden Eigenschaften bewiesen, die in erster Linie der LABEL-Hypothesenreduktion dienen, und in 4.3.2 werden Möglichkeiten der Instruktionshypothesenreduktion aufgezeigt.

4.3.1 LABEL-Hypothesenreduktion

Eine eindeutige Markierungsfunktion (oder: LABEL-Hypothese) u für einen IH-Anfangsgraphen A mit der Auswahlfunktion a ordnet jedem Knoten K von A einen Programmknoten des zu synthetisierenden Programms P zu, nämlich $(u(K), a(K))$. In Satz 4.5 wird die wesentlichste Eigenschaft der Unterscheidbarkeitsrelation bewiesen: sind zwei Knoten K und K' von A unterscheidbar, so müssen auch die ihnen zugeordneten Programmknoten verschieden sein. Gilt insbesondere $a(K) = a(K')$, so muß also $u(K) \neq u(K')$ gelten. Es genügt folglich, LABEL-Hypothesen zu berücksichtigen, die diese Eigenschaft haben.

Satz 4.5

Q sei PSP, $IS = (A, R)$ aus $G = IH-GRAPH(Q)$ ableitbare terminale IH-Situation. u sei eindeutige Markierung für $A = (V_A, E_A, a, c)$; $T = IH-TREE(IS) = (V_T, E_T, f_T, t_T)$.

Da IS terminal, gilt also $V_A = V_T$. Sei $'\neq'$:= $'\neq_T'$.

Behauptung: $\forall K, K' \in V_A. K \neq K' \Rightarrow (u(K), a(K)) \neq (u(K'), a(K'))$

Beweis:

Sei $K, K' \in V_A$. Für $n \geq 0$ sei $A[n]$ die Aussage:

$$A[n] : K \neq_n K' \Rightarrow (u(K), a(K)) \neq (u(K'), a(K'))$$

Für alle $n \geq 0$ wird $A[n]$ durch Induktion bewiesen, woraus die Behauptung des Satzes folgt.

$$n = 0 : K \neq_0 K' \Rightarrow f_T(K) \cap f_T(K') = \emptyset$$

$$\Rightarrow a(K) \neq a(K')$$

$$\Rightarrow (u(K), a(K)) \neq (u(K'), a(K'))$$

$n > 0$: für $n > 0$ sei $A[n]$ bereits bewiesen.

$n + 1$: Falls $a(K) \neq a(K')$, ist nichts mehr zu zeigen.

Sei also $a(K) = a(K') = I$.

$$K \neq_{n+1} K' \Rightarrow \exists i \in \text{INDEX}(K), i' \in \text{INDEX}(K')$$

$$\begin{aligned} (t_T^I(K, NF_T(K, i)) &= t_T^I(K', NF_T(K', i')) \\ \wedge NF_T(K, i) &\neq_n NF_T(K', i')) \end{aligned}$$

$$\text{Sei } K_1 = NF_T(K, i) \text{ und } K'_1 = NF_T(K', i')$$

$$\Rightarrow (u(K_1), a(K_1)) \neq (u(K'_1), a(K'_1)) \quad [\text{Ind. Annahme}]$$

Widerspruchannahme: $u(K) = u(K')$

$$((u(K), a(K)), t_T^I(K, K_1), (u(K_1), a(K_1))) \in U-GRAPH(A, u)$$

$$((u(K'), a(K')), t_T^I(K', K'_1), (u(K'_1), a(K'_1))) \in U-GRAPH(A, u)$$

$$\Rightarrow (u(K_1), a(K_1)) = (u(K'_1), a(K'_1)) \quad [\text{Eindeutigkeit von } u]$$

Widerspruch!

Es muß also $u(K) \neq u(K')$ gelten und damit natürlich auch

$$(u(K), a(K)) \neq (u(K'), a(K')).$$

Beispiel 4.8

In $IH-TREE(IS_5)$, der sich aus der Graphendarstellung aus

Beispiel 3.11-3 ergibt, gilt für

$$K = [5, \{1, 2, 3\}], K' = [2, \{1, 2, 3\}] \text{ und } K'' = [8, \{1\}]:$$

$$(i) K \neq K'$$

$$(ii) K \neq K''$$

Für A_5 brauchen damit nur solche LABEL-Hypothesen u überprüft zu werden, für die

$$u(K) \neq u(K') \quad \text{und} \quad u(K) \neq u(K'')$$

gilt.

In Satz 4.6 werden aufgrund der LB-Situation von IS ableitbare Beziehungen zwischen IS und einem terminalen Nachfolger IS' bewiesen, die ebenfalls zu einer Reduktion der zu überprüfenden LABEL-Hypothesen führen.

Satz 4.6

Sei IS, LB, IS' wie in Satz 4.4; u sei eindeutige Markierung für A' .

Behauptung:

- (1) $L_{min} \leq UL(A', u)$
- (2) $Lbr \leq UL(A', u, INSTRUCTIONS \setminus IM)$
- (3) $\forall I \in INSTRUCTIONS. Lb(I) \leq UL(A', u, I)$
- (4) $\forall K \in V_A (\forall K' \in d(K). u(K) \neq u(K'))$
- (5) $u|_{V_A}$ ist eindeutige Markierung für A.
- (6) $\forall K \in V_A (\forall K' \in d(K). u|_{V_A}(K) \neq u|_{V_A}(K'))$
- (7) $\sum_{I \in IM} \max\{Lb(I), UL(A, u|_{V_A}, I)\} \leq UL(A', u) - Lbr$

Beweis:

Sei LB', T', T'', E wie im Beweis von Satz 4.4

$$(1) L_{min} \leq L_{min}' = LB_{T'}(INSTRUCTIONS) \quad [\text{Satz 4.4 (1)}]$$

$$\Rightarrow \exists K_1, \dots, K_{L_{min}'} \in V_{T'}$$

$$\forall s \in \{1, \dots, L_{min}' - 1\} (\forall t \in \{s+1, \dots, L_{min}'\}. K_s \neq T', K_t)$$

$$\Rightarrow \forall s \in \{1, \dots, L_{min}' - 1\} (\forall t \in \{s+1, \dots, L_{min}'\}. [\text{Satz 4.5}]$$

$$(u(K_s), a(K_s)) \neq (u(K_t), a(K_t)))$$

$$\Rightarrow L_{min}' \leq UL(A', u)$$

$$\Rightarrow L_{min} \leq UL(A', u)$$

(2) + (3) analog zu (1) mit Hilfe von Satz 4.4 (2) + (3)

und Satz 4.5

$$(4) K \in V_A \wedge K' \in d(K)$$

$$\Rightarrow a(K) = a(K') \wedge K \neq T', K'$$

$$\Rightarrow (u(K), a(K)) \neq (u(K'), a(K'))$$

$$\Rightarrow u(K) \neq u(K')$$

(5) trivial, da IS' Nachfolger von IS

(6) Folgerung aus (4) und Satz 4.4 (4)

$$(7) \sum_{I \in IM} \max\{Lb(I), UL(A, u|_{V_A}, I)\}$$

$$\leq \sum_{I \in IM} \max\{UL(A', u, I), UL(A, u|_{V_A}, I)\} \quad [\text{nach (3)}]$$

$$= \sum_{I \in IM} UL(A', u, I)$$

$$= \sum_{I \in INSTRUCTIONS} UL(A', u, I) - \sum_{I \in INSTRUCTIONS \setminus IM} UL(A', u, I)$$

$$= UL(A', u) - UL(A', u, INSTRUCTIONS \setminus IM) \quad [\text{Def. 3.13}]$$

$$\leq UL(A', u) - Lbr \quad [\text{nach (2)}]$$

Aus den Punkten (1) - (4) dieses Satzes folgen direkt:

jede auf IS aufbauende Hypothesenbildung führt zu einem Programm mindestens der Länge L_{min} ; für den Restgraph R werden

in P noch mindestens Lbr Programmknotten benötigt, die mit Instruktionen markiert sind, die nicht in IM enthalten sind; P besitzt mindestens Lb(I) I-Knoten; für K aus V_A haben alle K' aus $d(K)$ von K verschiedene LABEL.

Aus den Punkten (5) - (7) läßt sich ableiten: Die Einschränkung von u auf V_A ist eindeutige Markierung für A, unter der für $K \in V_A$ alle K' aus $d(K)$ von K verschiedene LABEL haben, wobei die Relation unter (7) wie folgt interpretiert wird: Jeder I-Knoten in $u\text{-GRAPH}(A, u|_{V_A})$ kommt auch in $U\text{-GRAPH}(A', u)$ vor. In $U\text{-GRAPH}(A', u)$ treten aber andererseits mindestens Lb(I) I-Knoten auf. Weiterhin ist jede Instruktion, die in $U\text{-GRAPH}(A, u|_{V_A})$ enthalten ist, auch in IM. Nimmt man also jeweils das Maximum aus Mindestanzahl der I-Knoten für A' und tatsächlicher Anzahl der bereits für A "verbrauchten" I-Knoten und bildet die Summe darüber für alle I aus IM, so kann diese Summe nicht größer sein als die Gesamtzahl der Programmknotten von A' und u abzüglich der Mindestanzahl der Knoten, die in $U\text{-GRAPH}(A', u)$ mit Instruktionen markiert sind, die nicht in IM enthalten sind.

Beispiel 4.9

Die Aussagen des Satzes 4.6 sollen an den IH-Situationen $IS = IS_2$ und $IS' = IS_5$ (vgl. Beispiele 3.10-2, 3.11-3, 4.6 und 4.7) verdeutlicht werden. u sei die eindeutige Markierung für A' ($= A_5$), die den Knoten $[5, \{1, 2, 3\}]$, $[6, \{1\}]$ und $[7, \{1\}]$ eine 2, allen übrigen Knoten eine 1 zuordnet. Dann gilt mit den Bezeichnungen des Satzes 4.6:

$$Lmin = 9 = UL(A', u)$$

$$Lbr = 1 = UL(A', u, INSTRUCTIONS \setminus IM)$$

I	Lb(I)	UL(A', u, I)	UL(A, u _{V_A} , I)	max{Lb(I), UL(A, u _{V_A} , I)}
S1(2)	1	2	0	1
CL(1)	1	1	1	1
A(1,3)	2	2	0	2
A(1,4)	1	1	0	1
A(1,5)	0	1	0	0
ZR(2)	1	2	0	1
sonst. I	0	0	0	0

$$\sum_{I \in IM} \max\{Lb(I), UL(A, u|_{V_A}, I)\} = 6 \leq 9 - 1 = UL(A', u) - Lbr$$

In Satz 4.7 werden die Ergebnisse zur LABEL-Hypothesenreduktion aus den vorigen Sätzen zusammengefaßt und erweitert. Die Aussage dieses Satzes kann man sich wie folgt verdeutlichen.

Bei der Ausführung von PA(Q) liege eine IH-Situation $IS = (A, R)$ vor, die LB-Situation von IS sei $(Lmin, Lbr, Lb, d, IM, l)$, es sei $L \geq Lmin$ und es werden gerade überprüft, ob es ein Programm der Länge L gibt, das Q realisiert. Gibt es nun keine eindeutige Markierung u für A, unter der für K' aus $d(K)$ $u(K) \neq u(K')$ und für die $\sum_{I \in IM} \max\{Lb(I), UL(A, u, I)\} \leq L - Lbr$ gilt, so kann daraus bereits geschlossen werden, daß keine auf IS aufbauende Hypothesenbildung zu einem Programm der Länge kleiner oder gleich L führen kann.

Satz 4.7

Q sei PSP; IS = (A,R) aus G = IH-GRAPH(Q) ableitbare IH-Situation, A = (V_A, E_A, a, c), LB-SIT(G, IS) = (Lmin, Lbr, lb, d, IM, l). Sei L, N ∈ ℕ, L ≥ Lmin, N = L - Lbr.

Behauptung:

$$[\forall u. u \text{ eindeutige Markierung f\u00fcr } A. ((\forall K \in V_A. (\forall K' \in d(K). u(K) \neq u(K')))) \Rightarrow \sum_{I \in IM} \max\{Lb(I), UL(A, u, I)\} > N)] \Rightarrow$$

$$[\forall IS'. IS' = (A', R') \text{ terminaler Nachfolger von IS. } (\forall u. u \text{ eindeutige Markierung f\u00fcr } A' \Rightarrow UL(A', u) > L)]$$

Beweis:

Es seien die in der Beh. angegebenen Voraussetzungen erf\u00fcllt.

Widerspruchsannahme: IS' = (A', R') sei terminaler Nachfolger von IS; u sei eindeutige Markierung f\u00fcr A', UL(A', u) ≤ L.

Dann gilt:

- (i) $u|_{V_A}$ ist eindeutige Markierung f\u00fcr A [Satz 4.6 (5)]
- (ii) $\forall K \in V_A (\forall K' \in d(K). u|_{V_A}(K) \neq u|_{V_A}(K'))$ [Satz 4.6 (6)]
- (iii) $\sum_{I \in IM} \max\{Lb(I), UL(A, u|_{V_A}, I)\} \leq UL(A', u) - Lbr \leq L - Lbr = N$ [Satz 4.6 (7)] [Voraussetzung]

im Widerspruch zur Voraussetzung.

4.3.2 Instruktionshypothesenreduktion

In Satz 4.8 wird gezeigt, da\u00df jede auf einer IH-Situation IS' aufbauende Hypothesenbildung, die zu einem Programm der L\u00e4nge L f\u00fchrt, nur Elemente aus der relevanten Instruktionshypothesenmenge bzgl. der LB-Situation von IS und L verwendet, wenn IS' ein Nachfolger von IS ist.

Satz 4.8

Q sei PSP; IS, IS' seien aus G = IH-GRAPH(Q) ableitbare IH-Situationen, f\u00fcr die eine terminale Nachfolgersituation existiert. IS' sei Nachfolger von IS, LB = LB-SIT(G, IS), L ∈ ℕ.

Behauptung:

$$\forall IS'. IS' = (A, R) \text{ ist terminaler Nachfolger von IS' } (\forall u. u \text{ ist eindeutige Markierung f\u00fcr } A. UL(A, u) \leq L \Rightarrow INSTR(IS') \subseteq IH-SET(LB, L))$$

Beweis:

Ist LB = ε, so gibt es keinen terminalen Nachfolger von IS. Sei also LB = (Lmin, Lbr, lb, d, IM, l). Ist l < L, so gilt der Satz wegen IH-SET(LB, L) = INSTRUCTIONS. Sei daher l ≥ L, woraus IH-SET(LB, L) = IM folgt. Weiterhin sei IS'' = (A, R) ein terminaler Nachfolger von IS', u sei eindeutige Markierung f\u00fcr A, UL(A, u) ≤ L.

Dann gilt:

$$\begin{aligned}
 L \leq 1 &= \sum_{I \in IM} Lb(I) && [\text{Vor. u. Def. 4.4}] \\
 &\leq \sum_{I \in IM} UL(A,u,I) && [\text{Satz 4.6 (3)}] \\
 &\leq \sum_{I \in INSTRUCTIONS} UL(A,u,I) \\
 &= UL(A,u) \leq L && [\text{Def. 3.13 u. Vor.}]
 \end{aligned}$$

und damit auch die Gleichheit der angeführten Werte.

Aus der Tatsache, daß

$$\forall I \in INSTRUCTIONS \setminus IM. UL(A,u,I) = 0$$

gilt, folgt nun direkt $INSTR(IS'') \subseteq IM$.

Mit Hilfe von Satz 4.8 wird nun folgende Möglichkeit der Instruktionshypothesenreduktion bewiesen: Um zu überprüfen, ob eine auf einer IH-Situation IS aufbauende Hypothesenbildung zu einem Programm der Länge L führt, genügt es, lediglich die Hypothesen zu berücksichtigen, die sich aus dem größten erzwungenen Nachfolger von IS gemäß $IH-SET(LB,L)$ ergeben, wenn LB die LB-Situation von IS ist.

Satz 4.9

Q sei PSP; IS aus $G = IH-GRAPH(Q)$ ableitbare IH-Situation, für die eine terminale Nachfolgesituation existiert. Sei $LB = LB-SIT(G,IS)$, $LB = (Lmin, Lbr, Lb, d, IM, l)$, $L \in \mathbf{N}$.

Behauptung:

$$\begin{aligned}
 &[\forall IS'. IS' = (A,R) \text{ ist terminaler Nachfolger von} \\
 &GSUC(IS, IH-SET(LB,L)).]
 \end{aligned}$$

$$\begin{aligned}
 &(\forall u. u \text{ ist eindeutige Markierung für } A \Rightarrow UL(A,u) > L) \\
 &=>
 \end{aligned}$$

$$[\forall IS'. IS' = (A,R) \text{ ist terminaler Nachfolger von IS.}$$

$$(\forall u. u \text{ ist eindeutige Markierung für } A \Rightarrow UL(A,u) > L)]$$

Beweis:

Es seien die in der Beh. angegebenen Voraussetzungen erfüllt.

Widerspruchsannahme: $IS' = (A,R)$ sei terminaler Nachfolger

von IS, u sei eindeutige Markierung für A, $UL(A,u) \leq L$.

Dann gilt:

$$INSTR(IS') \subseteq IH-SET(LB,L) \quad [\text{Satz 4.8}]$$

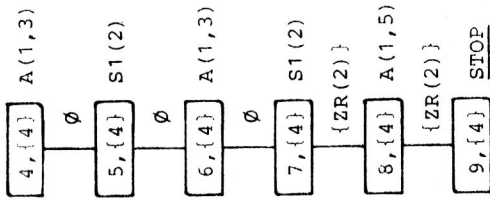
$$\Rightarrow IS' \text{ ist terminaler Nachfolger von } GSUC(IS, IH-SET(LB,L))$$

$$[\text{Satz 3.7 (6)}]$$

im Widerspruch zur Voraussetzung.

Beispiel 4.10

Gegeben sei $IS = (A,R)$ wie in Beispiel 4.5-2. Ist $L = 7$, so genügt es nach Satz 4.9, lediglich die terminalen Nachfolger von $GSUC(IS, IH-SET(LB,7))$ zu überprüfen. Da $IH-SET(LB,7) = IM$, ist $IS' = (A',R')$ = $GSUC(IS,IM)$ selbst schon terminal, wobei die Knoten von R in IS' wie folgt markiert sind:



Gibt es für IS' keine eindeutige Markierung u, für die $UL(A', u) \leq 7$ gilt, so gibt es überhaupt keinen terminalen Nachfolger von IS, für den dies möglich ist.

4.4 Heuristiken für die Sortierung von Instruktionshypothesen

Die aktuelle LABEL-Hypothese eines IH-Anfangsgraphen wird dazu benutzt, die als nächstes aufzustellende Instruktionshypothese auszuwählen (4.4.1); darüberhinaus werden alle an einer Front relevanten Instruktionshypothesen heuristisch geordnet, nachdem die als nicht relevant erkannten Hypothesen entfernt worden sind (4.4.2, 4.4.3). In 4.4.4 werden die Ergebnisse zusammengefaßt und ihre hier wesentlichen Eigenschaften bewiesen.

4.4.1 Vorschlagshypothese

Ist für einen Anfangsgraphen A einer IH-Situation $IS = (A, R)$ eine eindeutige LABEL-Hypothese u aufgestellt worden, so muß im nächsten Schritt eine neue Instruktionshypothese entlang der aktuellen Front F von IS aufgestellt werden. A und u legen aber mit $UG = U\text{-GRAPH}(A, u)$ bereits eine Menge von Programmtransitionen fest, die Teilmenge des Zielprogramms ist (bzw. sein kann).

Benutzt man die Vorgängerknoten von F in A zusammen mit den zur Front F führenden Übergängen (das sind die Kantenmarkierungen) und wählt dazu jeweils die sich gemäß den Transitionen von UG ergebenden Nachfolgeinstruktionen, so erhält man die sog. Vorschlagshypothese, wobei an den Stellen, an denen keine zutreffende Programmtransition in UG enthalten ist, die Pseudoinstruktion dummy eingesetzt wird. Da u eindeutige Markierung für A ist, ist damit die Vorschlagshypothese in jeder Komponente eindeutig definiert.

Beispiel 4.11

Für $IS = (A, R)$ aus Beispiel 4.5-2 gilt:

$$FRONT(A) = ([4, \{4\}]).$$

$$u = \lambda K. K \in \{ [4, \{1\}], [5, \{1\}] \} \rightarrow 2, \underline{true} \rightarrow 1$$

ist eindeutige LABEL-Hypothese für A.

Der zu $[4, \{4\}]$ gehörige Vorgängerknoten ist $[3, \{2, 4\}]$, der zugehörige Übergang ist $t_{G_4} (([3, \{2, 4\}], [4, \{4\}])) = \emptyset$.

In $\bar{U}\text{-GRAPH}(A, u)$ gibt es eine Programmtransition

$$t_r = ((u([3, \{2, 4\}]), a([3, \{2, 4\}]), t_{G_4}((([3, \{2, 4\}], [4, \{3\}]))), X) \\ = ((1, S1(2)), \emptyset, (2, A(1, 3)))$$

Gemäß LABEL-Hypothese u und Übergangsmarkierung \emptyset ergibt sich

als Vorschlagshypothese VH für $F = ([4, \{4\}])$ somit $VH = (A(1, 3))$.

4.4.2 Hypothesenreduktion

Nur der Teil der an einer aktuellen Front F anliegenden Instruktionshypothesen ist für die weitere Hypothesenbildung zu berücksichtigen, der in der relevanten IH -Menge bzgl. der aktuellen LB -Situation und dem aktuellen Suchraumindex L enthalten ist. Dieses wurde bereits in Satz 4.8 formal bewiesen.

Beispiel 4.11 (Fortsetzung)

Sei $LB = LB\text{-SIT}(G_4, IS)$.

Für $L = 9$ gibt es an der Front F wegen $IH\text{-SET}(LB, 9) = INSTRUCTIONS$ drei in Frage kommende Hypothesen: $(A(1, 1))$, $(A(1, 1))$ und $(A(1, 3))$. Für $L = 7$ ist wegen $IH\text{-SET}(LB, L) = IM$ nur die Hypothese $(A(1, 3))$ relevant.

4.4.3 Ordnungskriterien

Die vorliegenden Instruktionshypothesen der Front F werden nach einer bestimmten Heuristik linear geordnet; in dieser Reihenfolge werden die Hypothesen aufgestellt und überprüft, ob sie zum Erfolg führen. Die erste Hypothese unter diesem Ordnungskriterium ist die Vorschlagshypothese, bei der zuvor, falls notwendig, die dummy-Komponenten durch Instruktionen ersetzt worden sind.

Die Sortierung der übrigen Instruktionshypothesen basiert auf der Häufigkeit, mit der die einzelnen Instruktionen I unter der bisherigen Hypothesenbildung auftreten. Als Kriterium der Häufigkeit wird hierbei die Mindestanzahl von Programmknoten mit Instruktion I herangezogen, die durch $Lb(I)$ gegeben ist, wobei Lb durch die aktuelle LB -Situation geliefert wird. Gilt für zwei Instruktionen I und I' $Lb(I) = Lb(I')$, so erfolgt die weitere Sortierung durch die lineare Ordnung, die auf $INSTRUCTIONS$ definiert ist. Gilt $Lb(I) > Lb(I')$, so wird Hypothese I als wahrscheinlicher angesehen. Für I gibt es dann nämlich mehr Möglichkeiten, den betreffenden Knoten einem Programmknoten zuzuordnen, der sowieso schon benötigt wurde, während für I' eventuell eher ein neuer Programmknoten zu den bisher benötigten hinzukommt. Für $Lb(I') = 0$ ist es z.B. möglich, daß ein minimales Programm P überhaupt keinen I' -Knoten enthält, während bei Auswahl von I' als Hypothese jedes daraus resultierende Programm mindestens einen I' -Knoten besitzt.

Die beschriebene lineare Ordnung wird durch komponentenweise Anwendung zu einer lexikographischen Ordnung über dem Raum der Instruktionshypothesen erweitert.

Beispiel 4.11 (Fortsetzung)

Es gilt:

$$\begin{array}{c}
 \text{VH} = (A(1,3)) \\
 \begin{array}{c|c|c}
 \text{I} & A(1) & A(1,1) & A(1,3) \\
 \hline
 \text{Lb(I)} & 0 & 0 & 1
 \end{array}
 \end{array}$$

Als lineare Ordnung der Hypothesen ergibt sich:

$$(A(1,3)) \prec (A(1,1)) \prec (A(1,1))$$

Dieselbe Ordnungsrelation ergäbe sich, falls die Vorschlags-
hypothese VH = (dummy) wäre, da

$$\text{Lb}(A(1,3)) > \text{Lb}(A(1,1))$$

$$\text{Lb}(A(1,3)) > \text{Lb}(A(1,1))$$

$$\text{Lb}(A(1,1)) = \text{Lb}(A(1,1)) \text{ und } A(1) <_I A(1,1),$$

wobei $<_I$ die auf INSTRUCTIONS definierte Ordnung ist.

4.4.4 Instruktionshypothesenraum

Die Überlegungen dieses Abschnitts werden in der folgenden Definition präzisiert.

Definition 4.5

Q sei PSP; IS = (A,R) = ((V_A, E_A, a, c), (V_R, E_R, f_R, g_R, t<sub>R}))
 sei aus G = (b, V_G, E_G, f_G, g_G, t_{G}) = IH-GRAPH(Q) ableitbare, nicht-terminale IH-Situation, für die eine terminale Nachfolger-situation existiert.}</sub>

Sei FRONT_G(A) = (K₁, ..., K_r), FRONT_G(A) = ((K₁', K₁), ..., (K_r', K_r))

LB = (Lmin, Lbr, Lb, d, IM, l) = LB-SIT(G, IS).

UM = (UG, u) sei eindeutiges Markierungspar für A,

L ∈ N, $<_I$ lineare Ordnung auf INSTRUCTIONS.

(1) VH = (vh₁, ..., vh_r) heißt IH-Vorschlagshypothese von UM

für IS $<=>$

$$\forall i \in \{1, \dots, r\}.$$

$$\text{vh}_i = \begin{cases} \text{I} & \langle = \rangle \exists X \in \text{U-NODES}(A, u), n \in \mathbb{N} \\ (u(K_i'), a(K_i'), t_G^{a(K_i')}(K_i', K_i), X) \in \text{UG} \\ \wedge \text{I} = (n, \text{I}) & \\ \text{dummy} & \langle = \rangle \text{sonst} \end{cases}$$

(2) HR = (H_{i,j})_{1 ≤ j ≤ r} heißt gemäß UM, LB und L reduzierter und vorsortierter I-Hypothesenraum von IS $<=>$

$$\forall i \in \{1, \dots, r\}.$$

(i) {H_{i,1}, ..., H_{i,s_i}} = f_R(K_i) ∩ IH-SET(LB, L)

(ii) vh_i e_fR(K_i) => (H_{i,1} = vh_i) ∧

$$(\forall j \in \{2, \dots, s_i - 1\}). \text{Lb}(H_{i,j}) > \text{Lb}(H_{i,j+1})$$

$$\forall (\text{Lb}(H_{i,j}) = \text{Lb}(H_{i,j+1}) \wedge H_{i,j} <_I H_{i,j+1})$$

(iii) vh_i ∉ f_R(K_i) => (∃ j ∈ {1, ..., s_i - 1}). Lb(H_{i,j}) > Lb(H_{i,j+1})

$$\forall (\text{Lb}(H_{i,j}) = \text{Lb}(H_{i,j+1}) \wedge H_{i,j} <_I H_{i,j+1})$$

- (3) $H = (H_1, j_1, \dots, H_{r, j_r})$ heißt Hypothese aus HR ($H \in HR$) \Leftrightarrow
 $\forall i \in \{1, \dots, r\}. 1 \leq j_i \leq s_i$
- (4) HMIN(HR) = $(H_1, 1, \dots, H_{r, 1})$ heißt kleinste,
HMAX(HR) = $(H_1, s_1, \dots, H_{r, s_r})$ heißt größte Hypothese von HR.
- (5) Sei H wie in (3), $H \neq HMAX(HR)$.
HNEXT(HR, H) = H' heißt direkter Nachfolger von H in HR
 $(H <_{dir} H') \Leftrightarrow$
 $H' = (H_1, j_1, \dots, H_{t-1}, j_{t-1}, H_t, j_t + 1, H_{t+1}, 1, \dots, H_r, 1)$
 mit: $t = \max\{t' \mid t' \in \{1, \dots, r\}, j_{t'} < s_{t'}\}$
- (6) $<_{HR}$ heißt Ordnungsrelation von HR und bezeichnet die transitive Hülle der Relation $<_{dir}$.
- (7) SORTHR(G, L, IS, LB, UM) bezeichnet den durch (1) - (6) definierten I-Hypothesenraum.

Beispiel 4.11 (Fortsetzung)

1. Für $L = 9$ gilt:

$$HR = \begin{pmatrix} A(1, 3) \\ A1(1) \\ A(1, 1) \end{pmatrix}$$

$$HMIN(HR) = (A(1, 3))$$

$$HMAX(HR) = (A(1, 1))$$

$$HNEXT(HR, A(1, 3)) = (A1(1))$$

2. Für $L = 7$ gilt:

$$HR = (A(1, 3))$$

$$HMIN(HR) = HMAX(HR) = (A(1, 3))$$

Satz 4.10

Seien Q, G, IS, LB, UM, L wie in Def. 4.5.

Sei $HR = SORTHR(G, L, IS, LB, UM)$, es gelte $L \geq Lmin$.

Behauptung:

- (1) HR ist eindeutig bestimmt.
- (2) HMIN(HR) und HMAX(HR) sind wohldefiniert.
- (3) Für $H \in HR, H \neq HMAX(HR)$, ist HNEXT(HR, H) eindeutig bestimmt.
- (4) $<_{HR}$ ist lineare Ordnung aller $H \in HR$.
- (5) $\forall H \in HR$
 $(\forall IS' = (A', R')). IS'$ ist terminaler Nachfolger von $DSUC(IS, H)$
 $(\forall u, u$ ist eindeutige Markierung für $A' \Rightarrow$
 $UL(A', u) > L)$]

\Rightarrow

$[\forall IS' = (A', R'). IS'$ ist terminaler Nachfolger von IS

$(\forall u, u$ ist eindeutige Markierung für $A' \Rightarrow$

$$UL(A', u) > L)]$$

Beweis:

- (1) - (4) ergeben sich leicht aus den entsprechenden Definitionen. Die Eindeutigkeit der HR mit-definierenden IH -Vorschlagshypothese folgt aus der Tatsache, daß UM eindeutiges Markierungs paar für A ist. Mit Hilfe von Satz 3.7 (7) kann gezeigt werden, daß HR nicht leer ist.

(5) Es seien die in der Beh. (5) angegebenen Voraussetzungen erfüllt.

Widerspruchsannahme: \exists IS' = (A', R'), u .

(IS' ist terminaler Nachfolger von IS \wedge

u ist eindeutige Markierung für $A' \wedge UL(A', u) \leq L$)

Dann gilt aber:

($\exists H \in FIH_G(IS)$.

(IS' ist term. Nachfolger von DSUC(IS, H))

[Satz 3.7(5)]

\wedge (INSTR(IS') \in IH-SET(LB, L))

[Satz 4.8]

\wedge ($\forall H \in FIH_G(IS)$. $H \in$ (IH-SET(LB, L))^r \Rightarrow H \in HR)

[Def. 4.5(2)]

$\Rightarrow \exists$ H \in HR. IS' ist term. Nachfolger von

DSUC(IS, H)

im Widerspruch zur Voraussetzung

Satz 4.10 liefert die Grundlage für die i.f. skizzierte Vorgehensweise zur Überprüfung der an der Front von IS vorliegenden Instruktionshypothesen:

Zunächst wird der Instruktionshypothesenraum

HR = SORTHR(G, L, IS, LB, UM) berechnet. Beginnend mit

H = HMIN(HR), gefolgt von H' = HNEXT(HR, H),

H'' = HNEXT(HR, H') usw. werden DSUC(IS, H), DSUC(IS, H') usw.

überprüft, bis eine Hypothese zum Erfolg führt oder bis

HMAX(HR) erreicht ist und auch diese Hypothese nicht erfolgreich

ist. Ist letzteres der Fall, so sind damit alle terminalen

Nachfolger von IS als nicht mehr relevant erkannt und

man muß zur vorherigen Front (nach 'links') zurückkehren.

4.5 Programmkonstruktion aus IH-Situationen

Die Anforderungen an einen Algorithmus zur Bestimmung einer eindeutigen Markierung (LABEL-Hypothese) für einen Anfangsgraphen werden in 4.5.1, die an einen Algorithmus zur Bildung von Programmentransitionen aus vorliegender Instruktion und LABEL-Hypothese in 4.5.2 angegeben. In 4.5.3 wird gezeigt, wie die bisher entwickelten Verfahren tatsächlich zu einer minimalen Realisierung von PSP führen.

4.5.1 LABEL-Hypothesenbildung

Bei den in diesem Kapitel entworfenen Vorgehensweisen zur Hypothesenreduktion sowohl auf der Ebene der Instruktionsthesen für Anfangsgraphen A von IH-Situationen IS = (A, R) benötigt, die die durch die aktuelle LB-Situation gegebenen Informationen berücksichtigen, die in den Sätzen 4.5, 4.6 und 4.7 zum Ausdruck kommen. Diesem wird in der folgenden Definition Rechnung getragen.

Zunächst wird die Menge der U-Argumente bestimmt. Ein U-Argument wird aus den drei Komponenten Suchraumindex L, IH-Situation IS und zugehöriger LB-Situation LB gebildet und ist ein 6-Tupel, das alle für die LABEL-Hypothesenbildung notwendigen Informationen enthält. Zur Vereinfachung wird die Argummentmenge eines U-Algorithmus anschließend auf die Menge der 6-Tupel reduziert, die auch tatsächlich auf diese Art und

Weise gebildet werden können. Ein U-Algorithmus ist nun eine Abbildung UA in die Menge aller eindeutigen Markierungspaare, wobei U-DUMMY geliefert wird genau dann, wenn es keine eindeutige Markierung u für A gibt, unter der durch d unterschiedene Knoten auch verschiedene LABEL haben und unter der die Summe aus den jeweiligen Maxima von Mindestanzahl von I-Knoten bzgl. IS und tatsächlicher Anzahl von I-Knoten bei A und u kleiner oder gleich ist als die Differenz von Suchraumindex L und Mindestanzahl der noch für den Restgraphen R zusätzlich benötigten Knoten (vgl. Sätze 4.6 und 4.7); andernfalls liefert UA eine solche eindeutige Markierung u zusammen mit U-GRAPH(A,u).

Definition 4.6

- (1) Q sei PSP, IS = (A,R) sei aus G = IH-GRAPH(Q) ableitbare IH-Situation, für die ein terminaler Nachfolger existiert; LB = LB-SIT(G,IS), L ∈ N .

$$\underline{U-ARG(L,IS,LB)} = (N,A,Lb,d,IM,l)$$
 heißt U-Argument von L, IS und LB $\langle \Rightarrow \rangle$

$$LB = (Lmin,Lbr,Lb,d,IM,l)$$
 mit: N = L - Lbr
- (2) U = (N,A,Lb,d,IM,l) heißt relevantes U-Argument $\langle \Rightarrow \rangle$

$$\exists Q,L,IS,LB$$
 wie in (1) mit:

$$U = U-ARG(L,IS,LB) \wedge N \cong Lmin-Lbr$$
- (3) U-ARGS bezeichnet die Menge aller relevanten U-Argumente.

(4) U-VAL bezeichne die Menge aller eindeutigen Markierungspaare.

Eine Abbildung UA : U-ARGS \rightarrow U-VAL heißt U-Algorithmus $\langle \Rightarrow \rangle$

$$\forall X \in U-ARGS. X = (N,A,Lb,d,IM,l), A = (V_A, E_A, a, c) .$$

UA(X) = (UG,u) ist eindeutiges Markierungspaar von A mit:

$$[UG \neq \emptyset \Rightarrow (\forall K \in V_A (\forall K' \in d(K). u(K) \neq u(K')) \wedge \sum_{I \in IM} \max\{Lb(I), UL(A,u,I)\} \leq N)]$$

$$[UG = \emptyset \Rightarrow (\forall u. u \text{ eindeutige Markierung für } A \wedge \forall K \in V_A (\forall K' \in d(K). u(K) \neq u(K')) \Rightarrow \sum_{I \in IM} \max\{Lb(I), UL(A,u,I)\} > N)]$$

Die an einen U-Algorithmus gestellten Forderungen sind zwar prinzipiell ausreichend, jedoch läßt sich die Anzahl der möglichen LABEL-Hypothesen erheblich reduzieren. So kann o.B.d.A. gefordert werden:

Sind in U-GRAPH(A,u) k Knoten mit der Instruktionsmarkierung I, so sollen für diese Knoten genau die LABEL 1,2,...,k verwandt werden.

In den folgenden Ausführungen wird deutlich, wie die 6 Werte eines U-Arguments von einem U-Algorithmus benutzt werden können. Sei X = (N,A,Lb,d,IM,l) ein relevantes U-Argument, wobei IS = (A,R) terminal sei; ist IS nicht terminal, so gelten die anschließenden Überlegungen ebenso, es muß dann jedoch noch zwischen Knoten aus A und R unterschieden werden. Es soll eine Markierung u gefunden werden, unter der

$$(*) \sum_{I \in IM} \max\{Lb(I), UL(A, u, I)\} \leq N$$

gilt und unter der durch L unterschiedene Knoten auch unterschiedliche LABEL haben. Nun gilt aber $l = \sum_{I \in IM} Lb(I)$ und wegen $l \leq Lmin-Lbr = N$ auch $l \leq N$.

Falls $l = N$, so kommen für einen Knoten K mit Instruktion I genau die LABEL $1, 2, \dots, Lb(I)$ in Frage, falls $l < N$ darüber hinaus maximal noch $Lb(I)+1, Lb(I)+2, \dots, Lb(I)+(N-l)$; wenn jedoch schon für ein anderes I' die LABEL $1, 2, \dots, Lb(I'), Lb(I')+1, \dots, Lb(I')+k$ ($1 \leq k \leq N-l$) verwandt worden sind, so stehen für I nur noch die LABEL $1, 2, \dots, Lb(I), Lb(I)+1, \dots, Lb(I)+(N-l+k)$ zur Verfügung. Diese gegenseitige Abhängigkeit besteht zwischen allen $I \in IM$; wird sie nicht beachtet, kann auch die obige Relation (*) nicht mehr erfüllt werden.

Ein U-Algorithmus sollte somit u.a. über folgende Größen Buch führen:

1. Für jedes $I \in IM$: Wieviele LABEL sind bereits für I-Knoten verwandt worden? Jedesmal, wenn bereits $Lb(I)$ oder mehr verschiedene LABEL verwandt worden sind und noch ein zusätzliches LABEL hinzugenommen werden soll, muß der unter 2. genannte Wert F um 1 dekrementiert werden.
2. Wie oft kann noch irgendeiner Instruktion I ein "zusätzliches" LABEL zugeordnet werden? Bezeichnet F den jeweils aktuellen Wert dieses Parameters, so zeigt der Versuch, F einen Wert kleiner 0 zuzuweisen, einen Fehler an und es muß eine andere LABEL-Hypothese gewählt werden. F wird mit N-1 initialisiert.

3. Für jeden Knoten K von A:

Welche LABEL dürfen K nicht zugeordnet werden, da bereits ein K' mit $K \in d(K')$ dieses LABEL hat?

Das hier skizzierte Verfahren hat Ähnlichkeiten mit dem in [Biermann, Baum, Petry 1976] beschriebenen Ansatz. Jedoch werden in der zitierten Arbeit nur eine bestimmte Art von Instruktionsfolgen, bei denen alle erfolgreich ausgeführten Tests explizit angegeben sind, berücksichtigt, und das in dem Papier beschriebene Verfahren ist dort nur als sequentiell für jeweils genau eine Instruktionsfolge anwendbar ausgearbeitet. In [Hwa, Wrightson 1973] ist das Verfahren aus [Biermann 1972] in ähnlicher Weise für die parallele Bearbeitung von mehreren Berechnungsfolgen einer Turingmaschine erweitert und benützt worden.

In der vorliegenden Arbeit jedoch ist die Bearbeitung jeder der vier dargestellten Arten von sowohl Instruktions- als auch Speicherbelegungsfolgen (insbesondere letztere wurden bisher in den anderen Arbeiten überhaupt nicht betrachtet) möglich, wobei die parallele Bearbeitung von mehreren Belegungsfolgen in allen vier Fällen gewährleistet wird und dadurch sowie durch die Aufteilung der Speicherbelegungsfolgen in Teilfolgen, für die Hypothesen bereits überprüft werden können, schärfere Randbedingungen (Ein/Ausgabebedingungen für einen U-Algorithmus) geschaffen und eine bessere Ausnutzung der zuvor erarbeiteten und nun zur Verfügung stehenden Informationen unterstützt werden.

An zwei einfachen Beispielen soll die Vorgehensweise eines U-Algorithmus verdeutlicht werden.

Beispiel 4.12

1. Sei A der in Beispiel 3.11-2 angegebene Anfangsgraph A_4 ,

$N = 9, l = 8$ und $X = (N, A, Lb, d, IM, l)$ mit:

I	S1(2)	CL(1)	A(1,3)	A(1,4)	A(1,5)	ZR(2)	sonst.I
Lb(I)	1	1	2	1	1	2	0

K	$[1, \{1, 2, 3\}]$	$[2, \{1, 2, 3\}]$	$[3, \{1, 2, 3\}]$	$[4, \{1, 2, 3\}]$	$[5, \{1, 2, 3\}]$	$[6, \{2, 3\}]$	$[6, \{1\}]$
d(K)	\emptyset	$[5, \{1, 2, 3\}]$	$[6, \{1\}]$	\emptyset	$[2, \{1, 2, 3\}]$	\emptyset	$[3, \{1, 2, 3\}]$

Es können $F = N - l = 1$ 'zusätzliche' LABEL verwendet werden.

(1) $[0, \{1, 2, 3\}]$ wird immer LABEL 1 zugeordnet (START-Knoten).

(2) Für die Knoten $[1, \{1, 2, 3\}]$ bis $[4, \{1, 2, 3\}]$ gilt je-

weils, daß die ihnen zugeordnete Instruktion das erste

Mal auftritt; alle diese Knoten enthalten LABEL 1. Bei

$[2, \{1, 2, 3\}]$ bzw. $[3, \{1, 2, 3\}]$ wird festgestellt, daß

$[5, \{1, 2, 3\}]$ bzw. $[6, \{1\}]$ ein anderes LABEL zugeordnet

werden muß, da sie durch d unterschieden werden.

(3) Da bisher nur LABEL 1 für ZR(2)-Knoten (bzw. $A(1,3)$ -

Knoten) verwendet wurde, 1 aber für $[5, \{1, 2, 3\}]$ bzw.

$[6, \{1\}]$ verboten ist, erhalten diese beiden Knoten

zwangsläufig LABEL 2.

(4) $A(1,5)$ tritt zum ersten Mal auf, $[6, \{2, 3\}]$ erhält

LABEL 1.

(5) $[7, \{2, 3\}]$ kann als STOP-Knoten nur LABEL 1 zugewiesen

werden.

Die in Def. 4.6 geforderten Nachbedingungen sind erfüllt.

2. Sei $IS = (A, R)$ die in Beispiel 3.11-3 angegebene terminale IH-Situation IS_5 ; $LB = LB-SIT(G_3, IS)$ ist identisch mit der in Beispiel 4.7 angegebenen LB-Situation LB' .

Sei $L = 9$.

$U-ARG(L, IS, LB) = (N, A, Lb, d, IM, l)$

$= (9, A, Lb, d, IM, 9)$

Da $F = N - l = 0$, können nur LABEL bis $Lb(I)$ verwendet

werden. IS ist Nachfolger der unter 1. betrachteten IH-

Situation, die Schritte (1) bis (5) verlaufen hier analog.

(6) $[7, \{1\}]$ kann zur durch Funktion d erzwungenen Unters-

scheidung von $[4, \{1, 2, 3\}]$ nur LABEL 2 zugeordnet werden.

(7) Für ZR(2) sind bereits LABEL 1 und 2 benutzt worden;

da $Lb(ZR(2)) = 2$ und $F = 0$, kommen auch nur diese bei-

den LABEL für $[8, \{1\}]$ in Frage, wobei 2 ausscheidet,

da $[8, \{1\}] \in d([5, \{1, 2, 3\}])$ und $u([5, \{1, 2, 3\}]) = 2$.

Bleibt als einzige Alternative $u([8, \{1\}]) = 1$.

(8) $[9, \{1\}]$ und $[10, \{1\}]$ kann nur LABEL 1 zugeordnet werden.

Für $UM = (UG, u) = U-ALG(U-ARG(L, IS, LB))$ gilt damit:

UG ist identisch mit dem in Beispiel 2.2 angegebenen

Programm P. Die für U-ALG geforderte Nachbedingung ist

erfüllt.

Die beiden Beispiele zeigen, daß bei optimaler Ausnutzung der

mit einem U-Argument $X = (N, A, Lb, d, IM, l)$ gegebenen Informa-

tionen die Auswahl der LABEL-Hypothesen durch einen U-Algo-

rithmus sehr vereinfacht werden kann. In diesen Beispielen

ist es sogar so, daß an keiner einzigen Stelle eine andere

LABEL-Hypothese gewählt werden kann und N, A, Lb, d, IM und l somit zwangsläufig zu einer bestimmten Hypothese führen. I.a. wird dies zwar nicht immer so sein; die Reduzierung der an jedem Punkt zur Verfügung stehenden Alternativen verhindert jedoch weitgehend ein unnötiges Aufstellen und späteres Verwerfen von falschen Hypothesen.

4.5.2 Programmentransitionenbildung

Ist für eine terminale IH-Situation $IS = (A, R)$ eine eindeutige Markierung u gefunden worden, so besteht $UG = U-GRAPH(A, u)$ aus Transitionen der Art (K, m, K') mit Programmknoten K und K' . Für den Fall $bc\{s, ss\}$ ist $m \in \{\underline{true}, \underline{false}, \underline{nil}\}$ und das zu synthetisierende Programm P ist identisch mit UG ; für $bc\{a, as\}$ ist $m \in \{TESTS\}$ und (K, m, K') muß noch in Programmentransitionen überführt werden.

Die Überführung in eine Menge P von Programmentransitionen muß folgende Bedingungen erfüllen:

1. P ist ein Programm.
 2. Die Menge der mit Zuweisungsinstruktionen markierten Programmknoten von P ist genau die Menge der Programmknoten von UG .
 3. Für jedes Tripel (K, m, K') in UG existiert in P ein Weg von K nach K' derart, daß zwischen K und K' nur Testknoten durchlaufen werden und die dazugehörigen Übergänge genau dann true sind, wenn die durchlaufene Testinstruktion in m enthalten ist, andernfalls false.
- Als Argument für einen derartigen Überführungsalgorithmus werden genau alle die Paare aus Problemspezifizierungsmarke b und $U-Graph$ UG zugelassen, die bei der bisher beschriebenen Vorgehensweise auch tatsächlich auftreten können.

Definition 4.7

- (1) $Q = (b, M)$ sei $PSP, IS = (A, R)$ sei aus $IH-GRAPH(Q)$ ableitbare terminale IH-Situation; $UM = (UG, u)$ sei eindeutiges Markierungspaar für $A, UM \neq U-DUMMY$.

$T-ARG(Q, UM) = (b, UG)$ heißt T-Argument von Q und UM.

- (2) $X = (b, UG)$ heißt relevantes T-Argument $\langle \Rightarrow \rangle$

$\exists Q, UM$ wie in (1) mit: $X = T-ARG(Q, UM)$

- (3) T-ARGS bezeichnet die Menge aller relevanten T-Argumente.

- (4) Eine Abbildung $TA : T-ARGS \rightarrow PROGRAMS$ heißt

T-Algorithmus $\langle \Rightarrow \rangle$

$\forall X \in T-ARGS. X = (b, UG)$

$[bc\{s, ss\} \Rightarrow TA(X) = UG]$

$\wedge [bc\{a, as\} \Rightarrow$

$(NODES(UG) = NODES(TA(X)) \wedge (\bigwedge_{i \in \{1, \dots, r\}} \text{INSTR}(K_i) \in TESTS$

$\wedge (\forall (K, m, K') \in UG. \exists K_0, \dots, K_{r+1} \in NODES(TA(X)), r \neq 0.$

$(K = K_0 \quad K' = K_{r+1})$

$\wedge ((K_0, \underline{nil}, K_1) \in TA(X))$

$\wedge (\forall i \in \{1, \dots, r\}. \text{INSTR}(K_i) \in TESTS$

$\wedge (\text{INSTR}(K_i) \in m \Rightarrow (K_i, \underline{true}, K_{i+1}) \in TA(X))$

$\wedge (\text{INSTR}(K_i) \notin m \Rightarrow (K_i, \underline{false}, K_{i+1}) \in TA(X)))]$

Die an einen T-Algorithmus gestellten Anforderungen beruhen wesentlich darauf, daß u eine eindeutige Markierungsfunktion ist (vgl. Def. 3.13) :

sind in UG zwei Tripel in den ersten beiden Komponenten gleich, so sind sie es auch in der dritten Komponente, oder anders ausgedrückt: muß es nach obiger Bedingung von einem Knoten K

zwei Wege zu verschiedenen Knoten K' und K" geben, so kann dies wie gefordert realisiert werden, da es mindestens eine Testinstruktion gibt, die die Übergänge in UG von K nach K' bzw. K" unterscheidet.

Beispiel 4.13

Mit der Stufengraphdarstellung der Realisierung von Q_2 durch das Beispielprogramm P ist sowohl eine aus IH-GRAPH(Q_2) ableitbare terminale IH-Situation wie auch eine eindeutige Markierungsfunktion gegeben (siehe Beispiel 3.4 -1). Der resultierende U-Graph UG ist:

UG = { ((1, START), {ZR(1)}, (1, CL(1))),
 ((1, START), {ZR(2)}, (1, CL(1))),
 ((1, START), \emptyset , (1, CL(1))),
 ((1, CL(1)), {ZR(1)}, (1, A(1, 3))),
 ((1, CL(1)), {ZR(1), ZR(2)}, (1, A(1, 4))),
 ((1, A(1, 3)), \emptyset , (1, S1(2))),
 ((1, S1(2)), {ZR(2)}, (1, A(1, 5))),
 ((1, S1(2)), \emptyset , (2, A(1, 3))),
 ((1, A(1, 5)), {ZR(2)}, (1, STOP)),
 ((2, A(1, 3)), \emptyset , (2, S1(2))),
 ((2, S1(2)), {ZR(2)}, (1, A(1, 4))),
 ((1, A(1, 4)), {ZR(2)}, (1, STOP)) }

Da ein Zuweisungsknoten in einem Programm nur einen Ausgang haben darf, müssen zwischen den Knoten mit mehreren Ausgängen in UG und den Nachfolgeknoten geeignete Tests eingeführt werden. Am einfachsten ist dies zu lösen, indem man

für jeden Knoten K die Einfügungen unabhängig von den anderen vornimmt, d.h.:

- (1) (1, START) hat als einzigen Nachfolger (1, CL(1)).

Es genügt also, für die drei Tripel in UG die Programmtransition

- (i) ((1, START), nil, (1, CL(1)))

in das zu synthetisierende Programm P' aufzunehmen.

- (2) (1, CL(1)) hat zwei Nachfolger. Ein Vergleich der beiden Kantenmarkierungen {ZR(1)} und {ZR(1), ZR(2)} zeigt, daß nur die Testinstruktion ZR(2) beide Wege unterscheiden kann. Da ZR(2) in der zu (1, A(1, 3)) führenden Kantenmarkierung nicht enthalten ist, muß vom einzufügenden Testknoten der false-Ausgang nach (1, A(1, 3)) führen, der true-Zweig analog zu (1, A(1, 4)). Die Programmtransitionen sind:

- (ii) ((1, CL(1)), nil, (1, ZR(2)))
 - (iii) ((1, ZR(2)), true, (1, A(1, 4)))
 - (iv) ((1, ZR(2)), false, (1, A(1, 3)))
- (3) (1, A(1, 3)) hat nur einen Nachfolger; P' enthält:
- (v) ((1, A(1, 3)), nil, (1, S1(2)))

- (4) (1, S1(2)) hat zwei Nachfolger; analog zu (2) folgt, daß eine Testinstruktion ZR(2) eingefügt werden muß. Da die Einfügungen der Testknoten für jeden Knoten unabhängig von anderen vorgenommen werden sollen, wird durch Benutzung der Markierung 2 ein neuer Testknoten erzeugt:

- (vi) ((1, S1(2)), nil, (2, ZR(2)))
- (vii) ((2, ZR(2)), true, (1, A(1, 5)))
- (viii) ((2, ZR(2)), false, (2, A(1, 3)))

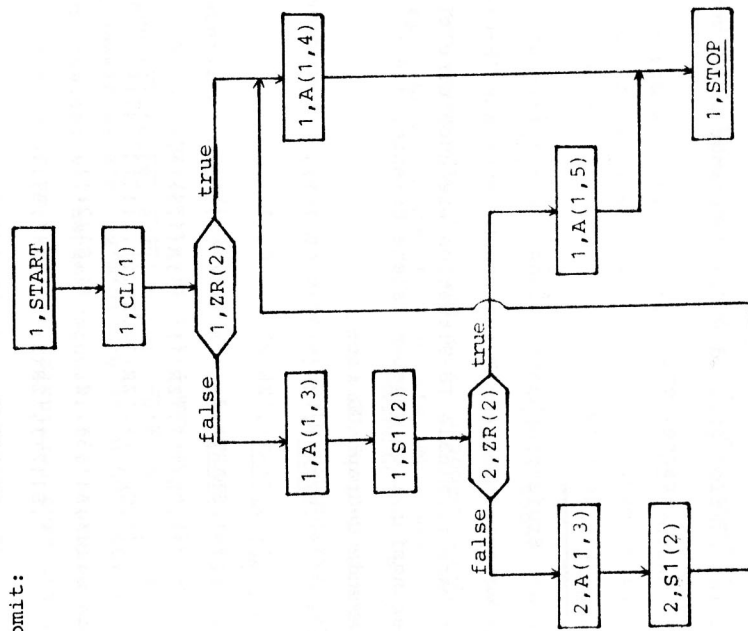
(5) Für $(2, A(1, 3)), (2, S1(2)), (1, A(1, 4))$ und $(1, A(1, 5))$ ergibt

sich analog zu (3):

- (ix) $((2, A(1, 3)), \underline{nil}, (2, S1(2)))$
- (x) $((2, S1(2)), \underline{nil}, (1, A(1, 4)))$
- (xi) $((1, A(1, 4)), \underline{nil}, (1, STOP))$
- (xii) $((1, A(1, 5)), \underline{nil}, (1, STOP))$

Als ein minimales, Q_2 realisierendes Programm P' erhält man

somit:



4.5.3 Nachweis der Realisierungseigenschaften

In Satz 4.11 wird gezeigt, daß ein T-Algorithmus angewandt auf einen U-Graph, der aus einer aus IH-GRAPH(Q) ableitbaren terminalen IH-Situation $IS = (A, R)$ und einer eindeutigen Markierung u für A entsteht, ein Programm P liefert, das Q realisiert.

Satz 4.11

$Q = (b, M)$ sei $PSP, \dim(Q) = (m, (n_1, \dots, n_m))$. $IS = (A, R)$ sei aus $G = IH-GRAPH(Q)$ ableitbare terminale IH-Situation, $A = (V_A, E_A, a, c)$. $UM = (UG, u)$ sei eindeutiges Markierungs-paar für A , $UM \neq U-DUMMY$. T-ALG sei ein T-Algorithmus, $P = T-ALG(b, UG)$. $\{st_1, \dots, st_m\}$ seien die M entsprechenden Anfangsspeicherbelegungen.

Für $i \in \{1, \dots, m\}$ sei:

- $PATH(A, i) = (K_{i,0}, \dots, K_{i,n_i})$

- für $j \in \{1, \dots, n_i\}$ sei:

$(j = 1) \quad s_{i,1} = st_1$

$t_{i,0} = \underline{nil}$

$(j > 1) \quad s_{i,j} = \delta(a(K_{i,j}), s_{i,j-1})$

$t_{i,j-1} = \begin{cases} \gamma(a(K_{i,j-1}), s_{i,j-1}) <=> b \in \{s, ss\} \\ \underline{nil} <=> b \in \{a, as\} \end{cases}$

Behauptung:

$$\forall i \in \{1, \dots, m\}.$$

(1) falls $bc\{s, ss\}$:

$$c(P, st_i) = (u(K_{i,0}), a(K_{i,0})), (t_{i,0}, s_{i,1}), (u(K_{i,1}), a(K_{i,1})), \dots$$

$$\dots, (t_{n_i-1}, s_{n_i}), (u(K_{i,n_i}), a(K_{i,n_i})))$$

(2) falls $bc\{a, as\}$:

es gibt eindeutig bestimmte $TS_{i,0}, \dots, TS_{i,n_i-1}$ mit:

$$c(P, st_i) = ((u(K_{i,0}), a(K_{i,0})), (t_{i,0}, s_{i,1})) \cdot TS_{i,0} \circ ((u(K_{i,1}), a(K_{i,1})),$$

$$(t_{i,1}, s_{i,2})) \cdot TS_{i,1} \circ \dots \circ TS_{i,n_i-1} \circ ((u(K_{i,n_i}), a(K_{i,n_i})))$$

(3) Die in (1) bzw. (2) bestimmte Folge $c(P, st_i)$ ist die

Berechnungsfolge in Standardbezeichnung von P bei st_i bei Realisierung von Q (vgl. Def. 3.4).

Beweis:

Zunächst werden die für den Fall $bc\{a, as\}$ benötigten Teilfolgen $TS_{i,j}$ konstruiert; sei $j \in \{0, \dots, n_i-1\}$. Nach Def. von $PATH(A, i)$ gilt $(K_{i,j}, K_{i,j+1}) \in E$.

Sei $c(K_{i,j}, K_{i,j+1}) = C$; da $UG = U\text{-GRAPH}(A, u)$, ist

$$((u(K_{i,j}), a(K_{i,j})), C, (u(K_{i,j+1}), a(K_{i,j+1}))) \in UG.$$

Da T-ALG T-Algorithmus ist, folgt:

$$\exists X_{i,j}^0, \dots, X_{i,j}^{k(i,j)+1} \in \text{NODES}(P), k(i,j) \geq 0.$$

mit:

$$(X_{i,j}^0 = (u(K_{i,j}), a(K_{i,j})))$$

$$\wedge (X_{i,j}^{k(i,j)+1} = (u(K_{i,j+1}), a(K_{i,j+1})))$$

$$\wedge ((X_{i,j}^0, \underline{nil}, X_{i,j}^1) \in P)$$

$$\wedge (\forall i \in \{1, \dots, k(i,j)\}. \text{INSTR}(X_{i,j}^i) \in \text{TESTS})$$

$$\wedge (\text{INSTR}(X_{i,j}^i) \in C \Rightarrow (X_{i,j}^i, \underline{true}, X_{i,j}^{i+1}) \in P)$$

$$\wedge (\text{INSTR}(X_{i,j}^i) \notin C \Rightarrow (X_{i,j}^i, \underline{false}, X_{i,j}^{i+1}) \in P)$$

Da P ein Programm ist, folgt mit der Eindeutigkeitseigenschaft für Programme (s. Kap. 2) darüberhinaus, daß mit dem obigen die $X_{i,j}^0, \dots, X_{i,j}^{k(i,j)+1}$ eindeutig bestimmt sind.

$TS_{i,j}$ ergibt sich damit aus:

$$TS_{i,j} = (X_{i,j}^1, (t_{i,j}^1, s_{i,j+1}), X_{i,j}^2, (t_{i,j}^2, s_{i,j+1}), X_{i,j}^3, \dots, X_{i,j}^{k(i,j)}, (t_{i,j}^{k(i,j)}, s_{i,j+1}))$$

wobei für $i \in \{1, \dots, k(i,j)\}$

$$t_{i,j}^i = \gamma(\text{INSTR}(X_{i,j}^i), s_{i,j+1})$$

In $TS_{i,j}$ treten nur Testinstruktionen auf, während alle übrigen Instruktionen, die in $c(P, st_i)$ auftreten, keine Tests sind.

Sowohl im Fall $bc\{s, ss\}$ als auch im Fall $bc\{a, as\}$ erfüllen damit die angegebenen Bezeichnungen für $c(P, st_i)$ die Anforderungen für die Standardbezeichnung bei Realisierung von Q. Es bleibt noch zu zeigen, daß in beiden Fällen tatsächlich die vollständige und terminierende Berechnungsfolge von P

bei st_i vorliegt, d.h. im einzelnen (vgl. Def. 2.6):

- (i) $(u(K_{i,0}), a(K_{i,0})) = (1, \underline{START})$
- (ii) $(t_{i,0}, s_{i,0}) = (\underline{nil}, st_i)$
- (iii) $[\forall j \in \{2, \dots, n_i\}]$

$$\Gamma(a(K_{i,j-1}), s_{i,j-1}) = (t_{i,j-1}, s_{i,j})$$

$$\wedge [b \in \{a, as\} \Rightarrow \forall j \in \{0, \dots, n_i-1\}. \forall r \in \{1, \dots, k(i,j)\}]$$

$$\Gamma(INSTR(X_{i,j}^r), s_{i,j+1}) = (t_{i,j}^r, s_{i,j+1}^r)$$

- (iv) $\forall j \in \{0, \dots, n_i-1\}$.

$$[b \in \{s, ss\} \Rightarrow \Phi(P, (u(K_{i,j}), a(K_{i,j})), t_{i,j}) = (u(K_{i,j+1}), a(K_{i,j+1}))]$$

$$[b \in \{a, as\} \Rightarrow \Phi(P, (u(K_{i,j}), a(K_{i,j})), t_{i,j}) = X_{i,j}^1]$$

$$(\forall r \in \{1, \dots, k(i,j)\}. \Phi(P, X_{i,j}^r, t_{i,j}^r) = X_{i,j}^{r+1})$$

- (v) $(u(K_{i,n_i}), a(K_{i,n_i})) = (1, \underline{STOP})$

(i) und (v) gelten nach Satz 3.8 (2); (ii) und (iii) gelten nach Voraussetzung und aufgrund der Definition von $s_{i,j}, t_{i,j}, t_{i,j}^r$. (iv) wird i.f. für die Fälle (1) und (2) getrennt gezeigt.

$$\underline{b \in \{s, ss\}} :$$

$$(j=0) : \Phi(P, (u(K_{i,0}), a(K_{i,0})), t_{i,0}) = \Phi(P, (u(K_{i,0}), a(K_{i,0})), \underline{nil}) \quad [\text{Vor.}]$$

$$= \Phi(P, (u(K_{i,0}), a(K_{i,0})), c(K_{i,0}, K_{i,1})) \quad [\text{Satz 3.8 (5)}]$$

$$= (u(K_{i,0}), a(K_{i,1})) \quad [\text{da } P=U\text{-GRAPH}(A,u)]$$

$$(j>0) : \Phi(P, (u(K_{i,j}), a(K_{i,j})), t_{i,j}) = \Phi(P, (u(K_{i,j}), a(K_{i,j})), \gamma(a(K_{i,j}^r), s_{i,j}^r)) \quad [\text{Vor.}]$$

$$= \Phi(P, (u(K_{i,j}), a(K_{i,j})), c(K_{i,j}, K_{i,j+1})) \quad [\text{Satz 3.8 (3)+(5)}]$$

$$= (u(K_{i,j+1}), a(K_{i,j+1})) \quad [\text{da } P=U\text{-GRAPH}(A,u)]$$

$$\underline{b \in \{a, as\}} :$$

Sei $j \in \{0, \dots, n_i-1\}$.

$$\Phi(P, (u(K_{i,j}), a(K_{i,j})), t_{i,j})$$

$$= \Phi(P, X_{i,j}^0, \underline{nil})$$

$$= X_{i,j}^1$$

[Vor.-+Def. von $TS_{i,j}$]

Falls $k(i,j) = 0$, so ist nichts mehr zu zeigen; sei also $k(i,j) > 0$, $r \in \{1, \dots, k(i,j)\}$. Es gilt:

$$INSTR(X_{i,j}^r) \in TESTS \Rightarrow \gamma(INSTR(X_{i,j}^r), s_{i,j+1}^r) \in \{\underline{true}, \underline{false}\}$$

Aus $t_{i,j}^r = \gamma(INSTR(X_{i,j}^r), s_{i,j+1}^r)$ folgt:

$$t_{i,j}^r = \underline{true} \Rightarrow INSTR(X_{i,j}^r) \in c(K_{i,j}, K_{i,j+1}) \quad [\text{Satz 3.8 (3)+(6)}]$$

$$t_{i,j}^r = \underline{false} \Rightarrow INSTR(X_{i,j}^r) \notin c(K_{i,j}, K_{i,j+1}) \quad [\text{Satz 3.8 (3)+(6)}]$$

$$\Rightarrow (X_{i,j}^r, t_{i,j}^r, X_{i,j}^{r+1}) \in P$$

$$\Rightarrow \Phi(P, X_{i,j}^r, t_{i,j}^r) = X_{i,j}^{r+1}$$

[Def. von $TS_{i,j}$]

Dies schließt den Beweis von Satz 4.11 ab.

Mit Hilfe des Satzes 4.11 kann gefolgert werden, daß unter den gleichen Voraussetzungen das synthetisierte Programm P Q L-realisiert, wenn der vorliegende U-Graph L Knoten enthält.

Satz 4.12

Q = (b,M) sei PSP, G = IH-GRAPH(Q), G ≠ ε;

IS = (A,R) sei aus G ableitbare terminale IH-Situation.

UM = (UG,u) sei eindeutiges Markierungs paar für A,

UM ≠ U-DUMMY, UL(A,u) = L ; T-ALG sei T-Algorithmus.

Behauptung: T-ALG(b,UG) L-realisiert Q .

Beweis:

Aus den Definitionen von L_b und UL ergibt sich

L_b(T-ALG(b,UG)) = UL(A,u). Daß T-ALG(b,UG) Q realisiert, wurde in den Sätzen 3.8 und 4.11 gezeigt.

Gibt es keine andere terminale IH-Situation, für die eine eindeutige Markierung u zu einem U-Graphen mit weniger als L Knoten führt, so stellt bei sonst gleichen Voraussetzungen wie in Satz 4.12 das erhaltene Programm P eine minimale Realisierung von Q dar.

Satz 4.13

Q = (b,M) sei PSP, G = IH-GRAPH(Q), G ≠ ε ;

IS = (A,R) sei aus G ableitbare terminale IH-Situation.

UM = (UG,u) sei eindeutiges Markierungs paar für A,

UM ≠ U-DUMMY, UL(A,u) ≤ L ; T-ALG sei T-Algorithmus.

Weiterhin gelte:

∀ IS'. IS' = (A',R') ist aus G ableitbare terminale IH-Situation.
(∀ u. u eindeutige Markierung für A => UL(A,u) ≥ L)

Behauptung: T-ALG(b,UG) ist minimal bzgl. Q .

Beweis:

Aus den Voraussetzungen folgt sofort, daß UL(A,u) = L .

Nach Satz 4.12 L-realisiert P = T-ALG(b,UG) Q . Es bleibt somit zu zeigen:

$$\forall P' \in \text{PROGRAMS}. P' \text{ realisiert } Q \Rightarrow L_b(P) \leq L_b(P')$$

Widerspruchsannahme:

$$\exists P' \in \text{PROGRAMS}. P' \text{ realisiert } Q \wedge L_b(P) > L_b(P')$$

Sei (V',E',a',c',u') = R-GRAPH(P',Q) [vgl. Def. 3.10],

A' = (V',E',a',c'), R' = (∅,∅,∅,∅).

Nach Satz 3.9 gilt:

(i) (A',R') ist aus G ableitbare terminale IH-Situation.

(ii) u' ist eindeutige Markierung für A'.

(iii) UL(A',u') = L_b(P')

$$\Rightarrow UL(A',u') < L_b(P) = UL(A,u) = L$$

im Widerspruch zur Voraussetzung.

Die in diesem Kapitel beschriebenen Strategien und Methoden werden im PSA PA benutzt, wobei die angegebenen Sätze als Grundlage für den formalen Korrektheitsbeweis von PA dienen.

Kapitel 5 DER PROGRAMMSYNTHESEALGORITHMUS PA

In Abschnitt 5.1 wird PA mit Hilfe der in Kap. 3 und 4 erarbeiteten Darstellungsarten und Vorgehensweisen definiert. Nach einem formalen Korrektheitsbeweis für PA in 5.2 wird nachgewiesen, daß PA die von einem PSA geforderten Eigenschaften besitzt. Anhand eines Beispiels wird PA in 5.3 erläutert, und in 5.4 folgen Hinweise darauf, wie dieser Programmsynthesealgorithmus günstig implementiert werden kann.

5.1 Definition von PA

Zu Anfang von Kapitel 4 war bereits ein Überblick über den Algorithmus PA gegeben worden. Die bei der Ausführung von PA anfallenden Zwischenwerte werden in einer Datenstruktur ASTACK der Art Keller gespeichert. Bei Verschiebung der Front nach rechts wird der Keller um 1 Element erweitert (PUSH-Operation) und die Frontnummer FNR um 1 erhöht; bei Frontverschiebung nach links wird ein Kellerelement entfernt (POP-Operation) und FNR um 1 dekrementiert, während die Initialwerte für FNR und ASTACK 0 bzw. empty sind. So- wohl FNR = 0 als auch ASTACK = empty zeigen mithin an, daß es sich um die erste Front handelt.

Ein einzelnes Kellerelement selbst ist ein Quadrupel bestehend aus einer IH-Situation IS, zugehöriger LB-Situation, dem Hypothesenraum HR an der Front von IS und der aus HR zuletzt gewählten Hypothese H.

Der Sonderfall, daß es für ein realisierbares PSP Q nur eine einzige terminale IH-Situation gibt (das trifft bei $be\{s,a\}$ zu, bei $be\{ss,as\}$ i.a. nicht, ist aber auch dort möglich), wird in PA gesondert behandelt [vgl. Abb. 5.1.-b-], es entfällt nämlich das Aufstellen der Instruktionshypothesen. Gibt es mehr als eine terminale IH-Situation, so wird wie in Abschnitt 4.1 skizziert verfahren [vgl. Abb. 5.1-c-].

Definition 5.1

- (1) ASTACK bezeichnet einen Keller, dessen Elemente 4-Tupel der Art (IS, LB, HR, H) sind, wobei IS eine IH-Situation, LB eine LB-Situation, HR ein Hypothesenraum und H eine Hypothese aus HR ist. Die auf ASTACK erklärten Operationen sind wie üblich definiert:

PUSH = $\lambda el. \lambda st. (el, st)$
 POP = $\lambda st. st = (el, st') \rightarrow st'$
 TOP = $\lambda st. st = (el, st') \rightarrow el$

Der leere Keller wird mit empty bezeichnet.

- (2) INIT-VALUES(G) bezeichnet für einen IH-Graphen G das

5-Tupel (L, FNR, IS, LB, ASTACK) mit:

- (i) FNR = 0
- (ii) IS = GSUC(IH-INIT(G), INSTRUCTIONS)
- (iii) LB = LB-SIT(G, IS)
- (iv) LB = (Lmin, Lbr, Lb, d, IM, l) => L = Lmin
- (v) ASTACK = empty

- (3) U-ALG ist ein U-Algorithmus.

- (4) T-ALG ist ein T-Algorithmus.

- (5) TERMINAL(G, IS) ist ein boolescher Ausdruck, für den gilt:

TERMINAL(G, IS) = true <=> IS ist aus G ableitbare terminale IH-Situation

- (6) GE(L, LB) ist ein boolescher Ausdruck, für den gilt:

$GE(L, LB) = \underline{\text{true}} \iff (LB \neq \epsilon) \wedge (LB = (Lmin, Lbr, Lb, d, IM, l) \Rightarrow L \supseteq Lmin)$

- (7) PA ist der in Abb. 5.1 a-c dargestellte Programmsynthesealgorithmus.

Eine wichtige Anmerkung ist noch zu machen. PA ist unabhängig von dem einer Beispielfolgenmenge zugrunde liegenden Berechnungsmodell und dessen Instruktions- und Speicherstruktur konzipiert. Demzufolge sind auch die Mengen STORES, ASSIGNMENTS und TESTS Eingabeparameter für PA, da sie bei der Berechnung des IH-Graphen G des eingegebenen PSP benötigt werden [vgl. Kap. 3], der Einfachheit halber soll aber an dieser Stelle hierauf nicht weiter eingegangen werden; liegt nämlich G vor, so sind in G alle für die weitere Programmsynthese notwendigen Informationen vollständig enthalten.

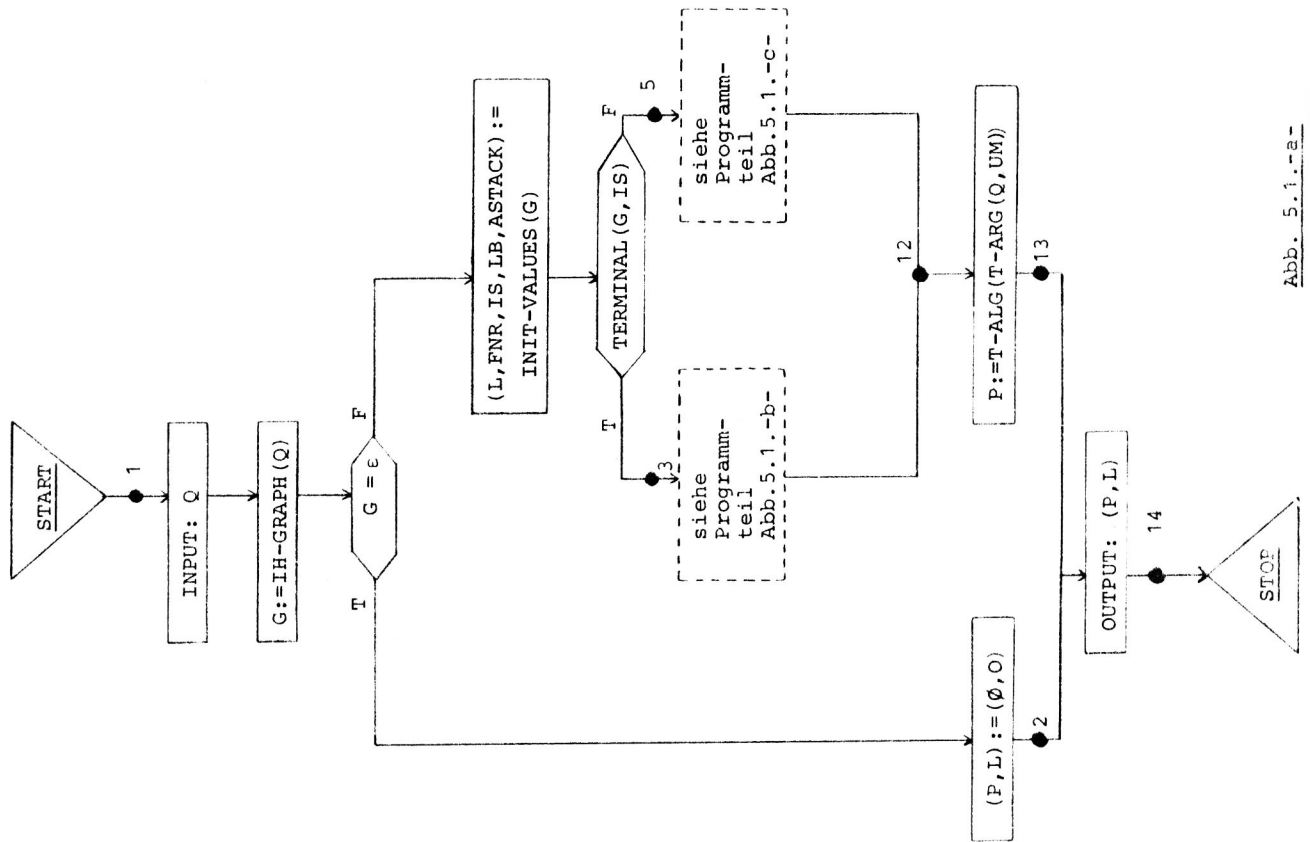


Abb. 5.1.1-a-

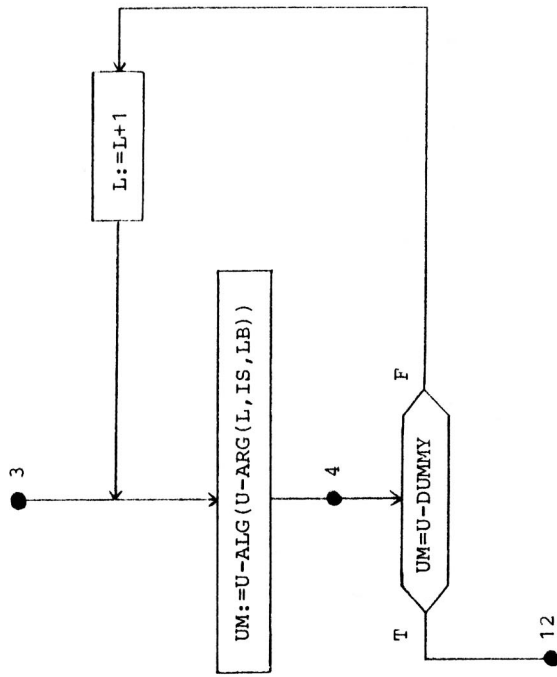


Abb. 5.1.1-b-

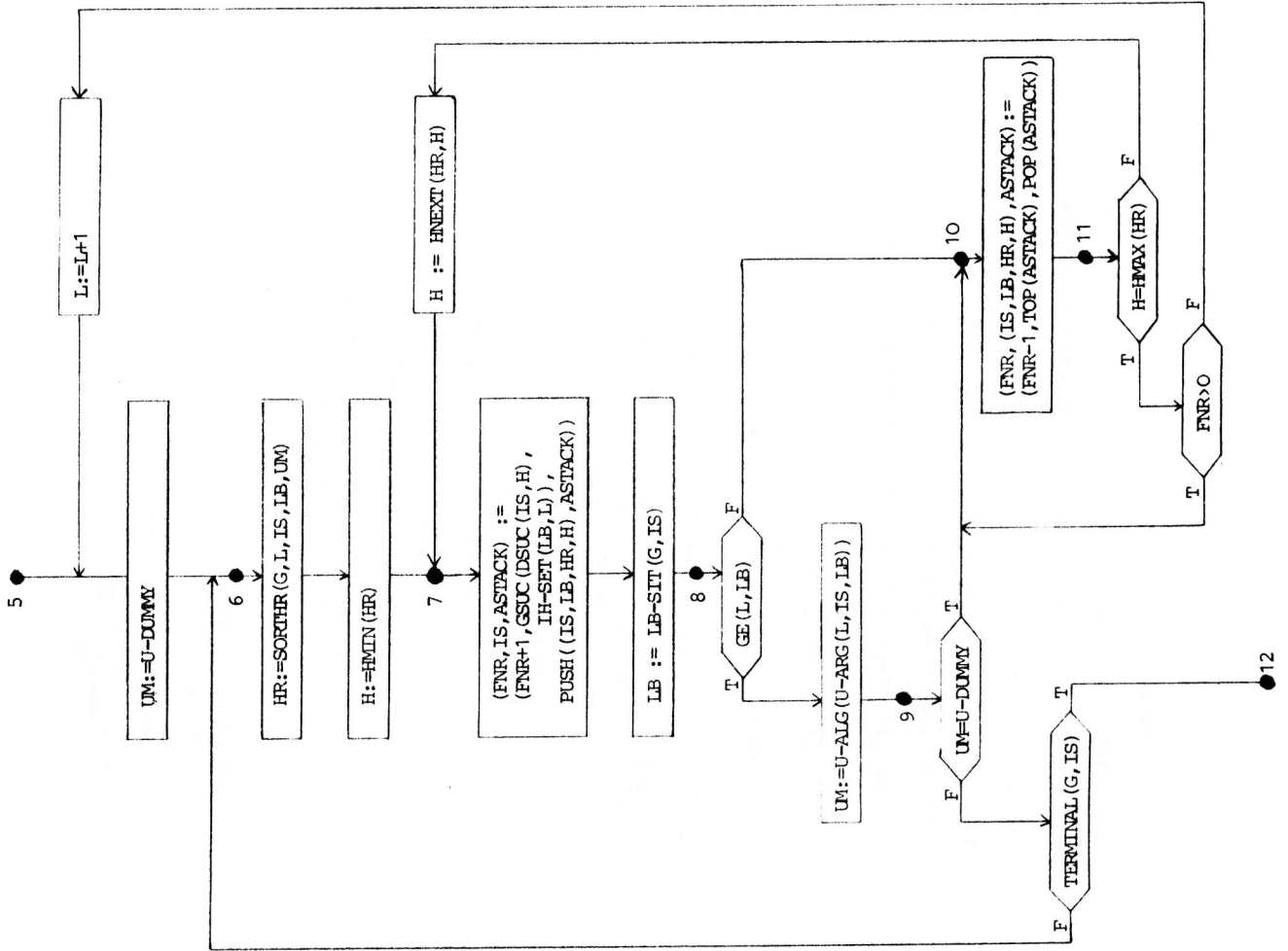


Abb. 5.1 -C-

5.2 Nachweis der Eigenschaften von PA

Ist Q ein endliches PSP, so liefert PA(Q) ein Q realisierendes minimales Programm P, wenn Q überhaupt realisierbar ist, sonst liefert PA(Q) die leere Menge. Diese Aussage wird in Satz 5.1 bewiesen.

Satz 5.1

Die Prädikate IN und OUT seien definiert durch:

$$IN(Q) = \underline{\text{true}} \iff Q \in \text{PSP}_{I,S}^{\text{fin}}$$

$$OUT(Q, P, L) = \underline{\text{true}} \iff [P = \emptyset \Rightarrow L = \emptyset \wedge \exists Q(Q \text{ ist realisierbar})]$$

$$[P \neq \emptyset \Rightarrow P \text{ L-realisiert } Q]$$

$\wedge P$ ist minimal bzgl. Q

Behauptung: PA ist total korrekt bzgl. IN und OUT.

Beweis:

Der Beweis gliedert sich in Teil I (partielle Korrektheit) und Teil II (Terminierung).

Teil I: partielle Korrektheit

Die partielle Korrektheit von PA bzgl. IN und OUT wird mit Hilfe der Methode der induktiven Zusicherungen (IAM - inductive-assertions method [Manna 1974]) bewiesen. Die in Abb. 5.1 a-c eingezeichneten Schnittpunkte 1 - 14 schneiden die Kanten von PA so, daß es keinen zyklischen Teilpfad in PA gibt, der nicht mindestens einen Schnittpunkt hat;

darüberhinaus gibt es einen Schnittpunkt unmittelbar nach dem START- und einen unmittelbar vor dem STOP-Knoten. Bevor die den Schnittpunkten zugeordneten Zusicherungen ASS1, ..., ASS14 angegeben werden, werden zur Vereinfachung zunächst einige Prädikate definiert, aus denen die ASSi dann aufgebaut werden können. Die 'Bedeutung' dieser Prädikate ist jeweils in informeller Weise mit angegeben.

1. "G ist IH-Graph von Q"

$$\text{IHG}(Q,G) \equiv Q \in \text{PSPfin} \wedge G = \text{IH-GRAPH}(Q) \wedge G \neq \epsilon$$

2. "L ist untere Grenze für eindeutige Markierung von IS"

$$\text{LBIS}(G,L,IS) \equiv IS \text{ ist aus } G \text{ ableitbare IH-Situation} \\ \wedge (\forall IS'. IS'=(A',R') \text{ ist term. Nachfolger von IS.} \\ (\forall u. u \text{ ist eindeutige Markierung für } A' \\ \Rightarrow \text{UL}(A',u) \cong L))$$

3. "Ist L untere Grenze für IS, dann auch für IS' "

$$\text{LBIMPL}(G,L,IS,IS') \equiv \text{LBIS}(G,L,IS) \Rightarrow \text{LBIS}(G,L,IS')$$

4. "L ist untere Grenze für G"

$$\text{LBG}(G,L) \equiv \text{LBIS}(G,L, \text{IH-INIT}(G))$$

5. "Es existiert ein terminaler Nachfolger von IS"

$$\text{ETERM}(G,IS) \equiv \exists IS'. (IS' \text{ ist aus } G \text{ ableitbare terminale IH-Situation}) \wedge (IS' \text{ ist Nachfolger von IS})$$

6. "LB ist LB-Situation von IS"

$$\text{LBS}(G,IS, \text{LB}) \equiv IS \text{ ist aus } G \text{ ableitbare IH-Situation} \\ \wedge \text{LB} = \text{LB-SIT}(G,IS)$$

7. "u ist eindeutige Markierung für A und respektiert d"

$$\text{ULAD}(A,u,d) \equiv u \text{ ist eindeutige Markierung für } A \\ \wedge [A = (V,E,a,c) \Rightarrow \\ \forall K \in V (\forall K' \in d(K). u(K) \neq u(K'))]$$

8. "HR ist vollständiger Hypothesenraum für IS"

$$\text{CHR}(G,L,IS, \text{HR}, \text{LB}, \text{UM}) \equiv \text{HR} = \text{SORTHR}(G,L,IS, \text{LB}, \text{UM}) \\ \wedge [\forall H \in \text{FIH}_G(IS). \\ H \neq \text{HR} \Rightarrow \text{LBIS}(G,L+1, \text{DSUC}(IS,H))]$$

9. "Hypothesen kleiner als H im L-Suchraum nicht mehr relevant"

$$\text{NRH}(G,L,IS, \text{HR}, H) \equiv \forall H' \in \text{HR}. H' <_{\text{HR}} H \Rightarrow \\ \text{LBIS}(G,L+1, \text{DSUC}(IS,H'))$$

10. "UM ist eindeutiges Markierungspaar"

$$\text{UMP}(IS,UM) \equiv IS = (A,R) \Rightarrow \text{UM ist eindeutiges Markierungs-} \\ \text{paar für } A$$

11. "Stackinvariante"

$$\text{SIV}(G,L, \text{FNR}, \text{ASTACK}) \equiv \\ [\forall i \in \{0, \dots, \text{FNR}-1\}. \text{TOP}(\text{POP}^i(\text{ASTACK})) = (IS, \text{LB}, \text{HR}, H) \\ \Rightarrow \text{LBIS}(G,L,IS) \\ \wedge \text{LBS}(G,IS, \text{LB}) \\ \wedge \neg \text{TERMINAL}(G,IS)]$$

- \wedge ETERM(G, IS)
 \wedge NRH(G, L, IS, HR, H)
 \wedge CHR(G, L, IS, HR)]
 \wedge [$\forall_{i \in \{1, \dots, \text{FNR}-1\}}$.
 TOP(POPⁱ⁻¹(ASTACK)) = (IS, LB, HR, H)
 \wedge TOP(POPⁱ(ASTACK)) = (IS', LB', HR', H')
 \Rightarrow LBIMPL(G, L+1, IS, DSUC(IS', H'))]
 \wedge [FNR > 0 \Rightarrow
 (TOP(POP^{FNR-1}(ASTACK)) = (IS, LB, HR, H)
 \Rightarrow LBIMPL(G, L+1, IS, IH-INIT(G)))]
 \wedge [POP^{FNR}(ASTACK) = empty]
 SIVIS(G, L, FNR, IS, ASTACK) \equiv
 [FNR=0 \Rightarrow LBIMPL(G, L+1, IS, IH-INIT(G))]
 \wedge [FNR>0 \Rightarrow (TOP(ASTACK) = (IS', LB', HR', H')
 \Rightarrow LBIMPL(G, L+1, IS, DSUC(IS', H')))]]
12. "Stackinvariante bzgl. aktuellem IS"
SIVIS(G, L, FNR, IS, ASTACK) \equiv
 [FNR=0 \Rightarrow LBIMPL(G, L+1, IS, IH-INIT(G))]
 \wedge [FNR>0 \Rightarrow (TOP(ASTACK) = (IS', LB', HR', H')
 \Rightarrow LBIMPL(G, L+1, IS, DSUC(IS', H')))]]
13. "Nachbedingung für U-Algorithmus"
UPOSTC(L, IS, LB, UM) \equiv
 IS=(A, R) \wedge LB = (Lmin, Lbr, Lb, d, IM, l) \wedge UM=(UG, u) \Rightarrow
 [UG= \emptyset \Rightarrow ($\forall u$. ULAD(A, u, d) \Rightarrow $\sum_{I \in IM} \max\{\text{Lb}(I), \text{UL}(A, u, I)\} > \text{L-Lbr}$)]
 \wedge [UG $\neq \emptyset$ \Rightarrow ULAD(A, u, d) \wedge $\sum_{I \in IM} \max\{\text{Lb}(I), \text{UL}(A, u, I)\} \leq \text{L-Lbr}$]

14. "Invariante für Programmteil Abb. 5.1 -b-"

INV1(Q, G, L, IS, LB) \equiv IHG(Q, G)
 \wedge LBG(G, L)
 \wedge LBIS(G, L, IS)
 \wedge LBS(G, IS, LB)
 \wedge GE(L, LB)
 \wedge TERMINAL(G, IS)

15. "Invariante für Programmteil Abb. 5.1 -c-"

INV2(Q, G, L, FNR, IS, LB, ASTACK) \equiv
 IHG(Q, G)
 \wedge LBG(G, L)
 \wedge LBIS(G, L, IS)
 \wedge LBS(G, IS, LB)
 \wedge SIV(G, L, FNR, ASTACK)
 \wedge SIVIS(G, L, FNR, IS, ASTACK)
 \wedge FNR \equiv 0

Mit den so definierten Prädikaten werden die benötigten induktiven Zusicherungen Assi i.f. angegeben, wobei zur Vereinfachung die Argumente auf der linken Seite nicht explizit mit aufgeführt sind.

ASS1 := $IN(Q)$
 ASS2 := $(P, L) = (\emptyset, O) \wedge \neg(Q \text{ ist realisierbar})$
 ASS3 := $INV1(Q, G, L, IS, LB)$
 ASS4 := $INV1(Q, G, L, IS, LB) \wedge UMP(IS, UM) \wedge UPOSTC(L, IS, LB, UM)$
 ASS5 := $INV2(Q, G, L, FNR, IS, LB, ASTACK)$
 $\wedge \neg TERMINAL(G, IS) \wedge ETERM(G, IS) \wedge GE(L, LB)$
 ASS6 := $INV2(Q, G, L, FNR, IS, LB, ASTACK)$
 $\wedge \neg TERMINAL(G, IS) \wedge ETERM(G, IS) \wedge GE(L, LB)$
 $\wedge UMP(IS, UM)$
 ASS7 := $INV2(Q, G, L, FNR, IS, LB, ASTACK)$
 $\wedge \neg TERMINAL(G, IS) \wedge ETERM(G, IS)$
 $\wedge CHR(G, L, IS, HR, LB, UM)$
 $\wedge NRH(G, L, IS, HR, H)$
 ASS8 := $INV2(Q, G, L, FNR, IS, LB, ASTACK)$
 $\wedge (FNR > O) \wedge (ASTACK \neq \text{empty})$
 ASS9 := $INV2(Q, G, L, FNR, IS, LB, ASTACK)$
 $\wedge (FNR > O) \wedge (ASTACK \neq \text{empty})$
 $\wedge ETERM(G, IS) \wedge GE(L, LB)$
 $\wedge UMP(IS, UM) \wedge UPOSTC(L, IS, LB, UM)$
 ASS10 := $INV2(Q, G, L, FNR, IS, LB, ASTACK)$
 $\wedge (FNR > O) \wedge (ASTACK \neq \text{empty})$
 $\wedge LBIS(G, L+1, IS)$

ASS11 := $INV2(Q, G, L, FNR, IS, LB, ASTACK)$
 $\wedge \neg TERMINAL(G, IS) \wedge ETERM(G, IS)$
 $\wedge CHR(G, L, IS, HR, LB, UM)$
 $\wedge NRH(G, L, IS, HR, H)$
 $\wedge LBIS(G, L+1, DSUC(IS, H))$
 ASS12 := $IHG(Q, G) \quad LBG(G, L) \quad TERMINAL(G, IS)$
 $\wedge UMP(IS, UM) \wedge (UM \neq U-DUMMY)$
 $\wedge (UM = (UG, u) \wedge IS = (A, R) \Rightarrow UL(A, u) \leq L)$
 ASS13 := $(P \neq \emptyset) \wedge (P \text{ L-realisiert } Q) \wedge (P \text{ ist minimal bzgl. } Q)$
 ASS14 := $OUT(Q, P, L)$

Als letzter Schritt für den Nachweis der partiellen Korrektheit müssen die Verifikationsbedingungen gezeigt werden. Es gibt in PA 21 Pfade zwischen 2 Schnittpunkten ohne einen dazwischenliegenden Schnittpunkt. Wird ein Pfad von Schnittpunkt i nach Schnittpunkt j mit (i, j) bezeichnet, so gilt:

1. Für die Pfade $(2, 14), (4, 12), (5, 6), (9, 6), (9, 12), (10, 11)$ und $(13, 14)$ ist der Nachweis der Verifikationsbedingungen trivial bzw. folgt aus der Anwendung des Zuweisungsaxioms.
2. Für die Pfade $(3, 4), (4, 4)$ und $(8, 9)$ genügt ebenfalls das Zuweisungsaxiom bei Beachtung der Definitionen 4.6 und 5.1 .

3. Für die übrigen Pfade gibt die folgende Tabelle die jeweiligen Sätze an, aus denen die entsprechenden Verifikationsbedingungen folgen:

Pfad	Verifikationsbedingung folgt aus:
(1, 2)	Satz 3.5 und Def. 3.8
(1, 3)	Sätze 3.7 (6) und 4.6
(1, 5)	Sätze 3.7 (6) und 4.6
(6, 7)	Satz 4.10
(7, 8)	Satz 4.9
(8, 10)	Satz 4.6
(9, 10)	Satz 4.7
(11, 6)	Satz 4.10
(11, 7)	Satz 4.10
(11, 10)	Satz 4.10
(12, 13)	Sätze 4.12 und 4.13

(Bemerkung: W kann also für unterschiedliche Eingaben Q u.U. verschiedene Dimensionen annehmen.)

Die für den Nachweis der Terminierung notwendigen Parameter sind i.w. der Suchraumindex L, die Anzahl der Fronten FNR und die aktuelle Hypothese H. Dabei wird ausgenützt, daß es an einer Front nur endlich viele verschiedene Hypothesen gibt, daß die Anzahl der Fronten und die Größe des Suchraumindex beschränkt sind und daß eine Konstellation mit gleichem Index L, gleicher Frontnummer FNR und gleicher Hypothese H höchstens ein einziges Mal bei Ausführung von PA(Q) auftreten kann.

Sei $G = \text{IH-GRAPH}(Q)$, $G = (b, V, E, f, g, t)$, $G \neq \epsilon$.

$$\text{ubV}(G) := |V|$$

$$\text{ubH}(G) := 1 + \prod_{K \in V} |f(K)|$$

Damit gilt:

1. $\text{ubV}(G)$ ist eine triviale obere Grenze für den Suchraumindex L: für ein minimales Programm P, das Q realisiert, gilt sicherlich: $L_b(P) < \text{ubV}(G)$.

2. $\text{ubH}(G)$ ist eine triviale obere Grenze für die Mächtigkeit der während der Ausführung von PA(Q) erzeugten Hypothesenräume HR (vgl. Def. 4.5). Für alle diese HR gilt: $|f(H|H \in \text{HR})| < \text{ubH}(G)$.

Teil II: Terminierung

Mit Hilfe der Methode der wohlbegründeten Mengen (well-founded-sets method [Manna 1974]) wird gezeigt, daß PA über dem Eingabepredikat IN terminiert. Hierzu sind zunächst einige Vorüberlegungen notwendig.

Sei $\text{IN}(Q) = \text{true}$, $\text{dim}(Q) = (m, (n_1, \dots, n_m))$ und $n = \max\{n_1, \dots, n_m\}$. N bezeichne die Menge der nicht-negativen ganzen Zahlen. Die in diesem Beweis benützte wohlbegründete Menge W ist die Menge aller $(n+1)$ -Tupel über N mit der üblichen lexikographischen Ordnung: $W = (N^{n+1}, <, n+1)$.

3. n ist eine obere Grenze für die Werte, die FNR während der Ausführung von PA(Q) annehmen kann; für alle diese FNR gilt: $FNR < n$.

Insbesondere gilt an den Schnittpunkten 7 und 11 immer: $FNR < n - 1$.

Außerdem werden noch einige weitere Hilfsdefinitionen benötigt. Für $H \in HR$ gebe $F(HR, H)$ an, an wievielter Stelle H in dem durch \prec_{HR} geordneten Hypothesenraum HR steht, wobei $HMAX(HR)$ die 1. Stelle zugeordnet wird; für $j \in \{1, \dots, n\}$ gebe $F_j(G, FNR, HR, H, ASTACK)$ diese Information für die j-te Front der i.w. durch ASTACK repräsentierten Abarbeitungssituation an; d.h.:

$$F(HR, H) = i+1 \iff HR = \{H_1, \dots, H_i\} \\ \wedge H_1 \prec_{HR} \dots \prec_{HR} H_i \\ \wedge H = H_{i-1}$$

Für $j \in \{1, \dots, n\}$ sei:

$$F_j(G, FNR, HR, H, ASTACK) = \begin{cases} F(HR', H') \iff j \leq FNR \wedge TOP(POP^{FNR-j}(ASTACK)) \\ = (IS', LB', HR', H') \\ F(HR, H) \iff j = FNR+1 \\ ubH(G) \iff j > FNR+1 \end{cases} \\ F_j'(G, FNR, HR, H, ASTACK) = \begin{cases} F_j(G, FNR, HR, H, ASTACK) \iff j \leq FNR + 1 \\ 0 \iff j > FNR + 1 \end{cases}$$

Nach diesen Vorüberlegungen können die vier Teilschritte der Methode der wohlbegründeten Mengen durchgeführt werden.

Schritt 1: "Schneide alle Schleifen"

Die Schnittpunkte 4,7 und 11 aus Abb. 5.1 werden benutzt. Jeder zyklische Teilpfad von PA geht durch mindestens einen dieser Schnittpunkte.

Schritt 2: "Ordne den Schnittpunkten 'good assertions' zu"

Die gesuchten Zusicherungen werden mit GA4, GA7 und GA11 bezeichnet und sind definiert durch:

$$GA4 := ASS4 \wedge (L < ubV(G)) \\ GA7 := ASS7 \wedge (L < ubV(G)) \wedge (FNR < n-1) \wedge (F(HR, H) < ubH(G)) \\ \wedge (\forall i \in \{1, \dots, n\}. F_i(G, FNR, HR, H, ASTACK) \geq 0) \\ GA11 := ASS11 \wedge (L < ubV(G)) \wedge (FNR < n-1) \wedge (F(HR, H) < ubH(G)) \\ \wedge (\forall i \in \{1, \dots, n\}. F_i'(G, FNR, HR, H, ASTACK) \geq 0)$$

Daß diese GAI die Bedingungen einer "good inductive assertion" erfüllen, wird leicht durch die in Teil I beschriebene Vorgehensweise gezeigt.

Schritt 3: "Ordne den Schnittpunkten 'good functions' zu"

Die Funktionen werden mit GF4, GF7 und GF11 bezeichnet; bei ihrer Definition werden wie bei den Definitionen der ASSi und der GAI die Argumente nicht explizit mit angegeben; sie ergeben sich implizit - wie oben auch - durch die auf der rechten Seite vorkommenden Variablennamen.

$$GF4 := (ubV(G) - L, O, O, \dots, O) \\ GF7 := (ubV(G) - L, F_1(G, FNR, HR, H, ASTACK), \dots, F_n(G, FNR, HR, H, ASTACK))$$

GF11 := (ubV(G)-L, F'_1(G, FNR, HR, H, ASTACK), ...
 ..., F'_n(G, FNR, HR, H, ASTACK))

Aus den zusätzlich zu ASSi in GAi hinzugenommenen Zusicherungen folgt direkt, daß diese GFi die Bedingungen einer "good partial function" erfüllen und in die durch $W = (N^{n+1}, <, r_{n+1})$ gegebene wohlbegründete Menge abbilden.

Schritt 4: "Zeige, daß die Terminierungsbedingungen erfüllt sind"

Es gibt 7 verschiedene Pfade, die für Schritt 4 relevant sind:

- PF1 - von 4 nach 4
- PF2 - von 7 über 8 und 10 nach 11
- PF3 - von 7 über 8,9 und 10 nach 11
- PF4 - von 7 über 8,9 und 6 nach 7
- PF5 - von 11 über 10 nach 11
- PF6 - von 11 nach 7
- PF7 - von 11 über 6 nach 7

Zur Vereinfachung sei folgendes vereinbart:
 Betrachtet man den Pfad PF1 und geht dieser Pfad vom Schnittpunkt i zum Schnittpunkt j, so bezeichne (G', L', FNR', HR', H', ASTACK') die sich aus (G, L, FNR, HR, H, ASTACK) und dem Pfadeffekt von PF1 ergebenden Werte; darüber hinaus sei:

GFi(G, L, FNR, HR, H, ASTACK) = (Y, X_1, ..., X_n) = w

GFj(G', L', FNR', HR', H', ASTACK') = (Y', X'_1, ..., X'_n) = w'

Mit diesen Bezeichnungen ist also die unter GAi und der Pfadbedingung von PF1 zu zeigende Terminierungsbedingung:

$$w >_{n+1} w'$$

zu PF1: Es gilt: G' = G

$$L' = L + 1$$

$$\Rightarrow w = (ubV(G)-L, O, \dots, O)$$

$$>_{n+1} (ubV(G)-(L+1), O, \dots, O) = w'$$

zu PF2 und PF3:

$$(G', L', FNR', HR', H', ASTACK') = (G, L, FNR, HR, H, ASTACK)$$

$$\Rightarrow Y = Y'$$

$$\bigvee_{i \in \{1, \dots, FNR+1\}} X_i = X'_i$$

Da wegen GA7 FNR + 2 ≤ n :

$$X_{FNR+2} = ubH(G) > 0 = X'_{FNR+2}$$

$$\Rightarrow w >_{n+1} w'$$

zu PF4:

$$G' = G$$

$$L' = L$$

$$FNR' = FNR + 1$$

$$ASTACK' = PUSH((IS, LB, HR, H), ASTACK)$$

$$\Rightarrow Y = Y'$$

$$\bigvee_{i \in \{1, \dots, FNR+1\}} X_i = X'_i$$

$$\begin{aligned}
 X_{FNR+2}' &= \text{ubH}(G) && \text{[wegen GA7]} \\
 &> F(HR', H') \\
 &= X_{FNR+1}' \\
 &= X_{FNR+2}' \\
 \Rightarrow w >_{n+1} w'
 \end{aligned}$$

zu PF5:

$$\begin{aligned}
 G' &= G \\
 L' &= L
 \end{aligned}$$

$$FNR' = FNR - 1$$

$$ASTACK' = \text{POP}(ASTACK)$$

$$(IS', LB', HR', H') = \text{TOP}(ASTACK)$$

$$\Rightarrow Y = Y'$$

$$\forall i \in \{1, \dots, FNR\}. X_i = X_i'$$

$$\begin{aligned}
 X_{FNR+1}' &= F(HR, H) \\
 &= F(HR, HMAX(HR)) && \text{[nach Pfadbedingung]} \\
 &= 1 && \text{[Def. von F]} \\
 &> 0
 \end{aligned}$$

$$\begin{aligned}
 &= F_{FNR'+2}'(G', L', FNR', HR', H', ASTACK') \\
 &= X_{FNR'+2}' \\
 &= X_{FNR+1}'
 \end{aligned}$$

$$\Rightarrow w >_{n+1} w'$$

zu PF6:

$$\begin{aligned}
 G' &= G \\
 L' &= L
 \end{aligned}$$

$$FNR' = FNR$$

$$HR' = HR$$

$$H' = \text{HNEXT}(HR, H)$$

$$\begin{aligned}
 \Rightarrow Y &= Y' \\
 \forall i \in \{1, \dots, FNR\}. X_i &= X_i' \\
 X_{FNR+1}' &= F(HR, H) \\
 &> F(HR, H) + 1 \\
 &= F(HR, \text{HNEXT}(HR, H)) \\
 &= F(HR', H') = X_{FNR+1}'
 \end{aligned}$$

$$\Rightarrow w >_{n+1} w'$$

zu PF7:

$$G' = G$$

$$L_i' = L + 1$$

$$\Rightarrow Y = \text{ubV}(G) - L$$

$$> \text{ubV}(G) - (L+1)$$

$$= \text{ubV}(G') - L'$$

$$= Y'$$

$$\Rightarrow w >_{n+1} w'$$

Durch den Nachweis aller Terminierungsbedingungen ist hiermit der Beweis von Teil II und damit auch der des Satzes 5.1 erfolgreich abgeschlossen.

In den Aussagen des folgenden Satzes werden die Eigenschaften von PA zusammengefaßt, die nach den in Abschnitt 2.4 aufgestellten Zielsetzungen ein PSA erfüllen sollte.

Satz 5.2

PA erzeugt aus $PSP_{I,S}^{fin}$

- (1) fehlerfreie
- (2) minimale

Beispielsrealisierungen und ist bzgl. PROGRAMS

- (3) korrekt
- (4) vollständig
- (5) lösungsminimal.

Beweis:

(1) und (2) wurden in Satz 5.1 gezeigt, (3) und (5) sind leichte Folgerungen daraus; zu (4) folgende Überlegungen. P sei ein Programm, C_1, C_2, C_3, \dots eine Aufzählung der terminierenden vollständigen Berechnungsfolgen von P, $b \in \{s, a, ss, as\}$. Zu zeigen ist, daß ein endliches Präfix von C_1, C_2, \dots für PA genügt, um ein Programm P' zu erzeugen, das b-getreue Extension von P ist, also jede terminierende Berechnungsfolge von P auch terminierende Berechnungsfolge von P' ist.

Betrachtet man für $i \in \mathbb{N}$ die $PSP Q_i = GPSP(b, \{C_1, \dots, C_i\})$ (vgl. Def. 2.18), die IH-Graphen $G_i = IH-GRAPH(Q_i)$ und die Programme $P_i = PA(Q_i)$, so kann man die Folge P_1, P_2, P_3, \dots

als eine immer bessere Annäherung an das Programm P (bzw. P') ansehen. Ab einem bestimmten Index r unterscheiden sich die Programme P_r , ($r' \geq r$) nicht mehr von P, das somit identisch ist mit dem Zielprogramm P'.

Da die auf STORES definierte Äquivalenzrelation R

$$(s, s') \in R \iff \bar{Y}(s, true) = \bar{Y}(s', true)$$

eine endliche Zerlegung von STORES induziert, ist die bei der Bestimmung der Stufengraphdarstellung der Instruktionenmatrix der Q_i (vgl. Def. 3.5) erzeugte Anzahl der Knoten einer jeden Stufe beschränkt. Bezeichnet für $i \geq 1, j \geq 0$ X_i^j die Menge der Knoten der Stufe j im IH-Graphen G_i :

$$X_i^j = \{K | K \text{ ist Knoten von } G_i \wedge LEVEL(K) = j\}$$

so gilt also:

$$\forall j \in \mathbb{N}. \exists Y_j \in \mathbb{N}. \forall i \in \mathbb{N}. |X_i^j| \leq Y_j$$

Zwei Fälle sind zu unterscheiden:

1. Gibt es eine obere Schranke n für die Länge der Berechnungsfolgen von P, so werden ab einem r die Indizes aller weiteren Berechnungsfolgen redundant sein (im Sinne von Def. 3.8) und in den G_i nicht mehr auftreten. Daher gilt:

$$\exists r \in \mathbb{N}. \forall i \geq r. \forall j \in \{0, \dots, n\}. X_i^j = X_r^j$$

Ab einem r' unterscheiden sich die Knoten der G_i ($i \geq r'$) auch nicht mehr in den Markierungen oder in den Übergängen zwischen ihnen, und da es keine Knoten K mit $LEVEL(K) > n$

geben kann, folgt:

$$\exists r' \in \mathbb{N} . \forall i \geq r' . G_i = G_{r'}$$

und damit auch:

$$\forall i \geq r' . PA(Q_i) = PA(Q_{r'})$$

Dieses wiederum impliziert, daß $PA(Q_{r'})$ alle Berechnungsfolgen von P ausführen kann.

2. Gibt es keine obere Schranke für die Länge der Berechnungsfolgen von P, so führt eine analoge Überlegung zum Ziel.

Dann gibt es nämlich für jedes $n \in \mathbb{N}$ ein $r_n \in \mathbb{N}$, sodaß

alle G_i ($i \geq r_n$) sich in den ersten n Stufen lediglich

durch die Größe der Indexmengen der einzelnen Knoten von

G_{r_n} unterscheiden, ansonsten aber identisch sind mit G_{r_n} , was Anzahl und Markierung der Knoten bis zur Stufe n und

Kanten sowie Kantenmarkierungen zwischen diesen angeht.

Wählt man nun n genügend groß, so führt die Bearbeitung

des Teilgraphen von G_r [sei $r := r_n$], der alle Knoten bis

zu Stufe n umfaßt, durch den PSA PA zu einem IH-Anfangs-

graphen A_r und einer LABEL-Hypothese u_r , die für jedes

$i \geq r$ bei der weiteren Bearbeitung von G_i durch PA zu

einer aus G_i ableitbaren terminalen IH-Situation (A_i, R_i)

und einer LABEL-Hypothese u_i erweitert werden, ohne daß

dadurch neue Programmknoten oder neue Übergänge erzeugt werden, d.h.

$$\forall i \geq r . U\text{-GRAPH}(A_i, u_i) = U\text{-GRAPH}(A_r, u_r)$$

Daraus folgt aber

$$\forall i \geq r . PA(Q_i) = PA(Q_r)$$

analog zu Fall 1.

Es muß allerdings noch eine triviale Forderung an den benutzten U-Algorithmus U-ALG gestellt werden, und zwar die, daß die Markierung von Programmknoten eines Programms P in irgendeiner Form standardisiert ist (z.B. derart, daß bei l I-Knoten in P nur die LABEL $1, \dots, l$ für diese I-Knoten verwandt werden [vgl. Ausführungen zu Def. 4.6]) und die Wahl der LABEL für einen IH-Anfangsgraphen gemäß dieser Standardisierung erfolgt.

Aussage (4) folgt aus der Formalisierung der angegebenen Überlegungen.

5.3 Beispiel einer PA-Berechnung

Ein Beispiel soll die gesamte Vorgehensweise von PA im Zusammenhang verdeutlichen. Soweit möglich, wird dabei auf die bereits in den Beispielen der vorigen Kapitel angegebenen Werte zurückgegriffen werden. Die auftretenden Graphen werden wie üblich skizziert. Als Eingabe für PA soll hier das PSP $Q_3 = (\underline{ss}, \{M_1, M_2, M_3, M_4\})$ aus Beispiel 2.3-3 benutzt werden.

1. INPUT: $Q := Q_3$
2. $G := \text{IH-GRAPH}(Q)$
Die Berechnung von G ist bereits in Kapitel 3 ausführlich beschrieben worden. G selbst ist in Beispiel 3.7-2 angegeben.
3. Da $G \neq \epsilon$ ist, ist Q realisierbar.

4. $(L, \text{FNR}, \text{IS}, \text{LB}, \text{ASTACK}) := \text{INIT-VALUES}(G)$

4.1 IH-INIT(G) ist die IH-Situation $\text{IS}' = (A', R')$, bei der A' nur den Startknoten und R' alle restlichen Knoten von G enthält. Der größte erzwungene Nachfolger $\text{IS} = (A, R)$ von IS' gemäß INSTRUCTIONS enthält im Anfangsgraphen A außerdem noch den Knoten $[1, \{1, 2, 3\}]$, alle übrigen sind in R.

$\text{IS} = (A, R)$ ist identisch mit IS_2 aus Beispiel 3.10-2.

4.2 $\text{LB} := \text{LB-SIT}(G, \text{IS})$

Diese LB-Situation ist in Abschnitt 4.2.1 berechnet worden und ist in Beispiel 4.4 wiedergegeben. Danach ist:

$\text{LB} = (\text{lmin}, \text{lbr}, \text{lb}, \text{d}, \text{IM}, \text{l})$
 $= (9, 1, \text{Lb}, \text{d}, \text{IM}, 6)$ mit:

I	S1(2)	CL(1)	A(1,3)	A(1,4)	ZR(2)	sonst.I
Lb(I)	1	1	2	1	1	0

$d = \lambda K. \emptyset$

$\text{IM} = \{S1(2), \text{CL}(1), A(1,3), A(1,4), \text{ZR}(2)\}$

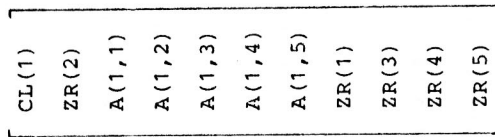
4.3 $L := 9$

$\text{FNR} := 0$

$\text{ASTACK} := \text{empty}$

5. $\text{TERMINAL}(G, \text{IS})$ liefert false, da IS keine terminale IH-Situation ist; es wird mit dem in Abb. 5.1 -c- angegebenen Programmteil von PA fortgefahren.
6. $\text{UM} := \text{U-DUMMY}$
 $= (\emptyset, \lambda K. 1)$
7. $\text{HR} := \text{SORTHR}(G, L, \text{IS}, \text{LB}, \text{UM})$
 Die zu IS gehörige Front F besteht nur aus dem Knoten $K = [2, \{1, 2, 3\}]$; $F = (K)$. Da UG , wenn $\text{UM} = (\text{UG}, u)$ ist, die leere Menge ist, ist die Vorschlagshypothese $\text{VH} = (\text{dummy})$. Die Markierung $f_R(K)$ der möglichen Instruktionshypothesen ist $f_R(K) = \{\text{CL}(1), A(1,1), \text{ZR}(1)\}$.

Da $IH-SET(LB,L) = IH-SET(LB,9) = INSTRUCTIONS$,
 gehören alle Elemente aus $f_R(K)$ zum Hypothesenraum HR.
 Für $I \in \{CL(1), ZR(2)\}$ ist $Lb(I) = 1$, für die übrigen
 $I \in f_R(K)$ ist $Lb(I) = 0$. In jedem Fall werden die Hypo-
 thesen $CL(1), ZR(2)$ demnach vor allen anderen aufgestellt;
 über die weitere Reihenfolge soll nach Abschnitt 4.4.3
 eine lineare Ordnung auf $INSTRUCTIONS$ entscheiden.
 Da $CL(1)$ zum Widerspruch führt, werde diese Hypothese
 hier als erste gewählt, um die Reaktionsweise von PA
 in einem solchen "Fehlerfall" zu verdeutlichen:



HR :=

8. H := HMIN(HR)
 = CL(1)

9. (FNR, IS, ASTACK) := (FNR+1, GSUC(DSUC(IS,H), IH-SET(LB,L)),
 PUSH(IS, LB, HR, H), ASTACK)

9.1 FNR := 1

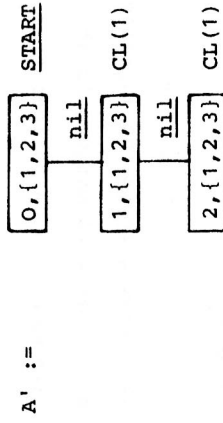
9.2 ASTACK := PUSH((IS, LB, HR, (CL(1))), empty)

mit den in Schritten 4.1, 4.2 und 7 angegebenen
 Werten für IS, LB und HR.

9.3 IS := GSUC(DSUC(IS,H), IH-SET(LB,L))

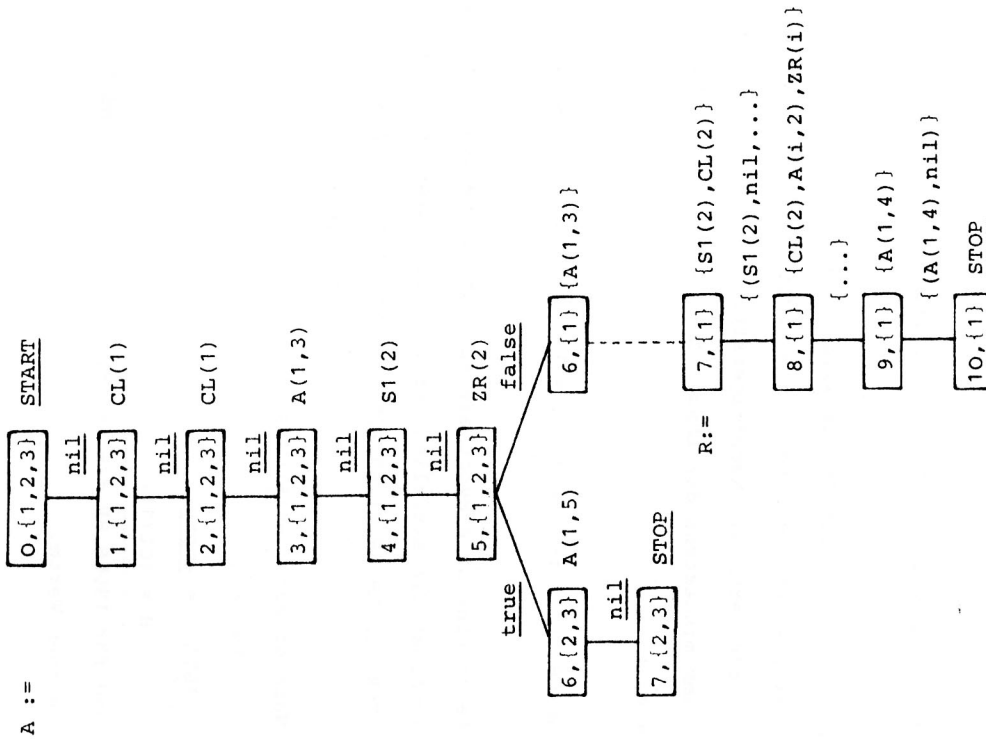
IS' = DSUC(IS,H) = DSUC(IS, (CL(1)))

= (A', R') ist gegeben durch:



A' :=

R' enthält die von $[3, \{1,2,3\}]$ in G erreichbaren
 Knoten. Da $IH-SET(LB,L) = INSTRUCTIONS$, ist
 $IS = DSUC(IS', IH-SET(LB,9)) = (A,R)$ mit:



10. LB := LB-SIT(G, IS)

Zur Berechnung von LB wird zunächst $T = IH-TREE(IS)$ bestimmt. T entsteht aus A und R und der üblichen Modifizierung der Markierungen von A [vgl. Def. 4.1]. Analog zu der auf Satz 4.2 zur Berechnung von LB-Situationen begründeten Vorgehensweise in Beispiel 4.5-2 erhält man:

K	$\{K^i K^i \in K\}$	d(K)	f(K)	$V_T(M_1)$	$V_T(M_2)$	$V_T(M_3)$	$V_T(M_4)$	$V_T(M_5)$
[1, {1, 2, 3}]	[2, {1, 2, 3}]	[2, {1, 2, 3}]	CL(1)	x				
[2, {1, 2, 3}]	[1, {1, 2, 3}]	[1, {1, 2, 3}]	CL(1)	x				
[3, {1, 2, 3}]	[6, {1}]	[6, {1}]	A(1, 3)		x			
[4, {1, 2, 3}]	[7, {1}]	\emptyset	S1(2)			x		
[5, {1, 2, 3}]	[8, {1}]	\emptyset	ZR(2)				x	
[6, {2, 3}]	\emptyset	\emptyset	A(1, 5)					x
[6, {1}]	[3, {1, 2, 3}]	[3, {1, 2, 3}]	A(1, 3)		x			
[7, {1}]	[4, {1, 2, 3}], [8, {1}]	-	S1(2), CL(2)			x		
[8, {1}]	[5, {1, 2, 3}], [7, {1}]	-	CL(2), A(1, 2), ZR(1)				x	
[9, {1}]	\emptyset	-	A(1, 4)					x

Hieraus lassen sich die Werte (Lmin, Lbr, Lb, d, IM, l) = LB ableiten, wie z.B.

I	S(2)	CL(1)	A(1,3)	A(1,4)	A(1,5)	ZR(2)	sonst.I
Lb(I)	1	2	2	1	1	1	0

$$Lmin = LB_T(INSTRUCTIONS) = \sum_{i=1}^5 LB_T(M_i) = 2+2+4+1+1 = 10$$

Bereits an dieser Stelle wird erkannt, daß die zuletzt gewählte Hypothese bei L = 9 nicht zum Erfolg führen kann, da jede terminale Nachfolgersituation von IS zu einem Programm mindestens der Länge Lmin = 10 führt [vgl. Satz 4.6] :

11. GE(LB,L) liefert wegen L = 9 < 10 = Lmin false .

12. Bevor eine neue Hypothese aufgestellt werden kann, müssen zunächst die aktuellen Werte wieder hergestellt werden: (FNR, (IS, LB, HR, H), ASTACK) := (FNR-1, TOP(ASTACK), POP(ASTACK))

Nach dieser Zuweisung gelten

$$FNR = 0$$

$$ASTACK = \text{empty}$$

$$H = (CL(1))$$

und für IS, LB, HR die in Schritten 4.1, 4.2 und 7. angegebenen Werte.

13. H = HMAX(HR) liefert false, da H = (CL(1)) ≠ (ZR(5)) = HMAX(HR) .

14. H := HNEXT(HR, H)
 = HNEXT(HR, (CL(1)))
 = (ZR(2))

15. (FNR, IS, ASTACK) := (FNR+1, GSUC(DSUC(IS, H), IH-SET(LB, L)), PUSH((IS, LB, HR, H), ASTACK))

15.1 FNR := 1

15.2 ASTACK := PUSH((IS, LB, HR, (ZR(2))), empty)

mit den in Schritten 4.1, 4.2 und 7. angegebenen Werten

15.3 IS := GSUC(DSUC(IS, (ZR(2))), INSTRUCTIONS)

IS ist identisch mit der in Beispiel 3.11-2 angegebenen IH-Situation IS₄.

16. LB := LB-SIT(G, IS)

Analog zu Schritt 10 erhält man folgende Werte:

K	{K', {K' ≠ K}}	d(K)	f(K)	$V_T^{(M_1)}$	$V_T^{(M_2)}$	$V_T^{(M_3)}$	$V_T^{(M_4)}$	$V_T^{(M_5)}$
[1, {1,2,3}]	∅	∅	CL(1)	×				
[2, {1,2,3}]	[5, {1,2,3}]	[5, {1,2,3}]	ZR(2)		×			
[3, {1,2,3}]	[6, {1}]	[6, {1}]	A(1,3)			×		
[4, {1,2,3}]	[7, {1}]	∅	S1(2)				×	
[5, {1,2,3}]	[2, {1,2,3}], [8, {1}]	[2, {1,2,3}]	ZR(2)				×	
[6, {2,3}]	∅	∅	A(1,5)				×	
[6, {1}]	[3, {1,2,3}]	[3, {1,2,3}]	A(1,3)			×		
[7, {1}]	[4, {1,2,3}], [8, {1}]	-	S1(2), CL(2)					×
[6, {1}]	[5, {1,2,3}], [7, {1}]	-	CL(2), A(1,2), ZR(2)					×
[9, {1}]	∅	-	A(1,4)					×

I	S1(2)	CL(1)	A(1,3)	A(1,4)	A(1,5)	ZR(2)	sonst. I
Lb(I)	1	1	2	1	1	2	0

$$Lmin = LB_T(INSTRUCTIONS) = \sum_{i=1}^5 LB_T(M_i) = 1+2+4+1+1 = 9$$

$$IM = \{S1(2), CL(1), A(1,3), A(1,4), A(1,5), ZR(2)\}$$

$$Lbr = LB_T(INSTRUCTIONS, IM) = \sum_{i=1}^5 LB_T(M_i, IM) = 0$$

$$l = \sum_{I \in IM} Lb(I) = 8$$

wobei:

$$LB = (Lmin, Lbr, Lb, d, IM, l)$$

17. GE(L, LB) liefert true wegen $L = 9 \geq 9 = Lmin$.

18. UM := U-ALG(U-ARG(L, IS, LB))
= U-ALG(N, A, Lb, d, IM, l)

mit den in Beispiel 4.12-1 angegebenen Werten für N, ..., l. Mit den dort berechneten Werten für UG und u gilt:
UM = (UG, u)

19. UM = U-DUMMY liefert false, da $UG \neq \emptyset$.

20. TERMINAL(G, IS) liefert ebenfalls false, da die Front von IS nicht leer ist.

21. HR := SORTHR(G, L, IS, LB, UM)

Analog zu Schritt 10 erhält man Vorschlagshypothese
 $VH = (dummy)$ und wegen $Lb(S1(2)) = 1 > 0 = Lb(CL(2))$

$$HR = \begin{bmatrix} S1(2) \\ CL(2) \end{bmatrix}$$

22. H := HMIN(HR)

$H = (S1(2))$ wird als nächste Hypothese an der aktuellen Front ($[7, \{1\}]$) aufgestellt; diese Hypothese führt nicht zum Widerspruch. Im Gegensatz zu den in Schritt 16 angegebenen Werten gilt nun $Lb(S1(2)) = 2$, was wegen

$1 = \sum_{I \in IM} Lb(I) = 9$ und $L = 9$ zu

$IH-SET(LB, L) = IM = \{S1(2), CL(1), A(1,3), A(1,4), A(1,5), ZR(2)\}$
führt, wobei LB die neue LB-Situation bezeichne.

Wegen $f_R([8, \{1\}]) \wedge IM = \{ZR(2)\}$ kommt als einzige Hypothese für $([8, \{1\}])$ nur $ZR(2)$ in Betracht. So erhält

man die terminale IH-Situation $IS = IS_5$, die in Beispiel

3.11-3 angegeben ist; die zugehörige LB-Situation LB

wurde in Beispiel 4.7 bestimmt. $UM = U-ALG(U-ARG(L, IS, LB))$

wurde in Beispiel 4.12.-2 berechnet; mit diesem Wert

(UG, u) für UM geht es bei Schnittpunkt 9 in Abb. 5.1 -c- wie folgt weiter:

23. $UM = U-DUMMY$ liefert false wegen $UG \neq \emptyset$.

24. $TERMINAL(G, IS)$ liefert true, da IS terminale IH-Situation ist.

25. $P := T-ALG(T-ARG(Q, UM))$
 $= T-ALG(ss, UG)$

Da für $b = ss$ die Tripel von UG bereits Programmtransitionen sind, ist P gleich UG.

26. $OUTPUT: (P, L)$

P ist minimal bzgl. Q und es gilt $L_{ss}(P) = 9 = L$.

P ist identisch mit dem in Beispiel 2.2 angegebenen Programm.

5.4 Hinweise für eine Implementierung von PA

Die Berechnung von $IH-GRAPH(Q)$ eines PSP Q ist in Kapitel 3 der besseren Übersicht wegen in vier einzelne Teilschritte aufgliedert worden, und zwar werden dort nacheinander die Standarddarstellung $Q_{ST} = (b, S, MI, MT)$ von Q, die Stufengraphdarstellungen von MI und Q und schließlich $G = IH-GRAPH(Q)$ bestimmt. Bei einer aktuellen Realisierung von PA könnten diese vier Teilschritte miteinander verknüpft werden. So läßt sich die nicht-reduzierte Stufengraphdarstellung der Instruktionsmatrix aus Q heraus berechnen, ohne daß MI zuvor explizit angegeben wird. Aus der reduzierten Stufengraphdarstellung von MI kann durch Einfügen der zusätzlichen Kantenmarkierungsfunktion und Löschen der redundanten Indizes der Indexmengen in den einzelnen Knoten G in einem Schritt bestimmt werden.

Für die Darstellung von G können die Standardimplementierungen für Bäume benutzt werden; für den Fall $b = ss$ muß dabei noch berücksichtigt werden, daß ein Knoten mehr als eine Eingangskante besitzen kann.

Bei der Darstellung einer IH-Situation $IS = (A, R)$ kann ausgenutzt werden, daß die Knoten von A und R Teilmenge der Knoten von G sind und darüberhinaus die Markierungen ebenfalls schon in G enthalten sind. Daher kann IS bereits durch eine zusätzliche Knotenmarkierungsfunktion F_{IS} repräsentiert werden: F_{IS} gibt für einen Knoten K aus G an, ob er in IS

enthalten ist oder nicht (diese Angabe ist nur für $b = \underline{ss}$ relevant) und, wenn ja, die Markierung $a(K)$ bzw. $f_R(K)$. Darauf aufbauend läßt sich eine Nachfolgesituation $IS' = (A', R')$ ebenfalls einfach darstellen. Alle Knoten aus A haben in A' dieselbe Markierung, die Markierungen der Knoten aus R' sind in denen aus R enthalten.

Bei der Ausführung von PA sind zu jedem Zeitpunkt in $ASTACK$ nur IH -Situationen enthalten, die jeweils in Nachfolgerrelation zueinander stehen. Mit den obigen Ausführungen bietet es sich an, alle diese IH -Situationen durch Verweise auf die Darstellung des IH -Graphen G zu repräsentieren. Satt der vollständigen IH -Situationen sind dann i.w. nur noch deren Frontknoten zu speichern, um bei einem eventuell notwendig werdenden Zurücksetzen der Front nach links die alten Werte wieder herzustellen zu können.

Kapitel 6 KOMPLEXITÄTSBERECHNUNGEN

Die Komplexität der Programmsynthese aus den verschiedenen Arten von Beispielsfolgen wird in diesem Kapitel untersucht.

In [Biermann 1972] und [Biermann, Baum, Petry 1975] sind zwar einige wenige statistische Angaben über die benötigte Rechenzeit einer implementierten Version der Synthese aus Instruktionsfolgen gemacht und in [Hwa, Wrightson 1973] ist eine Abschätzung der maximalen Suchraumgröße bei der Synthese von Turingmaschinen angegeben, aber weder in den drei zitierten Arbeiten noch z.B. in [Biermann, Krishnaswamy 1976] oder in [Rauleys 1973] sind Komplexitätsberechnungen oder Hinweise darauf zu finden.

In 6.1 wird nach Abschätzungen der Suchraumgröße des PSA PA der Komplexitätsbegriff für Algorithmen und Problemstellungen präzisiert. Die Komplexität einiger Teilprobleme der Programmsynthese wird in 6.2 betrachtet und eine etwas vereinfachte Version davon, das sog. Realisierungsproblem, eingeführt. Nach Definition der Komplexitätsklassen P -TIME und NP -TIME [Cook 1971], [Garey, Johnson 1979] in 6.3 wird in 6.4 die NP -Vollständigkeit des Realisierungsproblems sowie der Programmsynthese aus Beispielsfolgen nachgewiesen. Einige vereinfachte Einschränkungen werden in 6.5 betrachtet, und es wird gezeigt, welche davon ebenfalls NP -vollständig sind. Als Folgerung daraus wird in 6.6 die NP -Vollständigkeit der Synthese von Turingmaschinen aus Beispielsfolgen sowie einer stark vereinfachten Version dieses Problems nachgewiesen.

1.1 Komplexität von Algorithmen und Problemstellungen

1.1.1 Suchraumgröße von PA

Inhand von einigen Beispielen sollen Abschätzungen über die Größe des Suchraumes von PA vorgenommen werden. Zwei verschiedene Ansätze zur Abschätzung werden angegeben.

1. Es wird von dem Modell einer Aufzählung $E = (P_1, P_2, \dots)$ aller Programme ausgegangen, wobei die Länge von P_j immer kleiner oder gleich der Länge aller P_{i+j} ($j \geq 1$) ist. Für jedes PSP Q läßt sich sicherlich leicht eine obere Grenze Lmax angeben, sodaß Q, falls überhaupt realisierbar, zu- mindest Lmax-realisierbar ist; z.B. Lmax = Summe der Länge der Beispielfolgen von Q. Die als minimale Realisierung in Frage kommenden Programme wären demnach alle die P_i , für die $i \in \{1, \dots, r\}$ gilt, wobei die Länge von P_r gleich Lmax, die Länge von P_{r+1} aber gleich Lmax + 1 wäre. Ein Algorithmus, der PROGRAMS gemäß E aufzählt und bei jedem Programm überprüft, ob es Q realisiert, bis ein derartiges P gefunden worden ist, würde zwar ein minimales Programm liefern, müßte im ungünstigsten Fall aber tatsächlich alle r Programme überprüfen. Die folgenden Überlegungen dienen zur Abschätzung der Größe von r.

Die Menge PROGRAMS wird wesentlich mitbestimmt durch die Menge der Zuweisungen ASSIGNMENTS = $\{A_1, \dots, A_p\}$ und durch die Menge der Tests TESTS = $\{T_1, \dots, T_q\}$; insbesondere ist die Anzahl der möglichen Programme mit l Knoten ($l \in \mathbb{N}$) ab-

hängig von den Mächtigkeiten dieser Mengen, also p und q.

Der Einfachheit halber werden nur die Fälle $b \in \{s, ss\}$ der Programmsynthese berücksichtigt; die Länge eines Programms P ist also die Summe aus Anzahl der Zuweisungs- und Anzahl der Testknoten von P.

Sei zunächst $q = 0$. Jedes Programm P der Länge l kann dann nur aus einer linearen Folgen von l Zuweisungsknoten bestehen, wobei jeder der l Knoten mit einem $A_i \in \text{ASSIGNMENTS}$ markiert ist. Daher gibt es

$$x = p^l$$

verschiedene Programme der Länge l und daher

$$\sum_{i=0}^l p^i = \frac{p^{l+1} - 1}{p - 1}$$

Programme der Länge kleiner oder gleich l, wobei mögliche Umbenennungen der LABEL unberücksichtigt sind. Für $p=30$ wie in den Beispielen der Kapitel 2 - 5 (vgl. Beispiel 2.1) gilt

$$\sum_{i=0}^l 30^i = \frac{30^{l+1} - 1}{30 - 1}$$

und für $l = 6$ ergäbe dies mit 754 137 931 bereits eine unverhältnismäßig große Anzahl von Programmen, die selbst bei kleinsten PSP durchsucht werden müßte.

Ist $q > 0$, so können auch Verzweigungsknoten auftreten. Auf eine genaue Berechnung der Anzahl der Programme soll verzichtet werden, jedoch wird untersucht, welche Rolle

die Größen p und q in einer solchen Berechnung spielen.

Für $l \geq j$ sei ein Programmschema vom Typ $T(l,j)$ im Prinzip aufgebaut wie ein Programm mit eindeutigem START- und STOP-Knoten, jedoch ohne Markierungen der Kanten und der übrigen Knoten, die sich in genau j Knoten mit einem Nachfolger und l-j Knoten mit zwei Nachfolgern aufteilen. $X_{l,j}$ gebe die Anzahl der verschiedenen Programmschemata vom Typ $T(l,j)$ an. Demnach gibt es

$$\sum_{j=0}^l X_{l,j} q^{l-j}$$

verschiedene Programmschemata mit l Knoten (START- und STOP-Knoten werden wie bei Programmen nicht mitgezählt). Für jedes Programmschema vom Typ $T(l,j)$ gibt es

$$p^j q^{l-j}$$

verschiedene Markierungen der Knoten (ohne Berücksichtigung der Markierung eines Knoten mit nur einem Nachfolger durch eine Testinstruktion) und

$$2^{l-j}$$

verschiedene Markierungen der Kanten, um ein Programm gemäß ASSIGNMENTS und TESTS zu erhalten. Es gibt also

$$\sum_{j=0}^l X_{l,j} \cdot p^j \cdot q^{l-j} \cdot 2^{l-j}$$

verschiedene Programme mit l Knoten und daher

$$\sum_{i=0}^l \sum_{j=0}^i X_{l,j} \cdot p^j \cdot q^{i-j} \cdot 2^{i-j}$$

verschiedene Programme mit l oder weniger als l Knoten.

Selbst wenn man alle auftretenden $X_{i,j}$ in der letzten Formel durch die Konstante 1 ersetzt - obwohl es i.a. sehr viel mehr als nur ein Programmschema vom Typ $T(i,j)$ gibt -, wird deutlich, welchen Einfluß die Parameter p und q auf die Anzahl der Programme mit einer bestimmten Anzahl von Knoten haben. Für die Werte p = 30 und q = 5 aus Beispiel 2.1 ergeben sich dabei schon für l = 6 Werte der Größenordnung 10^{10} .

2. Der zweite Ansatz zur Abschätzung der Suchraumgröße von PA geht nicht von einer von dem vorliegenden PSP Q unabhängigen Aufzählung von PROGRAMS aus, sondern von der Standarddarstellung $Q_{ST} = (b,S,MI,MT)$.

$$X = \prod_{i=1}^m \prod_{j=0}^{n_i} |MT_{i,j}|$$

gibt allgemein die Anzahl der verschiedenen vollständigen Instruktionshypothesen wieder, die gemäß MT möglich sind. Speziell für das PSP Q_3 , dessen Standarddarstellung in Beispiel 3.1 - 3 angegeben ist, gilt

$$\begin{aligned} X_3 &= \prod_{i=1}^4 \prod_{j=0}^{n_i} |MT_{i,j}| \\ &= 10 \cdot 92 \cdot 7 \cdot 4 \cdot 3^2 \cdot 2^{10} \\ &= 77 \cdot 5 \cdot 36 \cdot 2^{13} \end{aligned}$$

Geht man von der sicherlich zutreffenden, aber groben Abschätzung von

$$l_{max} = \sum_{i=1}^m (n_i - 1)$$

als obere Grenze für die Anzahl der Programmknotten eines minimalen, Q realisierenden Programmes P aus und nimmt man l als größtes mögliches LABEL, wenn P als ein Programm der Länge l angesehen wird, so wären unter diesen Annahmen maximal

$$Y = \sum_{l=1}^{L_{\max}} l$$

verschiedene vollständige LABEL-Hypothesen zu berücksichtigen, die Anzahl der Kombinationen von vollständigen Instruktions- und LABEL-Hypothesen wäre somit

$$X \cdot Y = \left(\prod_{i=1}^m \prod_{j=1}^{n_i} |M_{i,j}| \right) \cdot \left(\sum_{l=1}^{L_{\max}} l \right)$$

Selbst auf das relativ einfache PSP Q₃ bezogen werden mit

$$L_{\max_3} = 8 + 5 + 5 + 8 = 26$$

$$Y_3 = \sum_{l=1}^{26} l$$

derartige Größenordnungen erreicht, sodaß eine solch rein kombinatorische Vorgehensweise völlig unrealistisch wird.

Ein Vergleich der hier unter 1. und 2. genannten Abschätzungen mit der in Abschnitt 5.3 angegebenen Beispielsberechnungen von PA bei Eingabe Q₃ deutet die durch PA geleistete Suchraumreduktion an.

6.1.2 Größenkriterien für Programmsyntheseprobleme

Bei der Abschätzung der Suchraumgröße von PA im vorigen Abschnitt wurde deutlich, daß diese von einer Reihe von Parametern abhängt. Im einzelnen können für ein PSP Q = (b, M), wobei $M = \{M_1, \dots, M_m\}$ und $\dim(Q) = (m, (n_1, \dots, n_m))$, als Kriterien für die Schwierigkeit von Q unterschieden werden:

(1) m - die Anzahl der Beispielsfolgen

(2) n_1, \dots, n_m - die Längen der einzelnen Beispielsfolgen gemessen an der Anzahl der Elemente

(3) $\bar{n}_1, \dots, \bar{n}_m$ - die Längen der einzelnen Beispielsfolgen unter Berücksichtigung der Längen der darin enthaltenen Speicherbelegungsbeschreibungen

(4) p - die Anzahl der Q zugrunde liegenden Zuweisungsinstruktionen: |ASSIGNMENTS| = p

(5) q - die Anzahl der Q zugrunde liegenden Testinstruktionen: |TESTS| = q

(6) r - die Mächtigkeit des Alphabets zur Beschreibung der Speicherbelegungen: $|\Sigma| = r$

(7) b - die Problemspezifizierungsmarke von Q

Zur Vereinfachung sei folgendes vereinbart. Als Größenkriterium der Länge der Beispielsfolgen kann auch lediglich das Maximum betrachtet werden; dann ist (2) und (3) zu ersetzen durch

$$(2') \quad n - n = \max(n_1, \dots, n_m)$$

$$(3') \quad \bar{n} - \bar{n} = \max(\bar{n}_1, \dots, \bar{n}_m)$$

Es ist zu beachten, daß hier lediglich von der Anzahl der Zuweisungen und Tests die Rede ist, nicht jedoch davon, wie kompliziert oder einfach die einzelnen Instruktionen selbst sind. Es macht also z.B. für die folgenden Ausführungen keinen Unterschied, ob eine Zuweisungsinstruktion $A = \lambda x$. $x+1$ sehr einfach oder $A' = \lambda x$. $3x^8 + 5x^2 + 27x$ etwas aufwendiger zu berechnen ist; entsprechendes gilt für die Testinstruktionen.

Auf die genaue Spezifizierung der Größe von Q soll hier zunächst verzichtet werden; dies wird später in Abschnitt 6.3.1 im Zusammenhang mit einer weiteren Formalisierung geschehen. Oft reicht es aus, z.B. mit den oben genannten Werten m, n, p, q, r als 5-Tupel zu operieren; ist ein einzelner numerischer Wert erwünscht, so bezeichne $SIZE(Q)$ den Wert $m \cdot n + p + q + r$.

6.1.3 Komplexität eines Algorithmus

Unter der Komplexität eines Algorithmus A wird in dieser Arbeit immer die Zeitkomplexität von A verstanden, also der Zeitaufwand, den A für eine Eingabe x benötigt, ausgedrückt als eine Funktion der Größe von x . Der Grenzwert einer solchen Funktion für den Fall, daß die Größe der Eingaben wächst, wird als asymptotische Zeitkomplexität bezeichnet und stellt

ein wichtiges Beurteilungskriterium für die Bewertung von A dar, da insbesondere dadurch die maximale Größe festgelegt wird, bis zu welcher die Eingaben von A mit realistischem Zeitaufwand bearbeitet werden können. Dabei kommt es i.a. nicht so sehr auf die genaue Spezifikation der Zeitkomplexität an, sondern auf die Größenordnung.

Die Größenordnung einer Funktion $g(n)$ wird wie üblich mit $O(f(n))$ bezeichnet, wenn es eine Konstante c gibt, sodaß für fast alle n $g(n) \leq c \cdot f(n)$ gilt.

Nicht näher spezifiziert werden muß der Begriff "Zeitaufwand" eines Algorithmus A . Es genügt anzunehmen, daß dies die Anzahl der von A ausgeführten elementaren Berechnungsschritte ist.

Beispiel 6.1

1. Ist A ein Algorithmus zur Matrizenmultiplikation, so ist der Zeitaufwand von A bei Eingabe (M, N) die Anzahl der von A bei der Multiplikation von M und N benötigten arithmetischen Operationen.

2. Ist A eine (deterministische) Turingmaschine, so gibt

$$T(n) = \max\{k \mid \text{es gibt ein Eingabewort der Länge } n, \text{ für das } A \text{ nach } k \text{ Lese/Schreiboperationen anhält}\}$$

die Zeitkomplexität von A wieder.

6.1.4 Komplexität einer Problemstellung

Für eine bestimmte Problemstellung P gibt es i. a. eine ganze Reihe verschiedener Lösungsalgorithmen A_1, \dots, A_n . Unter der Zeitkomplexität von P wird die Zeitkomplexität eines Lösungsalgorithmus A verstanden, dessen Zeitkomplexität minimal ist.

Aus dieser Definition wird deutlich, weshalb es sich als bedeutend schwieriger erweist, die Komplexität $T(n)$ einer Problemstellung P zu bestimmen, als die Komplexität eines einzelnen Algorithmus. Zum einen muß die Existenz eines Algorithmus mit der Komplexität $T(n)$ nachgewiesen werden, zum anderen muß gezeigt werden, daß es keinen Algorithmus für P mit kleinerer Komplexität geben kann. Insbesondere ist es also für den zweiten Schritt nicht ausweichend, etwa nur alle bekannten Lösungsalgorithmen für P zu berücksichtigen. Oft ist aus diesem Grund eine genaue Angabe der Zeitkomplexität von P sehr schwierig; daher dient die zuvor schon eingeführte Notation $O(T(n))$ wieder zur Angabe der Größenordnung von $T(n)$. In den Abschnitten 6.2 - 6.5 werden Aussagen über die Komplexität der Programmsynthese aus Beispielsfolgen gemacht. Wie auch schon in diesem Abschnitt ist mit Komplexität einer Problemstellung i. f. immer deren Zeitkomplexität gemeint.

6.2 Teilprobleme der Programmsynthese

6.2.1 Komplexität der Instruktionshypothesengraphberechnung

Der erste Schritt des PSA PA ist die Berechnung des IH-Graphen des Eingabe-PSP Q . Dieser wiederum kann vom Konzept her in die folgenden Teilschritte aufgliedert werden (vgl. Kap.3):

1. Bestimmung der Standarddarstellung Q_{ST} von Q :

$$Q_{ST} = (b, S, MI, MT)$$

2. Bestimmung der Stufengraphdarstellung von MI

[2.1 Überprüfen der Realisierbarkeit von Q]

3. Erzeugen der Stufengraphdarstellung von Q

4. Erzeugen von IH-GRAPH(Q)

Bei einer aktuellen Realisierung von PA würden diese einzelnen vier Schritte natürlich nicht unabhängig voneinander durchgeführt, sondern miteinander verknüpft. Dies kann hier jedoch unberücksichtigt bleiben, denn es gilt, daß jeder der Schritte 1. - 4. in polynomialer Zeit ausgeführt werden kann, d.h. für $i \in \{1, \dots, 4\}$ gibt es ein Polynom P_i , sodaß die Ausführung von Schritt i nicht mehr als $P_i(m, n, p, q, r)$ Zeiteinheiten benötigt, wenn Q als Eingabe vorliegt und m, n, p, q, r die Größenkriterien von Q gemäß Abschnitt 6.1.2 sind. Auf die Frage, was als Zeiteinheit zu verstehen ist, muß hier nicht weiter eingegangen werden, da eine entsprechende Anpassung der Koeffizienten von P_i es ermöglicht, die Zeiteinheiten nahezu beliebig zu wählen.

Auf eine Formalisierung und einen Beweis zur Existenz der Polynome P_i wird verzichtet; er ergibt sich leicht, wenn man für die in Kap. 3 angegebenen einzelnen Berechnungsabschnitte jeweils die polynomiale Zeitbegrenzung zeigt und ausnutzt, daß Summe bzw. Produkt von zwei Polynomen wieder ein Polynom ergeben.

Als Folgerung erhält man sofort:

Satz 6.1

Die Berechnung von IH-GRAPH(Q) nach der in Kapitel 3 angegebenen Vorgehensweise ist für alle Q zeitlich durch ein Polynom P in den Variablen m,n,p,q,r begrenzt, wobei m,n,p,q,r die Größe von Q wiedergeben und Q selbst ein PSP ist.

Beweis: folgt aus den vorhergehenden Überlegungen

$$(z.B. P = P_1 + P_2 + P_3 + P_4) .$$

Es ist zu beachten, daß Satz 6.1 insofern eine relativ schwache Aussage liefert, da an das Polynom P keine weiteren Anforderungen gestellt werden, etwa was den Grad von P betrifft. Diesbezüglich können weitaus schärfere Aussagen gemacht werden, jedoch soll darauf verzichtet werden, da Satz 6.1 für den i.f. zu führenden Nachweis der NP-Vollständigkeit einzelner Problemklassen eine ausreichende Grundlage bietet.

6.2.2 Das Realisierungsproblem

Der Programmsynthesealgorithmus PA liefert für ein realisierbares PSP Q ein minimales Programm P, das Q realisiert. Die Fragestellung nach einem minimalen l, sodaß Q l-realisiertbar ist, kann als gleichwertige Formulierung des PSP angesehen werden, da bei einem minimalen Programm P die Länge von P das gesuchte l darstellt, umgekehrt aber die Tatsache, daß l minimal ist, im Prinzip durch die Konstruktion eines minimalen Programmes P nachgewiesen werden muß.

Eine wesentliche Vereinfachung der Problemstellung scheidet zunächst die Reduzierung auf eine Ja/Nein-Entscheidung zu sein, indem ein Index l zusammen mit Q vorgegeben und gefragt wird, ob Q l-realisiertbar ist.

Definition 6.1

Das Realisierungsproblem ist das folgende:

Gegeben sei ein PSP Q und ein $l \in \mathbb{N}$, ist Q l-realisiertbar?

Ein Algorithmus, der für jede Instanz (Q,l) des Realisierungsproblems entscheidet, ob Q l-realisiertbar ist oder nicht, heißt Realisierungsalgorithmus.

Es stellt sich die Frage nach der 'Schwierigkeit' des Realisierungsproblems im Vergleich zu Programmsyntheseproblemen.

6.2.3 Komplexitätsvergleich von Realisierungs- und Programmsyntheseproblem

Um einen solchen Vergleich durchführen zu können, wird die polynomiale Verwandtschaft zwischen Funktionen als Größenordnungsrelation eingeführt [Carey,Johnson 1979] .

Definition 6.2

Zwei Funktionen $f_1(n)$ und $f_2(n)$ sind polynomial verwandt \Leftrightarrow es gibt Polynome $P_1(x)$ und $P_2(x)$, sodaß für alle $n \in \mathbb{N}$ $f_1(n) \leq P_1(f_2(n))$ und $f_2(n) \leq P_2(f_1(n))$.

Der folgende Satz sagt aus, daß sich die Schwierigkeitsgrade von PSP und Realisierungsproblem bezogen auf den benötigten Zeitaufwand höchstens polynomial unterscheiden.

Satz 6.2

- (1) Zu jedem PSA A gibt es einen Realisierungsalgorithmus A', sodaß die Zeitkomplexitäten von A und A' polynomial verwandt sind.
- (2) Zu jedem Realisierungsalgorithmus A' gibt es einen PSA A, sodaß die Zeitkomplexitäten von A' und A polynomial verwandt sind.

Beweis:

Aussage (1) ist trivial: ein einfacher Algorithmus A' kann z.B. bei Eingabe (Q,l) aus der Anwendung von A auf Q bestehen, gefolgt von der Ausgabe "Ja" (d.h. Q ist l-realisier-

bar) genau dann, wenn A(Q) ein Programm der Länge k liefert und $k \leq l$ gilt; andernfalls wird "Nein" (Q ist nicht l-realierbar) ausgegeben.

Zu (2): Sei A' ein Realisierungsalgorithmus mit der Zeitkomplexität F(n). Da A' bei Eingabe (Q,l) zur Entscheidung der Frage, ob Q l-realierbar ist, im Prinzip ein Programm der Länge l konstruieren muß, kann effektiv ein Algorithmus A mit folgenden Eigenschaften gefunden werden:

- (i) Bei Eingabe (Q,l) liefert A ein Q realisierendes Programm P der Länge l genau dann, wenn A angewandt auf (Q,l) "Ja" (d.h. Q ist l-realierbar) ergibt; ansonsten liefert A die leere Menge.
- (ii) Die Zeitkomplexität von A ist $O(F(SIZE(Q)))$.

Für ein PSP Q kann nach Satz 6.1 in polynomialer Zeit festgestellt werden, ob Q überhaupt realisierbar ist. Dieser Schritt benötigt demnach maximal $O(P(SIZE(Q)))$ Zeiteinheiten, wobei P ein Polynom ist.

Ist Q realisierbar, so ist Q zumindest lmax-realisierbar, wobei lmax das Produkt aus Anzahl und maximaler Länge der Beispielfolgen (oder genauer: lmax die Summe der Längen der Beispielfolgen) ist. Da diese beiden Parameter die Größe von Q als Faktoren mitbestimmen, folgt, daß lmax von der Größenordnung $O(SIZE(Q))$ ist. Weiterhin gibt es ein lmax{0,...,lmax}, sodaß gilt:

- (iii) $\forall l \in \{0, \dots, l_{\min} - 1\}$. Q ist nicht l-realisiert.
- $\forall l \in \{l_{\min}, \dots, l_{\max}\}$. Q ist l-realisiert.

Ein PSA A kann damit wie folgt arbeiten. Nach dem Überprüfen der Realisierbarkeit von Q besteht A aus einem wiederholten Aufruf von A" mit den Eingaben (Q, l), wobei l die Werte 0, 1, 2, ... durchläuft, bis A"(Q, l) zum ersten Mal nicht die leere Menge liefert; ist dies der Fall, so gibt A eben dieses Ergebnis von A"(Q, l) aus.

A benötigt maximal $l_{\max} = O(\text{SIZE}(Q))$ Aufrufe von A"; ein Aufruf von A" benötigt $O(F(\text{SIZE}(Q)))$ Zeiteinheiten.

Somit ist die gesamte Zeitkomplexität von A gegeben durch

$$O(P(\text{SIZE}(Q))) + O(\text{SIZE}(Q)) \cdot O(F(\text{SIZE}(Q))) =$$

$$O(P(\text{SIZE}(Q))) + O(\text{SIZE}(Q)) \cdot F(\text{SIZE}(Q)) \text{ und daher}$$

polynomial verwandt mit der Komplexität von A'.

(Bemerkung: Effizienter als das jeweilige Inkrementieren von l um 1 wäre natürlich das sich hier wegen

(iii) anbietende binäre Suchen; dabei gäbe es maximal

nur $\lceil \log_2 l_{\max} \rceil + 1$ Aufrufe von A".)

Dies schließt den Beweis von Satz 6.2 ab.

6.3 Komplexitätsklassen

6.3.1 Die Klassen P-TIME und NP-TIME

Es wird mit Hilfe des letzten Satzes gezeigt werden, daß Pro-grammsynthese und Realisierungsprobleme bzgl. zweier wichtiger Komplexitätsklassen denselben Schwierigkeitsgrad be-sitzen. Die beiden Komplexitätsklassen sind zum einen die Menge aller der Problemstellungen, für die es einen deter-ministischen Algorithmus polynomialer Zeitkomplexität gibt, zum anderen die Menge aller der Problemstellungen, für die es einen nicht-deterministischen Algorithmus ebenfalls mit polynomialen Zeitaufwand gibt. Da es sich hierbei um Aus-sagen über die Menge aller Algorithmen handelt, wird als Grundlage bei der Definition dieser Klassen von Turingma-schinen als Algorithmusbegriff ausgegangen. Als Problemstel-lungen werden Ja/Nein-Entscheidungen zugrunde gelegt, und diese seien als Spracherkennungsprobleme dargestellt [Garey, Johnson 1979].

Definition 6.3

Σ sei ein Alphabet.

- (1) $P\text{-TIME} = \{L \mid L \subseteq \Sigma^* \text{ und es existiert ein Polynom } P(n) \text{ und eine deterministische Turingmaschine } M \text{ mit der Zeitkomplexität } P(n), \text{ die } L \text{ akzeptiert}\}$

- (2) $NP\text{-TIME} = \{L \mid L \subseteq \Sigma^* \text{ und es existiert ein Polynom } P(n) \text{ und eine nicht-deterministische Turingmaschine } M \text{ mit der Zeitkomplexität } P(n), \text{ die } L \text{ akzeptiert}\}$

mit der Zeitkomplexität $P(n)$, die L akzeptiert }

- (3) Die Elemente von P-TIME (bzw. NP-TIME) werden auch als Problemlassen bezeichnet.

Im Vergleich zu der bisher benutzten Terminologie ergeben sich einige Besonderheiten:

- Nur Ja/Nein-Entscheidungsprobleme werden in Def. 6.3 betrachtet; daher können PSP nicht direkt als Spracherkennungsprobleme behandelt werden; bei Realisierungsproblemen, die ja gerade Entscheidungsprobleme sind, ist dies möglich.
- Programmsynthese- und Realisierungsalgorithmen müßten als Turingmaschinen angegeben werden.

Es wird daher folgendes vereinbart:

1. Die Standardcodierung eines Realisierungsproblems (Q, l) ,

$Q = (b, \{M_1, \dots, M_m\})$, ist ein Wort w über einem universellen Alphabet Σ' , wobei $w = l \& b \& M_1 \& \dots \& M_m$ die Konkatenation der einzelnen Beispielfolgen von Q zusammen mit den Parametern l und b darstellt und das Sonderzeichen '&' sonst nicht in w auftritt. Die Größe von (Q, l) ist die Länge von w und wird bezeichnet durch $|w|$.

Bemerkung: Ebenso wie bei PA in Kapitel 5 werden hier die Eingabeparameter ASSIGNMENTS und TESTS vernachlässigt.

2. Eine Klasse K von Realisierungsproblemen ist in P-TIME (bzw. NP-TIME), wenn die Menge der Standardcodierungen der Elemente von K in P-TIME (bzw. NP-TIME) ist.

3. Analog zu 1. und 2. ist für andere Ja/Nein-Problemlassen Standardcodierung, Größe und Zugehörigkeit zu P-TIME bzw. NP-TIME definiert.

4. Obwohl P-TIME und NP-TIME über Turingmaschinen definiert wurden, werden diese beiden Begriffe erweitert benutzt werden. Da für eine Reihe von Berechnungsmodellen polynomiale Verwandtschaft bzgl. ihrer Zeitkomplexität zu den entsprechenden Turingmaschinen besteht, werden auch Probleme klassen, die nicht unbedingt Ja/Nein-Entscheidungsprobleme darstellen, als zu P-TIME (bzw. NP-TIME) gehörig bezeichnet, wenn es für sie einen deterministischen (bzw. nicht-deterministischen) Algorithmus polynomialer Zeitkomplexität in einem solchen Berechnungsmodell gibt.

Beispiel 6.2

- (1) $L = \{Q \mid Q \in \text{PSP}_{I,S}^{\text{fin}} \wedge Q \text{ ist realisierbar}\}$ ist in P-TIME, da

nach Satz 6.1 in polynomialer Zeit für ein PSP Q IH-GRAPH(Q) berechnet werden kann und diese Berechnung nach Satz 3.5 und Def. 3.8 genau dann ϵ liefert, wenn Q nicht realisierbar ist.

- (2) Da L in P-TIME ist, ist L auch in NP-TIME, denn nach Definition dieser beiden Klassen folgt sofort $\text{P-TIME} \subseteq \text{NP-TIME}$. Es ist bisher aber noch nicht gelungen, nachzuweisen, daß es sich dabei um eine echte Inklusion handelt oder ob, was allerdings nicht anzunehmen ist, die beiden Klassen identisch sind [Carey, Johnson 1979].

In den beiden folgenden Sätzen wird gezeigt, daß Realisierungs- und Programmsyntheseproblem in NP-TIME sind.

Satz 6.3

L bezeichne die Menge aller endlichen "lösbaren" Realisierungsprobleme, d.h. $L = \{(Q, l) \mid Q \in PSP_{I,S}^{fin} \wedge l \in \mathbb{N} \wedge Q \text{ ist } l\text{-realisierbar}\}$.

Behauptung: L ist in NP-TIME

Beweis:

(Q, l) sei ein Realisierungsproblem. In polynomialer Zeit kann nach Satz 6.1 $G = IH\text{-GRAPH}(Q)$ durch das Verfahren von Kapitel 3 berechnet werden. Liegt G vor und ist $G \neq \epsilon$, so kann in nicht-deterministischer Vorgehensweise analog zu der in Abschnitt 3.3 beschriebenen Hypothesenbildung an jedem Knoten K von G jedes mögliche LABEL- und Instruktionshypothesenpaar (r, I) "parallel" (d.h. nicht-deterministisch) angenommen werden, wobei I aus der IH-Menge von K und $r \in \{1, \dots, l\}$ ist (LABEL größer als l sind irrelevant). Die Überprüfung, ob eine sich so als U-Graph UG ergebende Tripelmenge die Eindeutigkeitsanforderungen von Def. 3.13 erfüllt, kann in $O(n^2)$ Schritten überprüft werden, wobei n die Anzahl der Knoten von G ist. Ist dies der Fall und darüberhinaus die Anzahl der Knoten von UG kleiner oder gleich l, so ist Q l-realisierbar und es wird "Ja" ausgegeben; andernfalls ist Q nicht l-realisierbar und es erfolgt ebenso wie bei $G = \epsilon$ die Ausgabe "Nein".

Das hier skizzierte Verfahren arbeitet nicht-deterministisch, aber in polynomialer Zeit, woraus die Behauptung folgt.

Satz 6.4:

$PSP_{I,S}^{fin}$ ist in NP-TIME

Beweis:

Die Aussagen von Satz 6.2 gelten auch für nicht-deterministische Algorithmen; damit folgt die Behauptung aus Satz 6.3 .

In Abschnitt 6.4 werden die Aussagen der Sätze 6.3 und 6.4 über die Zugehörigkeit zu NP-TIME für den Nachweis der NP-Vollständigkeit dieser Problemstellungen benötigt.

6.3.2 NP-Vollständigkeit

Aufgrund der beiden letzten Sätze stellt sich die Frage, ob die Menge der Realisierungs- bzw. Programmsyntheseprobleme nicht nur in NP-TIME, sondern auch in P-TIME ist, d.h. ob es dafür einen deterministischen Algorithmus polynomialer Zeitkomplexität gibt.

Diese Frage wird in dieser Arbeit nicht beantwortet werden, aber es wird gezeigt, daß die Antwort darauf eines der wichtigsten noch offenen Probleme der Komplexitätstheorie lösen

würde, nämlich ob P-TIME = NP-TIME gilt oder nicht. Dies geschieht durch den Nachweis, daß Realisierungs- bzw. Programmsyntheseprobleme zu den schwierigsten Problemklassen in NP-TIME gehören, d.h.: fände man einen deterministischen polynomialen Algorithmus dafür, so könnte man damit für jede andere Problemklasse aus NP-TIME ebenfalls einen deterministischen polynomialen Algorithmus konstruieren. Problemklassen, die dieses Schwierigkeitskriterium erfüllen, heißen NP-vollständig [Cook 1971], [Garey, Johnson 1979].

Definition 6.4

K sei eine Problemklasse aus NP-TIME.

K heißt NP-vollständig \Leftrightarrow

Wenn es einen deterministischen Algorithmus A für K mit Zeitkomplexität $T(n)$, $T(n) \approx n$, gibt, so kann für jede Problemklasse K' aus NP-TIME effektiv ein deterministischer Algorithmus mit Zeitkomplexität $T(p(n))$ gefunden werden, wobei p ein von K' abhängiges Polynom ist. In diesem Fall heißt K' reduzierbar zu K .

Im folgenden Abschnitt wird der Begriff der Reduzierbarkeit durch eine andere Relation präzisiert.

6.3.3 Polynomiale Transformierbarkeit

Die Relation "polynomial transformierbar" [Garey, Johnson 1979] erweist sich als nützlich für den Nachweis der NP-Vollständigkeit von Problemklassen.

Definition 6.5

K und K' seien zwei Problemklassen. Σ und Σ' seien die Alphabete, in denen die Standardcodierungen von K und K' vorliegen.

K' ist polynomial transformierbar zu K \Leftrightarrow

Es gibt ein Polynom $p(n)$ und einen deterministischen Algorithmus A polynomialer Zeitkomplexität, der eine Abbildung

$$A : \Sigma'^* \rightarrow \Sigma^*$$

definiert, sodaß gilt:

$$\forall x \in \Sigma'^* . (x \in K' \Leftrightarrow A(x) \in K) \\ \wedge (|A(x)| \leq p(|x|))$$

Die Bedingung $A(x) \in K$ $\Leftrightarrow p(|x|)$ in obiger Definition stellt sicher, daß kein Element x von K' einem Element von K zugeordnet wird, dessen Größe die Größe von x um mehr als einen polynomialen Faktor übersteigt. Der Einfachheit halber sei i.f. bei Algorithmen zur polynomialen Transformation immer angenommen, daß das Polynom p sowohl die Zeitkomplexität wie auch eine obere Grenze für die Länge der zugeordneten Wörter angibt.

Satz 6.5

K und K' seien zwei Problemlassen. A_1 sei ein Lösungsalgorithmus für K mit Zeitkomplexität $T(n)$, $T(n) \geq n$; K' sei polynomial transformierbar zu K.

Behauptung: K' ist reduzierbar zu K.

Beweis:

Da K' polynomial transformierbar ist zu K, gibt es einen Algorithmus $A : \Sigma^* \rightarrow \Sigma^*$ und ein Polynom p wie in Def. 6.5. Ein Lösungsalgorithmus A_2 für K' kann nun zunächst für jedes $x \in K'$ in der Anwendung von A auf x bestehen; dieser Schritt benötigt höchstens $p(|x|)$ Zeiteinheiten, und es gilt $A(x) \in p(|x|)$. A_1 liefert bei Eingabe $A(x)$ das gewünschte Ergebnis des gesuchten Algorithmus A_2 bei Eingabe x; also $A_2 = \lambda x. A_1(A(x))$. Dieser zweite Teilschritt benötigt $T(|A(x)|)$ und wegen $|A(x)| \leq p(|x|)$ und der Monotonie von T somit höchstens $T(p(|x|))$, der gesamte Algorithmus A_2 maximal $p(|x|) + T(p(|x|))$ Zeiteinheiten. Da T Zeitkomplexitätsfunktion, kann o.B.d.A. $n + T(n) \leq T(2 \cdot n)$ angenommen werden; damit ist $T(2 \cdot p(|x|))$ eine obere Grenze für den von A_2 benötigten Zeitaufwand. Es folgt, daß K' reduzierbar ist zu K.

6.4 Komplexität von Realisierungs- und Programmsynthese-

probleme

Um zu zeigen, daß eine Problemklasse K NP-vollständig ist, muß zum einen die Zugehörigkeit von K zu NP-TIME, zum anderen für jedes K' aus NP-TIME die polynomiale Transformierbarkeit zu K nachgewiesen werden. Der erste Punkt ist wegen der Möglichkeit der Nicht-Determiniertheit des betreffenden Algorithmus of relativ leicht zu erfüllen (vgl. Satz 6.3); der zweite Punkt ist insofern schwieriger, da er für alle K' durchzuführen ist. Ist jedoch für irgendein K_0 erst einmal die NP-Vollständigkeit nachgewiesen worden, so genügt es, für den Nachweis der NP-Vollständigkeit eines anderen K aus NP-TIME lediglich für K_0 die polynomiale Transformierbarkeit zu K zu zeigen: jedes K' aus NP-TIME wäre dann zumindest über den "Umweg" über K_0 polynomial transformierbar zu K.

Es wurde gezeigt, daß das sog. Erfüllbarkeitsproblem, ob es nämlich für einen booleschen Ausdruck B eine Variablenbelegung gibt, unter der B true liefert, NP-vollständig ist [Cook 1971]. An anderer Stelle wurde bewiesen, daß das Erfüllbarkeitsproblem polynomial transformierbar ist zu dem sog. Einfärbungsproblem.

Definition 6.6

(1) $G = (V, E)$ sei ein ungerichteter Graph, $k \in \mathbb{N}$.

G ist k-färbbar \Leftrightarrow

Es gibt eine Abbildung $F : V \rightarrow \{1, \dots, k\}$, die benachbarten Knoten von G jeweils verschiedene Farben, das sind

die Zahlen aus $\{1, \dots, k\}$, zuordnet:

$$\forall (v, v') \in E. F(v) \neq F(v')$$

(2) Das Einfärbungsproblem ist das folgende:

Gegeben sei ein ungerichteter Graph G und ein $k \in \mathbb{N}$,
ist G k -färbbar?

Das Einfärbungsproblem für ungerichtete Graphen ist in NP-TIME, und es gehört zu den schwierigsten Problemen dieser Klasse, denn es gilt:

Satz 6.6

Das Einfärbungsproblem ist NP-vollständig.

Beweis

durch polynomiale Transformation des Erfüllbarkeitsproblems [Aho, Hopcraft, Ullman 1974].

Mit Hilfe von Satz 6.6 wird die NP-Vollständigkeit von Realisierung- (6.4.1) und Programmsyntheseproblem (6.4.2) gezeigt.

6.4.1 NP-Vollständigkeit des Realisierungsproblems

Satz 6.7

Das Realisierungsproblem für PSP ist NP-vollständig.

Beweis:

Es wird gezeigt, daß das Einfärbungsproblem für Graphen polynomial transformierbar ist zu dem Realisierungsproblem für PSP, welches nach Satz 6.3 in NP-TIME ist. Mit Satz 6.6 folgt die NP-Vollständigkeit des Realisierungsproblems.

Gegeben sei ein ungerichteter Graph $G = (V, E)$ und ein $k \in \mathbb{N}$.

Es wird ein PSP Q konstruiert, das genau dann k -realisierbar ist, wenn G k -färbbar ist.

Sei $V = \{v_1, \dots, v_s\}$, $E = \{e_1, \dots, e_t\}$. O.B.d.A. können folgende Annahmen über G gemacht werden:

1. G ist verbunden, d.h. für alle v_i, v_j aus V mit $i \neq j$ gibt es einen Weg in G von v_i nach v_j .

2. Für alle $v \in V$ gilt $(v, v) \notin E$.

3. V sei linear geordnet durch $v_1 < \dots < v_s$.

4. Da G ungerichteter Graph, ist $(v, v') \in E$ äquivalent zu $(v', v) \in E$. Die Kanten von G seien i.f.f. jedoch grundsätzlich so angeben, daß der unter der linearen Ordnung von V kleinere Knoten immer an erster Stelle steht, d.h. $(v, v') \in E \Rightarrow v < v'$.

$Q = (b, M)$ ist ein PSP aus zuweisungsgetreuen Speicherbelegungsfolgen, also $b = \underline{as}$. Die Q zugrunde liegende Menge der möglichen Speicherbelegungen STORES sind die Wörter der Länge 1, 2 oder 3 über einem Alphabet Σ , das für jeden Knoten v_i von G und für jede Kante e_j von G ein spezielles Symbol a_i bzw. a'_j enthält:

$$\Sigma = \{a_1, \dots, a_s\} \cup \{a'_1, \dots, a'_t\}$$

$$\text{STORES} = \Sigma^1 \cup \Sigma^2 \cup \Sigma^3$$

Es gibt nur eine einzige Zuweisungsinstruktion, aber $s + t$ verschiedene Testinstruktionen

$$\text{ASSIGNMENTS} = \{A\}$$

$$\text{TESTS} = \{T_1, \dots, T_s\} \cup \{T'_1, \dots, T'_t\}$$

die definiert sind durch:

$$A = \lambda w. w = aw' \longrightarrow w'$$

$$T_i = \lambda w. w = aw' \longrightarrow a = a_i$$

$$T'_j = \lambda w. w = aw' \longrightarrow a = a'_j$$

wobei $i \in \{1, \dots, s\}$, $j \in \{1, \dots, t\}$, $a \in \Sigma, w' \in \Sigma^*$.

Die Menge der Beispielfolgen von Q enthält $2 \cdot t$ Speicherbelegungsfolgen:

$$M = \{M_1, \dots, M_t\} \cup \{M'_1, \dots, M'_t\}.$$

Jeder Kante e_i von G entsprechen genau zwei dieser Speicherbelegungsfolgen, nämlich M_i und M'_i . Für $i \in \{1, \dots, t\}$ sei $e_i = (v_i, v_j)$, wobei gemäß obiger Vereinbarung $i < j$.

Dann sind M_I und M'_I gegeben durch:

$$M_I = (a_i a'_i a'_i, a'_i a'_i)$$

$$M'_I = (a_i a'_i a'_i, a'_i a'_i, a'_i)$$

Damit ist Q vollständig spezifiziert. Die Mächtigkeit von Σ und der Instruktionenmengen von Q ist linear von s und t abhängig. Q enthält $2 \cdot t$ Beispielfolgen maximaler Länge 3, wobei jede auftretende Speicherbelegung durch ein Wort höchstens der Länge 3 gegeben ist. Die Größe der Standardcodierung von Q ist somit $O(t)$, während auch die für die Konstruktion von Q benötigte Zeit sicherlich nicht mehr als polynomial mit s und t anwächst. Für den Nachweis, daß es sich hier um eine polynomiale Transformation im Sinne von Def. 6.5 handelt, bleibt also noch zu zeigen: G ist k -färbbar genau dann, wenn Q k -realisierbar ist.

Der Beweis hierzu beruht auf folgendem: Alle in Q auftretenden Speicherbelegungsübergänge können von der Zuweisungsinstruktion A erzeugt werden, die auch gleichzeitig die einzig mögliche Instruktion ist. Ein Q realisierendes Programm P muß aber mehrere mit A markierte Knoten haben, da es wegen der Folgen in Q Übergänge von einem A -Knoten zum STOP-Knoten bzw. wiederum zu einem A -Knoten geben muß, die nicht durch eine Testinstruktion unterschieden werden können. Jeder Knoten von G kann eindeutig einem A -Knoten von P zugeordnet werden. Wenn G k -färbbar ist, so genügen k verschiedene A -Knoten in P , wobei die Färbung von G die LABEL der A -Knoten liefert; ist andererseits Q k -realisierbar, so enthält P maximal k

A-Knoten, wobei die LABEL dieser Knoten eine Einfärbung von G darstellen.

Um Letzteres zu beweisen, werden die in den Kapiteln 2 - 5 entwickelten Verfahren benutzt. Für die Standarddarstellung

$$Q_{ST} = (as, S, MI, MT) \text{ von } Q \text{ gilt:}$$

- (i) Die Speicherbelegungsmatrix S enthält als Zeilen genau die 2 t-Folgen aus M. Diese seien wie folgt indiziert:

$$\forall r \in \{1, \dots, t\}. S_r = M_r$$

$$\forall r \in \{t+1, \dots, 2t\}. S_r = M'_{I-t}$$

Sei $r \in \{1, \dots, t\}$. M_r und M'_I entsprechen also der Kante e_r von G. Für $e_r = (v_i, v_j)$ gilt:

- (ii) Die Matrix der Instruktionen MI enthält für M_r und

M'_I die Zeilen:

$$MI_r = (\{\underline{START}\}, \{A\}, \{\underline{STOP}\})$$

$$MI_{t+r} = (\{\underline{START}\}, \{A\}, \{\underline{STOP}\})$$

- (iii) Die Matrix der Transitionen MT enthält für M_r und

M'_I die Zeilen:

$$MT_r = (\{T_i\}, \{T'_I\})$$

$$MI_{t+r} = (\{T_j\}, \{T'_I\}, \{T'_I\})$$

Für die Konstruktion des IH-Graphen IHG von Q läßt sich folgendes beobachten: MT enthält in der ersten Spalte genau s verschiedene Elemente, nämlich $\{T_1, \dots, T_s\}$, die genau den Knoten von G entsprechen. Dadurch wird eine s-elementige

Zerlegung der Elemente der zweiten Spalte von MI definiert, sodaß IHG s Knoten der Stufe 1 besitzt, die alle mit {A} markiert sind. Auf der zweiten Stufe besitzt IHG 2·t Knoten, deren Indexmengen jeweils einelementig und die entweder mit {STOP} oder mit {A} markiert sind, während auf Stufe drei alle t Knoten die Markierung {STOP} besitzen. Es gibt in IHG keine redundanten Indizes, und da alle Knoten mit einer ein-elementigen Instruktionsmenge markiert sind, gibt es genau eine einzige aus IHG ableitbare terminale IH-Situation IS. Diese ist in Abb. 6.1 skizziert. Der IH-Baum T von IS ergibt sich, wenn man in Abb. 6.1 die Knotenmarkierungen wie A durch {A} ersetzt.

Für einen Knoten v_i aus G bezeichne K_i den Knoten von IHG der Stufe 1, der vom START-Knoten aus über die Kantenmarkierung $\{T_i\}$ erreichbar ist. Dies definiert eine eindeutige Zuordnung, für die insbesondere gilt, wenn $\#$ die in T geltende Unterscheidbarkeitsrelation bezeichnet:

$$(*) \quad \forall i, j \in \{1, \dots, s\}. (v_i, v_j) \in E \Leftrightarrow K_i \#_1 K_j$$

Der Beweis zu (*) erfolgt in zwei Schritten:

- (i) Falls $(v_i, v_j) \in E$, so gibt es für diese Kante $e_r = (v_i, v_j)$ die zwei Beispielsfolgen M_r und M'_I in Q, die in IHG den Indizes r und t+r entsprechen. Index r führt vom START-Knoten aus zum Knoten K_i , Index t+r zu K_j , und wegen $T_i \# T_j$ gilt $K_i \# K_j$. K_i und K_j sind beide mit {A} markiert und daher nicht 0-unterscheidbar. Der

über Kantenmarkierung $\{T'_I\}$ erreichbare Nachfolger von K_i gemäß Index r ist mit $\{STOP\}$ markiert, der ebenfalls über $\{T'_I\}$ erreichbare Nachfolger von K_j gemäß Index $t+r$ jedoch mit $\{A\}$. Folglich gilt $K_i \#_1 K_j$.

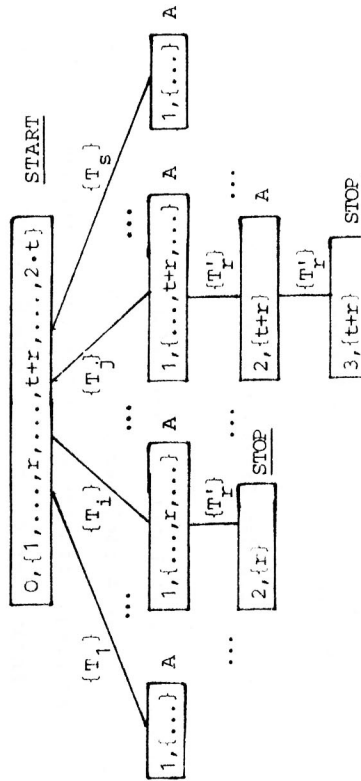


Abb. 6.1 IH-Situation IS

(ii) Falls $K_i \#_1 K_j$, so muß es wegen $\mathbb{1}(K_i \#_0 K_j)$ Nachfolger K'_i und K'_j von K_i und K_j geben, die über dieselbe Kantenmarkierung erreichbar und die 0-unterscheidbar sind. Die s Knoten erster Stufe in IHG haben insgesamt $2 \cdot t$ Nachfolger zweiter Stufe, wobei zwischen diesen beiden Stufen jede Kantenmarkierung aus $\{\{T'_1\}, \dots, \{T'_t\}\}$ genau zweimal vorkommt. Von K_i und K_j können aber nach Konstruktion von IHG nur dann gleiche Kantenmarkierungen ausgehen, wenn es eine Kante $(v_i, v_j) \in E$ gibt.

Daher gelten:

1. G sei k -färbbar; $F : V \rightarrow \{1, \dots, k\}$ sei Einfärbung von G . Die LABEL-Hypothese u , die den Knoten K_i der Stufe eins von IS die Farbe des entsprechenden Knoten von G ($u(K_i) = F(v_i)$) und den mit A markierten Knoten K der zweiten Stufe von IS einen Wert aus $\{1, \dots, k\}$, der lediglich von $F(v_i)$ verschieden sein muß, wenn K Nachfolger von K_i ist, zuordnet, ist eindeutig und liefert einen U-Graph UG mit k Knoten. Nach Satz 4.12 ist Q k -realisierbar.

2. Q sei k -realisierbar; P sei ein Programm, das Q k -realisiert. Nach Satz 3.9 liefert P eine eindeutige LABEL-Hypothese u für IS. O.B.d.A. kann angenommen werden, daß in P nur LABEL aus $\{1, \dots, k\}$ vorkommen (vgl. Anmerkung im Anschluß an Def. 4.6). Die durch $F = \lambda v. v = v_i \rightarrow u(K_i)$ definierte Abbildung $F : V \rightarrow \{1, \dots, k\}$ ist daher wegen (*) und Satz 4.5 eine k -Einfärbung von G . Dies schließt den Beweis von Satz 6.7 ab.

6.4.2 NP-Vollständigkeit der Programmsynthese aus

Beispielsfolgen

Wegen der polynomialen Verwandtschaft der Schwierigkeitsgrade von Realisierungs- und Programmsyntheseproblem folgt aus Satz 6.7 unmittelbar die NP-Vollständigkeit der letzteren Problemlasse.

Satz 6.8

$PSP_{I,S}^{fin}$ ist NP-vollständig.

Beweis: folgt aus den Sätzen 6.2, 6.4 und 6.7.

Ein wesentlicher Punkt der Beweisführung von Satz 6.7 liegt darin, daß die Anzahl der für die Beschreibung der einzelnen Speicherbelegungszustände zur Verfügung stehenden Zeichen und die Anzahl der einem PSP zugrunde liegenden Instruktionen nicht von vorneherein durch die Definition von $PSP_{I,S}^{fin}$ beschränkt ist. Es stellt sich die Frage, ob auch für derartige Einschränkungen von $PSP_{I,S}^{fin}$ Realisierungsproblem und Programmsynthese noch NP-vollständig sind.

6.5 NP-Vollständigkeit eingeschränkter Realisierungs- und

Programmsynthese-Probleme

Es werden Einschränkungen bzgl. einzelner Größenkriterien, wie sie in Abschnitt 6.1.2 angegeben worden sind, sowie verschiedene Kombinationen solcher Einschränkungen betrachtet. Zur Vereinfachung der Notation wird folgende Definition eingeführt:

Definition 6.7

Sei $b \in \{s, a, ss, as\} \cup \{-\}$, $m, n, p, q, r \in \mathbb{N} \cup \{-\}$.

(1) $L = PSP-E(b, m, n, p, q, r)$ ist die Menge der Programmsynthese-Probleme mit Einschränkung (b, m, n, p, q, r)

\Leftrightarrow

$L \subseteq PSP_{I,S}^{fin}$ und für alle $Q \in L$ gelten:

- (i) falls $b \neq '-'$, dann ist die Problemspezifizierungs-marke von Q gleich b
- (ii) falls $m \neq '-'$, dann enthält Q nicht mehr als m Beispielsfolgen
- (iii) falls $n \neq '-'$, dann ist keine der Beispielsfolgen von Q länger als n
- (iv) falls $p \neq '-'$, dann enthält die Q zugrunde liegende Zuweisungsmenge nicht mehr als p Instruktionen, d.h. $|ASSIGNMENTS| \leq p$

(v) falls $q \neq '-'$, dann enthält die Q zugrunde liegende

Menge von Tests nicht mehr als q

Instruktionen, d.h. $|\text{TESTS}| \leq q$

(vi) falls $r \neq '-'$, dann enthält das Q zugrunde liegende

Alphabet zur Beschreibung der Spei-

cherbelegungen nicht mehr als r

Zeichen, d.h. $|\Sigma| \leq r$

(2) Das Realisierungsproblem mit Einschränkung (b, m, n, p, q, r)

ist das folgende: Gegeben ein PSP Q aus $\text{PSP-E}(b, m, n, p, q, r)$

und ein $l \in \mathbb{N}$, ist Q l -realisierbar?

Wenn in den folgenden Abschnitten 6.5.1 - 6.5.5 die NP-Vollständigkeit des Realisierungsproblems mit verschiedenen Einschränkungen gezeigt wird, so folgt daraus immer sofort die NP-Vollständigkeit der entsprechend eingeschränkten Menge der PSP, denn es gilt:

Satz 6.9 Sei b, m, n, p, q, r wie in Def. 6.7

Behauptung:

Ist das Realisierungsproblem mit Einschränkung (b, m, n, p, q, r) NP-vollständig, so ist auch $\text{PSP-E}(b, m, n, p, q, r)$ NP-vollständig.

Beweis: analog zu Satz 6.7 und Satz 6.8 .

Daher wird in den weiteren Sätzen dieses Abschnitts nicht mehr explizit das Programmsyntheseproblem, sondern nur noch das Realisierungsproblem berücksichtigt.

6.5.1 Einschränkung $(-, -, 3, 1, -, -)$

Das Realisierungsproblem eingeschränkt auf solche PSP Q , deren Beispielsberechnungen nicht länger als 3 sind und in denen nur eine einzige Zuweisungsinstruktion vorkommt, ist NP-vollständig. Dies folgt aus der Beweisführung zu Satz 6.7, in der zu einem beliebigen Einfärbungsproblem eine korrespondierende Instanz des Realisierungsproblems konstruiert wird, die genau diese Bedingungen erfüllt.

6.5.2 Einschränkung $(-, -, 4, 3, 4)$

Die Einschränkung der Mengen ASSIGNMENTS, TESTS und Σ (vgl. Def. 2.1) ist insofern von größerem Interesse als die zuvor betrachtete, als sie wirklichsnäher in folgendem Sinne ist: Eine vorgegebene Rechenmaschine oder ein bestimmtes Berechnungsmodell werden i.a. durch eine endliche und feste Anzahl von möglichen, ausführbaren Operationen bestimmt. Darüberhinaus stehen üblicherweise nur eine feste, endliche Anzahl von Unterscheidungskriterien zur Verfügung. Bei einer vorgegebenen Rechenmaschine R wäre also auf die hier benützte Terminologie übertragen nach dem ersten Punkt ASSIGNMENTS, nach dem zweiten Punkt TESTS und als Folgerung aus beiden auch Σ beschränkt auf endliche, fest vorgegebene Mengen. Betrachtet man nur PSP, die ein solches R erzeugen kann, so ist die daraus resultierende Einschränkung des

Realisierungsproblems sogar dann noch NP-vollständig, wenn man lediglich 4 Zuweisungs- und 3 Testinstruktionen und 4 Zeichen zur Beschreibung der Speicherbelegungen zuläßt.

Es ist zu beachten, daß diese Aussagen auch bei noch stärkerer Einschränkung bzgl. der angegebenen Parameter zutrifft (vgl. Abschnitt 6.5.5); die wesentliche Aussage des folgenden Satzes liegt jedoch darin, daß eine gleichzeitige Einschränkung dieser drei Parameter überhaupt möglich ist, ohne die NP-Vollständigkeit des Realisierungsproblems zu beseitigen.

Satz 6.10

Das Realisierungsproblem mit Einschränkung $(-, -, -, 4, 3, 4)$ ist NP-vollständig.

Beweis:

Sei L gegeben durch:

$$L = \{(Q, 1) \mid Q \in \text{PSP-E}(-, -, -, 4, 3, 4) \wedge 1 \in \mathbb{N} \wedge Q \text{ ist l-realisiert}\}.$$

Nach Satz 6.3 ist L in NP-TIME. I.f. wird gezeigt, daß das Einfärbungsproblem für Graphen polynomial transformierbar ist zu L, woraus nach Satz 6.6 die Behauptung folgt.

Gegeben sei ein ungerichteter Graph $G = (V, E)$, $V = \{v_1, \dots, v_s\}$, $E = \{e_1, \dots, e_t\}$, und ein $k \in \mathbb{N}$. Für G seien die im Beweis zu Satz 6.7 o.B.d.A. gemachten Annahmen 1.- 4. erfüllt. Es wird ein PSP Q konstruiert, das genau dann $((k+1) \cdot s^2 + s + k)$ -realisierbar ist, wenn G k-färbbar ist.

$Q = (b, M)$ ist ein PSP aus zuweisungsgetreuen Speicherbelegungen folgen, also $b = as$. Die Q zugrunde liegenden Speicherbelegungen STORES sind die Wörter über dem Alphabet $\Sigma = \{a, c, d, z\}$. Es gibt vier Zuweisungsinstruktionen, die alle jeweils ein Zeichen aus Σ an das Ende der vorliegenden Speicherbelegung w anfügen und von denen drei das erste Zeichen von w löschen. Drei Testinstruktionen stehen zur Verfügung; sie liefern true, wenn das erste Zeichen von w gleich 'a', 'c' bzw. 'z' ist.

Im einzelnen gilt, wobei $x \in \{a, c, z\}$, $y \in \Sigma$ und $w' \in \Sigma^*$:

ASSIGNMENTS = $\{A, C, D, Z\}$

$$A = \lambda w. w = yw' \rightarrow w'a$$

$$C = \lambda w. w = yw' \rightarrow w'c$$

$$D = \lambda w. w = yw' \rightarrow w'd$$

$$Z = \lambda w. wz$$

TESTS = $\{T_a, T_b, T_z\}$

$$T_x = \lambda w. w = yw' \rightarrow x = y$$

Ähnlich wie im Beweis zu Satz 6.7 werden für jede Kante e_r von G zwei Beispielfolgen in M aufgenommen, die mit M_r und M'_r bezeichnet werden. Darüberhinaus enthält M noch drei mit M_A, M_C und M_Z bezeichnete Folgen sowie k Folgen M_D^1, \dots, M_D^k .

Für die Angabe dieser Folgen ist jedoch noch eine Hilfsdefinition notwendig. Dabei wird jedem Paar $(i, j) \in \{1, \dots, s\}^2$ eindeutig eine Zahl $f(i, j) \in \{1, \dots, s^2\}$ zugeordnet. Die Funktion f wird dazu benutzt, jeder Kante $e_r = (v_i, v_j)$ von G zwei eindeutige Zahlen $f(i, j)$ bzw. $f(j, i)$ zuzuordnen zu können. f ist gegeben durch:

$$f : \{1, \dots, s\}^2 \longrightarrow \{1, \dots, s^2\}$$

$$f = \lambda i. \lambda j. (i-1) \cdot s + j$$

Offensichtlich gilt:

$$(i) \quad f(i, j) = f(i', j') \iff i = i' \wedge j = j'$$

$$(ii) \quad f(i, j) \neq f(j, i) \iff i \neq j$$

Zu jeder Zahl $l \in \{1, \dots, s^2\}$ gibt es also höchstens eine Kante $e_r = (v_i, v_j)$ in G [aufgrund der getroffenen Vereinbarung ist dies eindeutig, da $i < j$ gefordert wird], sodaß $f(i, j) = l$ oder $f(j, i) = l$, wobei wegen $(v, v) \notin E$ niemals beide Gleichungen gleichzeitig erfüllt sein können.

Die Beispielfolgen der Menge

$$M = \{M_1, \dots, M_t\} \cup \{M_1^1, \dots, M_t^1\} \cup \{M_D^1, \dots, M_D^k\} \cup \{M_A, M_C, M_Z\}$$

sind gegeben durch, wobei a^i für $\underbrace{a \dots a}_{i\text{-mal}}$ steht:

$$1. \quad M_A = (a^{s+1} z, a^s z a, \dots, a z a^s)$$

M_A ist eine Folge von $s+1$ Elementen, die alle Wörter der Länge $s+2$ sind. Die Gesamtlänge von M_A ist somit $O(s^2)$.

$$2. \quad M_C = (c^{k+1} z, c^k z c, \dots, c z c^k)$$

M_C ist eine Folge von $k+1$ Elementen der Länge $k+2$.

Wegen $k \leq s$ ist die Gesamtlänge von M_C $O(s^2)$.

$$3. \quad M_Z = (z, z^2, \dots, z^{s^2+1})$$

M_Z enthält s^2+1 Elemente, deren Länge maximal s^2+1 ist.

Die Gesamtlänge von M_Z ist somit $O(s^4)$.

4. Für $i \in \{1, \dots, k\}$ gilt:

$$M_D^i = (c^i a^{(k-i+1)s^2+1} z, c^{i-1} a^{(k-i+1)s^2+1} z c, \dots, a^{(k-i+1)s^2+1} z c^i,$$

$$a^{(k-i+1)s^2} z c^i d, \dots, a z c^i d^{(k-i+1)s^2})$$

M_D^i enthält $(k-i+1)s^2 + i + 1$ Wörter der Länge $(k-i+1)s^2 + i + 2$, sodaß wegen $k = O(s)$ die Gesamtlänge von M_D^i $O(s^6)$ ist. Weiterhin ist daher die Summe der Längen von M_D^1, \dots, M_D^k gegeben durch $O(s^7)$.

5. Für jede Kante e_r von G gibt es genau zwei Beispielfolgen in Q , nämlich M_r und M_r^1 . Sei $r \in \{1, \dots, t\}$, $e_r = (v_i, v_j)$, wobei wieder $i < j$. Dann gilt:

$$M_r = (a^i c a^f(i, j) z, a^{i-1} c a^f(i, j) z a, \dots, c a^f(i, j) z a^i,$$

$$a^f(i, j) z a^i c, \dots, z a^i c d^f(i, j), z a^i c d^f(i, j) z, \dots,$$

$$\dots, z a^i c d^f(i, j) z^f(i, j))$$

$$M_r^1 = (a^j c a^f(i, j) z, a^{j-1} c a^f(i, j) z a, \dots, c a^f(i, j) z a^j,$$

$$a^f(i, j) z a^j c, \dots, z a^j c d^f(i, j), z a^j c d^f(i, j) z, \dots,$$

$$\dots, z a^j c d^f(i, j) z^f(i, j))$$

Da $i, j \in \{1, \dots, s\}$, enthält M_r Wörter maximal der Länge $2 \cdot f(i, j) + j + 2 = O(s^2)$; ebenso ist die Anzahl der Wörter in M_r $O(s^2)$, die Gesamtlänge von M_r und damit auch von M_r^1 also $O(s^4)$. Da die Anzahl der Kanten t nicht größer als s^2 sein kann, gibt es $O(s^2)$ derartige Folgen M_r sowie M_r^1 ; die Summe der Längen aller dieser ist daher $2 \cdot O(s^2) \cdot O(s^4) = O(s^6)$.

Damit ist Q vollständig spezifiziert. Die gesamte Länge der Standardcodierung von Q ergibt sich aus der Summe der unter 1. - 5. gegebenen Längen zu $O(s^7)$, während auch die für die Konstruktion von Q benötigte Zeit sicherlich nicht mehr als polynomial mit s anwächst. Für den Nachweis, daß es sich dabei um eine polynomiale Transformation im Sinne von Def. 6.5 handelt, bleibt also noch zu zeigen: G ist k-färbbar genau dann, wenn $Q((k+1) \cdot s^2 + s + k)$ -realisierbar ist.

Der Beweis hierzu erfolgt wie in Satz 6.7 mit Hilfe der Standarddarstellung Q_{ST} und des IH-Graphen IHG von Q. Die Berechnung von $Q_{ST} = (as, S, MI, MT)$ ist einfach, da jeder Speicherbelegungsübergang in M durch genau eine Zuweisungsinstruktion aus ASSIGNMENTS erzeugt werden kann und für jede in M auftretende Speicherbelegung genau eine Testinstruktion aus TESTS true liefert. Um eine einfache Korrespondenz zwischen den Folgen von M und den Zeilen aus S, MI und MT zu erhalten, wird auf eine fortlaufende Indizierung der Zeilen verzichtet und stattdessen die zuvor benutzte Bezeichnung übernommen, sodaß S_A, MI_A und MT_A der Beispielfolge M_A entsprechen usw.

(1) S enthält genau die Folgen aus M als Zeilen.

(2) MI und MT erhalten als Zeilen

$$(2.1) \text{ für } M_A : \quad MI_A = (\underbrace{\{\underline{START}\}, \{A\}, \dots, \{A\}}_{s\text{-mal}}, \{\underline{STOP}\})$$

$$MT_A = (\underbrace{\{T_a\}, \dots, \{T_a\}}_{(s+1)\text{-mal}})$$

(2.2) für M_C :

$$MI_C = (\underbrace{\{\underline{START}\}, \{C\}, \dots, \{C\}}_{k\text{-mal}}, \{\underline{STOP}\})$$

$$MT_C = (\underbrace{\{T_c\}, \dots, \{T_c\}}_{(k+1)\text{-mal}})$$

(2.3) für M_Z :

$$MI_Z = (\underbrace{\{\underline{START}\}, \{Z\}, \dots, \{Z\}}_{s^2\text{-mal}}, \{\underline{STOP}\})$$

$$MT_Z = (\underbrace{\{T_z\}, \dots, \{T_z\}}_{(s^2+1)\text{-mal}})$$

(2.4) für M_D^i , wobei $i \in \{1, \dots, k\}$:

$$MI_D^i = (\underbrace{\{\underline{START}\}, \{C\}, \dots, \{C\}}_{i\text{-mal}}, \underbrace{\{D\}, \dots, \{D\}}_{(k-i+1)\text{-mal}}, \underbrace{\{S^2\}}_{s^2\text{-mal}})$$

$$MT_D^i = (\underbrace{\{T_c\}, \dots, \{T_c\}}_{i\text{-mal}}, \underbrace{\{T_a\}, \dots, \{T_a\}}_{((k-i+1) \cdot s^2 + 1)\text{-mal}})$$

(2.5) für M_I und M_I^i , wobei $i \in \{1, \dots, t\}$ und $e_i = (v_i, v_j)$:

$$MI_I = (\underbrace{\{\underline{START}\}, \{A\}, \dots, \{A\}}_{i\text{-mal}}, \underbrace{\{C\}, \{D\}, \dots, \{D\}}_{f(i,j)\text{-mal}}, \underbrace{\{Z\}, \dots, \{Z\}}_{f(i,j)\text{-mal}}, \{\underline{STOP}\})$$

$$MT_I = (\underbrace{\{T_a\}, \dots, \{T_a\}}_{i\text{-mal}}, \underbrace{\{T_c\}, \{T_a\}, \dots, \{T_a\}}_{f(i,j)\text{-mal}}, \underbrace{\{T_z\}, \dots, \{T_z\}}_{(f(i,j)+1)\text{-mal}})$$

$$MI_I^i = (\underbrace{\{\underline{START}\}, \{A\}, \dots, \{A\}}_{j\text{-mal}}, \underbrace{\{C\}, \{D\}, \dots, \{D\}}_{f(j,i)\text{-mal}}, \underbrace{\{Z\}, \dots, \{Z\}}_{f(j,i)\text{-mal}}, \{\underline{STOP}\})$$

$$MT_I^i = (\underbrace{\{T_a\}, \dots, \{T_a\}}_{j\text{-mal}}, \underbrace{\{T_c\}, \{T_a\}, \dots, \{T_a\}}_{f(i,j)\text{-mal}}, \underbrace{\{T_z\}, \dots, \{T_z\}}_{(f(i,j)+1)\text{-mal}})$$

Alle Knoten des aus Q_{ST} zu konstruierenden IH-Graphen IHG von Q sind mit elementarigen Instruktionemengen markiert; folglich gibt es genau eine einzige aus IHG ableitbare terminale IH-Situation IS. Zur besseren Übersicht sind in dem in Abb. 6.2 skizzierten Teil von IS zunächst nur die Knoten berücksichtigt, die den vier Beispielfolgen M_A, M_C, M_D^1 und M_Z entsprechen. Über die zwischen diesen Knoten geltenden Unterscheidbarkeitsrelationen lassen sich folgende Aussagen machen:

Alle mit A, C, D und Z markierten Knoten in Abb. 6.2 sind paarweise unterscheidbar. Mit Hilfe der Sätze 4.5 und 4.6 folgt, daß jede eindeutige LABEL-Hypothese u zu einem U-Graph UG mit mindestens s A-Knoten, k C-Knoten, $k \cdot s^2$ D-Knoten und s^2 Z-Knoten führt, daß UG also mindestens $(k+1) \cdot s^2 + s + k$ Zweigungsknoten enthält.

Berücksichtigt man noch zusätzlich die Beispielfolgen M_D^2, \dots, M_D^k in IS, so geht von jedem mit C markierten Knoten K von IS ein mit $\{T_a\}$ markierter Übergang zu einer Folge von $(k-i+1) \cdot s^2$ mit D markierten Knoten, wenn $LEVEL(K)$ gleich i ist. Dieser Teil von IS ist in Abb. 6.3 skizziert. Alle Knoten jeder dieser D-Folgen in Abb. 6.3 sind jeweils paarweise unterscheidbar, und es gibt genau eine einzige Möglichkeit, eine eindeutige LABEL-Hypothese u für den in Abb. 6.2 skizzierten Teil von IS auf die in Abb. 6.3 angegebenen Knoten zu erweitern, ohne zusätzliche LABEL zu benötigen. O.B.d.A. kann dabei angenommen werden, daß u den s A-Knoten fortlaufend die LABEL $1, \dots, s$, den k C-Knoten die LABEL $1, \dots, k$ usw.

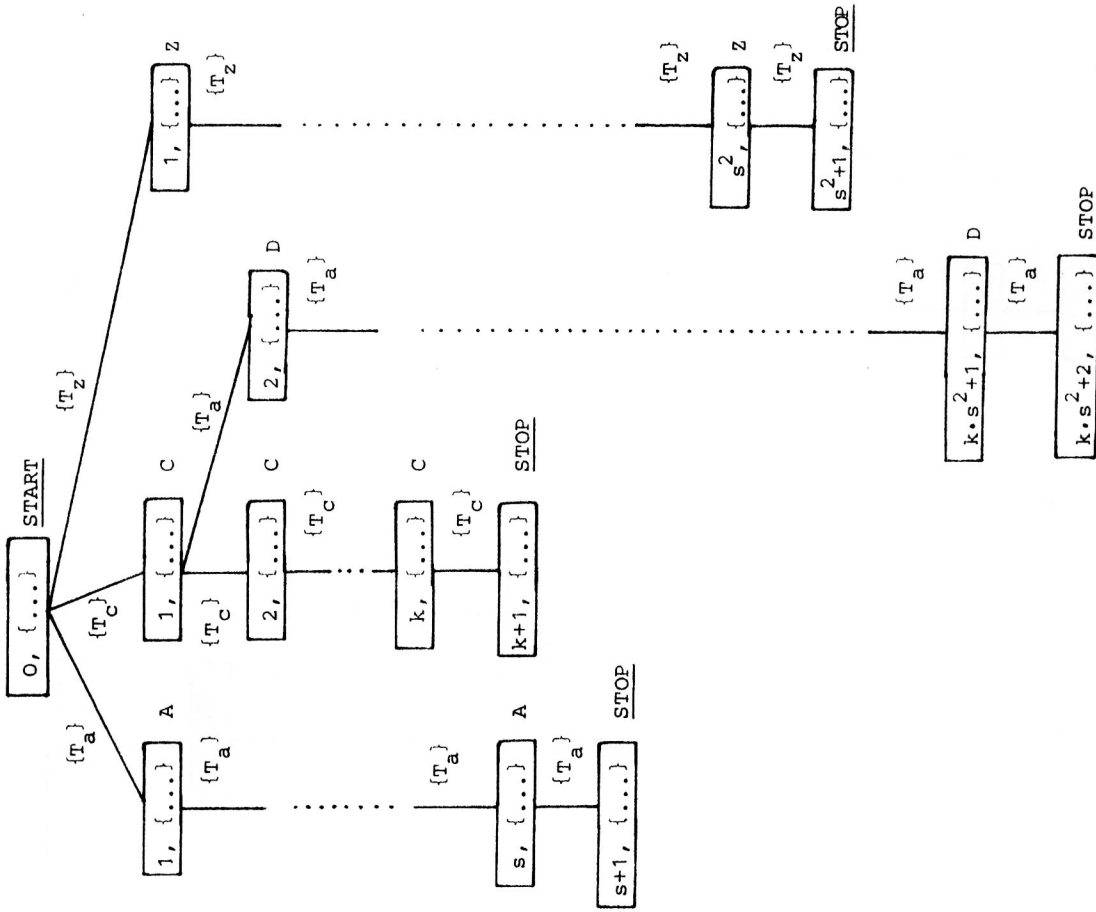


Abb. 6.2 Der Teil von IS für M_A, M_C, M_D^1 und M_Z

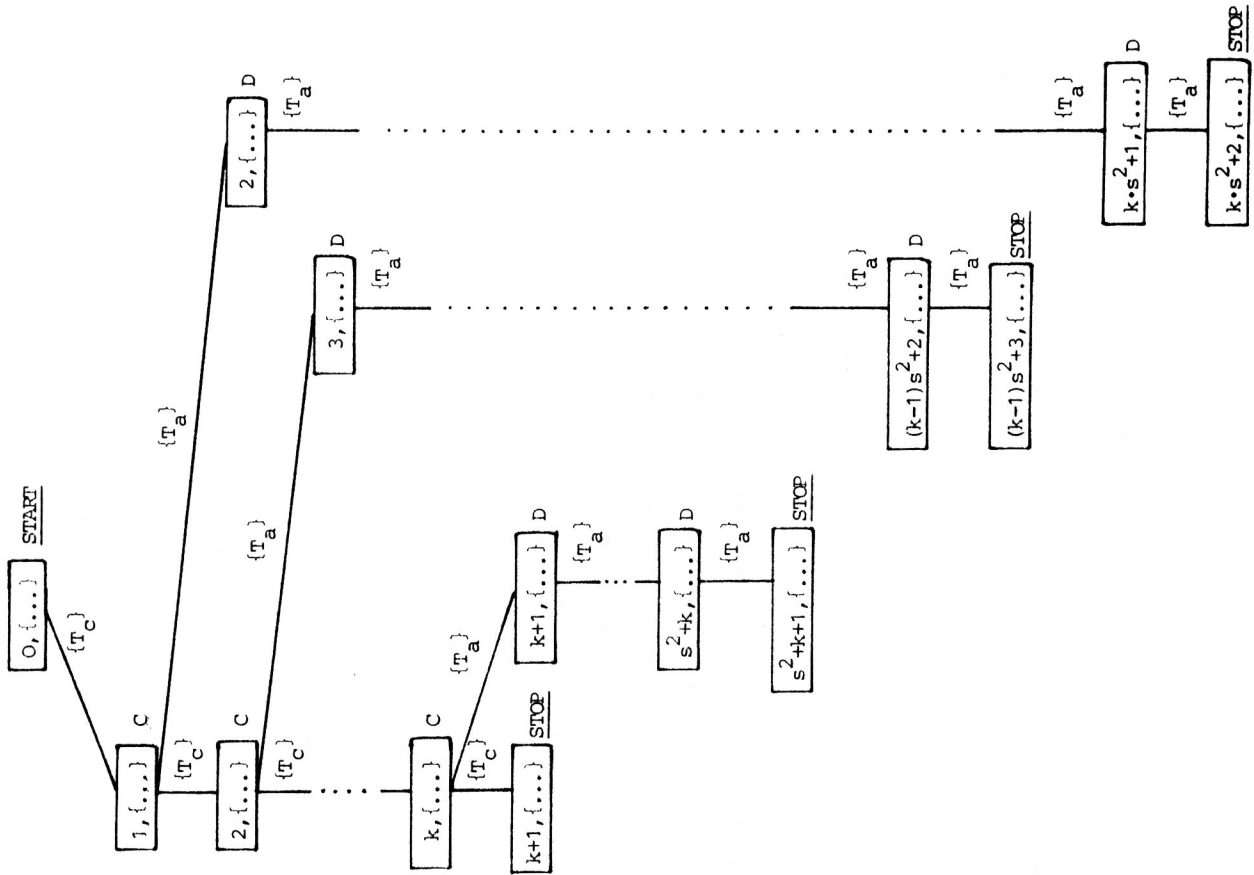


Abb. 6.3 Der Teil von IS für M_A^1, \dots, M_C^k

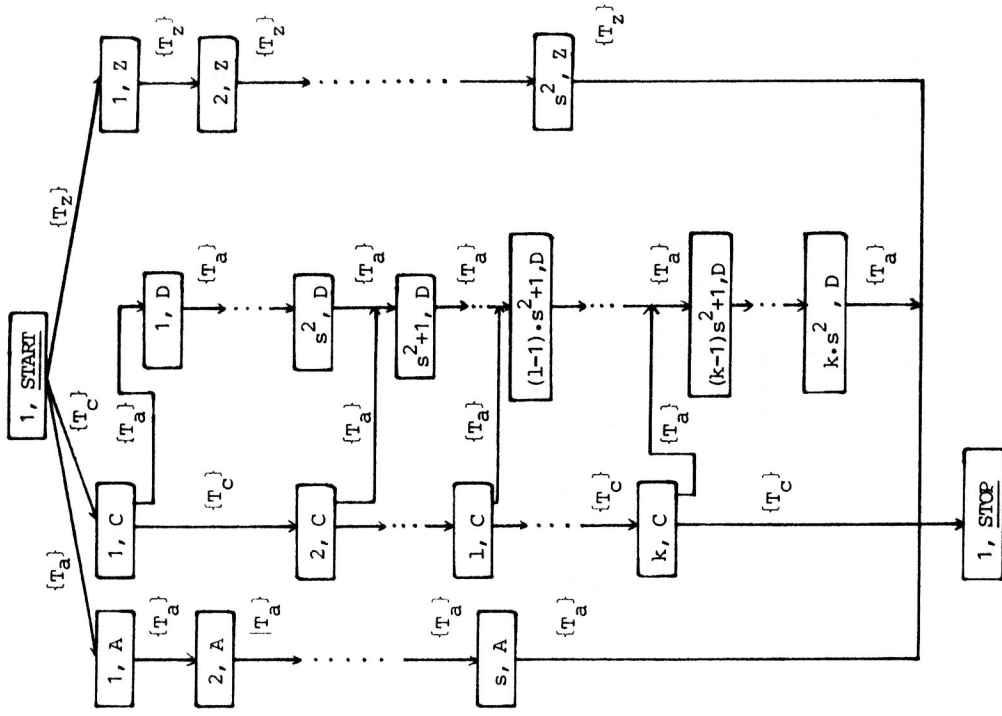


Abb. 6.4 U-Graph UG für $M_A^1, M_C^1, M_D^1, \dots, M_D^k, M_Z^k$

zuordnet. Der entstehende U-Graph UG ist in Abb. 6.4 angegeben.

Wesentlich ist, daß jede eindeutige LABEL-Hypothese u, die die den Folgen $M_A, M_C, M_Z, M_D^1, \dots, M_D^k$ entsprechenden Knoten von IS berücksichtigt und nicht mehr als $(k+1) \cdot s^2 + s + k$ Knoten benötigt, zu dem in Abb. 6.4 skizzierten UG führt, wobei höchstens noch eine unwesentliche Umbenennung der LABEL möglich wäre.

Für diese $k+3$ Beispielfolgen werden also schon $(k+1) \cdot s^2 + s + k$ Zuweisungsknoten benötigt. Die Erweiterung von u zu einer Markierung für die gesamte IH-Situation IS, ohne neue Programmknoten zu erzeugen, kann daher nur durch zusätzlich in UG eingefügte Übergänge zwischen bereits vorhandenen Knoten geschehen. Aber auch dabei sind die Auswahlmöglichkeiten beschränkt, wie aus den folgenden Ausführungen deutlich wird.

Sei $rc\{1, \dots, t\}$, $e_r = (v_i, v_j)$. Die M_r und M'_r entsprechenden Instruktionsfolgen seien I_r und I'_r . Für

$$I_r = (\underbrace{START, A, \dots, A, C, D, \dots, D, Z, \dots, Z, STOP}_{i\text{-mal}}, \underbrace{f(i, j)\text{-mal}}_{f(i, j)\text{-mal}})$$

kommen wegen der Übergänge

$$MT_r = (\underbrace{\{T_a\}, \dots, \{T_a\}}_{i\text{-mal}}, \underbrace{\{T_c\}, \{T_a\}, \dots, \{T_a\}}_{f(i, j)\text{-mal}}, \underbrace{\{T_z\}, \{T_a\}, \dots, \{T_z\}}_{(f(i, j)+1)\text{-mal}})$$

und den bereits in UG vorhandenen Tripein als LABEL in Frage:

- (i) Für die i A-Knoten von I_r müssen die LABEL $1, \dots, i$ verwendet werden, da in MT_r die Übergänge $\{T_a\}$ identisch sind mit den bereits in UG vorhandenen.
- (ii) Vom Knoten (i, A) erfolgt ein $\{T_c\}$ -Übergang zu einem der k C-Knoten in UG; das LABEL dieses C-Knotens werde in Abhängigkeit von i mit u_i bezeichnet. Der U-Graph enthält demnach das Tripel $((i, A), \{T_c\}, (u_i, C))$.
- (iii) Von (u_i, C) erfolgt in I_r ein $\{T_a\}$ -Übergang zu einem D-Knoten. Ein solcher Übergang ist aber in UG schon vorhanden, nämlich $((u_i, C), \{T_a\}, ((u_i-1) \cdot s^2 + 1, D))$, und wegen der Eindeutigkeitsanforderung an UG muß auch für die erste D-Instruktion in I_r als LABEL $(u_i-1) \cdot s^2 + 1$ gewählt werden.
- (iv) Für die restlichen $f(i, j)-1$ D-Instruktionen kommen aus dem gleichen Grund nur die LABEL $(u_i-1) \cdot s^2 + 2, \dots, \dots, (u_i-1) \cdot s^2 + f(i, j)$ in Frage.
- (v) Vom Knoten $((u_i-1) \cdot s^2 + f(i, j), D)$ erfolgt in I_r ein T_z -Übergang zu einem Z-Knoten (1, Z), der den ersten einer Folge von genau $f(i, j)$ Z-Knoten gefolgt vom STOP-Knoten darstellt. Da alle dazwischenliegenden Übergänge in MT_r ebenso wie die entsprechenden in UG mit $\{T_z\}$ versehen sind, kommt wieder wegen der Eindeutigkeitsforderung für (1, Z) nur genau der Knoten aus UG in Frage, der $f(i, j)$ Z-Knoten vom STOP-Knoten 'entfernt' ist; l muß daher gleich $s^2 - f(i, j) + 1$ sein.

Der U-Graph enthält demnach das Tripel

$$(((u_i-1) \cdot s^2 + f(i,j), D), \{T_z\}, (s^2 - f(i,j) + 1, Z)).$$

Für I_r besteht daher nur an einem einzigen Punkt Wahlfreiheit bzgl. der LABEL von UG, nämlich bei der Auswahl des C-Knotens, der der C-Instruktion von I_r entspricht. Diese LABEL wurde unter (ii) in Abhängigkeit von i bei $e_r = (v_i, v_j)$ mit u_i bezeichnet. Eine weitere Überlegung zeigt, daß u_i für alle $e = (v_i, v)$ gleich sein muß, da die entsprechenden Instruktionsfolgen alle mit einer Folge von genau i A-Instruktionen beginnen und der anschließende $\{T_c\}$ -Übergang von (i, A) zu dem Knoten (u_i, C) eindeutig sein muß.

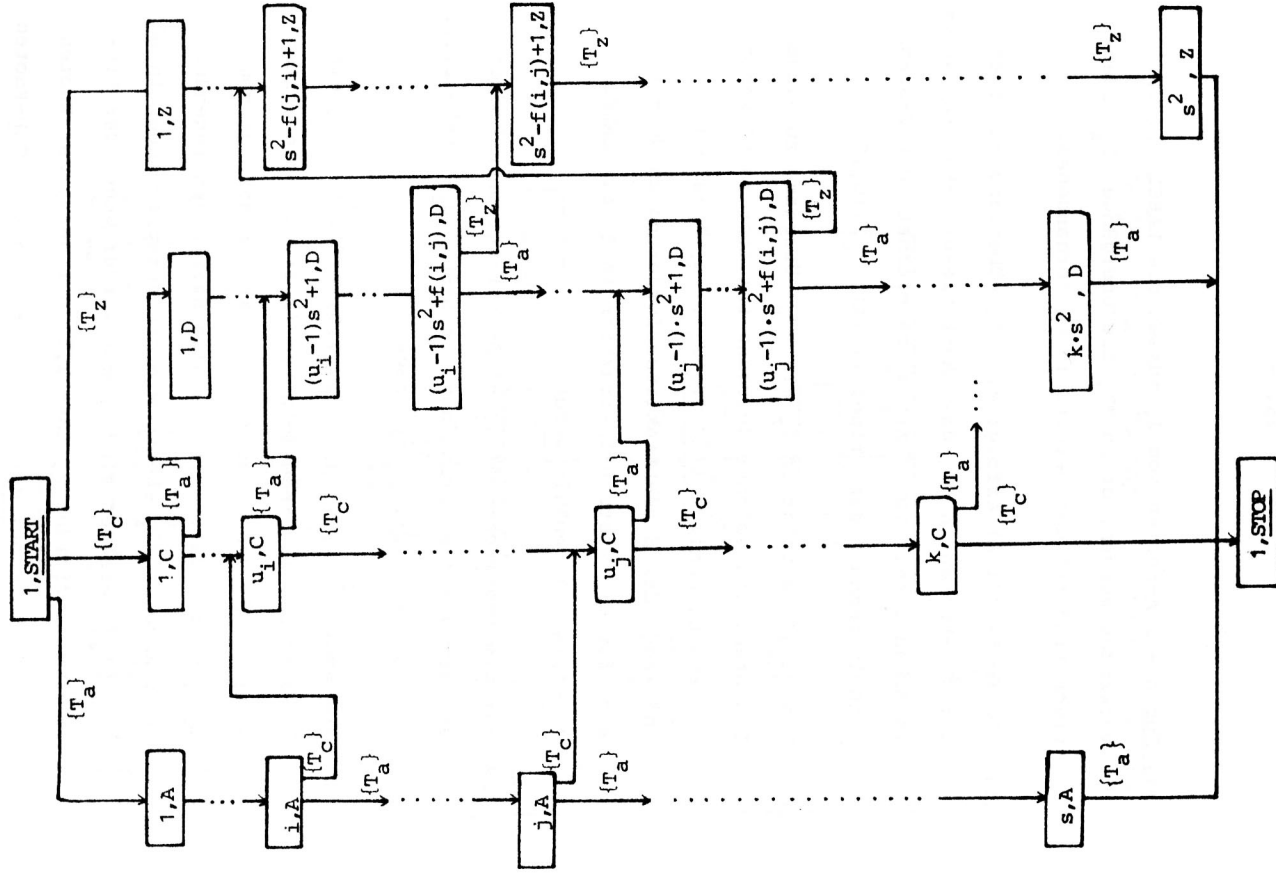
Die obigen Ausführungen gelten prinzipiell auch für I'_r . Bei $e_r = (v_i, v_j)$ beginnt I'_r jedoch mit j A-Instruktionen, und im obigen Schritt (v) sind nicht $f(i,j)$ Z-Knoten zu durchlaufen, sondern $f(j,i)$, wobei immer $f(i,j) \neq f(j,i)$ gilt.

Bezeichnet man analog zu (ii) mit u_j das LABEL des C-Knotens von UG, der der C-Instruktion aus I'_r entspricht - der U-Graph enthält demnach das Tripel $((j, A), \{T_c\}, (u_j, C))$ -, so ist diese Definition mit dem Obigen konsistent, und man erhält eine eindeutige und, da G verbunden ist und daher jeder Knoten von G in mindestens einer Kante auftritt, vollständig definierte Abbildung

$$F_u : V \longrightarrow \{1, \dots, k\}$$

$$F_u : \lambda v. v = v_i \longrightarrow u_i$$

UG' bezeichne den durch die Schritte (i) - (v) erweiterten U-Graphen UG. UG' ist in Abb. 6.5 skizziert.



Es bleibt die Eindeutigkeit von UG' im Sinne von Def. 3.13 zu überprüfen. UG (Abb. 6.4) ist offensichtlich eindeutig. Lediglich in den Schritten (ii) und (v) werden neue Übergänge eingefügt. Für jeden A-Knoten (i,A) , $i \in \{1, \dots, s\}$, wird dabei in (ii) ein eindeutiger Übergang nach (u_i, C) erzeugt. Unabhängig von der Wahl der u_i sind also alle von START-, A-, C- und Z-Knoten ausgehenden Übergänge in UG' eindeutig; abhängig von den u_i und damit der Funktion F_u ist jedoch die Eindeutigkeit der in Schritt (v) eingefügten Übergänge von den D- zu den Z-Knoten. Es gilt:

Die von den D-Knoten ausgehenden Übergänge in UG' sind genau dann eindeutig, wenn F_u Einfärbung von G ist.

(1) F_u sei eine Einfärbung von G .

Widerspruchsannahme: Es gibt einen D-Knoten mit LABEL l , dessen Nachfolger nicht eindeutig durch die zu ihnen führenden Übergangsmarkierungen spezifizierbar sind. Letzteres kann nur dann der Fall sein, wenn es von (l, D) aus zwei $\{T_z\}$ -Übergänge zu verschiedenen Z-Knoten gibt. Von (l, D) aus kann aber nur in Schritt (v) der Erweiterungen von UG ein $\{T_z\}$ -Übergang eingefügt worden sein. Danach müßte es in E zwei Kanten (v_i, v_j) und (v_i, v_j') geben, sodaß $l = r \cdot s^2 + f(i, j)$ und $l = r' \cdot s^2 + f(i, j)$, wobei $r = u_i^{-1}$ oder $r = u_j^{-1}$ und $r' = u_i^{-1}$ oder $r' = u_j^{-1}$ gelten muß. Aus der Definition von f folgt, daß $f(i, j)$ immer kleiner als s^2 ist; die Zerlegung von l in $r \cdot s^2 + f(i, j)$ ist demnach eindeutig und es muß $f(i, j) = f(i', j')$ gelten.

Aus $f(i, j) = f(i', j')$ folgt ebenfalls nach Definition von f $i = i'$ und $j = j'$ und damit $(v_i, v_j) = (v_{i'}, v_{j'})$. Das Einfügen der $\{T_z\}$ -Übergänge von (l, D) aus kann also nur bzgl. der beiden Beispielfolgen M_r und M_r' erfolgt sein, wenn $e_r = (v_i, v_j)$. Daher muß u_i die Gleichung $l = (u_i^{-1}) \cdot s^2 + f(i, j)$ und u_j die Gleichung $l = (u_j^{-1}) \cdot s^2 + f(i, j)$ erfüllen. Diese Zerlegung von l ist jedoch, wie gesagt, wegen $f(i, j) < s^2$ eindeutig, und es folgt $u_i = u_j$ und damit $F_u(v_i) = F_u(v_j)$ im Widerspruch dazu, daß F_u Einfärbung von G ist.

(2) F_u sei keine Einfärbung von G .

Dann gibt es eine Kante $e_r = (v_i, v_j)$ in E , sodaß

$$F_u(v_i) = F_u(v_j) \text{ und somit } u_i = u_j. \text{ In Schritt (ii)}$$

der Erweiterung von UG erfolgt daher sowohl für I_r als

auch für I_r' ein Übergang nach (l, C) , wobei $l = u_i = u_j$,

gefolgt von einem Übergang nach $(l-1) \cdot s^2 + 1, D)$.

Anschließend werden in beiden Fällen genau $f(i, j)$ D-Knoten durchlaufen. Von $((l-1) \cdot s^2 + f(i, j), D)$ gibt es dann gemäß Schritt (v) zwei $\{T_z\}$ -Übergänge in UG' :

$$(((l-1) \cdot s^2 + f(i, j), D), \{T_z\}, (s^2 - f(i, j) + 1, Z)) \in UG'$$

$$(((l-1) \cdot s^2 + f(i, j), D), \{T_z\}, (s^2 - f(j, i) + 1, Z)) \in UG'$$

Wären die von diesem K-Knoten ausgehenden Übergänge eindeutig, so müßte $f(i, j) = f(j, i)$ gelten. Dies ist jedoch wegen $i \neq j$ nach Definition von f nicht möglich.

Da bei der Spezifizierung der LABEL-Hypothesen für IS keine die Allgemeinheit beschränkenden Annahmen gemacht wurden, folgt aus dem vorigen, daß es genau dann eine eindeutige

LABEL-Hypothese für IS gibt, die zu einem U-Graph mit nicht mehr als $(k+1) \cdot s^2 + s + k$ Knoten führt, wenn G k-färbbar ist. Da IS einzige aus IH-GRAPH(Q) ableitbare terminale IH-Situation ist, ist Q nach Satz 3.9 und Satz 4.12 genau dann $((k+1) \cdot s^2 + s + k)$ -realisierbar, wenn G k-färbbar ist.

Damit ist der Beweis von Satz 6.10 erfolgreich abgeschlossen.

6.5.3 Einschränkung (-,1,-,5,3,4)

Schränkt man nicht nur ASSIGNMENTS, TESTS und Σ ein, sondern darüberhinaus noch die Anzahl der Beispielfolgen eines PSP Q, so ist das entsprechende Realisierungsproblem immer noch NP-vollständig, und zwar sogar auch dann, wenn man nur eine einzige Beispielsberechnung in Q zulässt.

Satz 6.11

Das Realisierungsproblem mit Einschränkung $(-,1,-,5,3,4)$ ist NP-vollständig.

Beweis:

Sei L gegeben durch:

$$L = \{(Q,1) \mid Q \in \text{PSP-E}(-,1,-,5,3,4) \wedge l \in \mathbb{N} \wedge Q \text{ ist } l\text{-realisierbar}\}.$$

Nach Satz 6.3 ist L in NP-TIME. Analog zum Beweis von Satz 6.10 wird gezeigt, daß das Einfärbungsproblem für Graphen

polynomial transformierbar ist zu L, woraus nach Satz 6.6 die Behauptung folgt.

Die Beweisidee beruht darauf, die zu einem Einfärbungsproblem (k,G) in Satz 6.10 konstruierten $2 \cdot t + k + 3$ Beispielfolgen zu konkatenieren, sodaß man nur eine einzige Beispielfolge erhält. Am einfachsten wird dies erreicht durch eine zusätzliche Zuweisungsinstruktion H, die an die Stelle von STOP als Trennmarkierung zwischen zwei Instruktionsfolgen tritt.

Seien $k,G,f,\Sigma,A,C,D,Z,\text{TESTS}$ wie in Satz 6.10;

ASSIGNMENTS = $\{A,C,D,Z,H\}$, wobei für $y \in \Sigma$ und $w' \in \Sigma^*$ H gegeben ist durch

$$H = \lambda w. w = yw' \rightarrow w'zz.$$

Es wird ein PSP $Q = (b,M)$ konstruiert, das genau dann

$$((k+1) \cdot s^2 + s + k + 1)\text{-realisierbar ist, wenn G k-färbbar}$$

ist. Dies entspricht genau Satz 6.10, wobei der hier noch zusätzlich benötigte Programmknoten mit der neuen Instruktion H markiert ist.

Der Einfachheit halber wird Q als ein PSP aus Zuweisungsgetreuen Instruktionsfolgen angegeben, also $b = \underline{a}$.

$$M = \{(st,SEQ)\}$$
 enthält nur eine einzige Beispielsberechnung.

Da jedoch die sich aus der Anfangsbelegung st durch sukzessive Anwendung der Instruktionen von SEQ ergebenden Zwischenwerte nur jeweils durch genau die angewandte Instruktion erzeugt werden können, könnte auch ein $\text{PSP } Q' = (\underline{as},M')$ angegeben werden, das als Zuweisungsge-

treue Speicherbelegungsfolge die Anfangsbelegung st gefolgt von diesen Zwischenwerten erhält.

IH-GRAPH(Q) und IH-GRAPH(Q') wären bis auf die Problemspezifizierungsmarke \bar{a} bzw. \underline{as} identisch, und die folgenden Aussagen träfen auch für Q' zu.

Da die Instruktionsfolge SEQ im Prinzip eine Konkatenation der zu $M_A, M_C, M_Z, M_D^1, \dots, M_D^k, M_1, M_1^k, \dots, M_t, M_t^k$ zugehörigen Instruktionsfolgen ist, werden zunächst die diesen Folgen entsprechenden Teilstücke von SEQ definiert. $\langle m_A \rangle$ entspricht M_A usw.; A^n steht für $\underbrace{A, \dots, A}_{n\text{-mal}}$.

$$\begin{aligned} \langle m_A \rangle &:= A^s \\ \langle m_C \rangle &:= C^k \\ \langle m_Z \rangle &:= Z^s2 \end{aligned}$$

für $i \in \{1, \dots, k\}$:

$$\langle m_D^i \rangle := C^i, D^{(k-i+1)}s^2$$

für $r \in \{1, \dots, t\}$: sei $e_r = (v_i, v_j)$

$$\langle m_r \rangle := A^i, C, D^{f(i,j)}, Z^{f(i,j)}$$

$$\langle m_r' \rangle := A^j, C, D^{f(i,j)}, Z^{f(j,i)}$$

Damit ist SEQ gegeben durch:

$$\begin{aligned} \text{SEQ} = & (\underline{\text{START}}, E, \langle m_A \rangle, H, \langle m_C \rangle, H, \langle m_Z \rangle, H, \langle m_D^1 \rangle, H, \dots \\ & \dots, \langle m_D^k \rangle, H, \langle m_1 \rangle, H, \langle m_1' \rangle, H, \dots, \langle m_t \rangle, H, \\ & \langle m_t' \rangle, H, \underline{\text{STOP}}) \end{aligned}$$

Die Länge von SEQ kann wie in Satz 6.10 bestimmt werden und errechnet sich zu $O(s^4)$.

Damit die in Satz 6.10 benützte Beweisführung auch hier angewandt werden kann, müssen die für die Zwischenwerte true-lie-fernden Instruktionen gleich den korrespondierenden Werten dort sein. Dies geschieht durch entsprechende Wahl der Anfangsspeicherbelegung st, die im Prinzip wieder eine Konkatenation der Anfangswerte von M_A, M_C usw. darstellt. Es

steht a^n für $\underbrace{a \dots a}_{n\text{-mal}}$.

$$\begin{aligned} \langle s_A \rangle &:= a^{s+1} \\ \langle s_C \rangle &:= c^{k+1} \\ \langle s_Z \rangle &:= z \end{aligned}$$

für $i \in \{1, \dots, k\}$:

$$\langle s_D^i \rangle := c^i a^{(k-i+1)}s^2 + 1$$

für $r \in \{1, \dots, t\}$: sei $e_r = (v_i, v_j)$

$$\langle s_r \rangle := a^i c a^{f(i,j)} z$$

$$\langle s_r' \rangle := a^j c a^{f(i,j)} z$$

Damit ist st gegeben durch:

$$st = a \langle s_A \rangle \langle s_C \rangle \langle s_Z \rangle \langle s_D^1 \rangle \dots \langle s_D^k \rangle \langle s_1 \rangle \langle s_1' \rangle \dots \langle s_t \rangle \langle s_t' \rangle d$$

Das erste Zeichen von st wird wegen der zusätzlichen H-Instruktion benötigt; das Zeichen 'd' am Ende von st sorgt dafür, daß von dem H-Knoten ein mit \emptyset markierter Übergang zum STOP-Knoten möglich wird, da bei d keine der

drei Testinstruktionen T_a, T_c, T_z true liefert. Die Länge von T ist $O(s^4)$; die Länge der Standardcodierung des Realisierungsproblems $(Q, (k+1) \cdot s^2 + s + k + 1)$ somit ebenfalls $O(s^4) + O(s^4) = O(s^4)$.

(Bemerkung: Die Länge der Standardcodierung des anfangs erwähnten äquivalenten PSP Q' wäre mit $O(s^4) \cdot O(s^4) = O(s^8)$ zwar größer, es läge aber auch dabei eine polynomiale Transformation von G vor.)

IHG = IH-GRAPH(Q) kann wie in Satz 6.10 bestimmt werden.

IHG hat auf jeder Stufe genau einen Knoten, jeweils mit einer elementigen Instruktionenmenge markiert. Es gibt eine einzige aus IH ableitbare terminale IH-Situation IS; aus den in IS geltenden Unterscheidbarkeitsrelationen lassen sich ebenso wie in Satz 6.10 Aussagen über die Mindestanzahl von benötigten A-Knoten usw. ableiten. Es werden demnach mindestens s A-, k C-, s^2 Z-, $k \cdot s^2$ D- und 1 H-Knoten benötigt. Unter der Randbedingung, nicht mehr als

$(k+1) \cdot s^2 + s + k + 1$ Knoten zu erzeugen, lassen sich weiterhin Aussagen darüber gewinnen, welchen Knoten von IS gleiche LABEL zugewiesen werden müssen. Wie in Satz 6.10 kann gefolgert werden, daß es genau dann eine eindeutige LABEL-Hypothese u gibt, die nicht mehr als $(k+1) \cdot s^2 + s + k + 1$ Knoten benötigt, wenn G k -färbbar ist. Der entsprechende U-Graph UG unterscheidet sich von UG' (Abb. 6.5) durch einen als direkten Nachfolger des START-Knotens eingefügten H-Knoten, zu dem die Übergänge des jeweils 'letzten' A-, C-, D- und Z-Knotens führen und von dem ein Übergang zum STOP-Knoten ausgeht. UG ist in Abb. 6.6 skizziert.

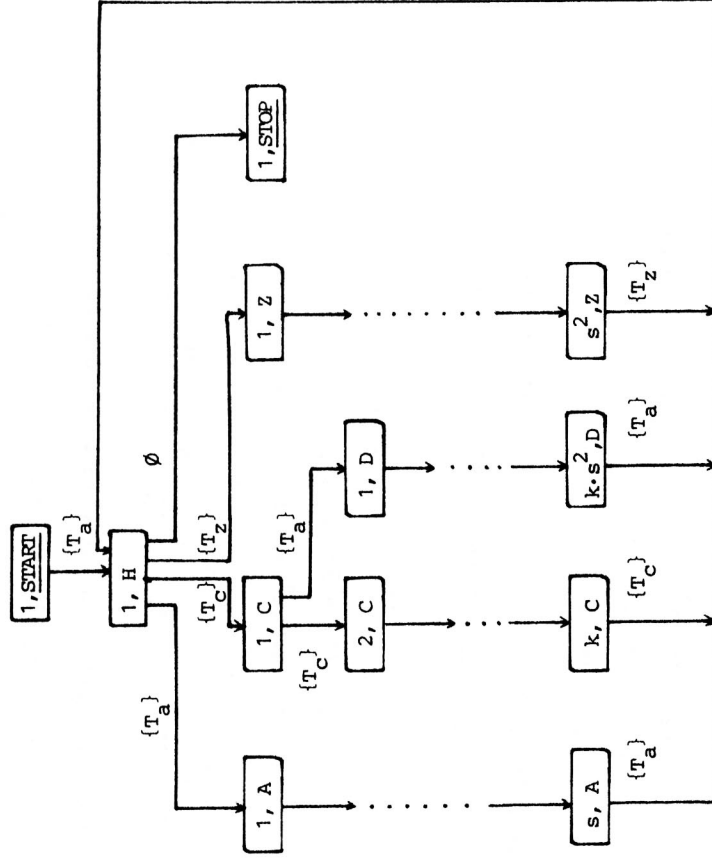


Abb. 6.6 U-Graph UG (zu Satz 6.11)

Die noch zu zeigenden einzelnen Beweisschritte verlaufen analog zu denen von Satz 6.10 .

6.5.4 Einschränkung (b, -, -, -, -, -)

Bisher wurden mit Ausnahme von Satz 6.11 zum Nachweis der NP-Vollständigkeit von Realisierungs- bzw. Programmsynthese- problem immer nur PSP aus zuweisungsgetreuen Speicherbelegungsfolgen berücksichtigt. Beschränkt man sich jedoch auf irgendeine der drei anderen Arten von Programmsynthese- problemen (vgl. Def. 2.13), so gelten die getroffenen Aussagen ganz analog.

6.5.4.1 Programmsynthese aus Speicherbelegungsfolgen

Das Realisierungsproblem eingeschränkt auf zuweisungsgetreue Speicherbelegungsfolgen (also $b = as$) ist nach der Beweisführung von z.B. Satz 6.7 oder Satz 6.10 NP-vollständig. Aus dem weiter unten in 6.5.5 angegebenen Satz 6.12 folgt ein entsprechendes Resultat für statementgetreue Speicherbelegungsfolgen, also für $b = ss$. Das Problem der Programmsynthese aus derartigen Beispielsberechnungen ist demnach auch dann noch NP-vollständig, wenn die Speicherbelegungen nach jeder ausgeführten Zuweisung und jedem ausgeführten Test zur Verfügung stehen.

6.5.4.2 Programmsynthese aus Instruktionsfolgen

Liegen für die Programmsynthese nicht die beobachteten Speicherbelegungen, sondern direkt die ausgeführten Instruktionen vor, so ist trotz dieser Vereinfachung die Problemstellung noch NP-vollständig. Für den Fall von zuweisungsgetreuen Instruktionsfolgen (also $b = a$) folgt dies aus der Beweisführung von Satz 6.11. Aber selbst dann, wenn in den Beispielsfolgen neben allen ausgeführten Instruktionen auch alle durchlaufenen Tests mit angegeben sind (also $b = s$ bei statement-getreuen Instruktionsfolgen), bleibt der Schwierigkeitsgrad der NP-Vollständigkeit erhalten. Zum Beweis dieser letzten Aussage sei auf Satz 6.12 im folgenden Abschnitt verwiesen.

6.5.5 Einschränkung (b, 1, -, 5, 1, 2)

Satz 6.12 stellt eine Zusammenfassung und Verschärfung der bisher getroffenen Aussagen zur Komplexität der Programmsynthese dar. Für jede einzelne der vier betrachteten Arten von Beispielsfolgen ist die Problemstellung sogar dann noch NP-vollständig, wenn man sich auf PSP mit nur einer einzigen Beispielsberechnung, fünf zugrunde liegenden Zuweisungs- und einer einzigen Testinstruktion sowie zwei Zeichen zur Beschreibung der Speicherbelegungen beschränkt.

Satz 6.12 Sei $b \in \{s, a, ss, as\}$.

Behauptung:

Das Realisierungsproblem mit Einschränkung $(b, 1, -, 5, 1, 2)$ ist NP-vollständig.

Beweis:

Die Beweisidee beruht auf dem schon in den Sätzen 6.10 und 6.11 benutzten Verfahren. Es wird gezeigt, daß das Einfärbungsproblem für Graphen polynomial transformierbar ist zu

$$L = \{(Q, 1) \mid \exists \text{PSP-E}(b, 1, -, 5, 1, 2) \wedge 1 \in \mathbb{N} \wedge Q \text{ ist } 1\text{-realisierbar}\},$$

woraus die Behauptung nach Satz 6.6 folgt.

Sei $k, G = (V, E), V = \{v_1, \dots, v_s\}, E = \{e_1, \dots, e_t\}$ wie in Satz 6.10. Da für $b \in \{a, as\}$ bereits mit Satz 6.11 eine ähnliche wie die hier zu zeigende Aussage bewiesen wurde (wenn auch mit nicht so starken Einschränkungen bzgl. TESTS und Σ), sei hier speziell der Fall $b = s$ angenommen; die drei anderen Fälle werden im Anschluß daran betrachtet.

Zu G wird ein PSP $Q = (s, M)$ konstruiert, das genau dann $((2 \cdot k + 1)s^2 + 2 \cdot s + 2 \cdot k + 9)$ -realisierbar ist, wenn G k -färbbar ist.

M enthält gemäß der vorausgesetzten Einschränkung nur eine einzige Beispielsberechnung, die wegen $b = s$ eine statementgetreue Instruktionsfolge ist. Die Q zugrunde liegenden Mengen ASSIGNMENTS, TESTS und Σ sind wie folgt definiert:

ASSIGNMENTS = $\{A, C, D, Z, H\}$ mit:

$$A = \lambda w. w = xw' \longrightarrow w'aa$$

$$C = \lambda w. w = xw' \longrightarrow w'ac$$

$$D = \lambda w. w = xw' \longrightarrow w'ac$$

$$Z = \lambda w. w = xw' \longrightarrow w'cc$$

$$H = \lambda w. w = xw' \longrightarrow w'$$

TESTS = $\{T\}$ mit:

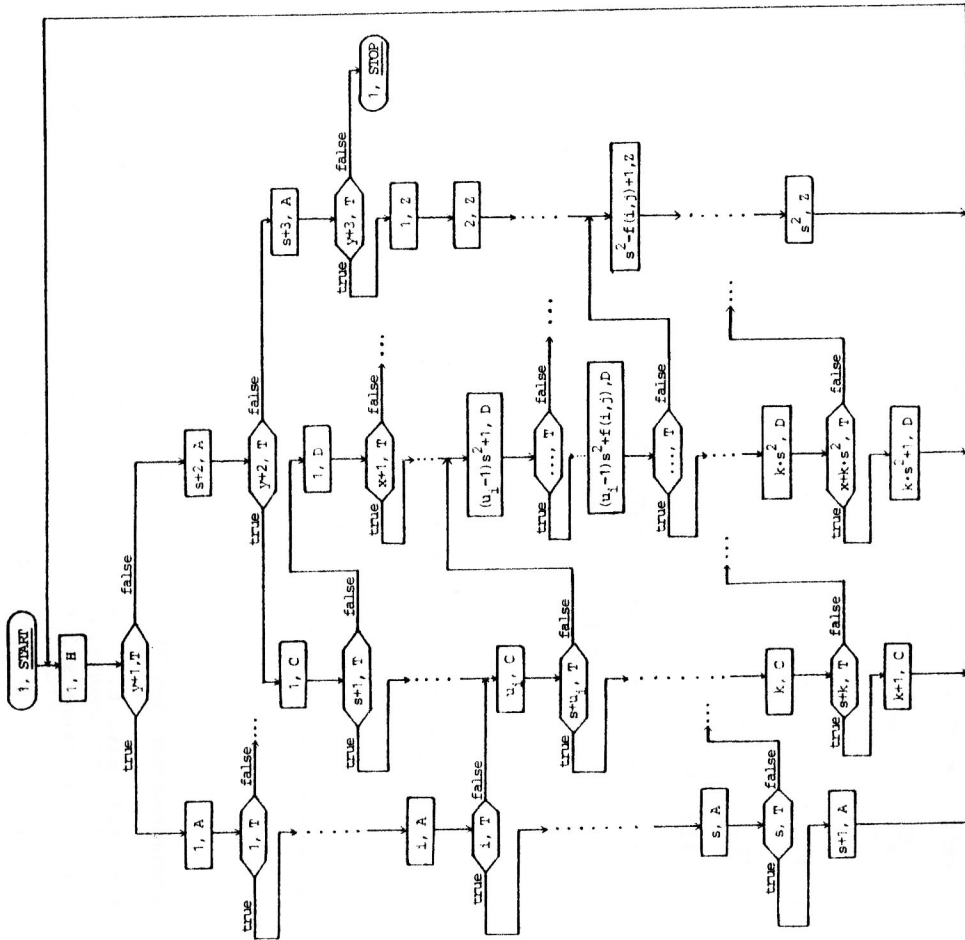
$$T = \lambda w. w = xw' \longrightarrow x = a$$

$$\Sigma = \{a, c\}$$

wobei $x \in \Sigma$ und $w' \in \Sigma^*$.

Die in M enthaltene Berechnungsfolge ist analog der in Satz 6.11 angegebenen aufgebaut, jedoch mit dem Unterschied, daß hier auch alle durchlaufenen Tests mit aufgeführt sind. Um das Vorgehen zur Konstruktion von M im Vergleich zu Satz 6.11 zu verdeutlichen, ist zunächst in Abb. 6.7 ein Programm P angegeben, das $Q((2 \cdot k + 1) \cdot s^2 + 2s + 2k + 9)$ - realisiert, falls G k -färbbar ist. F sei dabei k -Einfärbung von G und es gelte $u_i = F(v_i)$.

P entspricht dem U -Graphen UG aus Abb. 6.6. In P dürfen jedoch nur Programmtransitionen vorkommen, sodaß zwischen den einzelnen A -Knoten (C -Knoten usw.) jeweils ein Testknoten eingefügt wurde, von dem dann sowohl ein true- als auch ein false-Zweig ausgehen können. Da $[1, H]$ in Abb. 6.6 vier Nachfolger hat, hier aber nur eine Testinstruktion zur Verfügung steht, wurden in P zwischen $[1, H]$ einerseits und $[1, C], [1, Z]$ und $[1, STOP]$ andererseits noch zwei weitere A -Knoten zwischen die erforderlichen Testknoten eingefügt,



Es gelte: $e_2 = (v_1, v_2)$, $F(v_j) = u_j$, $x = sk$, $y = sk+k \cdot s^2$

damit auch alle Knoten bei einer Programmausführung erreichbar sind. Zusätzlich zur paarweisen Unterscheidbarkeit der Zuweisungsknoten ist die Unterscheidbarkeit der Tests zu beachten; aus diesem Grunde wurden noch zusätzlich die Knoten $[s+1, A]$, $[k+1, C]$ und $[k \cdot s^2 + 1, D]$ in P aufgenommen.

Entsprechend diesen Ausführungen ergeben sich bei der Anfangsspeicherbelegung st und der Instruktionsfolge SEQ, wenn $M = \{(st, SEQ)\}$ gilt, einige Modifizierungen im Vergleich zu Satz 6.11. Ähnlich wie dort werden zunächst die st und SEQ konstituierenden Teilstücke angegeben, wobei die Hilfsfunktion f wie zuvor definiert ist und für $X, Y \in \{A, C, D, Z\}$ und $x \in \{a, c\}$ gilt:

- x^n steht für $\underbrace{X, \dots, X}_{n\text{-mal}}$
- $(X, Y)^n$ steht für $\underbrace{X, Y, \dots, X, Y}_{\text{je } n\text{-mal } X \text{ und } Y}$
- x^n steht für $\underbrace{x \dots x}_{n\text{-mal}}$

1. $\langle m_A \rangle := (T, A)^{s+1}, H$
 $\langle s_A \rangle := a^{s+2}$
2. $\langle m_C \rangle := T, A, (T, C)^{k+1}, H$
 $\langle s_C \rangle := ca^{k+2}$

Abbildung 6.7: Programm P (zu Satz 6.12)

$$3. \langle m_z \rangle := T, A, T, A, T, Z, s^2, H$$

$$\langle s_z \rangle := cca s^2 + 1$$

4. für $i \in \{1, \dots, k\}$:

$$\langle m_D^i \rangle := T, A, T, (C, T)^i, (D, T)^i (k-i+1) s^2 + 1, H$$

$$\langle s_D^i \rangle := ca^i ca (k-i+1) s^2 + 1$$

5. für $r \in \{1, \dots, t\}$: sei $e_r = (v_1, v_j)$

$$\langle m_I^r \rangle := T, (A, T)^i, C, T, (D, T)^i f(i, j), Z^f(i, j), H$$

$$\langle s_I^r \rangle := a^i cca f(i, j) - 1 c^f(i, j) + 1$$

$$\langle m_I^j \rangle := T, (A, T)^j, C, T, (D, T)^j f(i, j), Z^f(j, i), H$$

$$\langle s_I^j \rangle := a^j cca f(i, j) - 1 c^f(i, j) + 1$$

Damit sind SEQ und st gegeben durch:

$$SEQ = (\underline{START}, H, \langle m_A \rangle, \langle m_C \rangle, \langle m_z \rangle, \langle m_D^1 \rangle, \dots, \langle m_D^k \rangle,$$

$$\langle m_1 \rangle, \langle m_1^j \rangle, \dots, \langle m_t \rangle, \langle m_t^j \rangle, T, A, T, A, T, STOP)$$

$$st = a \langle s_A \rangle \langle s_C \rangle \langle s_z \rangle \langle s_D^1 \rangle \dots \langle s_D^k \rangle$$

$$\langle s_1 \rangle \langle s_1^j \rangle \dots \langle s_t \rangle \langle s_t^j \rangle ccc$$

Ausgehend von dem PSP $Q = (s, \{(st, SEQ)\})$ kann analog zu

Satz 6.10 bzw. 6.11 gezeigt werden, daß zur Realisierung

von Q mindestens $s+3$ A-Knoten, $k+1$ C-Knoten, $k \cdot s^2 + 1$ D-Knoten,

s^2 Z-Knoten, 1 H-Knoten und $k \cdot s^2 + s + k + 3$ T-Knoten benötigt

werden. Wie in Satz 6.11 kann gefolgert werden, daß diese

Anzahl von Knoten genau dann ausreicht, um Q zu realisieren,

wenn G k -färbbar ist. Eine Einfärbung von G korrespondiert dabei wieder zu den LABEL der C-Knoten, die den C-Instruktionen in den Teilen $\langle m_I \rangle$ bzw. $\langle m_I^j \rangle$ von SEQ entsprechen (vgl. Programm P in Abb. 6.7). Da die Größe der Standardcodierung von $Q, (2 \cdot k + 1) \cdot s^2 + 2 \cdot s + 2 \cdot k + 9$ polynomial begrenzt ist durch s und damit durch die Größe der Standardcodierung des durch G und k gegebenen Einfärbungsproblems, handelt es sich also bei der vorgegebenen Konstruktion von Q um eine polynomiale Transformation im Sinne von Def. 6.5, woraus für $b = s$ die Behauptung folgt.

Betrachtet man die Folge SEQ', die als erstes Element st gefolgt von den sich durch sukzessive Anwendung der Instruktionen von SEQ daraus ergebenden Speicherbelegungen enthält, so gilt für alle direkt aufeinanderfolgenden Elemente s, s' aus SEQ', daß es nur genau ein $I \in INSTRUCTIONS$ mit $I(s) = s'$ gibt. Für das PSP $Q' = (ss, \{SEQ'\})$ ist daher der IH-Graph bis auf die Spezifizierung ss praktisch identisch mit dem IH-Graph von Q , womit die Behauptung auch für statement-getreue Speicherbelegungsfolgen ($b = ss$) gezeigt ist, da man anstelle von Q für gegebenes G und k ebenso Q' konstruieren könnte und die obigen Überlegungen auch für Q' gelten.

Entfernt man in SEQ jedes Auftreten von T, so erhält man

$$\text{ein PSP } Q'' = (a, \{(st, SEQ'')\}), \text{ das genau dann}$$

$$((k+1) \cdot s^2 + s + k + 6)\text{-realisierbar ist - bei } b \in \{a, as\} \text{ werden}$$

je nur die Zuweisungsknoten berücksichtigt -, wenn G k -färb-

bar ist; der Beweis hierzu verläuft wie zuvor. Der Übergang

von zuweisungsgetreuen Instruktionsfolgen ($b = a$) zu zuwei-

sungsgetreuen Speicherbelegungsfolgen ($b = as$) verläuft genau so wie der oben angegebene Übergang von $b = \underline{s}$ zu $b = \underline{ss}$.

Trotz der starken Einschränkung bzgl. ASSIGNMENTS, TESTS und Σ in Satz 6.12 sind die für den Beweis des Satzes benutzten Instruktionen und die gewählte einfache Speicherstruktur ausreichend, um damit alle partiell rekursiven Funktionen berechnen zu können [Shepherdson, Sturgis 1963].

Beschränkt man noch zusätzlich die Länge der Beispielsfolgen eines PSP Q auf maximal $n \in \mathbb{N}$, so ist das Problem der Grammsynthese nicht mehr NP-vollständig. In diesem Fall ist die Länge des zu synthetisierenden Programms P , das ja minimal sein soll, begrenzt durch eine Konstante L , nämlich dem Produkt aus maximaler Anzahl und maximaler Länge der Beispielsfolgen. Bei fester Anzahl von Zuweisungs- und Testinstruktionen gibt es aber nur endliche viele Programme P_1, \dots, P_r der Länge kleiner oder gleich L (vgl. Abschnitt 6.1.1). Ein PSA A könnte also für jedes PSP Q in linearer Zeit in Abhängigkeit von der Größe von Q überprüfen, welches der P_1, \dots, P_r Q realisiert und ein minimales davon auswählen. Dies trifft selbst dann zu, wenn man die Parameter m, n, p, q, r zwar gleichzeitig, aber ansonsten beliebig begrenzt.

Satz 6.13

Für alle $m, n, p, q, r \in \mathbb{N}$ gilt:

Das Realisierungsproblem mit Einschränkung $(-, m, n, p, q, r)$ ist nicht NP-vollständig, sondern sogar in linearer Zeit lösbar.

Beweis: folgt aus den obigen Überlegungen.

Die in Satz 6.12 betrachtete Einschränkung von fünf der sechs Parameter stellt also insofern eine Grenzsituation dar, als die zusätzliche Beschränkung des sechsten Parameters die NP-Vollständigkeit des Realisierungsproblems und damit auch der Grammsynthese aus Beispielsfolgen beseitigen würde.

6.6 Komplexität der Synthese von Turingmaschinen

6.6.1 Synthese von Turingmaschinen aus Beispielsfolgen

Während sich die vorliegende Arbeit mit dem allgemeinen Problem der Programmsynthese aus unterschiedlichen Arten von Beispielsfolgen beschäftigt, geht es in [Biermann 1972], [Hwa, Wrightson 1973] und [Rauleys 1973] speziell um die Synthese von Turingmaschinen. Als Eingabe dient eine Folge C von Tripeln (x,y,d) , wobei x das gelesene und y das geschriebene Zeichen und d die Richtung der Bewegung des Lese/Schreibkopfes wiedergibt. Synthetisiert werden soll die endliche Kontrolle K einer Turingmaschine TM, sodaß TM die Folge C (bzw. C_1, \dots, C_n bei mehreren Beispielsfolgen) reproduzieren kann und die Anzahl der Zustände von TM minimal ist. Dieses Problem ist äquivalent zu dem Problem der Synthese eines Mealy-Automaten aus einer Menge von Ein/Ausgabefolgen [Hwa, Wrightson 1973].

6.6.2 Nachweis der NP-Vollständigkeit

In keiner der drei zitierten Arbeiten werden Komplexitätsuntersuchungen vorgenommen. Hier wird nun gezeigt, daß diese Problemstellung zu den schwierigsten Problemen in NP-TIME gehört.

Satz 6.14

- (1) Das Problem der Synthese von Turingmaschinen aus Beispielsfolgen ist NP-vollständig.
- (2) Die Synthese von Turingmaschinen ist selbst dann noch NP-vollständig, wenn man sich auf eine einzige Beispielsfolge und ein Bandalphabet mit nur fünf verschiedenen Zeichen beschränkt.
- (3) Sei X ein Alphabet, $|X| \leq 5$.
Das Ja/Nein-Entscheidungsproblem, ob es für eine einzelne Folge $M \in (X, X)^*$, $M = (x_1, y_2 \dots (x_n, y_n))$, und ein $k \in \mathbb{N}$ einen Mealy-Automaten mit höchstens k Zuständen gibt, der bei Eingabe des Wortes $w = x_1 \dots x_n$ das Ausgabewort $w' = y_1 \dots y_n$ liefert, ist NP-vollständig.

Beweis:

Die Zugehörigkeit der drei angesprochenen Problemstellungen zu NP-TIME wird leicht wie in den Sätzen 6.3 und 6.4 gezeigt. Aussage (1) folgt sofort aus (2); (2) selbst wird von (3) impliziert (vgl. 6.1.1). (3) wird i.f. durch polynomiale Transformation des Einfärbungsproblems für Graphen bewiesen.

Das Verfahren aus Satz 6.11 kann in ähnlicher Form auch hier angewandt werden. Zu einem beliebigen Einfärbungsproblem (k,G) , $G = (V,E) = (\{v_1, \dots, v_s\}, \{e_1, \dots, e_t\})$, wird eine Folge $M \in (X, X)^*$ konstruiert, für die es genau dann einen Mealy-Automaten mit $(k+1) \cdot s^2 + s + k + 3$ Zuständen gibt, wenn G k-färbbar ist.

Für G seien o.B.d.A. die in Satz 6.11 gemachten Annahmen erfüllt; f sei wie dort definiert, $X = \{a, c, d, z, h\}$. Die Folge M wird aus $2 \cdot t + k + s$ Teilstücken aufgebaut, wobei $(x, y)^n$ für

$\underbrace{(x, y) \dots (x, y)}_{n\text{-mal}}$ steht:

$$M_A := (a, a)^{s+1} (a, h)^2 (d, h) (a, h)$$

$$M_C := (c, c) (a, c)^{k+1} (a, h)$$

$$M_Z := (z, z) (a, z)^2 (a, h)$$

für $i \in \{1, \dots, k\}$:

$$M_D^i := (c, c) (a, c)^i (d, d) (a, d)^{(k-i+1)} \cdot s^2 (a, h)$$

für $i \in \{1, \dots, t\}$: sei $e_i = (v_i, v_j)$, $i < j$

$$M_I^i := (a, a)^i (c, c) (a, c) (d, d) (a, d)^{f(i, j)} (z, z) (a, z)^{f(i, j)} (a, h)$$

$$M_I^j := (a, a)^j (c, c) (a, c) (d, d) (a, d)^{f(i, j)} (z, z) (a, z)^{f(j, i)} (a, h)$$

Mit

$$M_D := M_D^1(z, h) \dots (z, h) M_D^k$$

$$M_E := M_I^1(z, h) M_I^t(z, h) \dots (z, h) M_I^t(z, h) M_I^1$$

ist M gegeben durch:

$$M := M_A(z, h) M_C(z, h) M_Z(z, h) M_D(z, h) M_E$$

Bezeichnet $[a, x]$ einen Zustand, in dem bei Eingabe a die Ausgabe x erfolgt, so muß es aufgrund der Teilstücke M_A, M_C, M_Z und M_D^1 (vgl. Satz 6.11) in jedem Mealy-Automaten MAT für M

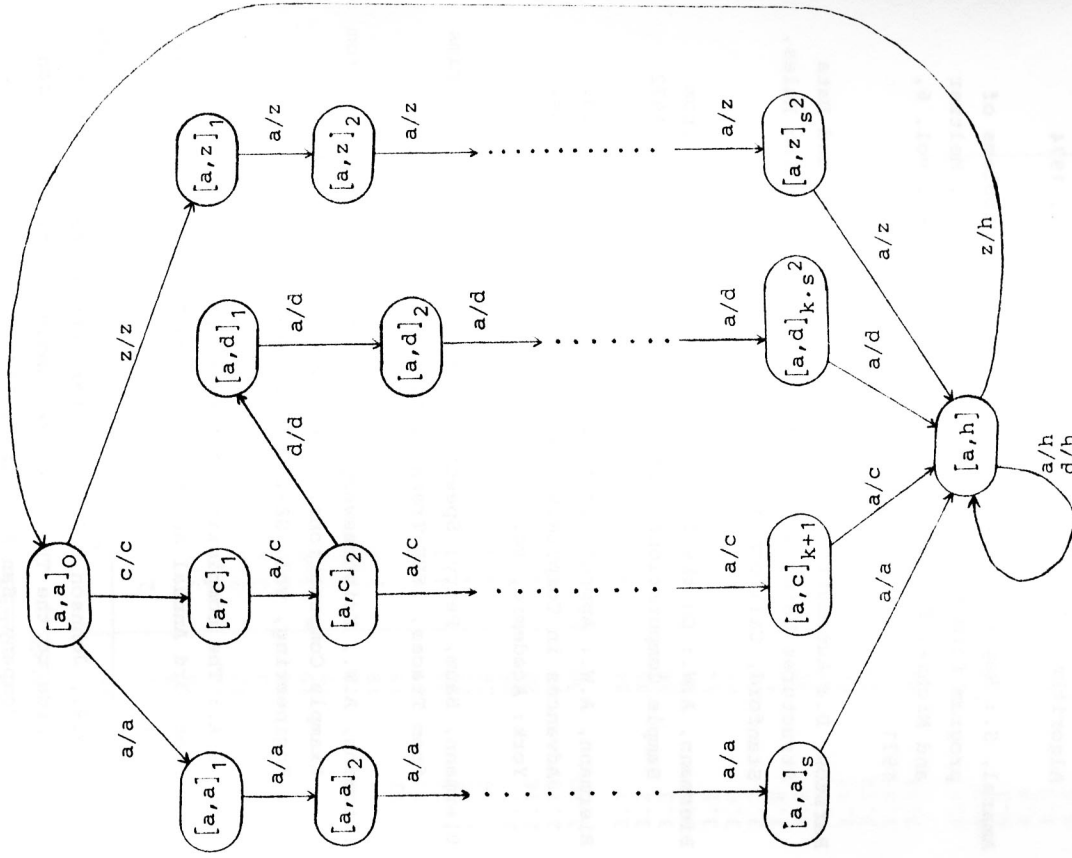


Abb. 6.8 Zustandsgraph eines Mealy-Automaten für M_A, M_C, M_Z, M_D^1

mindestens

- s + 1 verschiedene [a,a]-Zustände,
- k + 1 verschiedene [a,c]-Zustände,
- s² verschiedene [a,z]-Zustände,
- k · s² verschiedene [a,d]-Zustände und
- 1 [a,h]-Zustand

geben. Da alle diese Zustände paarweise verschieden sein müssen, hat MAT mindestens $(k+1) \cdot s^2 + s + k + 3$ Zustände, wobei o.B.d.A. die Übergänge zwischen diesen wie in Abbildung 6.8 skizziert erfolgen und $[a,a]_0$ der Anfangszustand von MAT ist. Analog zu Satz 6.11 und Abb. 6.6 kann gezeigt werden, daß Abb. 6.8 genau dann zu einem (deterministischen) Zustandsgraphen eines Mealy-Automaten für M erweitert werden kann, wenn G k-färbbar ist. Dabei entspricht die jeweilige Zuordnung des Ein/Ausgabepaares (a,c) in M_T bzw. M'_T zu einem der k in Frage kommenden [a,c]-Zustände $[a,c]_{k+1}$ kann nicht gewählt werden), einer k-Einfärbung von G.

Die noch zu zeigenden einzelnen Beweisschritte verlaufen analog zu denen von Satz 6.11.

LITERATURVERZEICHNIS

Aho, Hopcraft, Ullman: The Design and Analysis of Computer Algorithms, Addison-Wesley, Reading, Mass., 1974

Amarel, S.: Representations and modelling in problems of program formation, in: Machine Intelligence, Meltzer and Michie, Ed. New York: American Elsevier, vol. 6, 1971

Barstow, D.: Automatic Construction of Algorithms and Data Structures Using a Knowledge base of Programming Rules, Stanford, California 1977

Biermann, A.W.: On the Inference of Turing Machines from Sample Computations, Artificial Intelligence 3, 1972

Biermann, A.W.: Approaches to automatic programming, in: Advances in Computers, Yovits and Rubinooff, Ed. New York: Academic, vol. 15, 1976

Biermann, Baum, Petry: Speeding up the Synthesis of Programs from Traces, IEEE Trans. Comp., vol. C-24, 1975

Biermann, A.W., Krishnaswamy, R.: Constructing Programs from Example Computations, IEEE Transactions on Software Engineering, vol. SE-2, No. 3, 1976

Cook, S.A.: The complexity of theorem proving procedures, Proc. 3rd Annual ACM Symposium on Theory of Computing, 1971

Garey, M.R., Johnson, D.S.: Computers and Intractability - A Guide to the Theory of NP-Completeness, W.H. Freeman and Company, San Francisco, 1979

Gill, A.: Realization of input-output relations by sequential machines, J.ACM, vol. 13, Jan. 1966

Green, C.C., Barstow, D.: Some rules for the automatic synthesis of programs, Proc. IJCAI (4), 1975

Hwa, J.C.-H., Wrightson, G.: Synthese von Turingmaschinen aus endlichen Mengen von Beispielen, Diplomarbeit, Institut für Informatik I, Universität Karlsruhe, 1973

Lee, R.C.T., Chang, C.L., Waldinger, R.J.: An improved program-synthesizing algorithm and its correctness, C. ACM 17, No. 4, 1974

Manna, Z.: Mathematical Theory of Computation, McGraw-Hill, New York, 1974

Manna, Z., Waldinger, R.J.: Toward automatic program synthesis, C. ACM 14, No. 3, 1971

Raulefs, P.: Automatic Synthesis of Minimal Algorithms from Samples of their Behavior, Interner Bericht INF I-73-2, Inst. für Informatik, Universität Karlsruhe, 1973

Shepherdson, J.C., Sturgis, H.E.: Computability of Recursive Functions, J. ACM 10, 1963

Waldinger, R.J.: Constructing programs automatically using theorem proving, PhD Thesis, Carnegie-Mellon University, Pittsburgh, Pennsylvania, 1969

INDEX ZU DEN SEITENZAHLEN DER DEFINITIONEN, SÄTZE, BEISPIELE UND ABBILDUNGEN

Definitionen	Sätze	Beispiele	Abbildungen
2.1	2.1	2.1	3.1
2.2		2.2	3.2
2.3	3.1	2.3	
2.4	3.2	2.4	5.1
2.5	3.3		
2.6	3.4	3.1	6.1
2.7	3.5	3.2	6.2
2.8	3.6	3.3	6.3
2.9	3.7	3.4	6.4
2.10	3.8	3.5	6.5
2.11	3.9	3.6	6.6
2.12		3.7	6.7
2.13	4.1	3.8	6.8
2.14	4.2	3.9	
2.15	4.3	3.10	
2.16	4.4	3.11	
2.17	4.5	3.12	
2.18	4.6	3.13	
2.19	4.7	3.14	
2.20	4.8		
	4.9	4.1	106
3.1	4.10	4.2	109
3.2	4.11	4.3	112
3.3	4.12	4.4	114
3.4	4.13	4.5	116
3.5		4.6	123
3.6	5.1	4.7	127
3.7	5.2	4.8	130
3.8		4.9	133
3.9		4.10	138
3.10	6.1	4.11	140
3.11	6.2	4.12	153
3.12	6.3	4.13	157
3.13	6.4		
3.14	6.5	6.1	214
	6.6	6.2	224
	6.7		
	6.8		
4.1	6.9		
4.2	6.10		
4.3	6.11		
4.4	6.12		
4.5	6.13		
4.6	6.14		
4.7			
5.1	169		
6.1	218		
6.2	219		
6.3	222		
6.4	227		
6.5	228		
6.6	230		
6.7	240		

